

FIG. IX-33.

On envisage pour ce bâtiment deux types de fondations : des semelles filantes B_1 et B_2 et des semelles carrées B_3 d'une épaisseur de 50 cm d'une part, un radier général B d'une épaisseur de 0,30 m d'autre part.

On désire comparer ces deux types de fondations, et pour cela on demande les largeurs des semelles B_1 , B_2 et B_3 ainsi que celle du radier B . On précisera dans ce dernier cas le débord du radier par rapport à chacune des façades. On adoptera pour densité du béton armé la valeur 2,4.

Réponse : Largeur B_1 : 1,10 m B : 11,90 m
 B_2 : 1,25 m débords 0,10 m (A_1)
 B_3 : 1,85 m 1,10 m (A_2).

- ** 7. En prenant les mêmes données que dans le problème précédent, on calculera les tassements des différents types de fondations déterminés en supposant d'une part, que le gravier provoque des tassements négligeables et d'autre part, que les caractéristiques de la couche d'argile molle sous-jacente sont les suivantes :

$$\gamma_s = 2,78 \gamma_w, \quad w = 44 \%, \quad w_L = 48 \%$$

$$\gamma_h = 1,8 \gamma_w.$$

Réponse : Le tassement maximal est d'environ 10 cm pour les semelles et de 12 cm pour le radier.

On vérifiera que dans le cas des semelles on peut, au point de vue de la rupture, négliger la couche d'argile et que dans le cas du radier au contraire, on doit évaluer la capacité portante à la surface de cette couche d'argile.

N.B. : On trouvera dans le chapitre 10 du Sanglerat-Olivari-Cambou (Tome 2) la solution détaillée des sept problèmes ci-dessus, ainsi que celle des six autres problèmes relatifs au calcul de fondations superficielles.

CHAPITRE X

FONDATEIONS PROFONDES

10.1 PIEUX ET PUTTS.

10.1.1 Généralités.

Très souvent, les couches superficielles d'un terrain sont compressibles, tandis que les couches sous-jacentes sont résistantes à partir d'une certaine profondeur. Il est donc naturel, et quelquefois indispensable, de fonder l'ouvrage sur ce substratum.

Autrefois, la plupart des bâtiments étaient construits sur semelles filantes ou isolées. Lorsque le sol de surface était mou et compressible, comme la main-d'œuvre était bon marché et le bois largement disponible, on battait autant de pieux de bois que le terrain pouvait en supporter, on exécutait ensuite les ouvrages sur ceux-ci. Les tassements différentiels ou absolus qui pouvaient en résulter étaient sans grande incidence en général, car les maçonneries avaient une très grande facilité d'adaptation. Mais à partir du XVIII^e siècle, les immeubles deviennent de plus en plus lourds et rigides. Par ailleurs, les questions économiques jouent un rôle de plus en plus décisif.

Les ingénieurs ont donc dû rechercher avec plus de précision quelle était la force portante réelle des pieux, les longueurs minimales qu'il fallait leur donner et quelle sécurité on pouvait en attendre.

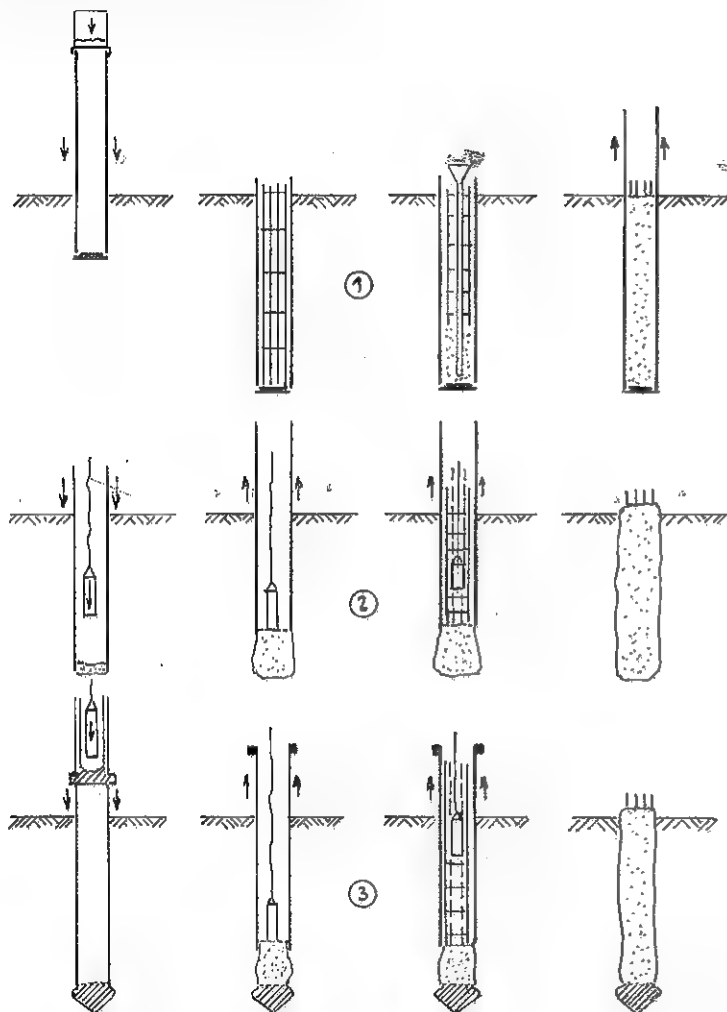
Pour atteindre le substratum résistant, on réalise, soit des puits d'un certain diamètre (en général de 1 à 3 m) relativement peu profonds, soit des pieux pour lesquels le rapport $\frac{D}{B}$ est pratiquement toujours supérieur à 10 (Fig. IX-1). De telles fondations sont dites « profondes » et leurs différents modes d'exécution (il en existe près de 70) sont décrits dans les cours de procédés généraux de construction.

Les pieux ou puits sont placés, en général, à tous les angles du bâtiment et à toutes les intersections de murs porteurs ainsi que sous les points d'appui isolés.

La Basilique de Montmartre a été exécutée sur des puits carrés de 2,50 m à 5 m de côté descendant à 30 m de profondeur, jusqu'au gypse.

Les premiers pieux en béton armé ont été utilisés par Hennebique en 1897 pour les fondations des usines Babcock-Wilcox. Des pieux de béton armé de

30 m de longueur ont été battus à Manille, aux Philippines. A Maracaibo (Venezuela), Kérisel a fait réaliser des piles caissons de 0,90 à 1,50 m de diamètre, descendues à 60 m de profondeur sous le niveau de la mer, susceptibles



Procédés pour lesquels le fonçage est réalisé par :

- battage en tête du tube (1) et (3).
- battage en pied d'un bouchon de béton sec (2).

Procédés pour lesquels le bétonnage est réalisé :

- à l'aide d'un béton plastique mis en place au tube plongeur (1),
- par damage d'un béton sec déversé depuis le haut du tube (2) et (3).

FIG. X-1. — Quelques procédés d'exécution de pieux à tubes battus récupérés.

d'encaisser des charges de 250 à 750 tonnes (20 m d'eau, puis 25 à 30 m de limon reposant sur du sable).

La force portante d'un pieu dépend à la fois de la résistance au poinçonnement du sol sous sa pointe et de la mobilisation du frottement latéral entre son fût et le sol. Sauf cas très particulier la résistance de pointe est peu influencée par le type de pieu. Il n'en n'est pas de même pour le frottement latéral qui dépend étroitement du matériau constitutif du pieu et de son mode de mise en place.

Ainsi le nouveau D.T.U. 13-2 de 1978 propose-t-il la classification suivante :

1. Pieux façonnés à l'avance (battu préfabriqué, métal battu, tubulaire précontraint, battu enrobé).
2. Pieux à tube battu exécutés en place (battu pilonné, battu moulé).
3. Pieux forés (foré simple, foré tubé, foré boue, tarière creuse, vissé moulé).
4. Puits.
5. Pieux foncés (béton foncé, métal foncé).
6. Micropieux.

Les colonnes ballastées (cf. § 10.8) et les picots sont également mentionnés dans ce nouveau D.T.U. mais il s'agit de procédés de fondations très particuliers dont les méthodes de calcul sont différentes de celles des fondations profondes classiques.

La figure X-1 indique quelques procédés d'exécution de pieux à tube battu récupéré. La figure X-2 représente le principe d'exécution d'un pieu foré en schématisant les diverses phases de réalisation à l'intérieur d'un tube de protection provisoire.

On va donner quelques indications rapides sur les deux grandes catégories de pieux : les pieux préfabriqués et battus d'une part, les pieux exécutés dans le sol d'autre part.

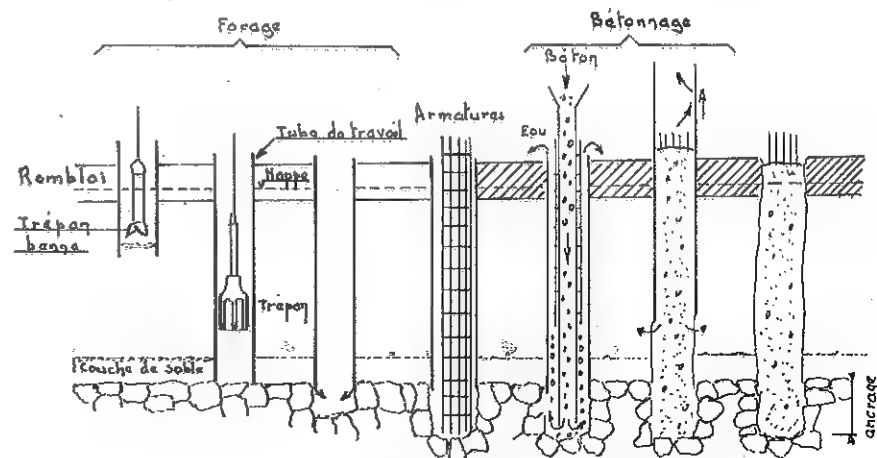


FIG. X-2. — Principe d'exécution d'un pieu foré à l'abri d'un tube de travail.

10.1.2 Pieux préfabriqués en béton armé.

Ces pieux sont enfoncés dans le sol, soit par battage, soit par pression, rotation, lançage ou vibration. Leur section (circulaire, carrée ou polygonale) est en général constante, mais elle est quelquefois élargie à la base. Ils peuvent être creux, ou évidés, ou à vis.

Pendant le battage, ces pieux sont soumis à des efforts considérables, ils doivent être réalisés avec du béton de très haute qualité. Ils nécessitent, à partir d'une certaine longueur, une armature de flexion importante pour permettre leur bardage. Ils doivent être préfabriqués sur une aire de stockage qui prend beaucoup de place et ne peuvent être battus, en général, qu'après 28 jours de séchage.

De plus, ces pieux ne sont d'un usage pratique que si le toit de gravier, sur lequel ils reposent, est homogène et pratiquement horizontal, sinon, leur longueur peut varier de plusieurs mètres. On doit alors réaliser des entures ou des recépages, opérations toujours laborieuses, donc coûteuses.

Dans le cas du béton précontraint, il convient notamment que le type de précontrainte (par exemple à fils adhérents) ou les moyens d'injection des gaines, garantissent le maintien de la tension des fils malgré l'enture.

10.1.3 Pieux exécutés *in situ*.

On doit distinguer deux catégories de pieux exécutés dans le sol : les pieux moulés ou forés dans le sol et les pieux à tubes battus.

Pour réaliser les pieux forés moulés dans le sol, on excave, grâce à un forage, le volume qui sera celui du pieu et le béton est coulé dans le vide créé. Les pieux à tube sont également bétonnés en place, à l'intérieur d'un fourreau provisoire, métallique, qui est battu et ensuite relevé progressivement au fur et à mesure du bétonnage, sauf en cas de gaines perdues.

Bien souvent, la mise en place du béton doit se faire sous l'eau. Il convient de l'exécuter avec beaucoup de soin. La chute libre du béton directement dans l'eau est proscrite. Le béton, qui ne doit pas être gâché sec, mais avec une bonne consistance plastique, doit être descendu à l'aide d'un tube plongeur. (Slump test supérieur à 18 cm.)

Le relevage des gaines provisoires doit s'effectuer avec beaucoup de précautions, de façon à éviter absolument toute interposition accidentelle du terrain dans le béton qui a tendance à être soulevé surtout lorsque le diamètre est faible et le béton raide.

La garde du béton, c'est-à-dire la différence de niveau à respecter entre la surface du béton et la base du tube, est fonction de la nature du terrain, de la pression de l'eau au niveau considéré et des poussées possibles des couches fluantes éventuelles. Dans les conditions les plus favorables, cette garde ne doit pas être inférieure à deux fois le diamètre du tube, on doit vérifier systématiquement

quement que le béton n'est pas entraîné par le tube au moment de son extraction.

Lorsqu'on exécute les travaux sous la nappe phréatique, celle-ci ne doit pas être en pression ni en mouvement. Afin d'éviter le délavage du béton, on peut être amené éventuellement à établir un niveau artificiel d'eau ou de bentonite à l'intérieur du forage.

Les pieux moulés peuvent aussi être forés à la rotation sous boue bentonitique, dans des conditions similaires à celles des parois moulées (tubage court en tête, contrôles de la boue et du bétonnage, cf. chapitre VIII), les tarières lourdes permettant des diamètres de l'ordre de 2 mètres en terrain meuble. Avec les bennes d'excavation de parois on réalise des « barrettes » de section rectangulaire ou composite (L, T, H , caissons) modulée selon les dimensions de la benne.

Aux Etats-Unis, on utilise d'une manière courante des pieux métalliques, souvent sous forme de poutrelles H incorporées dans le béton. Très souvent également, une gaine métallique ondulée perdue, à section décroissante vers le bas, est battue à l'aide d'un mandrin de même forme, puis remplie de béton. Ce processus permet de vérifier aisément la verticalité des gaines avant bétonnage.

10.1.4 Classification et méthodes de calcul des pieux.

On peut, selon Terzaghi, adopter la classification suivante liée au mode de fonctionnement des pieux :

Pieux flottants dans un sol à gros grains, très perméable.

Lors du battage, le pieu refoule et compacte le terrain. Au voisinage du pieu la porosité et la compressibilité du sol sont réduites, de ce fait le frottement latéral sur le pieu est augmenté. Ces pieux transmettent d'ailleurs la plus grande partie des charges par l'intermédiaire du frottement latéral, c'est pourquoi on les appelle des pieux flottants.

Pieux flottants dans un sol à grains fins de faible perméabilité.

Ces pieux se comportent comme les précédents mais ne compactent pas le sol de façon appréciable.

Pieux chargés en pointe.

Ils reportent pratiquement toutes les charges sur une couche résistante située à une profondeur importante au-dessous de la construction.

Les sols sont, dans la pratique, très hétérogènes, aussi le calcul théorique des fondations sur pieux implique-t-il obligatoirement des simplifications radicales. Les subtilités théoriques telles que celles qui concernent le calcul de la résistance à la rupture des groupes de pieux au moyen de la théorie de l'élasticité, sont tout à fait illusoires et peuvent être négligées impunément.

Pour déterminer la force portante des pieux isolés, on peut recourir aux méthodes ci-dessous :

- utiliser des formules basées sur les résultats du battage des pieux ;
- interpréter les essais de mise en charge d'un ou plusieurs pieux ;
- utiliser des formules statiques de force portante établies à l'aide de la mécanique théorique des sols ;
- interpréter les diagrammes de pénétration obtenus soit avec le pénétromètre statique, soit avec le pénétromètre dynamique.

On va étudier successivement chacune de ces méthodes.

10.2 FORMULES DE BATTAGE.

10.2.1 Généralités.

De très nombreux types de pieux sont enfoncés dans le sol par battage à l'aide d'un mouton et d'une sonnette. Il est d'usage de déterminer l'enfoncement moyen du pieu, mesuré soit sous un coup, soit, de préférence, sous une volée de 10 ou 20 coups de mouton. La précision de la mesure de l'enfoncement est évidemment dans ces deux derniers cas beaucoup plus grande. On donne souvent le nom de refus à cet enfoncement moyen ; on se conformera, ici, à cet usage bien que cette manière de parler introduise quelque ambiguïté, car le refus c'est aussi l'impossibilité de faire descendre le pieu par de nouvelles volées de coups de mouton.

De nombreuses formules dynamiques ont été établies, soit sur des bases théoriques, soit à partir de données purement expérimentales. Dans le cas du premier type de formule, on exprime qu'il y a équivalence entre le travail du mouton et le travail des forces résistantes qui s'opposent à l'enfoncement du pieu. En s'appuyant sur la théorie de la percussion, on considère que le travail total du mouton, diminué du travail perdu pendant le choc, par les déformations élastiques ou par toutes autres causes, est égal au produit de la résistance opposée au mouvement (diminuée du poids du mouton et du poids du pieu) par l'enfoncement du pieu sous l'effet du coup de mouton. C'est cette résistance au mouvement que l'on assimile à la charge portante du pieu.

Lorsque le mouton entre en contact avec le pieu, il le met en mouvement, sa vitesse diminue pour devenir égale à celle du pieu après le choc. Mais à l'instant de l'impact, le mouton rebondit et subit donc une nouvelle diminution de vitesse. Il faut en tenir compte dans le calcul.

Les différentes causes, auxquelles on a fait allusion ci-dessus, autres que les chocs et les déformations élastiques, susceptibles d'absorber une certaine énergie, sont les vibrations du sol, du pieu, de la sonnette, ainsi que les résistances passives et les déformations permanentes du pieu, du mouton et du sol entraîné.

On connaît fort mal ces pertes d'énergie et il est difficile de les évaluer mais comme elles sont, en général, faibles, on a l'habitude de les négliger.

Enfin, l'application des formules de battages (dynamiques) aux calculs de charges portantes (statiques), se heurte en principe à une difficulté théorique. Il est, en effet, bien évident que le comportement statique d'un pieu sous les charges permanentes d'un ouvrage, ou même sous des surcharges rapidement variables, n'est pas nécessairement le même que sous un choc. Il y a donc à la base de toutes les formules de battage une contradiction, puisqu'on identifie une charge portante « dynamique » à une charge portante « statique ».

Dans un massif pulvérulent relativement compact et perméable, les essais de laboratoire (triaxial ou œdomètre) donnent les mêmes résultats pour des charges appliquées rapidement ou lentement. Pour ce genre de massif, l'application des formules dynamiques doit donner des résultats relativement exacts.

Dans un milieu cohérent peu perméable, le sol peut être lubrifié par la présence de l'eau et ne présenter apparemment aucune résistance, alors qu'un frottement important se développera ultérieurement. Dans ce cas, les essais de battage donnent des résultats trop faibles pour le frottement latéral. Par contre, en ce qui concerne la résistance à la pointe, les charges instantanées pendant le battage sont entièrement reprises par l'eau qui n'a pas le temps de se mettre en mouvement par suite du faible coefficient de perméabilité.

La résistance statique à la pointe peut être très différente lorsque la charge est appliquée pendant un temps plus ou moins long. Après un jour de repos, par exemple, on obtient quelquefois des refus beaucoup plus faibles. Donc pour les massifs cohérents peu perméables, l'application des formules dynamiques peut donner des résultats qui n'ont aucun rapport avec la force portante de rupture statique des pieux.

L'obtention d'un certain refus est généralement une condition nécessaire mais non suffisante. Il arrive, en effet, que des pieux pour lesquels le refus n'a pas été atteint soient susceptibles de porter des charges importantes (phénomènes de thixotropie) mais, inversement, il y a des exemples relativement nombreux pour lesquels on ne peut exercer avec sécurité la charge résultant de l'application des formules de battage au refus mesuré.

Dans le cas de battage en milieu cohérent immergé, il faut toujours procéder à un ou plusieurs essais de chargement *in situ* (conformément aux recommandations de l'article 10.3) pour vérifier les charges portantes déduites des formules de battage.

Malgré ces difficultés, on continue à utiliser les formules de battage, car elles sont d'un emploi relativement simple. Les résultats auxquels elles conduisent ont fait l'objet d'études systématiques et pour certaines d'entre elles, on peut être assuré d'une concordance satisfaisante avec les résultats des essais de chargement.

10.2.2 Formule de Crandall.

Dans sa chute, le mouton acquiert une énergie MH qu'il communique au pieu. Si toute l'énergie était transmise et s'il n'y avait pas, par ailleurs, des pertes d'énergie, on pourrait écrire :

$$Qe = MH$$

soit

$$Q = \frac{MH}{e}$$

Dans cette formule due à Sander (1850) Q représente la charge portante, M la masse du mouton, H sa hauteur de chute et e le refus.

La formule de Sander donne des résultats trop élevés. De nombreuses tentatives ont été faites pour en améliorer la précision, en prenant en compte différents termes complémentaires représentant certaines pertes d'énergie.

La formule la plus élaborée est celle de Chellis que l'on trouvera ci-dessous, elle est valable pour un mouton en chute libre et à simple effet :

$$Q = \frac{1}{F} \cdot \frac{MH}{e + \frac{1}{2}(e_1 + e_2 + e_3)} \cdot f \cdot \frac{M + r^2 P}{M + P}$$

Les lettres Q , M , H et e ont la même signification que ci-dessus. Les autres notations représentent :

F : le coefficient de sécurité.

P : la masse du pieu.

f : un coefficient d'efficacité (il peut varier de 0,75 à 1 suivant le type de marteau).

r : le coefficient de restitution dans le choc (il peut varier de 0 à 0,55 environ, on choisira la valeur 0,25 dans le cas d'un casque en bois placé sur un pieu en béton armé).

e_1 , e_2 , e_3 : les raccourcissements élastiques du pieu (e_1), du casque de battage (e_2), et du terrain (e_3). En première approximation, on peut écrire :

$$e_1 = \frac{QD}{AE}$$

où D et A sont respectivement la longueur et la surface de la section droite du pieu, E est le module d'élasticité du matériau du pieu.

En France, une formule très utilisée est celle de Crandall que l'on déduit très facilement de celle de Chellis en négligeant les raccourcissements élastiques du casque de battage et du terrain, en supposant que le coefficient de restitu-

tion lors du choc est nul et en incorporant le coefficient d'efficacité dans le coefficient de sécurité. On trouve :

$$Q = \frac{1}{F} \cdot \frac{MH}{e + \frac{e_1}{2}} \cdot \frac{1}{1 + \frac{P}{M}}$$

Des études statistiques approfondies ont montré que cette formule était valable dans un éventail assez large de conditions et donnait des résultats assez fidèles. On peut donc recommander d'utiliser avec cette formule un coefficient de sécurité F de 3.

Il faut bien prendre garde de ne pas confondre la formule de Crandall avec deux autres formules, celle des Hollandais qui connaît aussi beaucoup de succès en France et celle de « L'Engineering News » qui a la même vogue aux Etats-Unis. Ces deux formules ne doivent être utilisées qu'avec une extrême prudence, car elles donnent suivant les cas, des sécurités excessives ou insuffisantes.

« L'Engineering News Formula » se présente sous la forme :

$$Q = \frac{1}{F} \cdot \frac{MH}{e + c}$$

tandis que celle des Hollandais s'écrit :

$$Q = \frac{1}{F} \cdot \frac{MH}{e} \cdot \frac{1}{1 + \frac{P}{M}}$$

dans laquelle il est d'usage de prendre $F = 6$.

Si l'on néglige l'influence de la masse du pieu, on constate que ces trois formules diffèrent dans la prise en compte du refus. Dans la formule de Crandall, on ajoute au refus proprement dit la moitié du raccourcissement élastique du pieu ; dans celle des Hollandais on ignore ce terme complémentaire ; dans « L'Engineering News Formula » enfin, on ajoute au refus e , un terme constant c représentatif de certaines pertes d'énergie. Comme on l'a dit plus haut, ces deux dernières manières de faire peuvent être dangereuses.

Bien entendu, tant que le raccourcissement élastique e_1 est petit devant e (ce qui se produit lorsque le refus e est assez grand, c'est-à-dire quand Q est faible et donc e_1 aussi), les formules des Hollandais et de Crandall donnent des résultats équivalents.

On a indiqué plus haut un mode de calcul approximatif pour e_1 . On peut aussi effectuer des mesures directes des raccourcissements élastiques. Divers dispositifs ont été mis au point, mais ces mesures restent délicates.

Pour terminer, on rappellera qu'il ne faut pas se fier aveuglément aux résultats des formules de battage. Il faut saisir toutes les occasions de rassembler des informations sur les conditions du battage et tenter de les interpréter.

Les formules classiques de battage ne s'appliquent plus dans le cas particulier du battage avec un mouton diesel. Il y a donc lieu de recourir à l'utilisation de formules spéciales tenant compte des caractéristiques propres du matériel de battage utilisé.

Le D. T. U. n° 13.2 de mars 1966, relatif aux travaux de fondations profondes pour le bâtiment, précise, à ce sujet, en son annexe II que l'emploi de la formule de Crandall est à conseiller dans l'utilisation des moutons diesel en considérant une hauteur fictive de chute de la masse frappante, chemise exclue, égale au double de la hauteur réelle, soit 2,50 m en général.

10.3 ESSAIS DE CHARGEMENT DE PIEUX EN PLACE.

Si on a contrôlé, au préalable, l'homogénéité de la couche porteuse sur une grande épaisseur, un essai de mise en charge d'un ou plusieurs pieux constitue certainement le moyen le plus précis et le plus exact pour déterminer la charge portante admissible.

Cependant, les essais de ce type sont longs (3 à 10 jours en moyenne selon le processus de chargement) et coûteux (60 000 à 100 000 F). De ce fait, ils sont rarement réalisés, tout au moins en France, pour les investigations préliminaires lors de la préparation des projets d'études de fondations.

Naturellement, si l'homogénéité de la couche porteuse n'a pas été reconnue avec suffisamment de soins, l'essai de chargement n'aura aucune signification, il pourra, en effet, aussi bien être trop favorable que trop pessimiste.

Cadence de chargement.

Lorsque l'essai a pour but de vérifier qu'un pieu peut supporter une charge nominale N donnée, le chargement s'effectue, en général, selon le processus suivant : la première partie de l'essai consiste à appliquer cette force N au pieu en quatre opérations successives de chargement égales chacune à $\frac{N}{4}$. On attendra dix minutes au moins entre chaque opération.

La charge N est alors maintenue constante jusqu'à la stabilisation. On admet que celle-ci est atteinte lorsque l'enfoncement du pieu pendant une heure est inférieur à 0,2 millimètre de son diamètre ou de son côté. Le pieu est ensuite déchargé de la même manière en quatre étapes identiques. On note la stabilisation sous charge nulle. On procède alors au rechargement du pieu jusqu'à la charge d'essai E qui est généralement fixée par les documents contractuels. Cette opération s'opère elle aussi en quatre étapes, tout d'abord par deux fois l'application d'une charge $\frac{N}{2}$, puis par deux fois encore celle d'une charge $\frac{E - N}{2}$. Là aussi, il convient d'attendre une dizaine de minutes au moins entre les deux dernières opérations de chargement. La charge E est maintenue en place jusqu'à ce que la stabilisation soit obtenue.

Lorsque, par contre, l'essai de chargement a pour but d'explorer les possi-

bilités du terrain et de rassembler des renseignements pour la mise au point d'un projet, il n'y a plus de charge nominale. On essaie de pousser le chargement assez loin pour observer l'amorce de la rupture du sol en suivant un processus tout à fait analogue à celui qui a été décrit plus haut, l'opération peut donc durer plusieurs jours.

Interprétation des diagrammes « efforts-tassements ».

L'allure des courbes « charge-tassement » pour les pieux est semblable à celle des fondations superficielles, il en existe donc deux types principaux (Fig. IX-3).

Evidemment, lorsqu'on se trouve dans le cas d'une courbe telle que (a) avec asymptote verticale, il n'y a aucune ambiguïté pour définir la charge portante de rupture. Mais lorsque le diagramme a l'allure (b), il n'en est plus de même. Aussi de très nombreuses recommandations, plus ou moins discordantes d'ailleurs, ont-elles été émises pour l'interprétation de telles courbes efforts-déformations.

Le code de la Ville de Boston (Etats-Unis) prescrit, par exemple, d'admettre comme charge portante de calcul la moitié de la charge provoquant un tassement permanent d'un demi-pouce (12,7 mm) après exécution de l'essai et déchargement. Ce mode de définition de la charge portante admissible est assez arbitraire.

On étudiera avec plus d'intérêt la règle proposée par Parez. Cet auteur préconise de suivre l'évolution des tassements sous charge constante après chaque opération de chargement et de déterminer

la « vitesse de tassement $\frac{ds}{d \lg t}$ » correspondante.

La courbe représentative de la variation de cette vitesse en fonction de la charge appliquée présente en général un coude très marqué (Fig. X-3). Cette croissance rapide de la vitesse de tassement correspond certainement à un changement très important dans le comportement du pieu. On adoptera donc pour charge de service une certaine fraction (60 à 80 %) de cette charge limite à laquelle correspond la variation brutale de la courbe représentative de la vitesse de tassement.

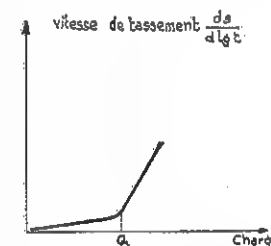


FIG. X-3. — Interprétation d'un chargement de pieu.

Précautions à prendre.

Trois méthodes de chargement sont généralement utilisées :

— Disposer au-dessus du pieu soumis aux essais, la charge constituée par des pièces de fonte ou d'acier. Cela nécessite l'installation d'une plateforme relativement grande pour les charges supérieures à 100 tonnes ; il y a lieu de vérifier soigneusement l'équilibre de ce dispositif qui risque d'être instable.

Il faut s'assurer, par ailleurs, que la charge reste toujours centrée correctement sur le pieu pendant toute la durée de l'opération, pour éviter tout basculement de celui-ci.

— Utiliser un vérin qui prend appui sur des câbles scellés, à l'aide d'ancrages profonds, nettement plus bas que la pointe des pieux (au moins 5 m).

— Battre trois pieux en ligne et placer une poutre métallique ou en béton à leur extrémité supérieure ; un vérin prenant appui sur cette poutre applique les charges sur le pieu central qui est le pieu d'essai, tandis que les deux pieux d'extrémité absorbent par leur résistance à l'arrachement, les réactions nécessaires.

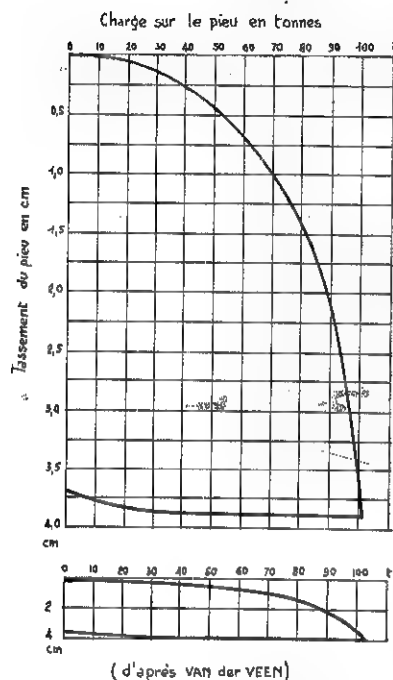


FIG. X-4. — Allures des courbes tassement-charge selon l'échelle employée.

10.4 DÉTERMINATION STATIQUE DE LA CHARGE PORTANTE.

10.4.1 Formules classiques.

La figure X-5 montre un pieu isolé soumis à une charge Q et fiché dans une couche de terrain homogène de grande épaisseur. La charge Q est équilibrée d'une part par la résultante Q_f des forces de frottement qui s'exercent sur la surface latérale du pieu au contact du terrain et d'autre part par la résistance que rencontre le pieu sur sa pointe. Si q_p est la pression moyenne sous la pointe et A la section droite du pieu, la résistance à la pointe Q_p est donnée par :

$$Q_p = Aq_p.$$

Les fleximètres utilisés pour les essais de chargement doivent être disposés de telle sorte qu'ils soient soustraits à l'influence des tassements ou mouvements de sol provoqués par le déroulement de l'opération.

Van der Veen a attiré l'attention sur la nécessité d'être très prudent dans l'interprétation des essais de chargement de pieux. En effet, selon l'échelle utilisée pour représenter le diagramme charge — tassement du pieu, l'allure de la courbe représentative d'un même essai peut être très différente ainsi qu'en témoigne la figure X-4.

Si l'on considère sur cette figure la courbe inférieure, il semble qu'à 100 tonnes on soit encore très loin de la rupture, par contre la courbe supérieure montre que cette impression est erronée.

On peut donc écrire la relation générale d'équilibre :

$$Q = Q_f + Q_p = Q_f + Aq_p.$$

L'explicitation des deux termes du second membre de cette relation en fonction de c et φ , a donné lieu à un grand nombre de formules basées sur des hypothèses plus ou moins contestables. Il est, il faut bien le reconnaître d'ailleurs, extrêmement difficile d'évaluer, aussi bien sur le plan théorique que pratique, les deux termes Q_f et q_p . Les forces de frottement peuvent même changer de signe si le terrain tasse le long du pieu. On a, alors, un *frottement négatif* qui surcharge le pieu au lieu de le soutenir.

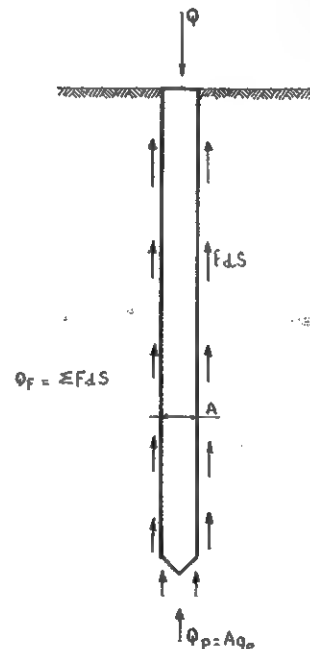


FIG. X-5. — Résistance de pointe et frottement latéral.

Frottement latéral.

Dans les milieux pulvérulents compacts, le pieu en s'enfonçant refoule le terrain et provoque, dans le massif, l'apparition de la butée. Mais on est ici dans un équilibre de révolution, et non plus dans un équilibre plan à deux dimensions, du type de ceux qui ont été étudiés dans le chapitre V.

On admettra néanmoins, avec Caquot, que l'on peut utiliser les mêmes formules et les mêmes coefficients, et l'on écrira, en supposant que la butée se développe avec une obliquité δ : (Fig. X-6)

$$f = k_p \gamma z \sin \delta$$

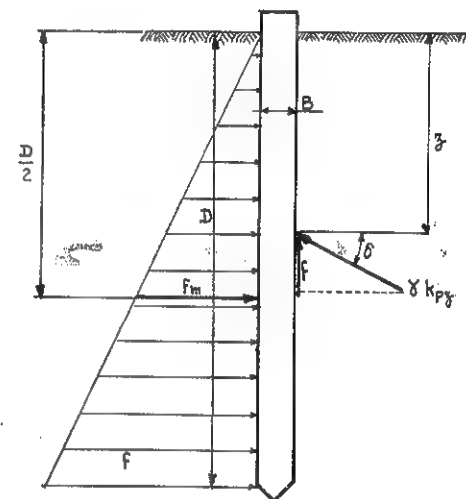


FIG. X-6. — Frottement latéral d'un pieu en milieu pulvérulent.

où k_{py} est le coefficient de butée correspondant à un écran vertical, un terre-plein horizontal et une obliquité δ . On voit que le frottement latéral unitaire f croît proportionnellement à la profondeur.

Si l'on additionne ces forces élémentaires tout le long de la surface latérale du pieu, on trouve finalement :

$$Q_f = (k_{py} \sin \delta) \cdot \gamma \frac{D^2}{2} \cdot p$$

formulé dans laquelle p représente le périmètre de la section droite du pieu. On peut d'ailleurs mettre en évidence le frottement unitaire moyen :

$$f_m = \frac{Q_f}{pD} = (k_{py} \sin \delta) \cdot \gamma \frac{D}{2} = \alpha \gamma \frac{D}{2}$$

Le tableau I donne les valeurs du coefficient

$$\alpha = k_{py} \sin \delta$$

pour les deux obliquités $-\varphi$ et $-\frac{2}{3}\varphi$ et pour différentes valeurs de φ .

L'expérience a montré qu'en pratique, le frottement latéral était toujours inférieur aux valeurs déterminées avec l'obliquité $\delta = -\varphi$, mais était voisin de celles évaluées avec l'obliquité $\delta = -\frac{2}{3}\varphi$, spécialement dans les milieux peu denses.

TABLEAU I

Valeurs du coefficient α
intervenant dans l'expression du frottement unitaire moyen

$$f_m = \alpha \gamma \frac{D}{2}$$

| φ (degrés) | α pour $\delta = -\varphi$ | α pour $\delta = -\frac{2}{3}\varphi$ |
|-----------------------|--------------------------------------|---|
| 10 | 0,285 | 0,186 |
| 15 | 0,567 | 0,364 |
| 20 | 1,03 | 0,641 |
| 25 | 1,81 | 1,100 |
| 30 | 3,21 | 1,88 |
| 35 | 5,85 | 3,27 |
| 40 | 11,3 | 5,90 |
| 45 | 23,7 | 11,4 |

D'après Caquot et Kérisel.

Dans un milieu cohérent doué de frottement, on peut résoudre le problème de façon analogue en utilisant le théorème des états correspondants. Il faut donc ajouter au frottement unitaire calculé précédemment, un terme dû à la cohésion. La composante tangentielle de la contrainte due à la cohésion a pour expression :

$$k_{pq}(c \cot \varphi) \cdot \sin \delta = \beta c$$

avec

$$\beta = k_{pq} \cot \varphi \sin \delta$$

où k_{pq} est le coefficient de butée des surcharges (voir chapitre V).

Si l'on admet que $\delta = -\varphi$, on a

$$k_{pq} = \frac{\cos \varphi}{1 - \sin \varphi} \cdot e^{2 \lg \varphi \left(\frac{\pi}{4} + \frac{\varphi}{2} \right)}$$

Le frottement unitaire f s'écrit alors :

$$f = \beta c = c \frac{\cos^2 \varphi}{1 - \sin \varphi} \cdot e^{2 \lg \varphi \left(\frac{\pi}{4} + \frac{\varphi}{2} \right)}$$

soit

$$\beta = (1 + \sin \varphi) \cdot e^{2 \lg \varphi \left(\frac{\pi}{4} + \frac{\varphi}{2} \right)}$$

Le tableau II donne les valeurs de cette fonction β pour différentes valeurs de φ . Bien entendu, lorsque $\varphi = 0$, ce coefficient est égal à 1.

Dans un terrain doué à la fois de frottement interne et de cohésion, on peut donc prendre en compte le long du pieu, un frottement unitaire moyen de la forme :

$$f_m = \alpha \gamma \frac{D}{2} + \beta c$$

les deux coefficients α et β dépendent des angles φ et δ .

Lorsque $\varphi = 0$, cette formule se simplifie radicalement puisque

$$\alpha = 0 \quad \text{et} \quad \beta = 1$$

on a alors

$$f_m = c$$

L'expérience montre d'ailleurs que cette dernière formule est assez optimiste et que pour les argiles sans frottement, le coefficient β peut être inférieur à 1.

Caquot et Kérisel proposent la relation expérimentale suivante :

$$\beta = \frac{1 + c_u^2}{1 + 7 c_u^2}$$

où c_u est la cohésion apparente exprimée en bars.

On voit que ce coefficient β diminue assez rapidement, lorsque c_u augmente, jusqu'à $\beta = 0,25$ pour $c_u = 0,1$ MPa ; la décroissance est ensuite beaucoup plus faible. Cette valeur du frottement latéral est celle que l'on constate lors du battage ; avec le temps, la pression interstitielle apparue au moment du battage se dissipe et le frottement latéral augmente le plus souvent pour retrouver une valeur voisine de $f = c$. Très fréquemment, on admet en première approximation.

$$0,5 < \beta < 0,85.$$

TABLEAU II

Valeurs du coefficient β figurant dans le terme supplémentaire de frottement latéral βc dû à la cohésion dans les argiles à frottement

| φ (degrés) | β |
|-----------------------|---------|
| 10 | 1,60 |
| 15 | 2,06 |
| 20 | 2,70 |
| 25 | 3,62 |
| 30 | 5,01 |
| 35 | 7,27 |
| 40 | 10,36 |
| 45 | 17,97 |

D'après Caquot et Kérisel.

Lorsque le milieu cohérent n'est pas consolidé, la répartition des contraintes de frottement le long du pieu est fort complexe. Si le pieu se déplace plus que le sol, il le charge par frottement, mais inversement s'il advient que le sol ait un déplacement plus important que le pieu, c'est ce dernier qui est chargé. On dit dans le premier cas qu'on a un frottement positif (pieu sur sol) et dans le second cas un frottement négatif (sol sur pieu).

L'apparition d'un frottement négatif est un phénomène général qui peut être provoqué par deux sortes de causes :

— Le tassement des terrains sous leur propre poids (cas des remblais, des vases), phénomène qui peut être accentué par le rabattement de la nappe phréatique (cas de la ville de Mexico, cf. Fig. XII-43 et XII-44).

— L'influence d'une surcharge extérieure appliquée directement au terrain (cas des usines, laminoirs, entrepôts de denrées alimentaires, etc.), cette surcharge extérieure peut quelquefois résulter de l'exécution d'un simple remblai, il ne faut pas oublier que 6 m de remblais exercent une surcharge voisine de celle provoquée par un immeuble de dix niveaux.

On notera l'influence assez considérable de la valeur retenue pour δ dans

l'évaluation du frottement unitaire moyen lorsque l'on est en présence d'un milieu à frottement interne. Seules, des mesures et des expériences peuvent permettre de décider des valeurs qu'il convient d'adopter ; il ne faut pas oublier, en effet, que la base théorique des formules utilisées est très fragile puisqu'on a repris, sans précaution aucune, les coefficients calculés pour l'équilibre à deux dimensions. On trouvera, à la fin de cet article quelques indications à ce sujet.

Tout le calcul a été développé dans le cas d'une couche homogène, mais on pourrait sans difficulté l'adapter au cas d'un milieu stratifié.

Résistance de pointe.

On a vu, dans le chapitre précédent, que la force portante d'une semelle circulaire de diamètre B pouvait être évaluée par la formule :

$$Q = \pi \frac{B^2}{4} (0,4 \gamma B N_r + \gamma D N_q + 1,2 c N_c)$$

où N_r , N_q et N_c sont les facteurs de capacité portante.

De manière classique, on utilise cette formule pour évaluer la résistance de pointe des pieux. On notera toutefois que D est grand devant B dans ce cas et que le terme de surface est toujours négligeable devant les deux autres. On écrira donc finalement :

$$q_p = \frac{Q_p}{A} = \gamma D N_q + 1,2 c N_c.$$

Dans un milieu purement cohérent, la formule précédente devient :

$$q_p = \gamma D + 6 c.$$

Les formules ci-dessus ont été utilisées pendant de nombreuses années, mais il faut bien reconnaître que les résultats auxquels elles conduisent n'ont pas été vérifiés par l'expérience. Que ce soit en milieu pulvérulent ou cohérent, les forces portantes réelles à la rupture des pieux ont toujours été supérieures.

Ces formules sont donc trop pessimistes. On va examiner dans quelle mesure il est possible d'adopter pour les fondations profondes des forces portantes de rupture supérieures.

10.4 2 Vérifications expérimentales des formules statiques.

On vient de présenter les formules classiques de calcul de la force portante des pieux. La pratique courante montre que ces formules donnent des résultats trop faibles. De nombreuses expériences ont donc été tentées pour connaître le comportement exact du sol, et modifier en conséquence les formules classiques.

Les essais *in situ* réalisés couramment ne permettent pas, en général, de

dissocier la résistance à la pointe de celle due au frottement latéral ; la vérification des formules ne peut donc être que globale.

Pour éviter cet écueil, des recherches ont été entreprises en laboratoire avec des pieux modèles réduits ou des pénétromètres. En particulier Kérisel à Paris, Schultze à Aix-la-Chapelle et Vesic aux Etats-Unis, ont effectué différentes mesures dans des bacs à sable. De nombreux essais ont été réalisés dans des cuves de grands diamètres à l'aide de pénétromètres de dimensions variables.

Dans certains pays, on opère, comme en France, sur du sable mis en place à densité constante ; ce procédé est très intéressant sur le plan théorique, mais il nécessite une mise en œuvre relativement longue et difficile. Dans d'autres pays, en Allemagne par exemple, on utilise du sable de densité non uniforme (différences dues à l'ensilage des grains sur une grande hauteur), la densité des diverses couches est mesurée par absorption de neutrons.

On enregistre séparément, sans difficulté, les efforts sur la pointe et sur le fût (frottement latéral). Des jauges de contraintes régulièrement espacées permettent même d'obtenir les variations, le long du fût, du frottement mesuré globalement.

Ces expériences ont montré que le facteur N_q des pieux modèles réduits ou des pénétromètres, est beaucoup plus grand que celui des fondations superficielles et que le frottement latéral déduit de la butée théorique n'est pas entièrement mobilisé pour des grains anguleux, surtout en milieu lâche.

Les essais effectués par Kérisel, à Orléans, dès 1939, ont indiqué que le frottement latéral, en milieu dense, était assez voisin, par défaut, de celui donné par la théorie, mais que l'effort de pointe était six à sept fois plus important.

Pourquoi les calculs de force portante des fondations superficielles donnent-ils, dans le cas des pieux, des résultats insuffisants ? On peut l'expliquer en cherchant la forme des lignes de glissement issues de la base du pieu.

Dans les calculs de semelles, on admet que ces lignes de glissement s'arrêtent au niveau OO_1 , et que les terres sus-jacentes (Fig. X-7) n'agissent que comme une surcharge γD . Or, il n'y a, en réalité, aucune raison pour que les lignes de glissement ne se poursuivent pas au-delà du niveau OO_1 de la pointe, et ne se retournent pas sur le fût lui-même selon une ligne telle que CFE par exemple.

On peut admettre, d'une manière schéma-

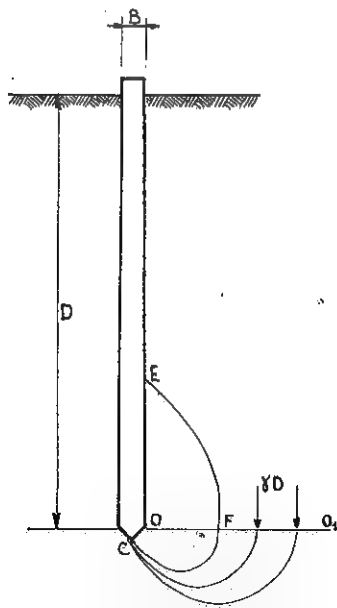


Fig. X-7. — Lignes de glissement issues de la pointe.

tique, que les lignes de glissement qui règnent autour d'un pieu divisent le milieu en quatre zones (Fig. X-8).

— la zone I, limitée par la ligne de glissement $EF'G'$ correspondant au frottement latéral le long du fût ; dans cette zone, le milieu est en équilibre de quasi-butée ;

— la zone II, limitée par la ligne de glissement $OCFE$ correspondant à l'effort en pointe ; dans cette zone, le milieu est également en équilibre de butée ;

— les zones III et IV, situées au-delà des lignes de glissement. Dans ces zones, le milieu n'est pas en équilibre plastique, mais pseudo-élastique.

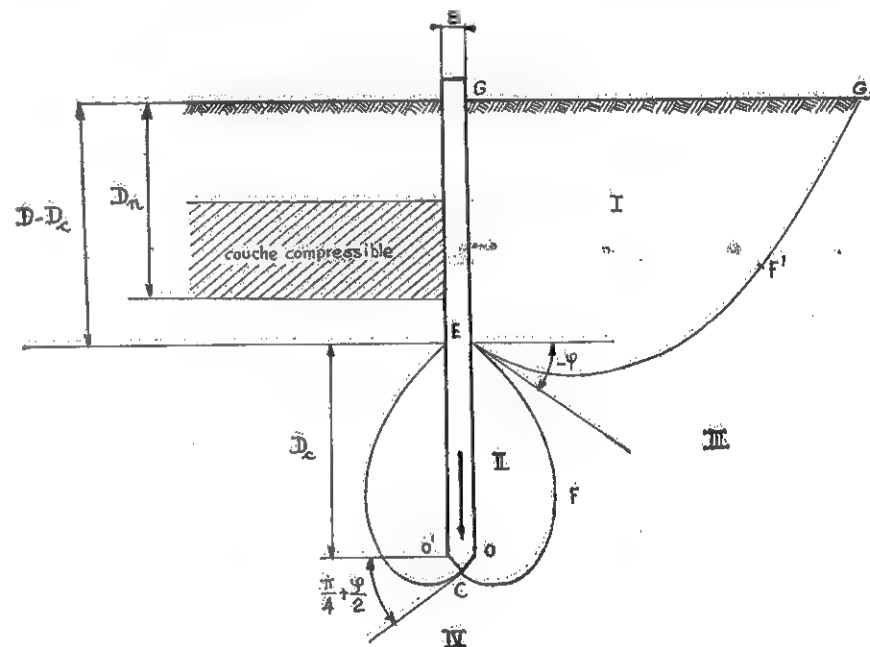


Fig. X-8. — Schéma de fonctionnement d'un pieu.

La force portante des pieux serait connue, si l'on savait déterminer la nature géométrique des lignes de glissement régnant dans la zone II, et en particulier, la position du point E , limite commune des zones I et II, le long du fût. Il resterait alors à évaluer la répartition des contraintes le long du fût de E à O .

Meyerhof a admis que les lignes de glissement dans la zone II étaient des spirales logarithmiques. Il a supposé, en outre, que les réactions du pieu le long de EO pouvaient être mises sous la forme Kz . On peut, à partir de ces hypothèses développer des calculs de capacité portante, mais on aboutit à des formules extrêmement complexes. Il est préférable de suivre la voie proposée par

Caquot et Kérisel qui ont cherché des expressions empiriques pour représenter au mieux le résultat des essais effectués par différents géotechniciens.

A la suite de nombreux essais de laboratoire, effectués en particulier à Londres par Skempton, Yassin et Gibson de 1953 à 1955, Caquot et Kérisel ont proposé de retenir pour le calcul des fondations profondes, la valeur de N_q donnée par l'expression suivante :

$$N_q = 10^{3,04 + 1,8 \varphi} = e^{7,18 \varphi}.$$

On note immédiatement la grande différence entre les fondations profondes et superficielles, puisque pour ces dernières on a

$$N_q = \text{tg}^2 \left(\frac{\pi}{4} + \frac{\varphi}{2} \right) e^{\pi \text{tg} \varphi}.$$

La formule $N_q = 10^{3,04 + 1,8 \varphi}$ ne peut être introduite dans le calcul de la résistance de pointe que si le point E est au-dessous du niveau du sol (Fig. X-8) c'est-à-dire si la spirale logarithmique CFE est entièrement dans la couche porteuse d'angle de frottement φ . La figure X-9 montre le tracé de cette spirale en fonction de φ .

Autrement dit, la fiche du pieu doit être au moins égale à une hauteur dite « critique »

D_c pour laquelle Caquot et Kérisel ont proposé la valeur expérimentale :

$$D_c = \frac{B}{4} N_q^{2/3}$$

(où B est le diamètre ou le côté du pieu).

Cette formule traduit aussi un fait expérimental bien établi : les hauteurs critiques sont proportionnelles aux diamètres des pieux ou des pénétromètres.

De nouveaux essais réalisés à la station de recherches de Saint-Rémy-les-Chevreuse entre 1956 et 1966, avec des pieux de diamètres très différents, ont conduit Caquot et Kérisel à modifier leur formule et à écrire :

$$N_q = 10^{N + 1,8 \varphi}$$

Le coefficient N variant de 3,7 pour les petits diamètres, à 2,7 pour les diamètres de 32 cm.

Lorsque le diamètre du pieu ou du puits dépasse notablement cette dernière valeur, le coefficient N_q devient alors très voisin du coefficient des fondations superficielles.

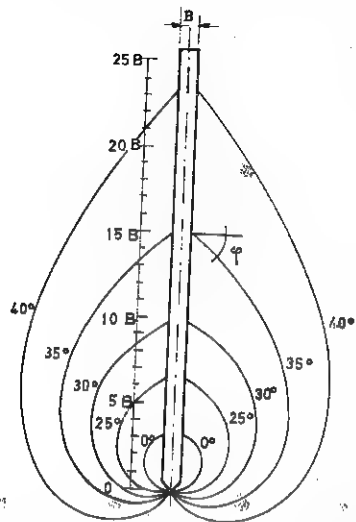


FIG. X-9. — Influence du frottement interne sur la forme des lignes de glissement issues de la pointe.

Pour l'application des formules ci-dessus, on attire tout particulièrement l'attention sur le fait que la pression de poinçonnement en pointe n'est égale à $\gamma D N_q$ qu'au début de la pénétration du pieu ou du pénétromètre dans la couche porteuse. Cette pression de rupture par poinçonnement tend ensuite vers une limite pratiquement constante.

Il est manifeste que la pression de pointe ne peut croître indéfiniment avec la fiche D . Et pourtant, ce phénomène n'a été reconnu que depuis très peu de temps ; pendant de nombreuses années, on a contesté que le poinçonnement puisse se stabiliser à une valeur limite. La constance de la résistance de pointe révélée par de nombreux essais au pénétromètre statique était attribuée à des causes fortuites.

La plupart des essais sur modèles réduits avaient d'ailleurs laissé ce phénomène dans l'ombre parce que, précisément, la profondeur à laquelle il se manifeste, est supérieure aux profondeurs usuelles d'expérience sur modèle réduit.

10.4.3 Utilisation des formules statiques.

Les indications qui précèdent montrent que l'utilisation des formules statiques est extrêmement délicate. Aussi de nombreux auteurs passent-ils sous silence ces formules et préconisent-ils exclusivement l'emploi des formules de battage ou des diagrammes de pénétration.

Il faut souligner que l'insuffisance des formules statiques, relatives tant à la résistance de pointe qu'au frottement latéral, tient probablement en grande partie à la variation de la densité du sol lors du fonçage des pieux, variation qui n'est pas prise en compte dans les formules théoriques.

Lorsque l'on désirera néanmoins se servir des formules statiques pour calculer la force portante des pieux, malgré la contre-indication rappelée ci-dessus, on devra s'assurer que cohésion et frottement interne sont connus avec une bonne précision, ce qui est relativement rare pour les fondations profondes exécutées sous la nappe.

Il faut alors être très prudent dans le choix des différents coefficients qui entrent dans la formule. Pour la résistance de pointe, on n'adoptera pour N_q la valeur $10^{2,7 + 1,8 \varphi}$ que dans la mesure où la fiche réelle est supérieure à la fiche critique D_c (Fig. X-9) et que si les dimensions transversales du pieu n'excèdent pas trop 30 cm.

Pour le frottement latéral, on modifiera légèrement l'expression donnée plus haut et l'on écrira :

$$Q_f = p(D - D_c) \left(\alpha \gamma \frac{D - D_c}{2} + \beta c \right)$$

de manière à tenir compte du fait que la partie basse du pieu contribue à la résistance de pointe et non au frottement latéral. On choisira pour les coefficients α et β (tableaux I et II), les valeurs correspondant à un angle de frottement fictif φ_s tel que $\text{tg} \varphi_s = 2/3 \text{tg} \varphi$ (avec $\delta = \varphi_s$).

Chaque fois que l'on étudie des fondations profondes il ne faut pas oublier

l'intervention possible d'un frottement latéral négatif. Ce phénomène peut se produire en particulier lorsque sur la profondeur $D - D_c$, on a mis en évidence une ou plusieurs couches molles très compressibles (Fig. X-8). Dans ce cas, la formule ci-dessus ne peut plus s'appliquer ; non seulement il n'existe pas de frottement positif au droit des couches compressibles et au-dessus d'elles, mais encore la consolidation des couches molles surcharge le pieu et réduit donc sa force portante nette. Si l'on admet que le frottement négatif qui se manifeste ainsi est du même ordre de grandeur que le frottement positif, on est amené à remplacer dans l'expression de Q_f donnée plus haut, la quantité $D - D_c$ par $(D - D_c - 2 D_{f2})$.

La charge admissible sur le pieu se déduira de la force portante résultant des calculs précédents par l'application d'un coefficient de sécurité qui devra toujours être égal à 3 au moins pour l'effort total et à 2 pour l'effort de pointe considéré seul.

10.4.4 Frottement latéral négatif

Le frottement latéral négatif se manifeste lorsque le terrain traversé par le pieu est le siège d'un tassement. Ceci se produit dans deux cas principaux, lors du rabattement d'une nappe phréatique ou bien en raison de la surcharge de couches très compressibles par des remblais (cf. Fig. X-10) ou à la suite du stockage de matières pondéreuses (terre-plein des usines sidérurgiques).

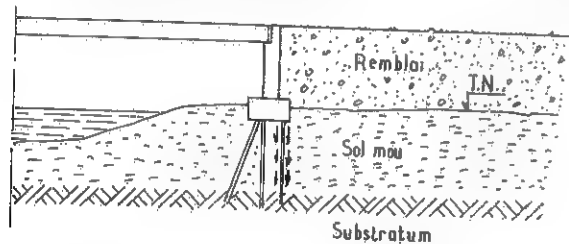


FIG. X-10. — Exemple de frottement négatif.

La détermination de l'intensité du frottement négatif est extrêmement difficile, même pour un pieu isolé. On donnera ci-dessous quelques indications dans le cas d'un pieu fondé sur un substratum incompressible (Fig. X-11). Le pieu traverse successivement un remblai d'épaisseur H_1 puis une couche compressible d'épaisseur H_2 , avant d'atteindre le substratum. Pour qu'il y ait frottement négatif, il faut que le tassement de la couche compressible, sous l'action des remblais, dépasse une certaine valeur minimale. Mais l'amplitude du tassement des couches élémentaires de sol compressible diminue avec la profondeur et l'on peut imaginer qu'à un certain moment le tassement n'est plus suffisant pour provoquer un frottement négatif. La répartition du frottement

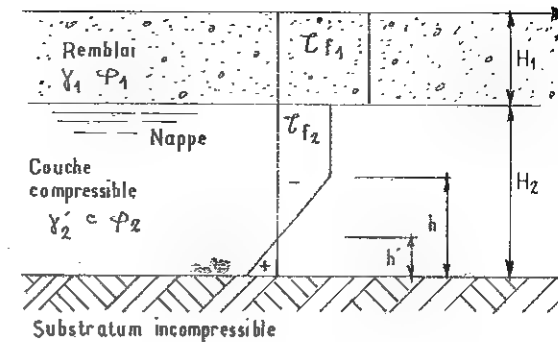
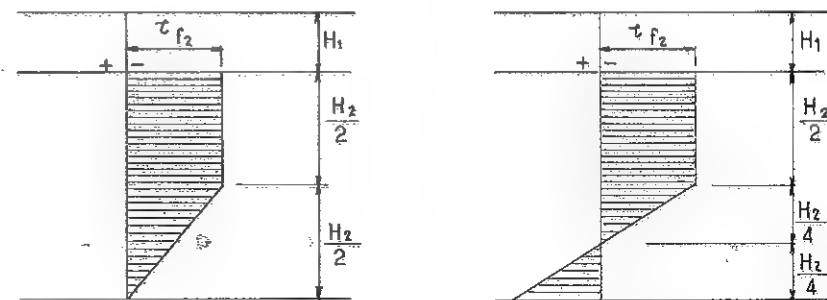


FIG. X-11. — Frottement négatif : principe de la répartition des contraintes.

le long d'une verticale au sein de la couche compressible n'est donc pas uniforme. La figure X-11 indique l'allure générale que peut prendre cette répartition. Le frottement négatif a d'abord une valeur constante τ_{f2} sur une hauteur $(H_2 - h)$ puis le frottement décroît pour s'annuler à une hauteur h' au-dessus du substratum et change éventuellement de signe dans le bas de la couche (où l'on retrouve le frottement positif classique).

Les valeurs de h et h' influent grandement sur l'intensité totale du frottement négatif qui peut varier énormément. Ces valeurs dépendent de nombreux paramètres, comme la déformabilité du substratum, la compressibilité des couches, mais aussi de l'intensité des tassements et de l'élasticité du pieu. Les figures X-12 a et b, précisent l'allure de la répartition du frottement dans deux cas extrêmes : celui d'une couche très compressible par rapport au



a. couche très compressible

b. couche peu compressible

FIG. X-12. — Répartition du frottement négatif dans une couche compressible.

substratum et celui d'une couche de compressibilité comparable à celle du substratum. On trouve alors, sans difficulté, pour le frottement négatif total :

$$F_2 = \frac{3}{4} \tau_{f2} \pi d H_2 \quad \text{dans le cas } a$$

$$F_2 = \frac{1}{2} \tau_{f2} \pi d H_2 \quad \text{dans le cas } b.$$

On admet généralement que dans le remblai, le frottement négatif a une intensité constante τ_{f1} qui dépend des caractéristiques géotechniques du terrain mais aussi de la valeur comparée du tassement et du déplacement nécessaire pour mobiliser le frottement. Le frottement négatif total dans le remblai vaut donc :

$$F_1 = \tau_{f1} \pi d H_1.$$

Pour appliquer ces formules, il faut déterminer les frottements unitaires à prendre en compte. Cette estimation est très délicate.

Pour un matériau purement cohérent, on admet $\tau_f = c$.

Pour un matériau pulvérulent, on propose :

$$\tau_f = 2(\tan \varphi - \tan 28^\circ) \sum \gamma h \quad \text{pour } \varphi \geq 28^\circ$$

et

$$\tau_f = 0 \quad \text{pour } \varphi < 28^\circ.$$

Lorsqu'il y a à la fois frottement interne et cohésion, on écrira en première approximation :

$$\tau_f = c + 2(\tan \varphi - \tan 24^\circ) \sum \gamma h.$$

Lorsque le remblai est le siège de déplacements importants, le Laboratoire Central des Ponts et Chaussées propose une méthode légèrement différente (LCPC, Fonds, 1972) on se contentera de le signaler.

Dans le cas d'un groupe de pieux, le phénomène peut être beaucoup plus complexe. Si les pieux sont suffisamment espacés, et si les tassements du sol sont tels que l'on puisse craindre de mobiliser l'effet maximal du frottement négatif, les efforts engendrés dans le pieu pourront être évalués de la même manière que sur le pieu isolé.

Cependant, pour des espacements courants (de 3 à 6 diamètres), il convient de prendre en compte un effet d'accrochage du sol sur le groupe de pieux. En effet, avec des tassements appréciables, les couches supérieures du sol s'accrochent suffisamment au groupe pour ne pas surcharger les couches inférieures à la valeur maximale.

Dans ce cas une méthode d'évaluation approchée des efforts produits dans

les pieux par le frottement négatif a été proposée par Zeevaert, de Beer et Wallays.

Ces brèves indications sont loin d'épuiser le sujet, on a voulu surtout attirer l'attention du lecteur sur l'importance du phénomène et sur sa complexité.

10.5 PÉNÉTROMÈTRE ET FONDATIONS PROFONDES.

Pour appliquer les formules statiques, il faut pouvoir calculer N_q , donc connaître très exactement les caractéristiques géotechniques du terrain qui doit être supposé homogène. Or, il y a beaucoup de difficultés à prélever des échantillons intacts pulvérulents à grande profondeur et l'interprétation des essais de laboratoire est souvent délicate (« droite » de Coulomb non rectiligne, par exemple, ou discordance entre les angles de frottement mesurés au triaxial et à la boîte de cisaillement).

De plus, les formules théoriques sont établies en faisant des hypothèses sur les répartitions des contraintes pour des terrains idéaux. Dans la nature, le sol est généralement loin d'être « homogène » et « idéal », la répartition réelle des contraintes n'est pas celle envisagée. En outre, les formules statiques ne tiennent pas compte du mode d'exécution des pieux.

Pour lever ces difficultés, on peut procéder à une détermination *in situ* de la force portante grâce à un appareil spécialement construit dans ce but : le pénétromètre. On décrira cet appareil plus en détail dans le chapitre XII, on se contentera de dire maintenant que c'est un engin en forme de pieu élané qui permet de mesurer à la fois la résistance à la pointe et la force portante totale ; par différence on calcule sans peine la résistance due au frottement latéral. La figure X-13 montre le schéma de l'appareil : on mesure l'effort de pointe en faisant avancer le cône qui termine l'appareil tandis que le fût qui donne le frottement latéral reste fixe ; on peut aussi faire avancer simultanément le fût et le cône et mesurer ainsi la charge portante totale. On peut également mesurer le frottement latéral unitaire directement sur un manchon spécial (Cf. Fig. XII-22).

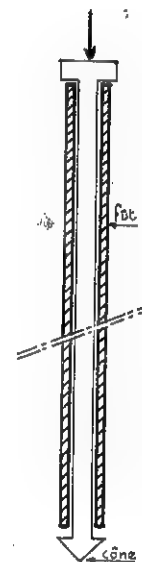


FIG. X-13.
Pénétromètre
(principe).

Résistance de pointe.

Les Hollandais, les premiers, ont reconnu dès 1933-1936 que les pénétromètres et les pieux, éléments longs et minces, se comportaient de manière semblable. On ne connaît pas exactement les distributions réelles des contraintes, ni sous un pieu, ni au droit d'un pénétromètre, mais il est tout à fait logique d'admettre, en première approximation, comme les Hollandais et les Belges, que les sollicitations dans les deux cas sont homothétiques, ce qui a d'ailleurs été vérifié par de nombreux essais.

De là découle l'utilisation très simple qui peut être faite du pénétromètre statique pour déterminer les contraintes admissibles et les fiches des pieux.

Kérisel a poursuivi au laboratoire de Saint-Rémy-les-Chevreuse, tout un programme très complet d'expériences et de mesures de l'effort de pointe, avec des pénétromètres de diamètres différents, placés dans des milieux pul-

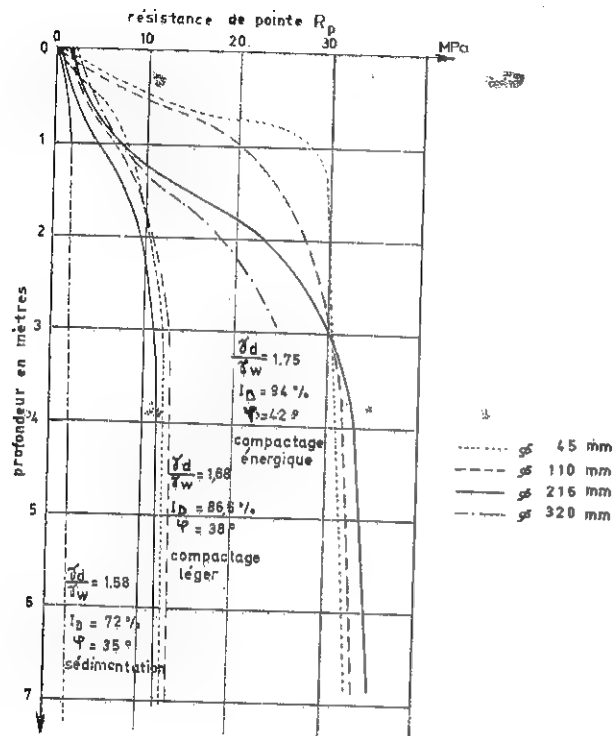


FIG. X-14. — Expériences de Saint-Rémy-les-Chevreuse : variation de la pression de pointe R_p en fonction de la profondeur pour les diamètres de 45, 110, 216 et 320 mm et diverses densités de sable (d'après Kérisel).

vérolents de densités variables. Les résultats qu'il a obtenus sont très caractéristiques et recoupent fort bien ceux des autres expérimentateurs.

La figure X-14 montre la variation de la pression sous la pointe du pénétromètre statique (que l'on frotte habituellement R_p) en fonction de la profondeur. On constate un résultat fondamental auquel on a déjà fait allusion à l'article précédent : quel que soit le diamètre du pénétromètre, la pression de pointe augmente jusqu'à une certaine profondeur à partir de laquelle elle reste pratiquement constante.

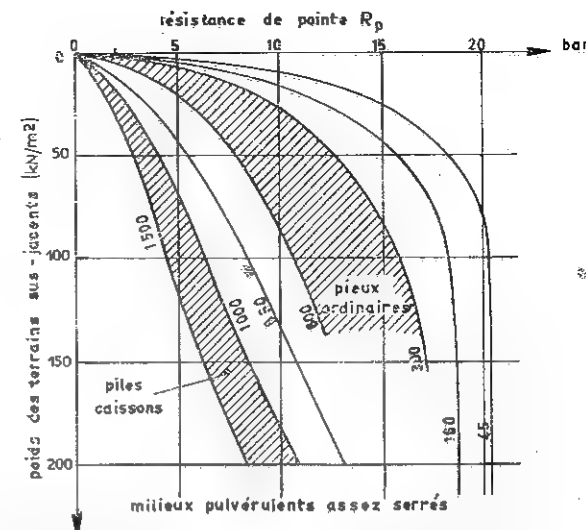


FIG. X-15. — Influence des dimensions des pieux sur la pression de pointe (les dimensions des pénétromètres, des pieux et des piles sont indiquées en millimètres sur les courbes).

Kérisel a rapproché ces résultats des mesures effectuées sur des pieux grandeur nature ou des puits foncés dans des terrains sableux, dans divers pays. La figure X-15 présente la synthèse de ces observations.

Pieu fortement encastré.

Pour les pieux de dimensions courantes, lorsque la fiche est suffisamment importante, on voit que la résistance à la pointe du pénétromètre statique est très voisine de celle du pieu. En pratique on négligera le frottement latéral et on prendra, comme le suggèrent les géotechniciens belges et hollandais, un coefficient de sécurité 2. La pression admissible sous la pointe du pieu q_{ad} sera donc donnée par la formule :

$$q_{ad} = \frac{R_p}{2}$$

Puits ou pieu faiblement encastré.

Lorsque le pieu n'est pas encastré dans la couche porteuse à une profondeur au moins égale à la fiche critique, il y a lieu de procéder à un abattement sur la valeur de q_{ad} déterminée ci-dessus. La figure X-16 indique l'allure des courbes de pénétration dans une bi-couche pour un pénétromètre de 35 mm et pour un

pieu de 35 cm de diamètre. Avec un « pénétromètre » de diamètre nul, la courbe serait composée de deux droites verticales $O_1 a$ et bb' reliées par un palier horizontal (ab). Mais il est évident que pour un pénétromètre de gros diamètre ou pour un pieu de diamètre plus important encore, l'influence de la couche porteuse se fera sentir avant que le pieu ne la rencontre et dans celle-ci, la résistance maximale ne pourra être atteinte que lorsque la fiche critique sera dépassée.

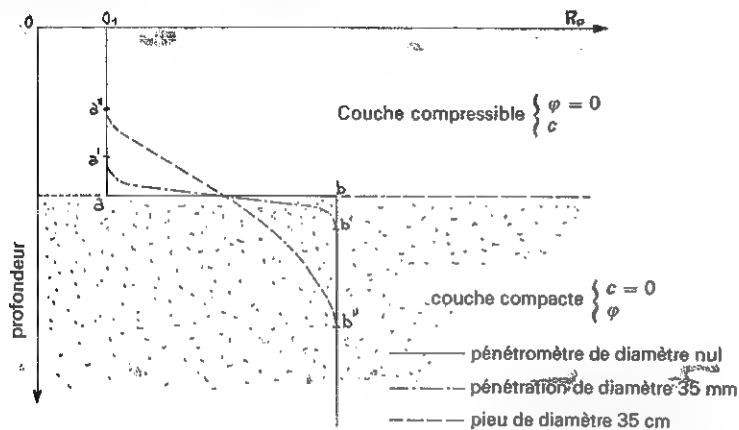


FIG. X-16. — Allure d'un diagramme de pénétration à la frontière de deux couches de résistances différentes.

A l'entrée d'une couche compacte, la résistance à la pointe du pieu est sensiblement égale à la moitié de celle du pénétromètre statique. Donc, pour les puits encastrés de 50 cm environ dans la couche porteuse, c'est-à-dire simplement « posés » sur celle-ci, on pourra, toujours en négligeant le frottement latéral, retenir pour pression admissible, en prenant par prudence cette fois un coefficient de sécurité 3,

$$q_{ad} = \frac{R_p}{6}$$

Pour les fiches intermédiaires, on interpolera entre $\frac{R_p}{6}$ et $\frac{R_p}{2}$.

On soulignera qu'il est logique de prendre des coefficients de sécurité différents (2 et 3) pour les pieux suffisamment encastrés dans la couche porteuse et pour ceux simplement « posés » sur celle-ci. En effet, dans le premier cas la résistance à la rupture de pointe du pieu est très voisine de R_p , dans le second elle est approximativement égale à $\frac{R_p}{2}$. Mais comme il ne s'agit que d'une approximation il est légitime de porter le coefficient de sécurité de 2 à 3 dans ce cas particulier.

Naturellement, le diagramme de pénétration statique, qui met en évidence les couches molles de faible épaisseur, constitue une véritable « radiographie » du sol. Avec un peu d'habitude, on peut en déduire très facilement et avec beaucoup de précision les différents niveaux d'assises possibles pour les fondations profondes ou superficielles.

Règle de Geuze.

Lorsque les pieux sont fichés dans des couches pulvérulentes situées entre deux couches très compressibles (vase, argile molle, etc.) (Fig. X-17), il faut être très prudent dans l'interprétation des diagrammes de pénétration, car il est certain que la pression de rupture à la pointe du pieu sera plus faible que celle que développe le pénétromètre. Il y a lieu d'appliquer, dans ce cas particulier, la règle de Geuze.

A la suite de nombreux essais effectués en Hollande, Geuze propose de construire de la manière indiquée sur la figure X-17, le diagramme de pénétration d'un pieu de diamètre B à partir du diagramme relevé avec un pénétromètre de diamètre b . On conserve les points L et M aux deux limites de la couche porteuse, mais on modifie la pente du diagramme en adoptant pour la courbe relative au pieu des angles α_1 et β_1 tels que

$$\operatorname{tg} \alpha_1 = \frac{B}{b} \operatorname{tg} \alpha \quad \text{et} \quad \operatorname{tg} \beta_1 = \frac{B}{b} \operatorname{tg} \beta.$$

L'expérience a montré qu'en général α est plus petit que β .

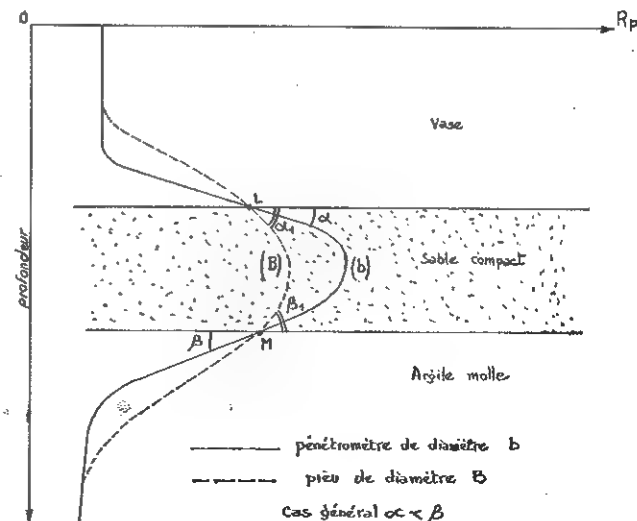


FIG. X-17. — Règle de Geuze.

On lira ainsi sans difficulté les résistances de pointe corrigées que l'on peut escompter pour le pieu de grand diamètre. Et c'est, naturellement, à ces résistances corrigées que l'on appliquera le coefficient de sécurité choisi qui ne devra pas être inférieur à 4.

Là encore il est prudent d'appliquer un coefficient de sécurité de 4 au lieu de 2 pour tenir compte des hypothèses simplificatrices contenues implicitement dans la règle de Geuze.

Naturellement il est absolument indispensable, avant d'utiliser la règle de Geuze, de s'assurer, par de nombreux essais de pénétration, que la couche résistante à une épaisseur uniforme. Au cas où celle-ci ne le serait pas, on devra bien entendu ne tenir compte que de l'épaisseur la plus faible.

Frottement latéral.

Les formules théoriques conduisent souvent à des valeurs surestimées du frottement latéral, elles sont donc dangereuses. Il paraît préférable d'évaluer ce terme à partir des diagrammes de pénétration obtenus à l'aide d'un pénétromètre statique.

La méthode la meilleure consiste à effectuer une mesure directe du frottement latéral sur un manchon spécial de petite longueur (13 à 25 cm). Lorsqu'on a déterminé le frottement unitaire moyen f_p le long du pénétromètre, il reste à apprécier celui que rencontrera le pieu f_m . Bien que certains auteurs, comme Meyerhof, estiment que le frottement sur le pieu est de l'ordre du double de celui sur le pénétromètre, il paraît souhaitable de se limiter pour des raisons de sécurité à $f_m = f_p$ (Cf. Fig. XII-22 et XII-23).

Si le pénétromètre utilisé ne comporte pas de manchon de mesure du frottement latéral, on peut en calculer l'intensité par différence entre l'effort total exercé sur le pénétromètre et l'effort de pointe. Mais cette méthode est trop peu précise. Il est préférable, dans ce cas, d'admettre, comme l'ont proposé divers spécialistes à la suite de nombreuses comparaisons statistiques, que le frottement latéral est égal à un certain pourcentage de la résistance de pointe R_p . On pourra utiliser les estimations suivantes :

- milieu pulvérulent compact ou très dense $f_m = 0,002 R_p$
- milieu pulvérulent lâche ($R_p < 2,5 \text{ MPa}$) $f_m = 0,005 R_p$
- milieu argileux ($R_p < 2,0 \text{ MPa}$) $f_m = 0,01 R_p$.

Certains praticiens déduisent le frottement latéral des diagrammes de pénétration dynamique. Ce procédé doit être déconseillé ; la plupart des pénétromètres dynamiques ne permettent d'ailleurs pas de distinguer l'effort de pointe de l'effort total (Sanglerat, 1974 et 1982).

Remarques.

On signalera les recherches intéressantes, effectuées à Grenoble sur la direction de Biarez, pour tenter, de mettre au point des formules théoriques de force portante des pieux tenant compte des résultats obtenus lors des essais de pénétromètre statique (Puech 1975).

10.6 GROUPES DE PIEUX.

On a traité, jusqu'à présent, de la force portante d'un pieu isolé. Mais dans la pratique, les pieux sont presque toujours battus ou forés par groupe. Il convient d'étudier l'influence de ce voisinage sur la force portante de chaque pieu du groupe et sur le tassement de l'ensemble.

Le comportement d'un groupe de pieux est différent de celui des pieux isolés. Le battage des premiers pieux tout d'abord provoque une altération des propriétés du sol. On constate, d'autre part, des transferts de charges d'un pieu à l'autre.

La modification des propriétés du sol dépend à la fois de la nature du sol et du procédé d'exécution des pieux. Dans le cas de pieux battus dans des sols cohérents saturés, l'augmentation de la pression interstitielle diminue la résistance au cisaillement de 15 à 30 %, selon Broms. Au fur et à mesure de la dissipation de la pression interstitielle, la résistance au cisaillement augmente et retrouve sa valeur initiale au bout de trois mois environ pour les pieux en béton et de six mois pour les pieux métalliques. Le forage des pieux, par contre, modifie très peu les propriétés des argiles.

Le battage diminue la compacité autour du pieu dans des sols très denses, mais pour des sables lâches ou moyennement compacts, il accroît la densité dès que l'espacement entre les pieux est inférieur à 7 ou 8 diamètres.

On a vu que dans le cas d'un pieu isolé, le transfert des charges entre le pieu et le sol s'effectuait à la fois par frottement latéral le long du fût et par résistance sous la pointe. L'enfoncement nécessaire pour mobiliser la résistance au cisaillement du sol est assez faible dans le cas du frottement latéral et beaucoup plus élevé pour la résistance de pointe. Dans ces conditions, tant que l'on n'atteint pas la charge ultime du pieu, le transfert de charges est plus important le long du fût que sous la pointe. Mais dans la plupart des cas, l'enfoncement du pieu provoque un soulèvement du sol près de la pointe. Lorsqu'on se trouve en présence de plusieurs pieux, il en va de même et là encore, les interactions entre les pieux résultent le plus souvent d'un transfert de charge par le biais du frottement latéral le long des fûts.

Dès que l'entraxe de deux pieux est inférieur à un dixième de leur longueur, la capacité portante de chacun des pieux est diminuée. Cet abaissement de capacité dépend de la taille de chaque pieu, de la forme du groupement et de la nature du terrain. Il existe de nombreuses méthodes pour évaluer cette perte de résistance.

On citera d'abord la méthode du coefficient d'efficacité ; c'est un coefficient correcteur qui s'applique à la force portante du pieu isolé et permet de calculer la force portante de l'un des pieux du groupe. Parmi les différentes formules qui ont été avancées pour ce coefficient d'efficacité f , on indiquera, à titre d'exemple, celle de « Los Angeles » :

$$f = 1 - \frac{B}{L} \cdot \frac{1}{\pi mn} [m(n-1) + n(m-1) + \sqrt{2}(m-1)(n-1)]$$

où m est le nombre de rangées,

n , le nombre de pieux dans chaque rangée,

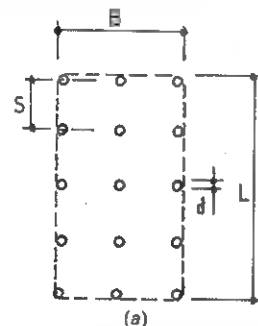
B , le diamètre d'un pieu,

L , l'écartement des pieux d'une même rangée.

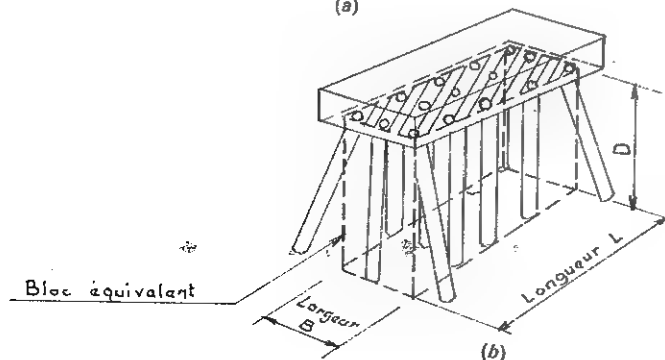
Une autre méthode qui donne des résultats comparables est celle de la « règle de Feld ». On admet que chaque pieu a pour charge portante, la charge

(a) • • (b) •
• • (c) •
• • •
FIG. X-18.
Groupe de pieux.
portante d'un pieu isolé diminuée d'autant de fois $\frac{1}{16}$ de sa valeur qu'il y a de pieux voisins. Sur le schéma de la figure X-18, les pieux tels que a auront une charge portante égale à $\frac{13}{16}$ (soit 81 %) d'un pieu isolé, celle des pieux tels que b sera égale à $\frac{11}{16}$ (soit 69 %), quant au pieu c , sa charge portante n'est que la moitié de celle du pieu isolé ; au total, chacun des pieux du groupe ne peut porter en moyenne que 72 % de ce qu'il aurait supporté s'il avait été seul.

Ces méthodes empiriques ont pour inconvénient de ne pas tenir compte du type de fondations, ni des caractéristiques du sol, mais seulement de la géométrie du groupe de pieux.



(a)



(b)

FIG. X-19. — Bloc équivalent d'un groupe de pieux (d'après Terzaghi).

Il est nécessaire d'effectuer une différence entre les pieux travaillant en pointe et les pieux flottants. L'interaction des pieux travaillant en pointe est généralement faible et l'on peut donc sans grand risque d'erreurs calculer la résistance de pointe de chacun des pieux comme s'il était isolé.

Pour les pieux flottants en milieu cohérent, on recommandera d'utiliser la méthode du « bloc » proposée par Terzaghi. Cette méthode est basée sur la constatation suivante : les pieux et le sol entre les pieux se comportent comme un corps solide chaque fois que l'espacement relatif S/d est petit (cf. Fig. X-19 a). On peut alors calculer la force portante du groupe de pieux en l'assimilant à un bloc enterré à la profondeur de la pointe des pieux et dont la surface recouvre l'ensemble du groupe (cf. Fig. X-19 b). Bien entendu, on calculera également les forces portantes de chacun des pieux du groupe considéré comme isolé et l'on ne retiendra comme valeur définitive que la plus petite des deux estimations : force portante de la semelle ou somme des forces portantes des pieux isolés.

On peut donc définir un coefficient de rendement du groupe par le quotient f

$$f = \frac{Q_G}{\sum Q_i}$$

formule dans laquelle Q_G représente la force portante du bloc et Q_i celle de chacun des pieux considéré comme isolé. D'après ce qui a été dit ci-dessus, f ne saurait dépasser la valeur 1.

A titre d'exercice, on calculera le coefficient de rendement d'un groupe de pieux dont les têtes forment un carré de côté B . Il y a n pieux par file, le groupe comprend, par conséquent n^2 pieux. Chaque pieu a une forme cylindrique de diamètre d (cf. Fig. X-20).

On écrit sans difficulté :

$$Q_G = B^2 c_u N_c + 4 B c_u D$$

avec $B : (n - 1) S + d$ (S est l'entraxe des différents pieux) et c_u = résistance au cisaillement non drainé.

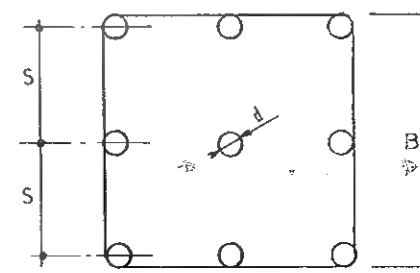


FIG. X-20. — Bloc équivalent carré.

Par ailleurs :

$$Q_i = \pi \frac{d^2}{4} c_u N_c + \pi d D c_a$$

avec c_a = moyenne de l'adhésion sol-fût entre la surface et la profondeur D .

Pour l'argile molle : $c_a \sim c_u$.

Pour l'argile raide : $c_a = \alpha c_u$ avec $\alpha < 1$.

Pour simplifier on prendra $c_a = c_u$ et donc

$$\sum Q_i = n^2 Q_i = n^2 d^2 c_u \left(\frac{N_c}{4} + \frac{D}{d} \right)$$

on obtient finalement :

$$f = \frac{\left[(n-1) \frac{S}{d} + 1 \right] \left[N_c (n-1) \frac{S}{d} + 1 + 4 \frac{D}{d} \right]}{\pi n^2 \left[\frac{N_c}{4} + \frac{D}{d} \right]}$$

La figure X-21 donne les résultats des calculs. On a supposé $N_c = 6$. Les courbes représentent la variation du coefficient de rendement f en fonction de l'espacement relatif S/d pour différentes valeurs du nombre des pieux du groupe (de 4 à 16) et pour deux valeurs de la longueur du pieu (10 ou 50 diamètres).

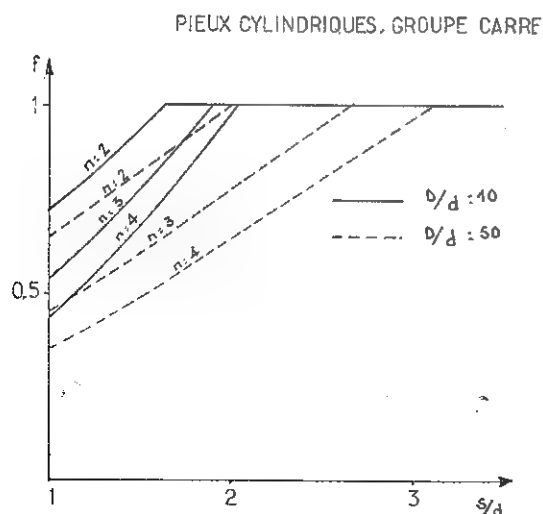


FIG. X-21. — Coefficient de rendement f d'un groupe de pieux.

Si les pieux sont implantés très loin les uns des autres, le coefficient de rendement f est voisin de 1, bien sûr, mais alors le coût de la semelle en tête de pieux est prohibitif. Si les pieux sont très rapprochés, on constate sur les courbes que f décroît assez vite. Il y a donc un optimum à rechercher. Pour une longueur de 50 diamètres, on choisira, par exemple $S = 2,5 d$.

Cette méthode est très satisfaisante car elle permet de déterminer l'optimum de l'espacement relatif pour lequel un bon rendement est obtenu.

En 1976, Broms a présenté des recherches analogues sur les pieux flottants en milieu pulvérulent.

Pour terminer, on dira qu'il faut se préoccuper très soigneusement du tassement des groupes de pieux, principalement lorsqu'il s'agit de pieux flottants battus dans de l'argile plastique, ou à proximité d'une telle couche. C'est un sujet fort délicat qu'on ne peut aborder de façon sommaire. On se contentera donc de signaler l'importance du problème et on renverra le lecteur pour un complément d'informations à des ouvrages plus spécialisés.

10.7 EFFORTS HORIZONTAUX.

Les efforts auxquels sont soumis les pieux sont rarement exclusivement verticaux. Ils présentent souvent une composante horizontale. Il arrive, par ailleurs, que certaines charges provoquent des efforts horizontaux importants, par exemple, les effets de freinage sur une culée.

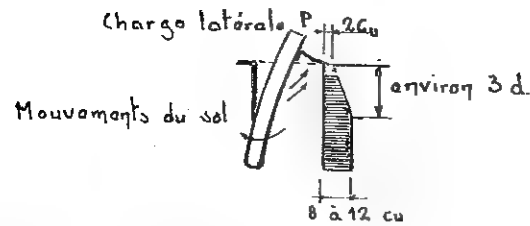
10.7.1 Pieu isolé.

Comme pour les rideaux de palplanches, il faut étudier à la fois la sécurité vis-à-vis de la rupture et la déformabilité du pieu. Pour la charge de service, la déformabilité doit conserver une valeur compatible avec le bon fonctionnement mécanique de l'ensemble. *A priori*, on considérera les pieux courts comme rigides et les pieux longs comme flexibles, la longueur du pieu étant appréciée au regard de son diamètre.

Le calcul du pieu variera selon que le milieu est cohérent ou pulvérulent, le pieu rigide ou flexible, le pieu libre en tête ou encastré.

On dira d'abord quelques mots sur la distribution de la réaction du sol le long d'un fût soumis à une force horizontale. Il est exclu de rechercher la variation de la contrainte sur une ligne horizontale perpendiculaire à la force, on se contentera d'une valeur moyenne calculée en divisant la réaction par unité de longueur du pieu par le diamètre d de celui-ci ou par la largeur d .

La figure X-22 donne cette distribution dans le cas d'un milieu cohérent. En tête, la réaction est égale à $2 c_u$, c'est la résistance à la compression simple. Puis, cette réaction croît progressivement pour atteindre à une profondeur de $3 d$ une valeur comprise entre $8 c_u$ et $12 c_u$. Poulos a constaté qu'à grande profondeur, la réaction du sol dépendait de la forme du pieu. La figure X-23 montre ces valeurs dans différents cas. Finalement, on adoptera, comme le



- a) Déformations.
b) Distribution probable de la réaction du sol.

FIG. X-22. — Distribution de la résistance latérale d'un pieu isolé en milieu purement cohérent ($c_u, \varphi = 0$).

recommande Broms, une valeur constante de $9 c_u$ en dessous d'une profondeur de $1,5 d$ et une valeur nulle au-dessus. Cette approximation est valable pour un pieu isolé. Elle n'est plus exacte dans le cas d'un groupe de pieux.

Pour les sols pulvérulents, Broms propose d'adopter pour la résistance du sol, la distribution correspondant à :

$$q = 3 K_p \sigma_v$$

où σ_v est la contrainte verticale effective qui règne dans le sol et K_p le coefficient classique de butée

$$K_p = \tan^2 \left(\frac{\pi}{4} + \frac{\varphi}{2} \right).$$

Lorsque le terrain présente à la fois de la cohésion et du frottement, Brinch Hansen suggère la formule suivante :

$$q = K_q \sigma_v + K_c c.$$

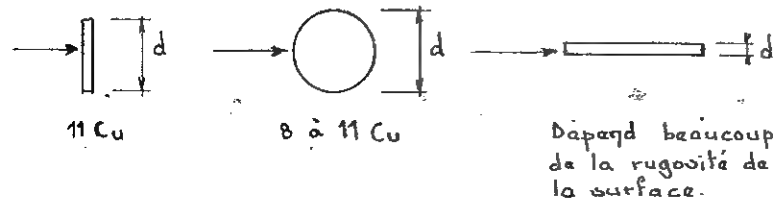


FIG. X-23. — Réaction à grande profondeur d'un pieu en milieu cohérent.

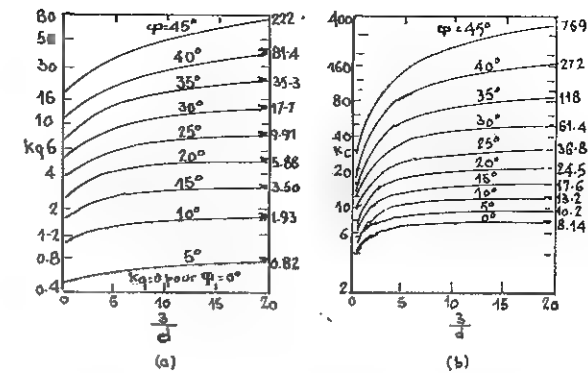


FIG. X-24. — Coefficients de la résistance latérale K_q et K_c .

Les coefficients de réaction K_q et K_c sont donnés sur la figure X-24 en fonction de la profondeur relative z/d et pour différentes valeurs de l'angle de frottement φ . Lorsque $\varphi = 0$ on trouve $K_q = 0$ et $K_c = 8,14$ ce qui recoupe bien les valeurs données par Broms pour un sol purement cohérent. La figure X-25 met en évidence la différence entre la résistance en surface et la résistance à grande profondeur.

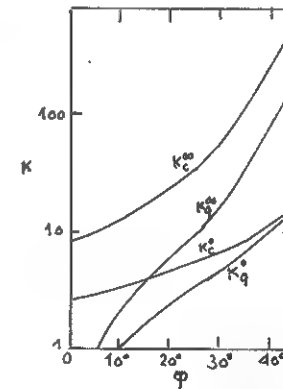


FIG. X-25. — Coefficients de résistance latérale à la surface du sol (0) et à grande profondeur (∞) selon Brinch Hansen (1961).

On peut calculer maintenant la résistance d'un pieu court libre en tête, foncé en milieu cohérent. La figure X-26 a donne la répartition de la réaction et celle du moment fléchissant, le long du pieu.

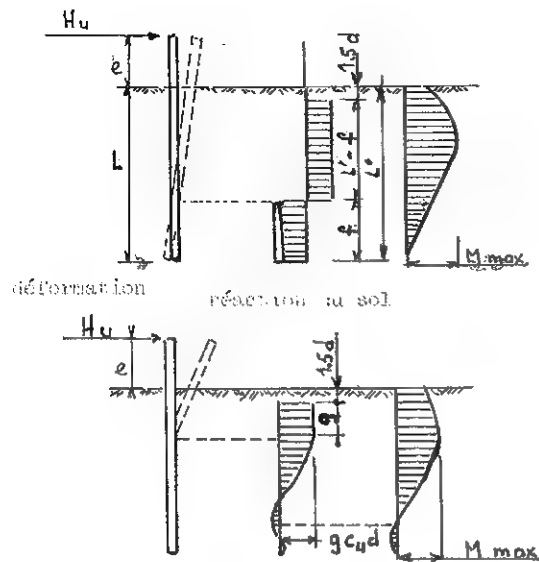


FIG. X-26. — Pieux libres en tête : mécanismes de rupture dans un sol cohérent (Broms, 1964).

On écrira successivement l'équilibre des charges horizontales :

$$H_u = p(L' - 2f) \quad (\text{avec } p = 9c_u d)$$

et l'équilibre des moments au point d'application de la charge horizontale :

$$\left(e + 1,5d + \frac{L' - f}{2}\right)(L' - f) = \left(e + 1,5d + L' - \frac{f}{2}\right) \cdot f.$$

En éliminant f entre ces deux équations, on obtient sans difficulté :

$$H_u^2 + 2pH_u(L + 2e + 1,5d) - p^2(L - 1,5d)^2 = 0.$$

Seule, la racine positive de cette équation convient :

$$H_u = p\sqrt{2\left[L^2 + 2eL + \left(\frac{9}{4}d^2 + 3ed + 2e^2\right)\right]} - p(L + 2e + 1,5d).$$

En faisant apparaître les grandeurs sans dimensions

$$\frac{H_u}{pd}, \quad \frac{L}{d} \quad \text{et} \quad \frac{e}{d},$$

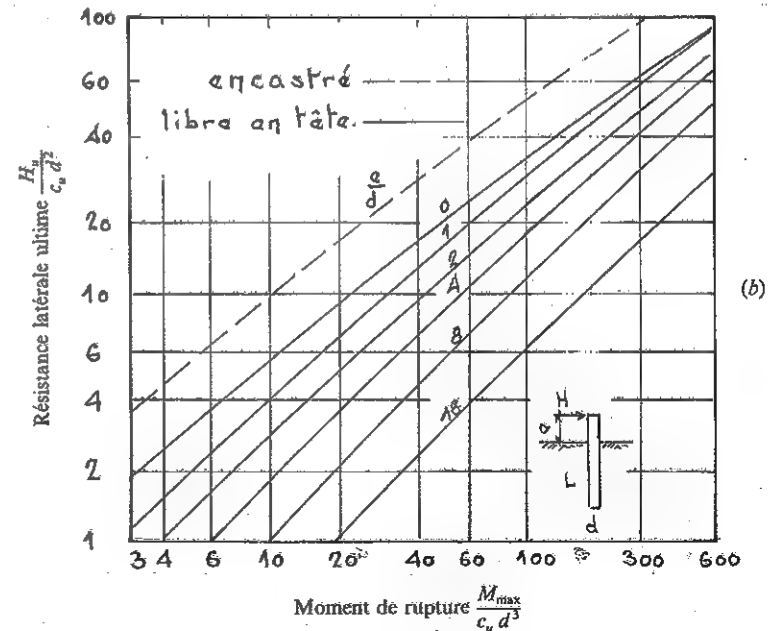
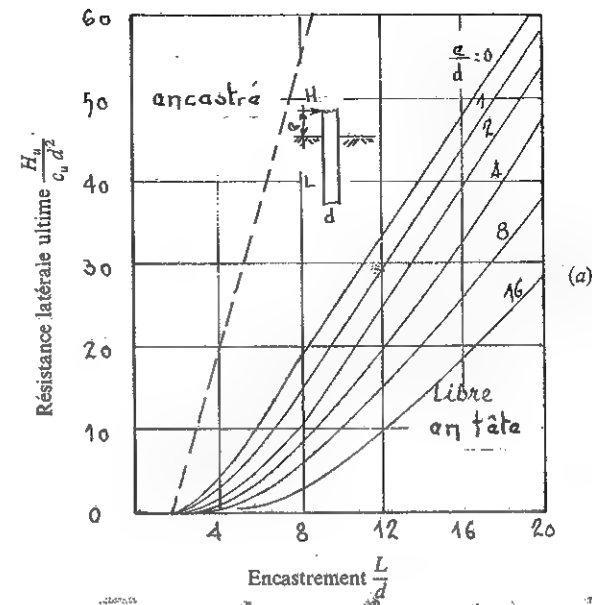


FIG. X-27. — Résistance latérale ultime en milieu cohérent :
a) Pieux courts.
b) Pieux longs (d'après Broms, 1964).

on a finalement :

$$\frac{H_u}{pd} = \frac{H_u}{9 c_u d^2} = \sqrt{2} \cdot \sqrt{\left(\frac{L}{d}\right)^2 + 2 \frac{e}{d} \cdot \frac{L}{d} + \left(2 \frac{e^2}{d^2} + 3 \frac{e}{d} + \frac{9}{4}\right)} - \left(\frac{L}{d} + \frac{2e}{d} + 1,5\right).$$

La figure X-27 a donne les valeurs de $\frac{H_u}{c_u d^2}$ déduites de cette formule qui, on le rappelle, a été calculée dans l'hypothèse d'un pieu court.

Pour un pieu long, la figure X-26 b montre également la distribution de la réaction du sol et celle du moment fléchissant. On se préoccupe seulement de la valeur du moment fléchissant maximal. Celui-ci se produit au point d'effort tranchant nul, c'est-à-dire à une profondeur $(1,5d + g)$ telle que $H_u = pg$.

On a alors :

$$M_{\max} = H_u(e + 1,5d + g) - p \frac{g^2}{2}$$

$$M_{\max} = H_u(e + 1,5d) + \frac{H_u^2}{2p}.$$

Là encore, seule la racine positive convient et l'on écrira :

$$H_u = \sqrt{p^2(e + 1,5d)^2 + 2pM_{\max}} - p(e + 1,5d).$$

En introduisant les quantités sans dimensions :

$$\frac{H_u}{9 c_u d^2}, \quad \frac{M_{\max}}{9 c_u d^3} \quad \text{et} \quad \frac{e}{d},$$

on a finalement :

$$\frac{H_u}{9 c_u d^2} = \sqrt{\left(\frac{e}{d} + 1,5\right)^2 + \frac{2 M_{\max}}{9 c_u d^3}} - \left(\frac{e}{d} + 1,5\right).$$

La figure X-27 b donne les valeurs de $\frac{H_u}{c_u d^2}$ en fonction du moment maximal admissible. La longueur du pieu (si elle est suffisante) ne joue plus de rôle.

On peut développer les mêmes calculs pour un pieu encastré foncé dans un milieu cohérent. La figure X-28 montre, d'après Broms, les distributions de réaction du sol à prendre en compte. La figure X-27, elle, donne dans ce cas et en trait tireté, les valeurs de la force horizontale en fonction de la longueur du pieu (pieu court) ou du moment fléchissant maximal admissible (pieu long).

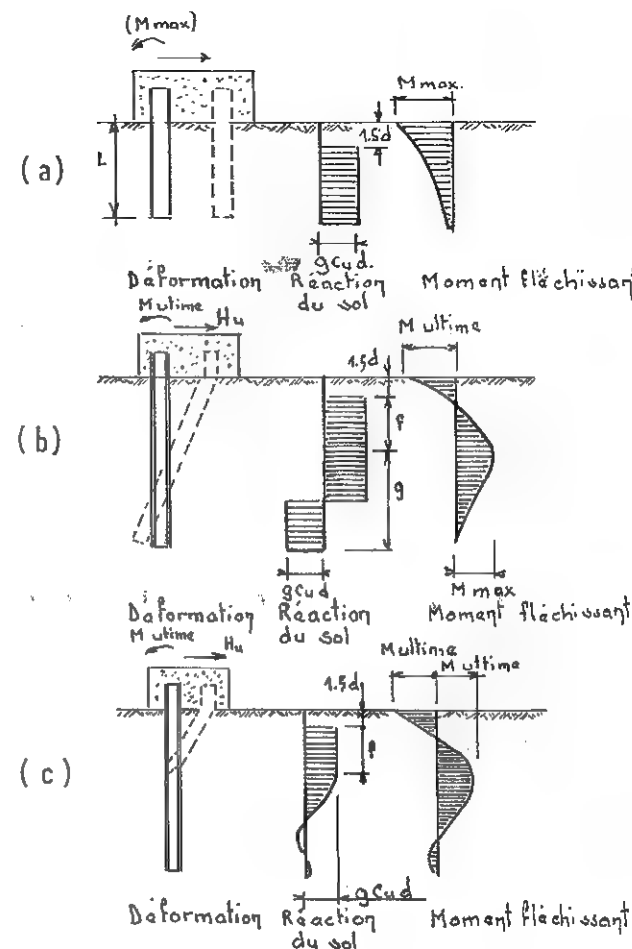


FIG. X-28. — Pieu encastré en milieu cohérent :

- a) Pieu court.
- b) Pieu moyen.
- c) Pieu long.

De la même manière, on peut traiter le cas des milieux pulvérulents. La figure X-29 donne alors la distribution de la réaction du sol et des moments pour un pieu libre en tête, soit court, soit long. La figure X-30 donne les mêmes renseignements pour un pieu encastré. On notera simplement que pour les pieux de longueur intermédiaire, on introduit, comme dans le calcul classique des rideaux de palplanches, une force concentrée F située à la base du pieu.

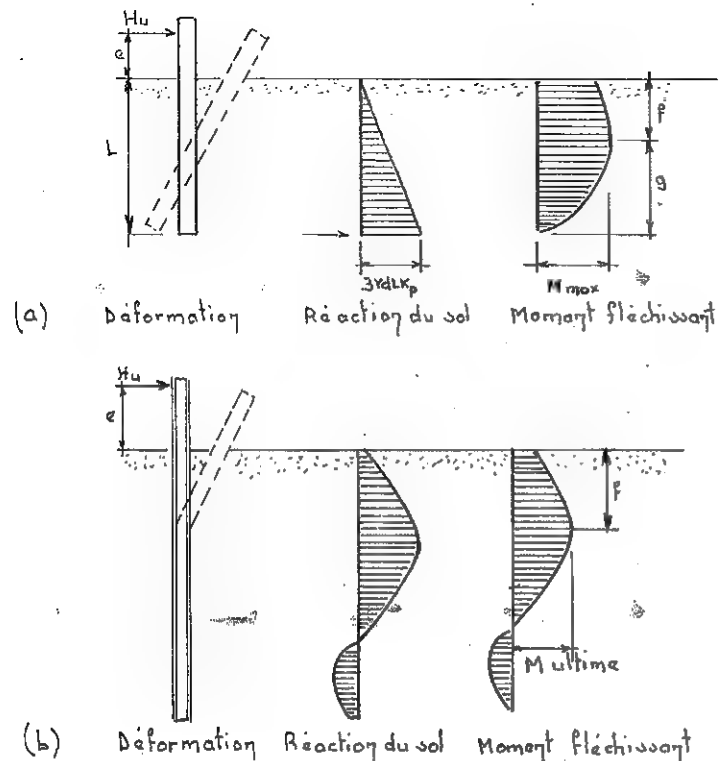


FIG. X-29. — Pieu libre en tête dans un sol pulvérulent :

a) Pieu court.

b) Pieu long (d'après Broms, 1964).

La figure X-31, enfin, donne les résultats du calcul avec la même présentation que la figure X-27. Les quantités sans dimensions sont maintenant :

$$\frac{H_u}{K_p \gamma d^3} \text{ et } \frac{M_{\max}}{K_p \gamma d^4}$$

10.7.2 Groupe de pieux.

La résistance latérale d'un groupe de pieux est plus difficile à évaluer. Cette résistance est vraisemblablement la plus petite des deux valeurs suivantes :

- la somme des résistances latérales des différents pieux, calculées comme si chaque pieu était seul,
- la résistance du bloc de terre comprenant l'ensemble des pieux et le sol avoisinant.

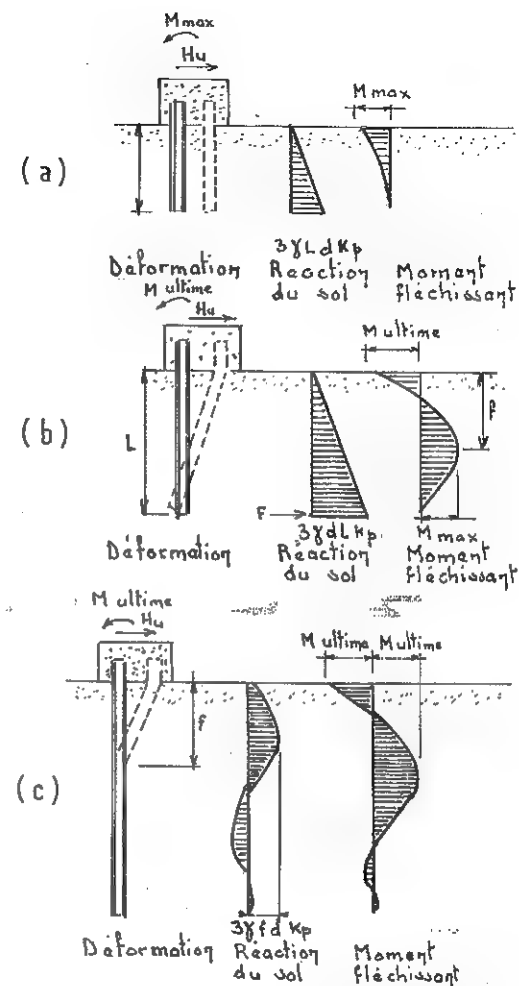


FIG. X-30. — Pieu encastré en milieu pulvérulent :

a) Pieu court.

b) Pieu moyen.

c) Pieu long.

Broms avait admis, pour un pieu isolé, l'existence d'une zone morte sur une profondeur de $1,5 d$ à partir de la surface. Cette hypothèse ne paraît plus valable pour un groupe. Il convient d'adopter pour la profondeur de la zone morte une valeur comprise entre $1,5 d$ et $0,1 L$ (cf. Fig. X-19).

De plus, Roscoe a montré en 1957 que la résistance d'un groupe de pieux encastrés en tête était égale à la somme des résistances des pieux encastrés

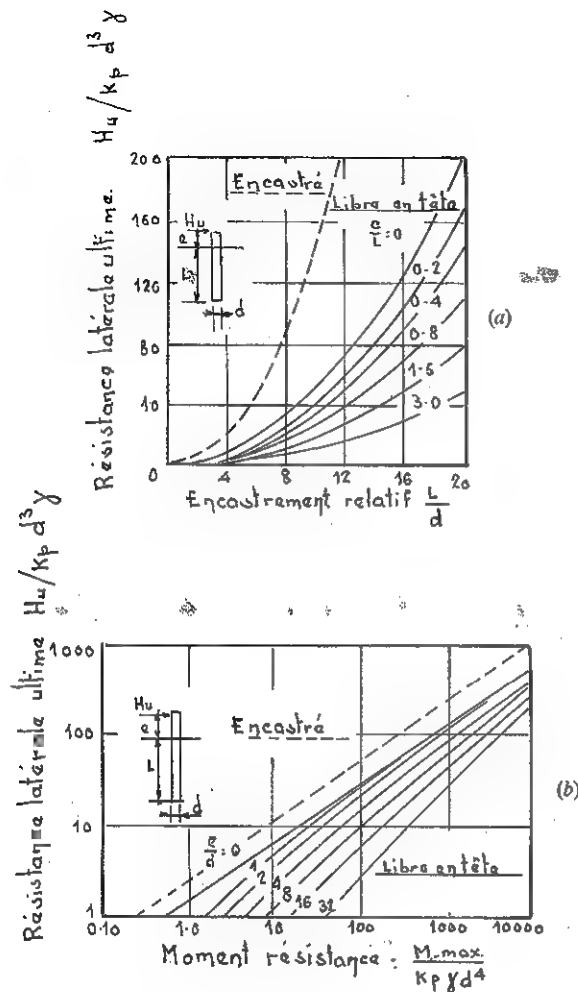


FIG. X-31. — Résistance latérale ultime de pieux en milieu cohérent :
a) Pieu court.
b) Pieu long (d'après Broms, 1964).

considérés comme isolés augmentée de la résistance au cisaillement de la base du groupe.

La prévision des déplacements de groupes de pieux sous l'action des charges n'est pas facile. Il faut tenir compte de l'interaction du sol et du pieu, ainsi que des caractéristiques mécaniques des différentes couches traversées et pour cela faire intervenir les modules de déformations du sol. On se bornera à

indiquer l'existence de programmes permettant de traiter le problème sur ordinateur.

10.7.3 Formule de Tschebotarioff.

On a analysé jusqu'à présent, le comportement du sol lorsque le pieu est soumis à une charge horizontale externe. Il existe un autre cas très fréquent d'apparition d'efforts horizontaux : le milieu lui-même est le siège de déplacements importants et c'est lui qui exerce des efforts horizontaux sur les pieux. La figure X-32 montre deux exemples classiques. A chaque fois, le déplacement d'une couche compressible du sol exerce un effort horizontal important sur des pieux battus ou forés jusqu'à une couche plus compacte. On peut admettre dans le cas représenté sur la figure X-32 b que les poussées exercées sur les pieux deviennent négligeables lorsque la distance entre la tête des pieux et le pied du remblai dépasse cinq fois l'épaisseur de la couche compressible.

Les sinistres correspondants à ces cas de figures sont extrêmement nombreux. L'intensité du phénomène dépend naturellement du coefficient de sécurité vis-à-vis de la rupture d'ensemble par glissement, on exposera dans le chapitre XI les méthodes de calcul correspondantes.

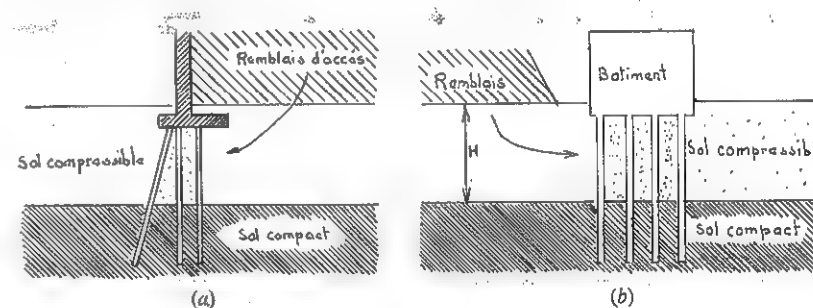


FIG. X-32. — Poussées horizontales provoquées par un remblai construit sur sol compressible.

Lorsque le coefficient de sécurité, calculé par exemple par la méthode de Bishop, est de l'ordre de 1,5, on peut essayer de déterminer l'action du sol sur les pieux par le procédé de Tschebotarioff (cf. Fig. X-33). Cet auteur admet que la répartition de la poussée sur le pieu est triangulaire et que la poussée maximale s'exerce à mi-hauteur de la couche compressible avec une intensité $K_a \gamma h$ (h est la hauteur du remblai).

On donne généralement la valeur 0,4 au coefficient de poussée K . On admet de plus que cette pression est appliquée sur une largeur fictive égale à deux diamètres du pieu. La réaction du sol au milieu de la couche compressible serait donc égale à

$$2 d K_a \gamma h = 0,8 \gamma d h.$$

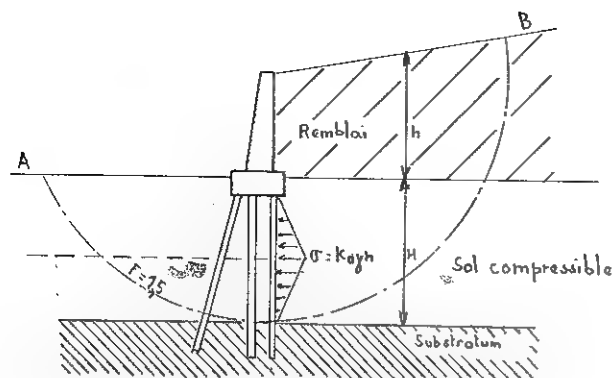


FIG. X-33. — Evaluation par la méthode de Tchebotarioff de la poussée latérale exercée sur un pieu par un remblai sur sol compressible.

L'expérience toutefois a montré que cette valeur était par trop pessimiste et Tchebotarioff lui-même a proposé de ramener cette valeur à $Kd\sigma_z$ tout en conservant la distribution triangulaire; σ_z est l'accroissement de contrainte à mi-épaisseur de la couche compressible sous l'action du remblai.

Il est alors facile de calculer les moments fléchissants maximaux dans le pieu, à l'encastrement et à mi-hauteur de la couche compressible.

On pourra se reporter également aux comptes rendus de la session spéciale du Congrès de Tokyo (1977) consacrée aux effets des charges horizontales sur les pieux, provoqués par des surcharges ou des tremblements de terre. On y trouvera, en particulier, une méthode théorique due à Marche pour le calcul des efforts de flexion dans les pieux sollicités par les déplacements horizontaux des couches qu'ils traversent. Cette méthode conduit à des résultats qui ont été bien confirmés par des mesures en grandeur réelle.

Lorsque les calculs font craindre des efforts horizontaux excessifs sur les pieux, il faut modifier le projet ou adopter certaines techniques particulières de mise en œuvre. On citera la réalisation de remblais légers, soit avec des matériaux légers, comme l'argile expansée, soit avec des éléments préfabriqués alvéolés. On évoquera la possibilité de mise en place de remblais avant la construction des pieux. On indiquera enfin la solution de fondations à forte inertie dans le sens du déplacement, tels que les pieux *H* et les pieux en paroi moulée (ou barrettes).

10.8 COLONNES BALLASTÉES.

Le principe de la réalisation des colonnes ballastées a été indiqué dans le paragraphe 1.4.2. Les colonnes ballastées sont des éléments longs et minces dont le fonctionnement diffère de celui des pieux classiques.

Les colonnes ballastées ne sont pas susceptibles de supporter des charges aussi fortes que les fondations profondes classiques. Aussi, les utilise-t-on en combinaison avec des fondations superficielles. De cette manière, on bénéficie à la fois de la force portante des colonnes et de celle du terrain de fondation.

La colonne ballastée ne résiste que grâce à la pression latérale exercée par le terrain naturel et son comportement peut être assimilé à celui d'un échantillon pulvérulent placé dans l'appareil triaxial. On peut donc calculer la force portante des colonnes ballastées suivant le schéma de contraintes indiqué par la figure X-34 par analogie avec l'essai de triaxial. La contrainte verticale σ_1 est égale, pour un sol pulvérulent à la rupture, à $\sigma_3 \tan^2 \left(\frac{\pi}{4} + \frac{\varphi}{2} \right)$ où σ_3 est la contrainte latérale.

Dans le cas d'une colonne ballastée, la pression latérale σ_3 peut être assimilée à la pression limite p_l mesurée au pressiomètre dans le terrain naturel.

Il en résulte, à rupture, la formule :

$$\sigma_1 = p_l \tan^2 \left(\frac{\pi}{4} + \frac{\varphi}{2} \right).$$

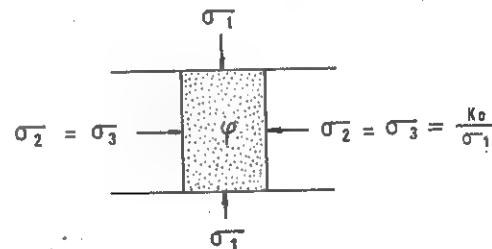


FIG. X-34. — Schéma des contraintes dans une colonne ballastée.

La valeur σ_3 de la réaction latérale peut, bien entendu, être mesurée par d'autres appareils que le pressiomètre, par exemple, le scissomètre ou le pénétromètre. Une fois connue la résistance latérale du terrain naturel, le calcul de portance d'une colonne ballastée revient donc à connaître l'angle de frottement interne φ du matériau de la colonne et la section du fût.

L'angle de frottement interne φ varie généralement de 40 à 45° suivant la nature du matériau d'apport utilisé et, à titre de sécurité, il est admis de le limiter à la valeur de 38°, valeur la plus faible jamais mesurée dans une colonne, d'où la formule simplifiée :

$$\sigma_1 = 4 p_l$$

qui peut être retenue dans un avant-projet.

Le diamètre des colonnes lui peut varier de 0,60 m à 1,20 m suivant le mode opératoire et la nature du terrain naturel.

Il convient enfin de calculer les tassements à attendre dans la couche traitée et, par conséquent, de connaître la valeur du module de déformation à prendre en compte pour le système constitué par colonnes ballastées et terrain naturel. De nombreuses publications ont été faites à ce sujet et aboutissent à la conclusion que la déformation globale du système dépend du rapport des surfaces entre les colonnes et le terrain naturel.

$$E_m(A_s + A_c) = E_s A_s + E_c A_c$$

avec : E_m = module de déformation du sol traité,
 E_s = module de déformation du terrain naturel,
 E_c = module de déformation dans la colonne,
 A_s = surface du terrain naturel,
 A_c = surface de la colonne.

Le calcul de tassement revient donc à connaître le module de déformation de la colonne, les recherches faites par des essais de chargement à court terme ou à long terme permettent d'écrire en première approximation :

$$E_c = 10 E_s$$

sous réserve de ne jamais prendre pour E_c une valeur supérieure à 100 MPa.

Puisque la force portante des colonnes ballastées dépend à la fois des caractéristiques du terrain naturel et des caractéristiques des colonnes ballastées, il est donc indispensable de les bien connaître. Les premières sont généralement déterminées par le rapport d'étude géotechnique préalable. La section des colonnes ballastées, par contre, doit être contrôlée d'une manière minutieuse. Il convient de mesurer avec soin la quantité de matériau d'apport qui a été incorporée en cours de traitement. En particulier, pour les colonnes d'essai exécutées préalablement au début des travaux en terrain vierge, on mesurera le volume du matériau d'apport mis en place pour chaque mètre de hauteur de colonne. Le volume du matériau d'apport est généralement égal à 1,5 fois le volume théorique de la colonne ballastée correspondant à la section prise en compte dans les calculs.

Des informations utiles peuvent également être obtenues par des essais pénétrométriques rapprochés, partant d'un point situé entre deux colonnes ballastées et se rapprochant de l'une des colonnes jusqu'à en tangenter le fût et même la traverser. De tels essais permettent de mettre en évidence une éventuelle amélioration des caractéristiques mécaniques du sol cohérent à proximité des colonnes sous l'effet du compactage.

On peut effectuer également un essai de chargement d'une colonne isolée (Morgenthaler, 1978) mais, comme dans l'essai à la plaque, il s'agit d'un essai à court terme dont l'efficacité est limitée en profondeur. Finalement, les mesures

d'incorporation du matériau d'apport et les essais *in situ* réalisés entre les colonnes constituent les meilleurs contrôles du traitement.

Dans le cas d'un milieu cohérent, la charge de rupture d'une colonne ballastée à la profondeur z peut être calculée conformément à la proposition de Hughes et Wither (1974) par la formule :

$$q_{ult} = K_p(\sigma_z + kc_u)$$

dans laquelle :

σ_z est la pression latérale totale initiale à la profondeur z ,

c_u la résistance non drainée au sol,

k un coefficient (4 ou 5 paraissent des valeurs convenables).

Le coefficient $K_p = \tan\left(\frac{\pi}{4} + \frac{\varphi}{2}\right)$ dépend de l'angle de frottement interne

du matériau qui constitue la colonne ballastée (pierres ou gravier). Des valeurs φ de 36° à 45° sont couramment utilisées,

pour $\varphi = 45^\circ$ on a $K_p = 5,89$.

Si l'on néglige la pression des terres, on peut alors écrire :

$$q_{ult} = K_p kc_u$$

Avec un coefficient de sécurité F vis-à-vis de la charge portante ultime, la charge de service est égale à :

$$q_{ad} = \frac{K_p kc_u}{F}$$

pour :

$$K_p = 5$$

$$k = 5$$

$$F = 3$$

on trouve :

$$q_{ad} = 8,3 c_u$$

Ce résultat est très proche de la valeur de la résistance de pointe R_p du pénétromètre statique mesurée avec un cône simple. En effet, on rappellera que pour les argiles normalement consolidées dans lesquelles R_p est égal ou inférieur à 2,5 MPa, on a :

$$R_p = 10 c_u \text{ avec le cône simple,}$$

ou : $\frac{R_p}{18} < c_u < \frac{R_p}{15}$ avec le cône type Delft,

d'où une recommandation extrêmement simple pour calculer la dimension des colonnes ballastées :

Après des essais de pénétration statique (C.P.T.) réalisés dans le terrain naturel, on adoptera pour le projet de colonnes ballastées :

$$q_{ad} \approx R_p \text{ avec le cône simple,}$$

ou : $q_{ad} \approx \frac{R_p}{2} \text{ avec le cône type Delft.}$

En fin de chantier, il est impératif de réaliser à nouveau des essais de pénétration statique pour vérifier si le sol naturel adjacent aux colonnes ballastées a été remanié ou non durant la mise en œuvre de ces dernières. Si on constate un remaniement qui se traduit par une modification de R_p , on modifiera le nombre des colonnes ballastées ou l'on effectuera un nouveau contrôle cinq ou six semaines plus tard, pour vérifier si un accroissement des caractéristiques géotechniques des couches a pu être obtenu avec le temps.

Lorsque R_p est supérieur à 2,5 MPa, les formules ci-dessus peuvent donner des résultats peu fiables, mais alors, on n'a généralement pas besoin de renforcer le sol par des colonnes ballastées.

Lorsqu'on utilise le pénétromètre à cône simple, on retrouve la règle pratique empirique souvent donnée :

La contrainte admissible sur une colonne ballastée traversant une couche de sol fin cohérent est sensiblement égale à la résistance de pointe mesurée au pénétromètre statique R_p dans le terrain naturel adjacent.

La figure X-35 indique les fuseaux granulométriques des sols dans lesquels on peut envisager l'exécution soit de colonnes ballastées, soit de la vibroflottation.

On trouvera dans le chapitre VIII du D.T.U. 32-2 Travaux de fondations profondes de juin 1978 des indications intéressantes sur les colonnes ballastées.

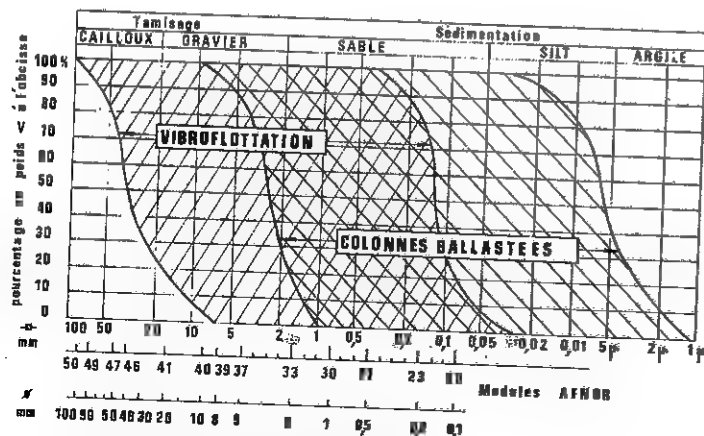


Fig. X-35. — Fuseaux granulométriques des sols compatibles avec la vibroflottation ou les colonnes ballastées.

BIBLIOGRAPHIE

- BAGUELIN, F., JEZEQUEL, J. F. (1972). — *Etude expérimentale du comportement de pieux sollicités horizontalement*. Annales de l'ITBTP, n° 297, pp. 154-204, Bulletin de liaison des laboratoires des Ponts et Chaussées, n° 62, novembre-décembre 1972, pp. 129-170.
- BENGIT, B., BROMS et JORGE SILBERMAN, O. — *Skin friction resistance for piles in cohesionless soils*. Sols-Soils, n° 10, septembre 1964.
- CHELLIS, R. D. — *Piles foundations*. Mc Graw-Hill. New York, 1961.
- D.T.U. n° 13.2, mars 1966. *Travaux de fondations profondes pour le bâtiment*, Cahiers du centre scientifique et technique du bâtiment, n° 79, avril 1966.
- GAMBIN, M. — *Calculation of foundations subjected to horizontal forces using pressuremeter data*. Revue sols soils, n° 30/31, 1979, pp. 17-59.
- KÉRISEL, J. — *Deep foundations basic experimental facts*. Deep foundations conference. Mexico, 7-12 décembre 1964.
- KÉRISEL, J. et ADAM, M. — *Fondations profondes*. Annales de l'institut technique du bâtiment et des travaux publics, novembre 1962.
- MARCHE, R., RECORDON, E. (1973). — *Lateral pressures on piles caused by horizontal displacements in the foundation layers*, 8th ICSMFE. Moscou, Vol. 4.3, pp. 247-252.
- MARCHE, R. (1974). — *Sollicitation en flexion des pieux par les couches qu'ils traversent*. Thèse de doctorat, École Polytechnique Fédérale de Lausanne.
- MARCHE, R. (1974). — *Penetration resistance and soil pile interaction in view of bending moments evaluation*. Proc. of the European Symposium on Penetration Testing. Stockholm, Vol. 2.2, pp. 241-243.
- MARCHE, R., LACROIX, Y. (1972). — *Stabilité des culées de ponts établies sur des pieux traversant une couche molle*. Revue canadienne de géotechnique, Vol. 9, n° 1, pp. 1-24.
- MOHAN, GAIN et KUNAR. — *Load bearing capacity of piles*. Géotechnique, mars 1963.
- OLSON, R. E. et FLAATE, K. S. — *Pile-driving formulae for friction piles in sand*. Journal of the soil mechanics division ASCE, Nov. 1967.
- PUECH, A. — *De l'influence de la compressibilité sur la force portante limite des fondations profondes*. Université de Grenoble, thèse 1975.
- SANGLERAT, G. — *Le pénétromètre et la reconnaissance des sols*. Dunod, 1965.
- SANGLERAT, G. — *The penetrometer and soil exploration*. Elsevier. Amsterdam, 2^e édition 1979.
- SANGLERAT, G., LAREAL, P., GIELLY, J. — *Comparison of penetration test data obtained by different static or dynamic penetrometers*. Symposium on penetration testing. Stockholm, 1974.
- VAN DER VEEN. — *The bearing capacity of a pile*. Comptes rendus du 3^e congrès international. Tome 2. Zurich, 1953.
- VESIC, A. B. — *A study of bearing capacity of deep foundations*. Georgia Inst. Technology, final rept. Project. B 189, 1967.

PROBLÈMES

- ** 1. Calcul d'un pieu battu en milieu pulvérulent homogène à partir d'un essai de pénétration statique.

Déterminer la contrainte admissible sous un pieu battu d'un mètre de diamètre dans un sol composé superficiellement d'argile molle et surmontant une couche de sable moyennement

compact représentée par le diagramme de pénétration statique de la figure X-36 réalisé avec un pénétromètre Gouda ayant un cône Delft.

Comparer les contraintes admissibles sous ce pieu, lorsqu'il est descendu jusqu'au niveau A ou au niveau B.

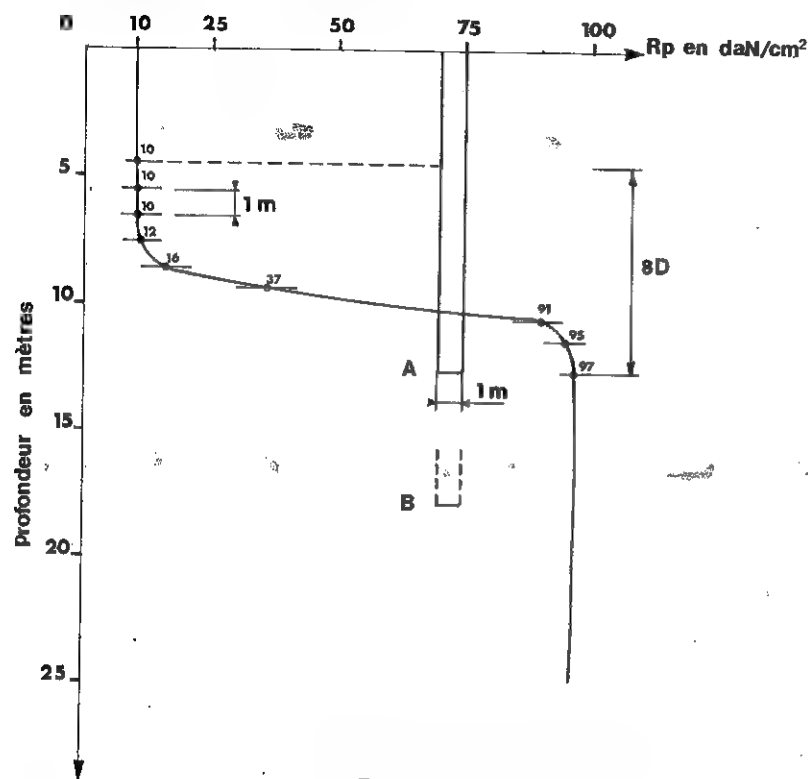


FIG. X-36.

Réponse : $q_{ad} = 3,5 \text{ MPa}$ en A
 $q_{ad} = 5 \text{ MPa}$ en B.

N.B. : On trouvera dans le chapitre 11 (Tome 2) du Sanglerat-Olivari-Cambou la solution détaillée du problème ci-dessus, ainsi que celle de douze autres problèmes concernant le calcul des fondations profondes.

CHAPITRE XI

TALUS ET DIGUES

11.1 GLISSEMENTS DE TERRAIN.

11.1.1 Description des glissements.

Les glissements de terrain se produisent dans des circonstances très variées. Ils affectent des ouvrages construits par l'homme ou des pentes naturelles ; ils se produisent soudainement ou durent plusieurs mois, voire parfois plusieurs années ; la rupture affecte une forme vaguement circulaire ou bien au contraire ne présente aucune caractéristique géométrique particulière ; les causes de glissement paraissent évidentes ou l'on ne peut déceler de raison apparente ; la rupture se produit sous l'action mécanique d'un écoulement d'eau ou parce que le terrain a été progressivement lessivé par une eau pauvre en cations. On pourrait multiplier les exemples et montrer combien la morphologie des glissements présente d'aspects divers tant dans les milieux pulvérulents que dans les milieux cohérents.

De nombreux articles de revues, comptes rendus de congrès décrivent chaque année des glissements particulièrement marquants et tentent d'en expliquer les causes et les modalités. Il y a là une source inépuisable de renseignements pour qui s'intéresse à cette question. C'est à l'ingénieur français Alexandre Collin que l'on doit en 1846 les premières descriptions complètes de glissements et des tentatives d'explications qui ont déjà un caractère moderne.

Parmi les glissements de terrains spectaculaires, on citera celui de la tranchée de la Culebra sur le canal de Panama ; plusieurs dizaines de millions de mètres cubes supplémentaires ont dû être retirés du canal ; on sait également que la ruine d'un mur de quai à Göteborg (Suède) en 1916 a été l'origine des travaux de l'école géotechnique suédoise.

A Lyon, de très nombreux glissements sont survenus sur le flanc de la colline de Fourvière. On note dès 880 la chute d'une partie du forum romain après de fortes pluies qui avaient détrempé le sol. A la suite d'un tremblement de terre au début du XVI^e siècle, de nombreuses maisons se sont effondrées lors d'un glissement de terrain. Le 28 vendémiaire an III (1795) soixante familles ont été englouties dans le quartier du Chemin Neuf, près du Marché St-Jude.

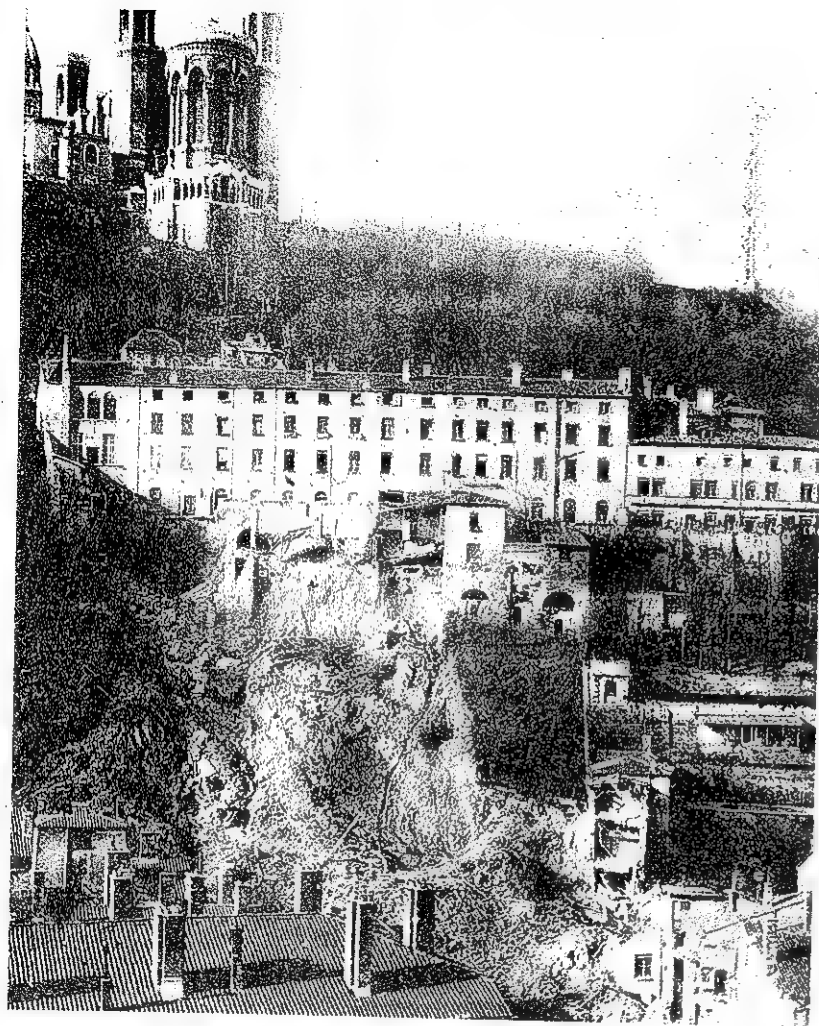


FIG. XI-1. — Glissements de terrain à Lyon.
Colline de Fourvière (13 novembre 1930).

Le 10 novembre 1930, pendant des travaux de réfection du Chemin Neuf, un cylindre s'enfonçait profondément dans la chaussée, ce premier signe alarmant est suivi le 11 novembre par l'apparition de désordres dans différents bâtiments voisins. Enfin le 13 novembre 1930, à 10 h du matin, c'est un très grand glissement qui se produit en deux phases entraînant la mort de 50 personnes dont 23 sauveteurs ensevelis dans la deuxième vague d'éboulis (cf. Fig. XI-1).



FIG. XI-2. — Glissements de terrain à Lyon. Cours d'Herbouville.
Quartier de Saint-Clair (8 mai 1932), photographie René Basset.

Deux ans plus tard, le 8 mai 1932, la colline de la Croix-Rousse glisse à son tour, le long du Cours d'Herbouville (cf. Fig. XI-2) dans le quartier de St-Clair.

Sur le même cours d'Herbouville, à une centaine de mètre en aval du pont de la Boucle (on aperçoit les arcs de ce pont sur la Fig. XI-2) survenait le 31 juillet 1977, un nouveau glissement des terres de couverture du substratum molassique de la Croix-Rousse (cf. Fig. XI-3 et XI-4). Trois habitants trouvaient la mort dans cette nouvelle catastrophe.



FIG. XI-3. — Vue générale de l'effondrement Cours d'Herbouville Lyon 31 juillet 1977 (photographie sapeurs-pompiers Lyon).

Les investigations réalisées au cours des expertises judiciaires, confiées au Président Jean Kérisel, à Guy Sanglerat et au géologue Louis David, ont montré que ce nouveau glissement pouvait être imputé à de nombreuses causes concomitantes, dont plusieurs étaient tout à fait analogues à celles qui avaient entraîné le sinistre de 1932.

Le crassier de la centrale de Jubille près de Liège en Belgique a été lui aussi le siège d'importants désordres. Le 3 février 1961, ce crassier s'est effondré de manière pratiquement instantanée, ce fut une véritable avalanche de cendres; près de 150 000 m³ de matériaux ont ainsi été déplacés à très grande vitesse sur près de 700 m. Plusieurs maisons ont été détruites et onze personnes ont perdu la vie. Les dépenses totales couvrant les travaux de déblaiement, la réparation des dommages et la construction d'ouvrages de sécurité ont vraisemblablement dépassé 100 millions de francs belges. La catastrophe d'Aberfan au pays de Galles est tout à fait analogue, l'effondrement d'un terril y a enseveli un groupe scolaire.

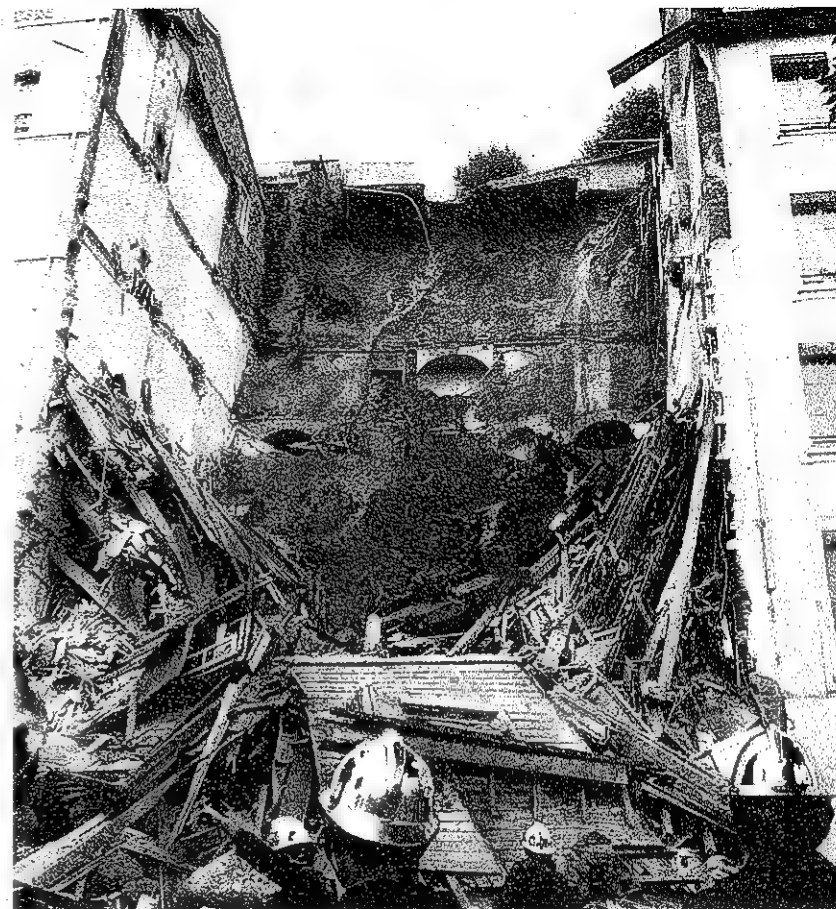


FIG. XI-4. — Sinistre Cours d'Herbouville Lyon 31 juillet 1977 (cuve à mazout et piscine amont suspendues au-dessus du vide). Photo Aigles.

Ces accidents, comme celui du Quai Suet à Tunis en 1950, et certains glissements des berges de la Moselle à la suite des travaux de canalisation, ou bien la catastrophe du barrage de Longarone en Italie qui a provoqué 2 000 morts, montrent, que, malheureusement la liste de tels sinistres n'est pas close et que leurs conséquences peuvent être considérables.

Comment surviennent les ruptures.

Dans quelles circonstances peut-on rencontrer des glissements de terrain ? Tout d'abord dans les pentes naturelles, les ruptures sont souvent liées à

des problèmes d'écoulement d'eau ou d'érosion au pied du massif par une rivière ou par la mer, les questions de rupture à long terme s'y posent assez fréquemment.

On observe aussi des ruptures par glissement dans de nombreux ouvrages artificiels, les talus dressés dans un massif existant pour élargir une plate-forme ou pour ouvrir une tranchée et les talus résultant d'opérations de remblai. Ce genre d'ouvrages se rencontre dans tous les travaux de terrassement qu'il s'agisse de l'aménagement d'une grande zone ou de la construction d'une ligne de chemin de fer ou d'une autoroute qui ne s'accommodent que de faibles pentes longitudinales et entraînent donc la réalisation de terrassements importants.

Les digues des canaux ou des aménagements hydro-électriques, les levées de défense contre les crues constituent une autre catégorie sujette aux ruptures par glissements, on y rencontre des problèmes d'infiltration ou d'érosion des berges.

Les grands barrages en terre et les retenues collinaires posent des problèmes tout à fait analogues parmi lesquels il faut citer en premier lieu le comportement des ouvrages lors des variations brutales du niveau des eaux, c'est-à-dire lors des vidanges rapides qui sont souvent à l'origine de sinistres spectaculaires.

Il faut citer aussi le cas des ouvrages de travaux publics, murs de soutènement, murs de quai fondés sur des couches plus ou moins molles et qui peuvent périr par rupture profonde s'ils sont soumis par exemple à des surcharges dans de mauvaises conditions (Fig. VI-21). Ce type de rupture ressemble beaucoup plus aux glissements de talus qu'aux ruptures que l'on rencontre habituellement sous les fondations superficielles, c'est pourquoi il est normal de le signaler ici.

On ne sait enfin dans quelle catégorie il faut classer les terils et les crassiers dont les talus sont parfois très instables et présentent de ce fait un réel danger pour les agglomérations voisines ; leurs ruptures interviennent principalement sous l'effet des eaux d'infiltration après de fortes pluies (Aberfan).

Différentes causes de rupture.

Au terme de cette énumération, il est intéressant de rappeler les différentes causes de rupture que l'on rencontre et de les classer. On peut distinguer :

- les ruptures dues aux modifications du moment moteur (surcharges des murs de quai par exemple),
- les ruptures provoquées par les modifications des conditions hydrauliques (vidange rapide d'un réservoir, apparition d'un écoulement),
- les ruptures entraînées par les modifications des caractéristiques géotechniques du terrain (ruptures à long terme des pentes naturelles, dessalage de certaines argiles dans les digues collinaires).

La figure XI-5 montre l'aspect que revêt assez fréquemment une rupture de talus. A. Collin avait relevé soigneusement plusieurs ruptures de ce type et

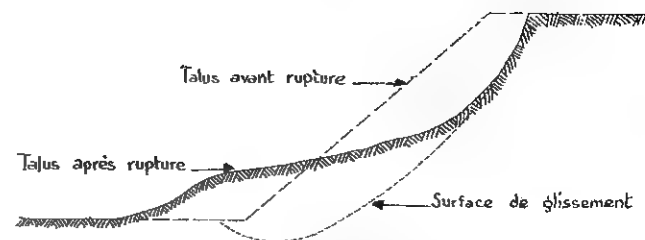
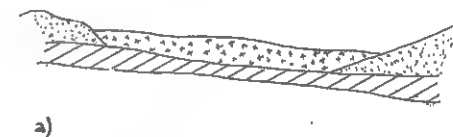


FIG. XI-5. — Rupture sensiblement circulaire.

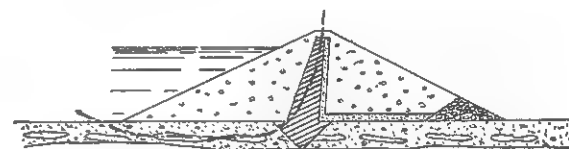
cru pouvoir affirmer qu'elles affectaient la forme de cycloïdes. A l'heure actuelle comme on l'indiquera plus loin, on assimile dans ce cas la surface de glissement à un cercle, principalement pour des raisons de commodité dans les calculs. Mais toutes les ruptures de talus n'affectent pas cette forme grossièrement circulaire, principalement dans les massifs non homogènes.

La figure XI-6 présente deux cas de rupture qui s'écartent nettement du cercle.

Dans la figure XI-6 a, la ligne de glissement est sensiblement parallèle à la surface libre.



a)



b)

FIG. XI-6. — Ruptures non circulaires.

Dans la figure XI-6 b, la ligne de glissement se développe dans un massif hétérogène et suit le tracé des couches de moindre résistance.

Les différents schémas reproduits sur la figure XI-7 montrent une série d'autres types de glissement. Certains auteurs ont tenté des classifications en s'inspirant de l'ampleur et de la forme générale du glissement, du mode de déplacement, du terrain en cause et de son degré de saturation et même, dans certains cas, de la vitesse de déplacement.

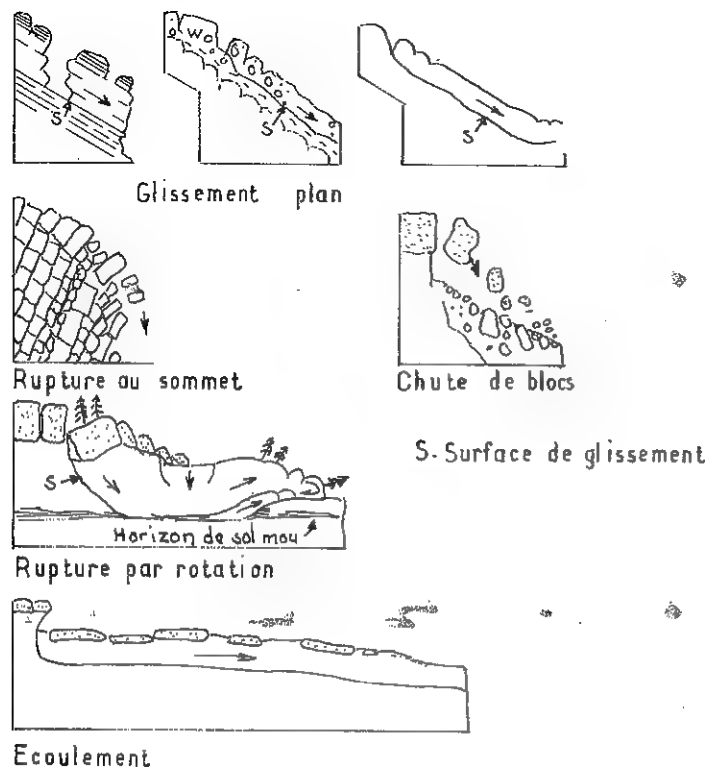


FIG. XI-7. — Différents types de rupture.

On retiendra surtout la catégorie des glissements circulaires qui est la plus abondamment citée dans la littérature.

Même dans le cas simple des ruptures circulaires, on rencontre des aspects variés, car le cercle peut prendre par rapport au talus des positions très différentes. On examinera cette question plus en détail dans le paragraphe 11.2.2, la figure XI-14 indique les différents cas possibles : cercles de pied de talus, cercles de flanc de talus et cercles de rupture profonde.

On se limitera à ces quelques indications sur la morphologie des glissements. On a voulu donner au lecteur un aperçu général de la question et surtout mettre en évidence l'extrême diversité des situations qui peuvent se présenter.

11.1.2 Stabilité à long terme des talus d'argile.

Lors de la construction d'un talus, la distribution de la pression interstitielle dépend de la position de la nappe phréatique mais aussi des variations de volume de l'argile en fonction de la modification de l'état des contraintes. Au cours

du temps, la pression interstitielle se dissipe graduellement et on aboutit à un état d'équilibre hydrostatique. Les contraintes effectives qui gouvernent le phénomène ont une répartition très voisine de celle des contraintes totales. L'étude de la stabilité du talus sous l'action de ces contraintes effectives constitue ce que l'on appelle le problème de la « stabilité à long terme » par opposition à celui que pose l'équilibre du talus à la fin des travaux de terrassement qui est un problème de « stabilité à court terme » et pour lequel l'utilisation des contraintes totales et de la cohésion apparente c_u paraît justifiée.

On verra dans le paragraphe suivant comment on aborde le calcul de la stabilité des talus. Il suffit pour l'instant de savoir qu'on choisit une ligne de glissement potentielle le long de laquelle — on le suppose — se développe la résistance au cisaillement du sol telle qu'on a pu la déterminer en laboratoire, à l'appareil triaxial par exemple.

Mais dans le cas des ruptures à long terme, l'étude de nombreux glissements réels dans des couches d'argile montre sans qu'il puisse y avoir le moindre doute, que les valeurs de la résistance au cisaillement mesurées au moyen des essais de laboratoire courants n'ont pas forcément de relation avec les valeurs qui se sont manifestées réellement dans l'argile au moment de la rupture.

Cette conclusion très nette a été formulée par Skempton qui a prononcé sur le sujet une magistrale conférence en février 1964 à Londres.

Skempton pose deux questions :

— Comment expliquer cette divergence entre les résultats des essais de laboratoire et les mesures effectuées sur place ?

— Comment modifier les processus expérimentaux actuels pour obtenir des valeurs de la résistance au cisaillement que l'on puisse utiliser avec confiance dans l'étude des projets ?

Caractéristiques résiduelles.

Dans le paragraphe 4.4.2 on a vu qu'on pouvait définir pour une argile donnée, deux angles de frottement interne différents :

— L'angle de frottement interne qui correspond au maximum de l'effort de cisaillement (c'est l'angle ϕ que l'on considère habituellement).

— L'angle de frottement résiduel inférieur au précédent de 2° à 10° environ.

On a précisé d'ailleurs qu'on se servait fort peu de ce dernier angle. La caractéristique de cet angle de frottement résiduel est de correspondre à des déplacements de cisaillement importants (de l'ordre de 2 à 5 cm). Il semble bien que la résistance au cisaillement *in situ* reste du même ordre de grandeur, même si les déplacements atteignent plusieurs dizaines de centimètres. Parallèlement, on constate dans le cas des argiles surconsolidées et fissurées que la cohésion

résiduelle (définie de la même manière que l'angle de frottement résiduel) est pratiquement nulle. C'est là un résultat capital.

On peut expliquer cette perte de résistance au cisaillement pour les grandes déformations par l'orientation des particules argileuses qui se produit dans le plan de glissement : les particules qui sont initialement disposées au hasard s'orientent parallèlement les unes aux autres dans la direction du cisaillement, c'est pourquoi si pour une raison quelconque — dit Skempton — la déformation de l'argile en un point du massif dépasse celle qui correspond au maximum de la résistance au cisaillement, alors en ce point la résistance au cisaillement décroîtra. Les efforts seront donc reportés en d'autres points et le processus se renouvellera. Une rupture progressive s'amorce de cette manière et à la limite, la résistance au cisaillement le long de toute la ligne de glissement tombera à sa valeur résiduelle.

L'orientation des particules argileuses qu'on vient de signaler, s'accompagne la plupart du temps d'un ramollissement local de l'argile au voisinage de la ligne de glissement. Skempton rapporte que, pour l'argile de Londres, il a constaté l'existence d'une zone de 5 cm d'épaisseur environ dans laquelle la teneur en eau s'élevait à 35 % alors que dans le reste du massif elle n'était que de 30 %.

La perte de résistance au cisaillement est étroitement liée à ce ramollissement de l'argile. Il faut bien noter, par ailleurs, qu'il ne s'agit pas là de zones à plus forte teneur en eau le long desquelles le glissement se produit de manière préférentielle, mais bien d'un ramollissement des zones où se produit le glissement par suite des déformations provoquées ; l'augmentation de teneur en eau est un effet et non une cause.

Il est bien connu que la résistance des solides est affectée par la présence de fissures microscopiques au voisinage desquelles les efforts se concentrent et que la rupture se produit alors sous une contrainte moyenne inférieure à la résistance théorique du matériau. Ce qui est vrai des fissures microscopiques, l'est aussi de celles que l'on rencontre dans les argiles et l'explication que l'on vient de donner pour les solides doit être, *grosso modo*, transposable au cas des argiles. Il est donc logique de supposer qu'une argile microfissurée ne peut développer sa résistance au cisaillement maximale tout le long d'une ligne de glissement.

Fissures et importance des déplacements ne sont sans doute pas les seules explications possibles. Les efforts appliqués *in situ* le sont depuis des dizaines d'années et on peut penser que des phénomènes de fluage interviennent aussi, mais on ne sait pratiquement rien à l'heure actuelle sur ce sujet.

Facteur résiduel.

On vient de répondre à la première des deux questions posées plus haut ; il faut maintenant se demander quelle doit être l'attitude du projeteur devant

un problème donné. Quelle valeur de la résistance au cisaillement de l'argile doit-il choisir pour étudier la stabilité à long terme ?

Pour répondre à cette question, Skempton a étudié un certain nombre de glissements caractéristiques qui se sont produits en Grande-Bretagne.

Il détermine chaque fois la résistance moyenne au cisaillement τ_m qui s'est manifestée réellement lors de la rupture le long de la ligne de glissement et compare cette valeur aux deux résistances mesurées en laboratoire, la résistance maximale τ_M et la résistance résiduelle τ_r . Cette comparaison lui permet de définir un « facteur résiduel » R tel que :

$$R = \frac{\tau_M - \tau_m}{\tau_M - \tau_r}$$

soit

$$\tau_m = R\tau_r + (1 - R)\tau_M.$$

On peut interpréter cette définition en disant que R représente la fraction de la ligne de glissement sur laquelle la résistance au cisaillement est réduite à la valeur résiduelle.

On reproduira ci-dessous le tableau dressé par Skempton pour présenter, de manière condensée, le résultat de ses observations et de ses calculs.

Les conclusions de Skempton sont les suivantes :

Il constate que pour toutes les argiles microfissurées, la résistance au cisaillement est fortement réduite à une valeur souvent assez proche de la résistance résiduelle et d'autant plus proche que le talus existe depuis plus longtemps, ce qui signifie que la résistance au cisaillement décroît avec le temps.

Pour les argiles non fissurées par contre, le coefficient R conserve une valeur très petite, la perte de résistance au cisaillement est faible, voire insignifiante. Les remblais d'argile compactés utilisés dans les barrages en terre ont un comportement analogue.

Enfin lorsqu'un glissement s'est déjà produit, tout mouvement ultérieur le long de la même ligne de glissement est gouverné par la résistance résiduelle quelle que soit la nature de l'argile en cause.

Il n'est pas rare d'ailleurs que le premier glissement entraîne la fissuration de l'argile à grande profondeur au voisinage du pied. A l'occasion d'orages, le terrain peut se ramollir extrêmement rapidement ce qui provoque le fluage de l'argile et un nouveau glissement.

On constate combien, pour les argiles fissurées tout au moins, le comportement à long terme s'oppose au comportement à court terme. Dans le premier cas en effet, l'étude de la stabilité est faite en supposant $c' = 0$ (il s'agit de la cohésion résiduelle), tandis que dans le deuxième, on adopte souvent $\varphi_u = 0$ (angle de frottement interne non drainé).

Cette question de la stabilité à long terme des talus avait provoqué de vives discussions lors du congrès de Paris en 1961, certains participants estimaient que l'hypothèse $c' = 0$ constituait une règle générale tandis que d'autres congressistes la repoussaient avec vigueur. La mise au point, faite par Skempton

TABLEAU I

Valeurs du « facteur résiduel » R pour différents glissements observés en Grande-Bretagne (d'après Skempton)

| Situation | Etat de l'argile | Talus naturel N ou artificiel A (avec l'indication de la durée de vie du talus) | Facteur résiduel R |
|---|--------------------------------------|---|----------------------|
| <i>Selset</i> (dans le nord du Yorkshire) | argiles sans fissures, ni altération | N | 0,08 |
| <i>Argile de Londres</i> ⁽¹⁾ Northolt | argiles microfissurées et altérées | A (19 ans) | 0,56 |
| Kensal Green | | A (29 ans) | 0,61 |
| Sudbury Hill | | A (49 ans) | 0,80 |
| Différents sites ... | | N (talus à 10°) | 0,92 à 1,06 |
| <i>Jackfield</i> (sur la Severn) | | N | 1,12 |

⁽¹⁾ Cette argile du sparnacien (Eocène) appartient à la même formation que l'argile dite « argile plastique de Provins » dans la région parisienne.

en 1964 clôt le débat : la cohésion résiduelle ne s'annule pas avec le temps pour toutes les argiles, ni dans toutes les circonstances ; de plus, la transformation du matériau n'a lieu que dans un très petit volume localisé au voisinage de la surface de glissement.

On vient de parler de rupture progressive à propos des ruptures à long terme. Ce phénomène se produit également pour les ruptures à court terme. Lorsque le massif commence à se déformer, sa partie supérieure se dilate et se met éventuellement en tension, tandis que la partie inférieure au contraire est soumise à une compression.

Dans les milieux pulvérulents, ces dilatations et compressions modifient légèrement l'angle de frottement interne et par suite, la résistance au cisaillement qui diminue en crête et augmente vers le pied. La rupture a tendance à s'amorcer par le haut.

Dans les milieux cohérents au contraire, la mise en tension de la partie supérieure provoque l'apparition d'une pression interstitielle négative et la compression de la partie inférieure celle d'une pression positive, la rupture a donc

tendance à s'amorcer au pied du talus, à l'encontre de ce qui se passe pour les matériaux pulvérulents.

11.1.3 Définitions du coefficient de sécurité.

On ne sait pas déterminer le tenseur des contraintes en tous les points d'un massif sujet à une rupture par glissement, la plus grande partie de la masse en mouvement reste en effet en équilibre élastique et seule, une mince bande au voisinage de la ligne de glissement passe à l'état d'équilibre plastique. On est donc conduit à utiliser une méthode qui rappelle celle du coin de Coulomb, mais qui diffère sensiblement de celles mises en œuvre pour le calcul des murs de soutènement ou de la force portante des fondations.

Puisqu'on est incapable de préciser les contraintes qui règnent effectivement dans un talus stable, on suppose pour les besoins du calcul que la rupture est imminente et par suite on introduit un coefficient de sécurité pour retrouver en fait des conditions normales de travail compatibles avec la bonne tenue de l'ouvrage. On verra que la détermination du coefficient de sécurité est liée inextricablement aux calculs de stabilité des talus ; c'est ce qui fait l'originalité de ce problème par rapport à ceux traités précédemment.

La définition du coefficient de sécurité des talus à l'égard de la rupture est une des questions les plus controversées de la mécanique des sols. Comme on va l'expliquer, plusieurs approches ont été proposées présentant chacune des avantages et des inconvénients sans que, pour autant, on puisse trouver une synthèse pleinement satisfaisante. Une conférence européenne s'est tenue sur ce sujet à Stockholm en 1954, la discussion a repris au congrès de Paris en 1961 et à Montréal en 1965 on retrouve encore plusieurs communications sur cette question. Le débat reste ouvert !

La figure XI-8 représente un talus de hauteur H faisant un angle β avec l'horizontale. Pour étudier sa stabilité, on trace une ligne de glissement possible (ici l'arc de cercle AMC) et on cherche les conditions de l'équilibre de la masse $ABCMA$.

Un certain nombre de forces sollicitent cette masse (sur la figure XI-8 on s'est contenté de faire figurer le poids W et dans les calculs qui suivent, on n'a pris en compte que le poids W , il s'agit là uniquement d'une simplification de l'écriture qui n'altère en rien la généralité des résultats). Ces forces sont à l'origine de ce qu'on appelle le *moment moteur*, c'est-à-dire le moment qui tend à faire pivoter la masse $ABCMA$ le long de l'arc de cercle AMC dans le sens de A vers C .

Pour équilibrer ce moment moteur, des contraintes de cisaillement se développent sur la ligne de glissement possible et on a :

$$Wl = r \int_C^A \tau \, ds.$$

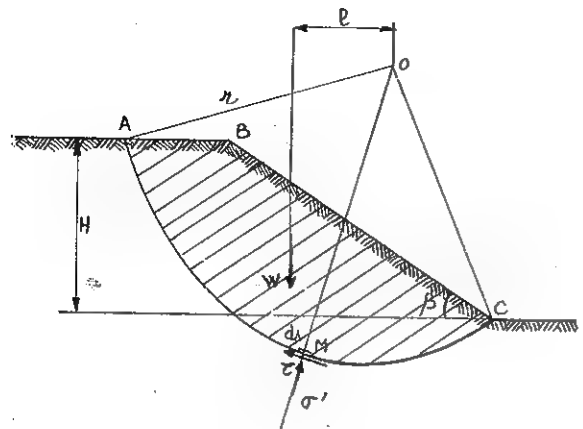


FIG. XI-8. — Principe du calcul de la stabilité d'un talus.

Puisque le talus est en équilibre stable, la distribution des contraintes de cisaillement τ qui figure dans l'équation précédente n'est pas une distribution de contraintes critiques. On dispose donc d'une certaine marge de sécurité qu'on apprécie à l'aide d'un coefficient de sécurité F .

A l'arc de cercle AMC , on peut faire correspondre une valeur numérique précise du coefficient de sécurité. On recommence l'opération pour diverses lignes de glissement possibles et on cherche pour quelle ligne on obtient la valeur la plus faible du coefficient de sécurité. C'est cette valeur qui caractérise la marge de sécurité par rapport à la rupture que présente le talus donné.

On vient d'exposer rapidement le principe du calcul de la stabilité d'un talus (on reviendra sur cette question à l'article suivant), on indiquera maintenant quelles sont les différentes définitions possibles du coefficient de sécurité.

Efforts mobilisables et efforts appliqués.

Tout d'abord on peut comparer les efforts de cisaillement réellement appliqués τ et les efforts de cisaillement « mobilisables » τ_f .

On a

$$\tau_f = c + \sigma' \operatorname{tg} \varphi$$

dans cette formule.

σ' représente la distribution des contraintes normales réellement appliquées. τ_f est par conséquent l'intensité maximale de la composante de cisaillement compatible avec cette composante normale σ' .

Par définition, le coefficient de sécurité sera le rapport du moment des efforts mobilisables au moment des efforts appliqués c'est-à-dire au moment moteur :

$$F = \frac{r \int_c^A \tau_f ds}{r \int_c^A \tau ds}$$

c'est-à-dire

$$F = \frac{r \int_c^A (c + \sigma' \operatorname{tg} \varphi) ds}{Wl}$$

Cette définition porte en elle-même une certaine contradiction :

— si l'équilibre limite est réalisé sur la ligne de glissement, alors :

$$\tau = \tau_f \quad \text{et} \quad F = 1$$

— si la ligne de glissement potentielle reste à l'état d'équilibre élastique, on a alors des difficultés à définir de façon précise ce que peuvent être les efforts de cisaillement mobilisables, c'est-à-dire disponibles au moment de la rupture puisque précisément on suppose que la rupture ne peut se produire.

Dans le calcul ci-dessus, on a suivi l'usage courant et supposé que la distribution des contraintes normales σ' réellement appliquées pouvait être utilisée pour calculer le cisaillement mobilisable. Il s'agit là d'une grossière approximation. On ne peut supposer que le milieu est en équilibre élastique pour déterminer σ' et simultanément qu'il est en équilibre plastique pour déterminer τ_f .

Caractéristiques réelles et caractéristiques réduites.

Une deuxième manière d'évaluer la marge de sécurité consiste à remplacer les caractéristiques réelles c et φ du matériau par des caractéristiques réduites c'' et φ'' (cf. Tome I, § 4.2.3, p. 192) pour lesquelles le talus sera sur le point de se rompre.

On définit ainsi deux coefficients de sécurité, l'un par rapport à la cohésion, l'autre par rapport au frottement interne :

$$F_c = \frac{c}{c''}$$

$$F_\varphi = \frac{\operatorname{tg} \varphi}{\operatorname{tg} \varphi''}$$

La figure XI-9 montre les nouvelles droites de Coulomb sur lesquelles doivent se placer les points représentatifs des contraintes régnant sur la ligne de glissement dans l'équilibre « virtuel » que l'on envisage maintenant.

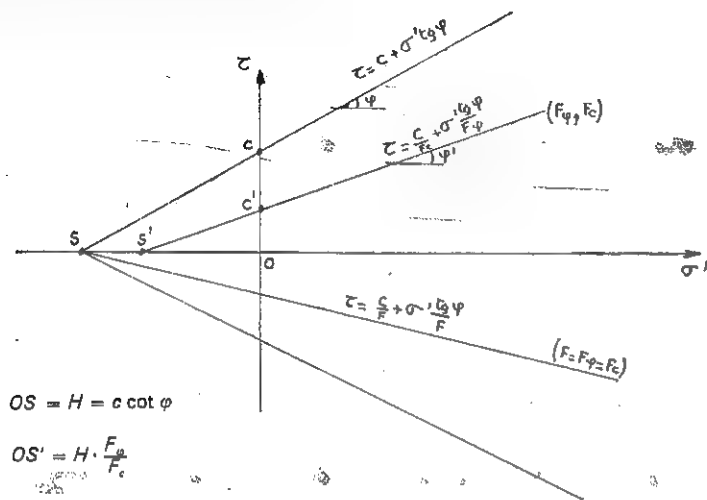


FIG. XI-9. — Résistance au cisaillement avec les caractéristiques réduites

$$\frac{\operatorname{tg} \varphi}{F_{\varphi}} \text{ et } \frac{c}{F_c}.$$

Puisque le massif est en équilibre limite pour les valeurs réduites c' et φ' on peut écrire :

$$r \int_c^A (c'' + \sigma' \operatorname{tg} \varphi'') ds = r \int_c^A \left(\frac{c}{F_c} + \frac{\sigma' \operatorname{tg} \varphi}{F_{\varphi}} \right) ds = Wl.$$

Très souvent on estime incommode d'utiliser simultanément deux coefficients de sécurité et on définit un coefficient unique :

$$F = F_c = F_{\varphi} = \frac{c}{c''} = \frac{\operatorname{tg} \varphi}{\operatorname{tg} \varphi''}.$$

L'équation d'équilibre du massif devient :

$$r \int_c^A \frac{1}{F} (c + \sigma' \operatorname{tg} \varphi) ds = Wl$$

soit

$$F = \frac{r \int_c^A (c + \sigma' \operatorname{tg} \varphi) ds}{Wl}.$$

Cette formule n'est identique qu'en apparence à la formule équivalente correspondant à la première définition du coefficient de sécurité.

En effet, les deux distributions de contraintes normales σ' qui figurent dans ces formules ne sont pas les mêmes. Dans le premier cas, il s'agit de la distribution des efforts réellement appliqués dans un état d'équilibre élastique tandis que dans le deuxième cas, il s'agit d'une distribution d'efforts virtuels dans un état d'équilibre plastique.

On verra dans l'article suivant que l'influence de cette distribution de contraintes σ' sur la valeur du coefficient de sécurité est très faible, par conséquent les deux définitions doivent donner des résultats voisins.

Londe et Sterenberg ont d'ailleurs démontré que, pour un problème donné, la deuxième définition conduirait à des valeurs plus élevées du coefficient de sécurité que la première (ce résultat n'est valable que si la ligne de glissement est circulaire et si l'on satisfait dans le calcul du coefficient aux trois équations d'équilibre, ce qui n'est pas le cas d'habitude).

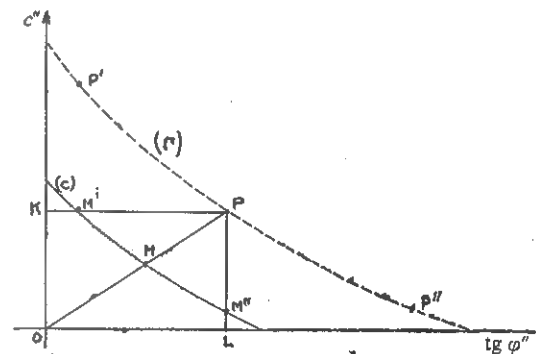


FIG. XI-10. — Coefficients de sécurité F_{φ} et F_c .

L'étude de l'équilibre de la masse sujette au glissement se résume dans une équation de la forme,

$$f(H, \beta, \operatorname{tg} \varphi'', c'') = 0$$

qui relie les caractéristiques géométriques du talus aux caractéristiques mécaniques réduites φ'' et c'' pour lesquelles le massif est en équilibre limite. La courbe (C) de la figure XI-10 représente une telle équation. Une infinité de couples $(c'', \operatorname{tg} \varphi'')$ est solution du problème.

Soit P le point de coordonnées $\operatorname{tg} \varphi$ et c qui correspond aux caractéristiques réelles du terrain en place. On constate immédiatement sur la figure que le coefficient de sécurité unique F que l'on a défini plus haut est égal à $\frac{OP}{OM}$.

Le point M' correspond au couple de coefficients

$$F_{\varphi} = \frac{KP}{KM'} \quad \text{et} \quad F_c = 1$$

le point M'' au couple

$$F_{\varphi} = 1 \quad \text{et} \quad F_c = \frac{LP}{LM''}$$

et chacun des points de l'arc $M' M''$ à un couple différent des deux coefficients F_{φ} et F_c (qui ne sont donc pas indépendants l'un de l'autre).

La principale critique qu'on peut faire à cette deuxième définition du coefficient de sécurité, c'est d'apprécier la marge de sécurité par rapport aux caractéristiques mécaniques du massif alors que ces caractéristiques ne sont pas toujours connues avec une bonne précision et qu'on s'intéresse au moins autant à l'influence d'autres paramètres sur la stabilité, à celle de la variation des forces extérieures ou à celle des déformations du massif par exemple.

Par ailleurs lorsqu'on prend $F_{\varphi} = F_c = F$ pour des raisons de commodité, on peut aboutir à des conclusions discutables. Sur la figure XI-10, on a tracé la courbe (Γ) homothétique de (C) et passant par P . Tous les points de cette courbe correspondent au même coefficient de sécurité F que le point P ; mais on peut se demander si les points P' et P'' offrent véritablement les mêmes garanties de sécurité que le point P lui-même. Malgré tout, c'est cette définition qu'on retiendra dans l'article suivant pour la présentation des méthodes de calcul de la stabilité des talus.

Modification des forces appliquées.

On peut enfin définir le coefficient de sécurité d'une troisième manière. On modifie le moment moteur Wl et on cherche pour quelle valeur FWl le massif est en équilibre limite, compte tenu de ses caractéristiques mécaniques réelles φ et c .

Il y a deux façons de modifier le moment moteur, on peut :

- soit conserver la ligne d'action de W et porter son intensité à la valeur $F_w W$,
- soit garder la grandeur W et augmenter son bras de levier jusqu'à la valeur $F_l l$ en déplaçant W parallèlement à lui-même.

On obtient ainsi deux valeurs différentes du coefficient de sécurité F_w et F_l (si l'équation des moments est la même dans les deux cas, il en va différemment

pour les équations de projections horizontale et verticale). Ces définitions ont été préconisées par Fröhlich et par de Beer.

On peut démontrer que cette nouvelle manière d'opérer (lorsqu'on adopte la définition de F_w) conduit au même résultat que la méthode précédente lorsqu'on choisit le couple $(F_{\varphi} = 1, F_c = F)$.

De Beer indique que le coefficient F_w permet d'apprécier la marge de sécurité à l'égard des surcharges qu'on peut appliquer au talus suivant une ligne d'action bien déterminée, tandis que le coefficient F_l marque la sensibilité de l'équilibre à d'éventuelles déformations du talus, car dans le calcul de F_l on augmente les moments moteurs tandis qu'on diminue les moments résistants, ce qui revient à considérer le talus plus raide qu'il ne l'est en réalité.

Au terme de cette analyse des définitions possibles du coefficient de sécurité, on indiquera que, pour les besoins de la pratique toutes les définitions se valent, et qu'il suffit de bien préciser quelle définition on utilise lorsqu'on veut apprécier la signification d'une valeur numérique différente de 1.

On peut se demander pourquoi on a été conduit à élaborer plusieurs types de définitions, la raison essentielle paraît être l'ignorance dans laquelle on se trouve de la distribution réelle des contraintes σ' dans les conditions normales de travail, et lors de la rupture. Lorsqu'on saura déterminer cette distribution, ce qui suppose la connaissance des relations contraintes-déformations, le problème se posera sous un jour tout nouveau.

Les différentes définitions F_i du coefficient de sécurité forment une classe d'ordre comme l'a souligné Demonsablon; on a en effet les deux propriétés suivantes :

— pour une courbe de glissement donnée (C)

$$\text{si} \quad F_i(C) > 1$$

$$\text{alors} \quad F_j(C) > 1 \quad \text{quel que soit } j,$$

— pour deux courbes différentes (C_1) et (C_2)

$$\text{si} \quad F_i(C_1) > F_i(C_2)$$

$$\text{alors} \quad F_j(C_1) > F_j(C_2) \quad \text{quel que soit } j.$$

Par conséquent, toutes les définitions du coefficient de sécurité sont équivalentes en tant que critère qualitatif de stabilité.

Introduction du calcul des probabilités.

Pour terminer, on indiquera que des tentatives ont été faites pour introduire à l'occasion de la définition des coefficients de sécurité, le calcul des probabilités dans les problèmes de mécanique des sols. Ces essais ne paraissent pas avoir dépassé actuellement le stade des travaux théoriques. On donnera quelques indications sur la méthode que propose Lazard dans le cas de la stabilité des talus.

La mécanique des sols montre que pour une courbe de glissement donnée, les valeurs des coefficients φ'' et c'' sont liées lors de l'apparition de l'équilibre limite par la relation $f(H, \beta, \operatorname{tg} \varphi'', c'') = 0$ qui est représentée par la courbe (C) sur le diagramme de la figure XI-11.

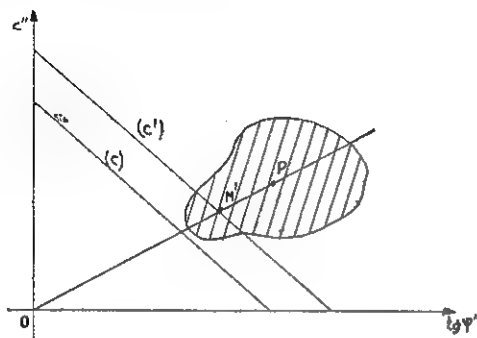


FIG. XI-11. — Application du calcul des probabilités à la définition de la sécurité.

Pour tenir compte des imperfections et des simplifications de cette théorie, on admettra que la véritable courbe limite est une courbe (C') parallèle à (C) et située au-dessus d'elle. Le point P représente comme sur la figure XI-10 le matériau constituant le massif, mais la détermination des caractéristiques mécaniques du terrain est entachée d'un certain nombre d'erreurs et les essais de cisaillement présentent une dispersion notable. Le matériau constituant le massif a donc plutôt comme image un nuage de points entourant P. Si ce nuage est franchement éloigné de la courbe (C') il n'y a pas de difficulté. Par contre si, comme sur la figure XI-11 quelques points du nuage s'approchent de (C') ou même sont situés du côté de l'origine, alors un problème se pose.

Il s'agit de déterminer quelle est la probabilité de ruine du talus. Si cette probabilité est faible (de l'ordre de $\frac{1}{1\,000\,000}$ ou $\frac{1}{100\,000}$) on pourra admettre que le talus est stable ; par contre si la probabilité est grande (de l'ordre de $\frac{1}{1\,000}$), il faudra reconnaître que le talus est instable.

Comment calculer cette probabilité ? On admettra d'abord que la dispersion du frottement interne et la dispersion de la cohésion suivent chacune une loi normale. Alors, d'après une démonstration de R. Lévi, la probabilité de ruine du talus est donnée par la probabilité intégrale de l'expression :

$$-\frac{mc + \operatorname{tg} \varphi}{\sqrt{m^2 \Delta_c^2 + \Delta_\varphi^2}} \cdot \frac{F - 1}{F}$$

dans cette formule :

(-m) est la pente de la courbe (C') au voisinage du point M' ;

c et $\operatorname{tg} \varphi$ sont les caractéristiques moyennes du matériau, ce sont les coordonnées du point P ;

Δ_c est l'écart quadratique de la dispersion des valeurs de la cohésion c ;

Δ_φ est l'écart quadratique de la dispersion des valeurs de $\operatorname{tg} \varphi$;

F est le coefficient de sécurité classique défini par le rapport $\frac{OP}{OM'}$.

On limitera là ces indications sur l'application de la théorie des probabilités à la mécanique des sols, en soulignant combien cette approche devrait être féconde puisqu'on travaille sur un matériau, le sol, dont les caractéristiques sont, au premier chef, des variables aléatoires.

11.2 CALCUL DE LA STABILITÉ DES TALUS.

11.2.1 Méthode globale.

Equilibre d'une masse soumise au glissement.

On étudiera d'abord la stabilité d'un massif homogène de caractéristiques mécaniques c et φ . Il est bien certain que les cas pratiques d'application de cette théorie sont assez limités. Mais cette étude, relativement simple, fournira de premières indications intéressantes qu'on essaiera ensuite, d'adapter au cas plus courant d'un massif hétérogène. En tout état de cause, il s'agit là, au moins, d'une première approximation. Bien entendu, on se place délibérément dans l'hypothèse d'un équilibre à deux dimensions.

La figure XI-12 représente le talus ACB, dont on étudie la stabilité. Comme on l'a souligné plus haut, ce massif est homogène, mais il peut renfermer une nappe phréatique ou même être le siège d'un écoulement. On suppose que la rupture du massif va se produire le long d'un arc de cercle, de centre O et rayon $OA = r$ et on se propose d'évaluer le coefficient de sécurité correspondant, c'est-à-dire la fraction de la cohésion et du frottement interne réel du terrain qu'il convient de mobiliser, pour assurer strictement l'équilibre de la zone ACBMA du massif.

Quelles sont les forces qui agissent sur cette zone ? Tout d'abord, le poids W des terres et de l'eau situées dans la zone. Sur le contour CBMA, ensuite, les efforts transmis par l'eau de la nappe ; ces efforts admettent une résultante U que l'on supposera complètement connue, la détermination de U relève des techniques exposées dans le chapitre II, on donnera à l'article 11.3 des indications complémentaires.

Enfin, il faut prendre en compte les contraintes effectives le long de la ligne de glissement AMB. La contrainte critique en M est la somme :

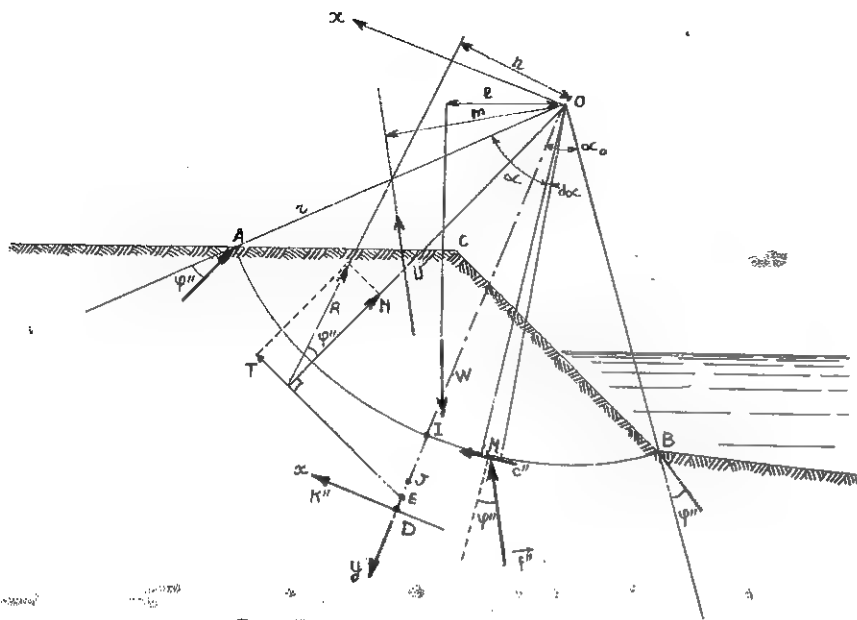


FIG. XI-12. — Equilibre global du massif.

- d'une contrainte de cohésion \vec{c}'' portée par la tangente et d'intensité $c'' = \frac{c}{F}$;
- d'une contrainte de frottement \vec{f}'' ayant une intensité inconnue et une obliquité φ'' telle que $\operatorname{tg} \varphi'' = \frac{\operatorname{tg} \varphi}{F}$ (F est précisément le coefficient de sécurité recherché).

La résultante des forces élémentaires correspondantes agissant le long de la ligne de glissement peut aussi se décomposer en deux forces :

- une force \vec{K}'' pour l'effet de la cohésion (elle est parallèle à AB , passe par le point D , tel que $OD = r \frac{\alpha_0}{\sin \alpha_0}$ et a pour intensité $K'' = 2 r \sin \alpha_0 c''$);
- une force \vec{R} pour l'effet des contraintes de frottement.

On écrit que la zone $ACBMA$ est en équilibre, c'est-à-dire que l'ensemble des forces mentionnées ci-dessus a une résultante et un moment par rapport à O nuls

$$\vec{W} + \vec{U} + \vec{K}'' + \vec{R} = 0$$

Le polygone des forces est indiqué par la figure XI-13 et

$$Wl - Um - Rn - 2\alpha_0 r^2 \frac{c}{F} = 0$$

On donne naturellement aux produits Wl , Um et Rn , les signes appropriés.

Dans ces équations, les forces \vec{W} et \vec{U} sont parfaitement connues, la force \vec{K}'' l'est aussi au coefficient de sécurité près.

Mais *a priori*, on ne sait rien sur la distribution des contraintes le long de l'arc AMB ni, donc, sur l'intensité ou la direction de la force \vec{R} . C'est bien là ce qui fait toute la difficulté du problème. Les différentes méthodes mises au point pour l'étude de la stabilité des talus se distinguent les unes des autres, par la manière dont elles viennent à bout — avec plus ou moins de rigueur — de cette difficulté.

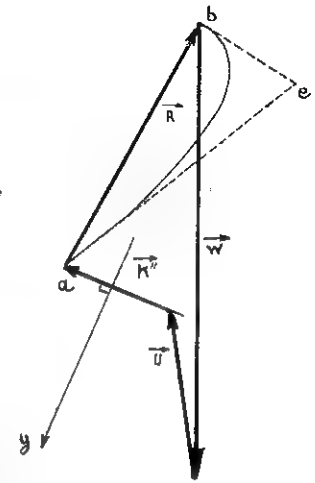


FIG. XI-13. — Polygone des forces.

Méthode de Biarez. — Bornes inférieure et supérieure du coefficient de sécurité.

Sur le polygone des forces de la figure XI-13, on a représenté, non seulement la force \vec{R} , mais aussi le funiculaire des contraintes \vec{f}'' .

Bien entendu, ce funiculaire a mêmes extrémités a et b que \vec{R} puisque

$$\vec{R} = \sum \vec{f}'' \cdot r \, d\alpha$$

On connaît d'autre part, la direction de ses tangentes aux deux extrémités, ce sont les directions des contraintes de frottement en A et en B .

On appellera L'' la longueur de ce funiculaire

$$L'' = r \int_{AB} f'' \, d\alpha$$

Cette longueur L'' dépend de la distribution des contraintes le long de l'arc AB ; mais pour toutes les distributions imaginables, L'' est toujours supérieur à R , qui est la plus courte distance entre les deux extrémités du funiculaire. Par ailleurs, si on admet que les contraintes \vec{f}'' sont toujours de même signe, le funiculaire n'a pas de point d'inflexion et par conséquent L'' est toujours inférieur à $ae + eb$ (Fig. XI-13). Comment cette longueur L'' intervient-elle dans le calcul du coefficient de sécurité ?

Le moment Rn de la résultante \vec{R} par rapport à O a pour expression :

$$Rn = r \int_{AB} f'' \sin \varphi'' r d\alpha = r \sin \varphi'' L''.$$

L'équation des moments devient :

$$r \sin \varphi'' L'' + 2 \alpha_0 r^2 \frac{c}{F} = Wl - Um$$

soit en remplaçant $\sin \varphi''$ par $\frac{\text{tg } \varphi''}{\sqrt{1 + \text{tg}^2 \varphi''}}$ et en faisant apparaître F

$$L'' \frac{r \text{tg } \varphi''}{\sqrt{F^2 + \text{tg}^2 \varphi''}} + 2 \alpha_0 r^2 \frac{c}{F} = Wl - Um.$$

Dans cette équation, seuls F et L'' sont inconnus. On peut vérifier que pour les valeurs positives de F et L'' (les seules qui présentent ici un intérêt pratique) cette équation définit F comme une fonction univoque et croissante de L'' .

Si donc, on introduit dans la relation ci-dessus, les deux bornes R et $(ae + eb)$ de la longueur du funiculaire, on trouvera des bornes inférieure et supérieure du coefficient de sécurité \bar{F} .

La borne inférieure permet, sans hypothèse complémentaire sur la distribution de f'' , d'avoir une première indication sur la plus ou moins grande stabilité du talus.

Il faut donc introduire l'intensité R de la résultante à la place de la longueur du funiculaire, dans l'équation des moments. Mais, on notera que pour les milieux doués de cohésion, R dépend du coefficient de sécurité F (par l'intermédiaire de K'').

On doit donc procéder par approximations successives. Pour cela, il faut écrire l'équation des moments sous une forme pratique qui permette une convergence rapide des approximations. Dans cette équation, on remplace $\sin \varphi''$ par $\cos \varphi'' \frac{\text{tg } \varphi''}{F}$, et il vient :

$$r \cos \varphi'' \frac{\text{tg } \varphi''}{F} L'' + 2 \alpha_0 r^2 \frac{c}{F} = Wl - Um$$

c'est-à-dire :

$$\bar{F} = \frac{2 \alpha_0 r^2 c + r \text{tg } \varphi \cos \varphi'' L''}{Wl - Um}$$

Dans cette expression $\cos \varphi''$ est le seul terme qui dépende de F (mis à part L'' évidemment). Comme une légère erreur sur F et donc sur φ'' a peu d'influence sur $\cos \varphi''$, on peut être assuré que cette formule converge rapidement (il vaut

mieux faire apparaître $\cos \varphi''$ que $\sin \varphi''$ qui s'introduit naturellement, car $\sin \varphi''$ est plus sensible que $\cos \varphi''$ aux variations de F , puisque $\varphi'' < \varphi < \frac{\pi}{4}$).

Le processus est alors le suivant :

On choisit une valeur pour F , on en déduit φ'' et R et on porte ces valeurs dans le second membre de l'équation ci-dessus, d'où une nouvelle valeur de F . L'expérience montre que la convergence est très rapide, deux ou trois opérations suffisent en général.

On a ainsi déterminé la borne inférieure du coefficient de sécurité correspondant à un cercle donné. Parmi tous les cercles possibles on choisira en définitive celui qui correspond à la borne inférieure la plus basse.

Biarez, auquel on doit cette utilisation de la longueur du funiculaire, a même montré qu'on pouvait améliorer la précision du calcul en déterminant un nouveau couple de bornes inférieure et supérieure de F , situé à l'intérieur du couple précédemment défini et présentant donc une fourchette plus étroite, sans faire aucune autre hypothèse sur les contraintes f'' que celle de la constance de leur signe. En l'absence d'eau, il a montré que la nouvelle borne inférieure ne différait que de 2 à 3 % d'avec le coefficient de sécurité correspondant à un funiculaire rectiligne et que la borne supérieure s'en écartait de 10 % au maximum.

L'influence de la distribution des contraintes le long de l'arc AB sur la valeur du coefficient de sécurité est donc assez faible. C'est une constatation générale qu'on retrouve dans toutes les méthodes.

Méthodes de Taylor et de Caquot.

Il n'est pas possible de traiter de la stabilité des talus sans faire au moins une allusion à la méthode de Taylor développée par cet auteur dès 1937 et qui, pendant longtemps, a été le seul procédé utilisé pour l'étude globale de la masse de terre sujette au glissement.

La méthode de Taylor est également connue sous le nom de *méthode du cercle de frottement*.

On se contentera de cette très brève indication, mais dans le paragraphe suivant, on commentera les résultats obtenus par Taylor et on présentera les différents abaques qu'il a établis et qui sont toujours utiles pour dégrossir un problème.

Sur la figure XI-12, on a décomposé la résultante \vec{R} des forces de frottement le long de l'arc AMB en ses deux composantes normale N et tangentielle T . La ligne d'action de T coupe la bissectrice OI de l'angle AOB en un point E .

En étudiant les différentes formes possibles de répartition de contraintes, Caquot a montré que ce point E est obligatoirement situé sur le petit segment JD . D est le point d'intersection de la force de cohésion K'' ; il correspond à une répartition uniforme de contraintes. Le point J correspond, lui, à une distribution paire s'annulant en A et B , la longueur IJ est sensiblement égale à $0,6 ID$.

La longueur OE est donc connue avec une erreur relative égale environ à

$$0,4 \left(\frac{\alpha_0}{\sin \alpha_0} - 1 \right),$$

cette valeur est très faible, sauf lorsque α_0 est grand, c'est-à-dire lorsque le cercle est profond.

Caquot tire parti de cette remarque pour proposer une méthode de calcul du coefficient de sécurité. L'ensemble des cinq forces \vec{W} , \vec{U} , \vec{K}'' , \vec{N} et \vec{T} forme un système équivalent à zéro ; on va l'écrire dans le système d'axes xOy de la figure XI-12. Les forces \vec{W} et \vec{U} sont connues en grandeur et direction, soient W_x , W_y et $-M_w$ les coordonnées de leur somme et leur moment résultant par rapport à O .

La force \vec{K}'' a pour coordonnées :

$$\frac{2 cr \sin \alpha_0}{F} \quad \text{et} \quad 0$$

son moment par rapport à O est égal à $\frac{2 cr^2 \alpha_0}{F}$.

La force \vec{N} passe par O , ses coordonnées sont N_x et N_y .

La force \vec{T} est perpendiculaire à \vec{N} , son intensité est égale à $\frac{N \operatorname{tg} \varphi}{F}$, elle passe par le point $E(0, t)$. Ses coordonnées sont donc

$$\left(-N_y \frac{\operatorname{tg} \varphi}{F}, N_x \frac{\operatorname{tg} \varphi}{F} \right) \quad \text{et son moment} \quad -t N_y \frac{\operatorname{tg} \varphi}{F}.$$

Le problème comporte trois inconnues F , N_x et N_y et on doit respecter trois équations d'équilibre :

$$W_x + N_x - N_y \frac{\operatorname{tg} \varphi}{F} + \frac{2 cr \sin \alpha_0}{F} = 0$$

$$W_y + N_y + N_x \frac{\operatorname{tg} \varphi}{F} = 0$$

$$-M_w - t N_y \frac{\operatorname{tg} \varphi}{F} + \frac{2 cr^2 \alpha_0}{F} = 0.$$

Il est donc possible d'éliminer N_x et N_y et de calculer F , donné par une équation du troisième degré qui, tous calculs faits, s'écrit :

$$-F^3 M_w + F^2 (t W_y \operatorname{tg} \varphi + 2 cr^2 \alpha_0) - F \operatorname{tg}^2 \varphi (M_w + t W_x) + 2 cr \operatorname{tg}^2 \varphi (r \alpha_0 - t \sin \alpha_0) = 0.$$

On remarque aussitôt que le terme constant est pratiquement nul puisque

$t = OE$ ne diffère de $\frac{r \alpha_0}{\sin \alpha_0} = OD$ que d'une quantité minime comme on l'a précisé ci-dessus.

De même, Caquot constate que le coefficient $(M_w + t W_x)$ du terme en F est très petit devant les coefficients des termes en F^2 et F^3 ; on le vérifie aisément lorsque $U = 0$ et que W_x et M_w correspondent au seul poids du milieu.

On peut donc, en première approximation, ne conserver que les termes en F^3 et F^2 . On en tire aussitôt :

$$F = \frac{t W_y \operatorname{tg} \varphi + 2 cr^2 \alpha_0}{M_w}$$

soit en remplaçant t par $\frac{r \alpha_0}{\sin \alpha_0}$

M_w par $Wl - Um$ (pour reprendre les notations du début du paragraphe) et en posant

$W_y = (W + U)_y$ (pour bien rappeler la définition de W_y)

$$F = \frac{2 \alpha_0 r^2 c + r \operatorname{tg} \varphi \frac{\alpha_0}{\sin \alpha_0} (W + U)_y}{Wl - Um}$$

On comparera avec intérêt cette formule à celle qui a été trouvée précédemment par la méthode de Biarez. Les deux expressions ont la même structure et ne diffèrent que par le deuxième terme du numérateur :

$$r \operatorname{tg} \varphi \frac{\alpha_0}{\sin \alpha_0} (W + U)_y \quad \text{pour Caquot}$$

et

$$r \operatorname{tg} \varphi \cos \varphi'' L'' \quad \text{pour Biarez.}$$

En appelant θ l'angle aigu que la direction de N fait avec Oy , on voit sur le polygone des forces de la figure XI-13 que

$$(W + U)_y = R \cos(\varphi'' + \theta).$$

Dans la méthode de Biarez, on remplace L'' par R , pour obtenir la borne inférieure de F .

Finalement, on trouve au numérateur des deux formules, le terme :

$$rR \operatorname{tg} \varphi$$

multiplié dans un cas par $\cos \varphi''$ (Biarez) et dans l'autre par

$$\frac{\alpha_0}{\sin \alpha_0} \cos (\varphi'' + \theta) \quad (\text{Caquot}).$$

Ces deux expressions sont très voisines et l'expérience confirme bien que les deux méthodes donnent des résultats pratiquement identiques. Il en va de même d'ailleurs pour la méthode de Taylor.

On dispose donc, pour l'étude globale de la rupture circulaire d'un massif homogène, d'un certain nombre de méthodes tout à fait concordantes. Dans le cas particulier où $U = 0$, c'est-à-dire en l'absence de nappe phréatique et de tout écoulement d'eau, il est possible de donner des indications plus précises, car le problème dépend alors d'un petit nombre de paramètres.

11.2.2 Stabilité d'un massif homogène en l'absence d'eau.

On étudie le cas particulier d'un massif homogène de poids volumique γ , de caractéristiques de cisaillement c et φ , qui présente un talus incliné d'un angle β sur l'horizontale et de hauteur verticale H . Il n'y a ni nappe phréatique, ni écoulement d'eau. Le massif n'est soumis à aucune autre force que son poids propre (Fig. XI-14).

Types de rupture.

La figure XI-14 montre les différentes formes de rupture qui peuvent se produire :

— les cercles de pied de talus qui recoupent le talus à son pied en C : on peut distinguer deux cas parmi ces cercles, suivant que le point le plus bas est situé au-dessus ou au-dessous du niveau du pied (Fig. XI-14 *a* et *b*) ;

— les cercles de flanc de talus, le point bas du cercle a parfois sa position fixée par une couche résistante située peu en dessous du niveau du pied ; dans ces conditions, le cercle recoupe le talus dans la pente, au-dessus du pied (Fig. XI-14 *c*).

— les cercles de rupture profonde qui englobent une large masse de terrain, on peut montrer que dans ce cas, le centre O du cercle doit être situé à la verticale du milieu du talus BC , ce qui explique le nom de cercle à mi-pente qu'on leur donne parfois (Fig. XI-14 *d*).

La grandeur et la position de ces cercles sont définies par une série de paramètres, dont la signification apparaît sur les figures. Ce sont,

$$\text{autre } \beta \text{ et } H, \\ \alpha_0, \beta_0, D = n_D H \text{ et } L = n_L H.$$

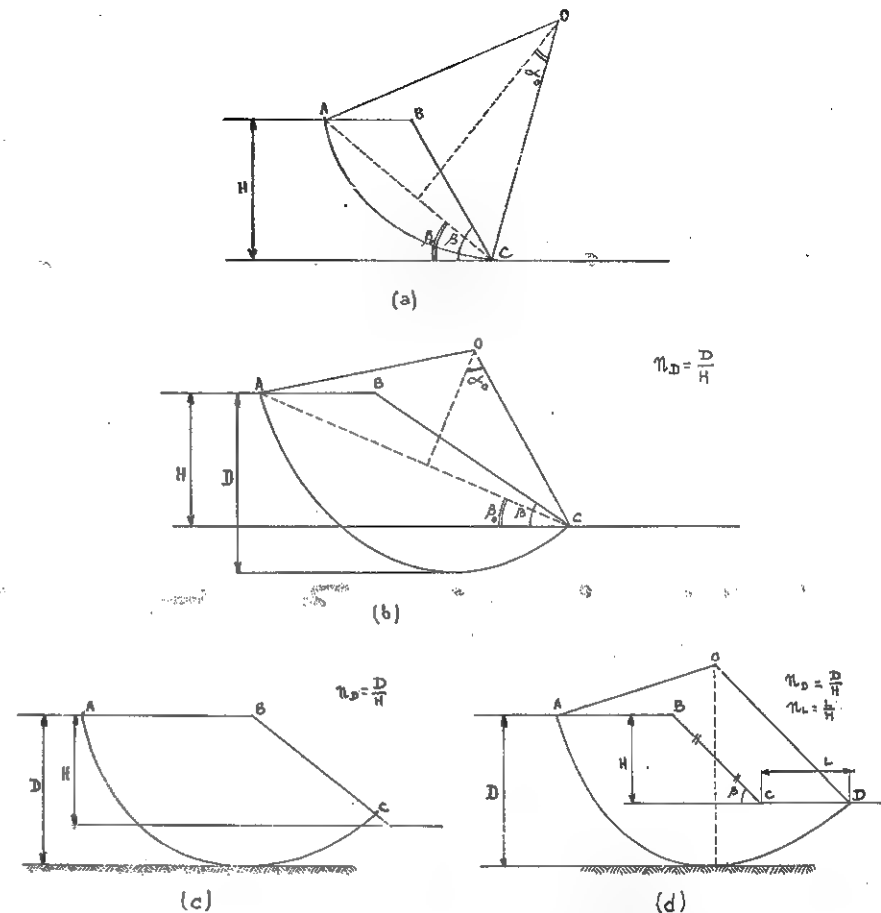


FIG. XI-14. — Différentes formes de ruptures circulaires.

- | | |
|---|--------------------------------|
| a) Cercle de pied de talus (talus raide). | c) Cercle de flanc de talus. |
| b) Cercle de pied de talus (talus doux). | d) Cercle de rupture profonde. |

Taylor a mené des investigations très complètes, sur les caractéristiques mécaniques requises pour assurer la stabilité dans ces différents cas de figure ; il a en particulier, étudié très en détail les ruptures pour lesquelles $\varphi = 0$.

De son côté Biarez, pour les milieux doués de frottement, a calculé plusieurs centaines de cercles de pied de talus et confirmé ainsi les valeurs données par Taylor.

On présente ci-dessous le résultat de ces calculs mis sous forme de tableaux et d'abaques. Pour chaque cercle, on déterminera les caractéristiques mécaniques φ'' et c'' qui assurent strictement la stabilité. Si le milieu possède réellement ces caractéristiques, le coefficient de sécurité correspondant est égal à l'unité.

Dans les calculs, la quantité sans dimension

$$\frac{c''}{\gamma H}$$

s'introduit tout naturellement. Son inverse :

$$N = \frac{\gamma H}{c''}$$

a été nommé par Taylor *coefficient de stabilité* ; on préférera toutefois, ne pas employer cette expression et n'utiliser que $\frac{c''}{\gamma H}$.

Abaques.

La figure XI-15 présente un premier abaque dû à Biarez, qui donne, en fonction du paramètre β , les courbes $f\left(\tan \varphi', \frac{c''}{\gamma H}\right) = 0$ correspondant aux différents couples (φ'', c'') possibles.

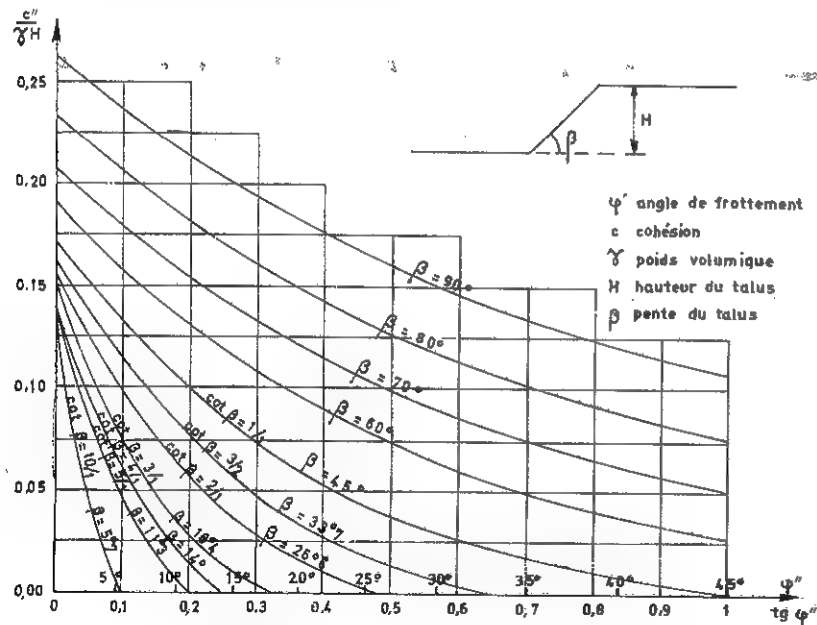


FIG. XI-15. — Abaque I (cercle de pied de talus) $\frac{c''}{\gamma H} = f(\tan \varphi'')$, d'après Biarez.

L'abaque II (Fig. XI-16) procure les mêmes renseignements sous une autre forme ; on a représenté les courbes $\frac{c''}{\gamma H} = f(\beta)$ pour différentes valeurs de φ'' .

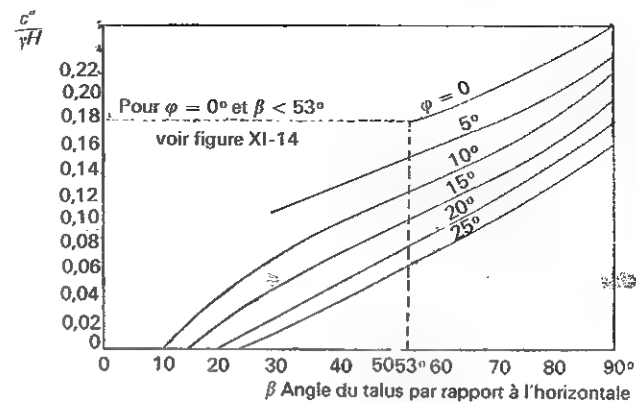


FIG. XI-16. — Abaque II (cercle de pied de talus) $\frac{c''}{\gamma H} = f(\beta)$.

L'abaque III (Fig. XI-17) permet de tracer les cercles de rupture correspondants, ce sont des cercles de pied de talus.

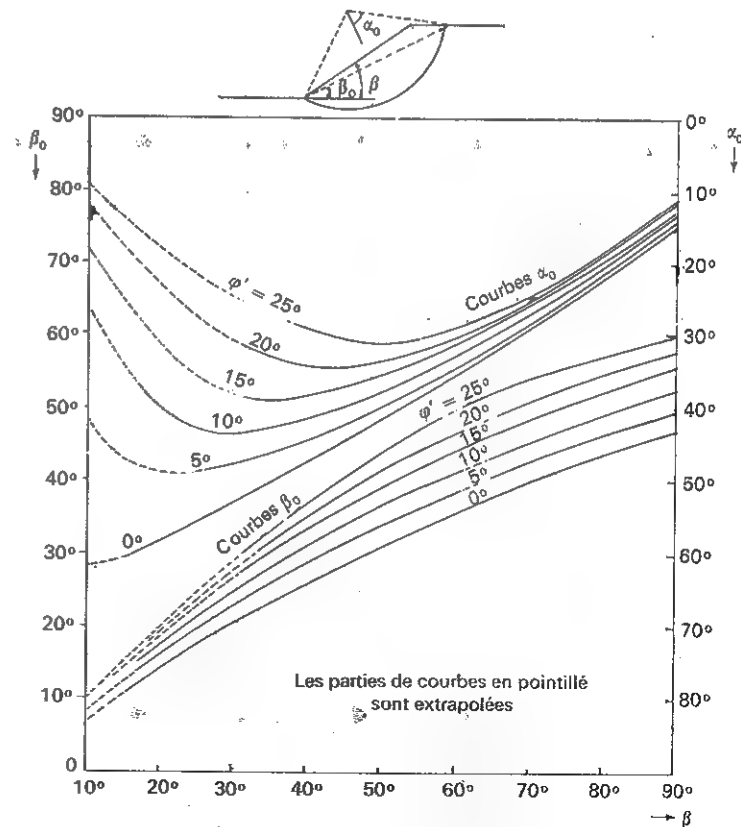


FIG. XI-17. — Abaque III : Détermination du cercle de rupture passant par le pied du talus

D'après ce qu'on a dit à l'article II.1, au sujet des coefficients de sécurité, on voit immédiatement le parti qu'on peut tirer de l'abaque I pour calculer dans chaque cas particulier, le coefficient de sécurité correspondant aux caractéristiques réelles φ et c du massif.

L'abaque II par contre met mieux en évidence l'influence de chacun des facteurs φ et β .

Le tableau II présente toujours les mêmes résultats d'une nouvelle manière.

La partie gauche du tableau correspond aux cercles de pied de talus de la figure XI-14 a. Puis sur la partie droite pour des talus plus doux (β plus faible) ou des matériaux doués de moins de frottement, c'est le domaine des cercles de pied de talus qui descendent sous le niveau du pied.

TABLEAU II

Valeurs de $\frac{c''}{\gamma H}$ (et de $n_D = \frac{D}{H}$)

| $\varphi' \backslash \beta$ | 90° | 75° | 60° | 45° | 30° | 15° |
|-----------------------------|-------|-------|-------|------------------|--|------------------|
| 25° | 0,166 | 0,117 | 0,079 | 0,044 | 0,009 | |
| 20° | 0,182 | 0,134 | 0,097 | 0,062 | 0,025 (1,003) | |
| 15° | 0,199 | 0,152 | 0,116 | 0,083 (1,001) | 0,046 (1,038) | 0 |
| 10° | 0,218 | 0,173 | 0,138 | 0,108 (1,006) | 0,075 (1,092) | 0,023 (1,222) |
| 5° | 0,239 | 0,195 | 0,162 | 0,136 (1,026) | Cercles de rupture profonde fonction de la position du substratum résistant. | |
| 0° | 0,261 | 0,219 | 0,191 | | | |

Par conséquent, si l'on rencontre un substratum résistant à une profondeur relative inférieure aux valeurs de n_D indiquées entre parenthèses sur le tableau, on constatera une rupture de flanc du talus.

La partie basse du tableau, à droite, correspond aux ruptures profondes mais là, c'est la présence d'une couche résistante qui impose le tracé du cercle de rupture. Dans un milieu ayant un angle de frottement interne faible ou nul en effet, la sécurité est d'autant moins assurée que le cercle est profond et par conséquent le cercle de rupture s'établit le plus bas possible, il est donc tangent à la face supérieure du substratum résistant.

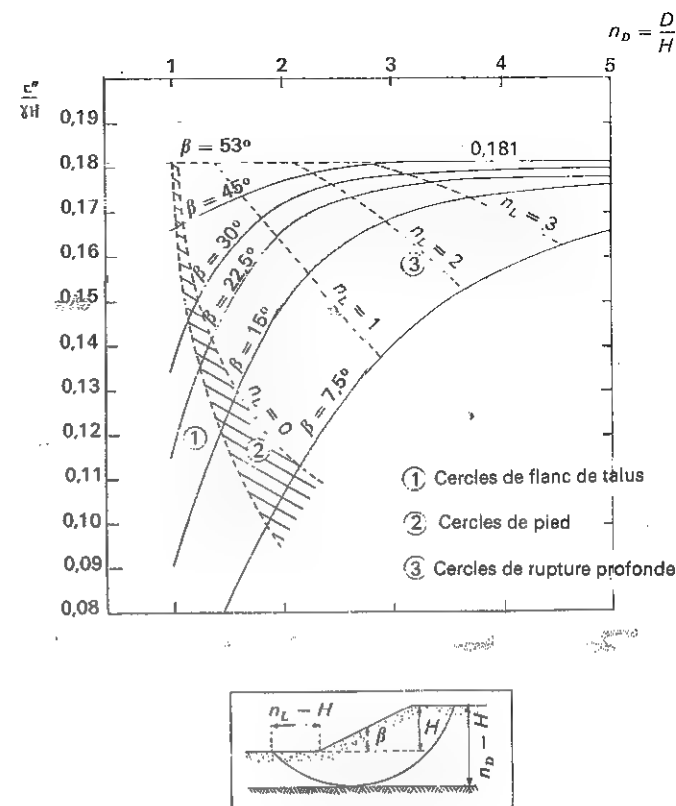


FIG. XI-18. — Abaque IV : Valeurs de $\frac{c''}{\gamma H}$ pour $\varphi = 0$ et $\beta < 53^\circ$.

De façon précise, pour le cas particulier $\varphi = 0$, on trouvera sur l'abaque IV (Fig. XI-18) la variation de $\frac{c''}{\gamma H}$ en fonction de la profondeur relative n_D et ce pour diverses valeurs de β comprises entre 53° et 0° (lorsque β est supérieur à 53° le cercle de rupture est un cercle de pied de talus ne passant pas sous le niveau du pied). On a tracé sur l'abaque les trois zones qui correspondent aux trois types possibles de rupture : cercles de flanc de talus, cercles de pied de talus (passant sous le niveau du pied), cercles de rupture profonde. Le tableau III reproduit les résultats représentés sur l'abaque IV (Fig. XI-18).

Lorsque n_D augmente indéfiniment, $\frac{c''}{\gamma H}$ tend vers 0,181 quelle que soit la valeur de β .

L'abaque IV comporte aussi l'indication des valeurs n_L , ce qui permet de construire le cercle de rupture (Fig. XI-14 d).

On vient d'étudier complètement la stabilité d'un massif homogène soumis à l'action de son seul poids. Il s'agit bien sûr d'un cas très particulier, mais

TABLEAU III

Valeurs de $\frac{c''}{\gamma H}$ en fonction de la profondeur relative $n_D = \frac{D}{H}$ de la couche résistante pour $\phi' = 0$

| $\beta \backslash n_D$ | 1 | 2 | 3 | 4 |
|------------------------|-------|-------|-------|-------|
| 7° 5 | 0,060 | 0,106 | 0,140 | 0,156 |
| 15° | 0,090 | 0,150 | 0,168 | 0,174 |
| 22° 5 | 0,116 | 0,166 | 0,175 | 0,178 |
| 30° | 0,134 | 0,172 | 0,178 | 0,179 |
| 45° | 0,166 | 0,178 | 0,181 | 0,181 |

les résultats obtenus faciliteront, dans le cas général, la compréhension du phénomène ainsi que la recherche du cercle de glissement critique. Les abaques et tableaux présentés permettront de dégrossir le problème.

Talus vertical.

Par ailleurs, tout ceci est directement applicable aux talus de faible et moyenne importance exécutés dans une couche de caractéristiques sensiblement homogènes, ce qui est un cas assez fréquent dans les travaux de terrassement. On constate, en particulier, sur le tableau II qu'il est possible de dresser un talus vertical stable dans une couche d'argile sans frottement sur une hauteur maximale H , telle que :

$$H = \frac{1}{0,261} \cdot \frac{c}{\gamma}$$

soit

$$H = 3,85 \frac{c}{\gamma}.$$

On notera que cette valeur diffère peu de $4 \frac{c}{\gamma}$ hauteur d'un écran sur lequel la poussée globale d'un massif cohérent en équilibre de Rankine est nulle (cf. § 6.2.7).

Il faut souligner que ces résultats ne sont valables qu'en l'absence de nappe phréatique ou d'écoulement d'eau, ce qui leur enlève beaucoup d'intérêt pour toute une série de problèmes, comme le calcul des digues et des barrages.

11.2.3 Méthode des tranches.

Exposé du problème.

Si certaines ruptures de talus présentent une forme circulaire, on trouve dans la nature de nombreux exemples dans lesquels la ligne de glissement diffère sensiblement d'un cercle. Par ailleurs, il est peu fréquent de rencontrer des terrains homogènes, de plus les grandes digues construites par les hommes sont systématiquement composées de plusieurs matériaux de propriétés différentes.

Pour ces raisons l'étude de l'équilibre global d'une masse homogène sujette à une rupture circulaire ne répond manifestement pas aux besoins de la pratique la plus courante. Il est nécessaire de disposer d'une méthode beaucoup plus générale permettant la prise en compte de lignes de glissement quelconques et de massifs hétérogènes.

En face d'un tel problème aux données complexes, on cherche la solution en divisant le massif en un certain nombre de volumes élémentaires pour chacun desquels la ligne de glissement a une forme simple et se développe dans un milieu homogène. C'est la *méthode des tranches* ou méthode suédoise due à Petterson (1916), développée pour les ruptures circulaires par Fellenius en 1927, perfectionnée plus récemment par Bishop en 1954, étendue enfin aux ruptures non circulaires par Nonveiller en 1965. On exposera ci-dessous la théorie générale de Nonveiller.

On considère un massif de forme quelconque, soumis à des forces extérieures données (surcharges, écoulement d'eau, sous-pressions, etc.) et susceptible de se rompre le long d'une ligne de glissement potentielle de forme arbitraire que l'on se fixe *a priori* (Fig. XI-19 a).

On divise alors la masse de terre sujette au glissement en une série de tranches verticales relativement minces. Les figures XI-19 b et c représentent les différentes forces qui agissent sur la tranche de rang n :

- le poids W du terrain et de l'eau qu'il contient,
- sur la face supérieure, soit la surcharge Q (de A en D) soit les composantes de l'action hydrostatique de l'eau W_w et P_w (de D en B),
- sur la face inférieure, c'est-à-dire le long de la ligne de glissement, les résultantes des contraintes totales de composantes N et T ,
- sur la face latérale de gauche, la force (X_n, Z_n) que la tranche de rang $n-1$ exerce sur la tranche de rang n et par conséquent sur la face latérale de droite la force $(-X_{n+1}, -Z_{n+1})$.

Comme on l'a remarqué toutes ces forces sont relatives à l'action simultanée des terres et de l'eau.

Mais on ne peut éviter bien sûr de considérer des contraintes effectives pour apprécier la résistance au cisaillement du massif, on notera la pression interstitielle en M

$$(z\gamma_w + u),$$

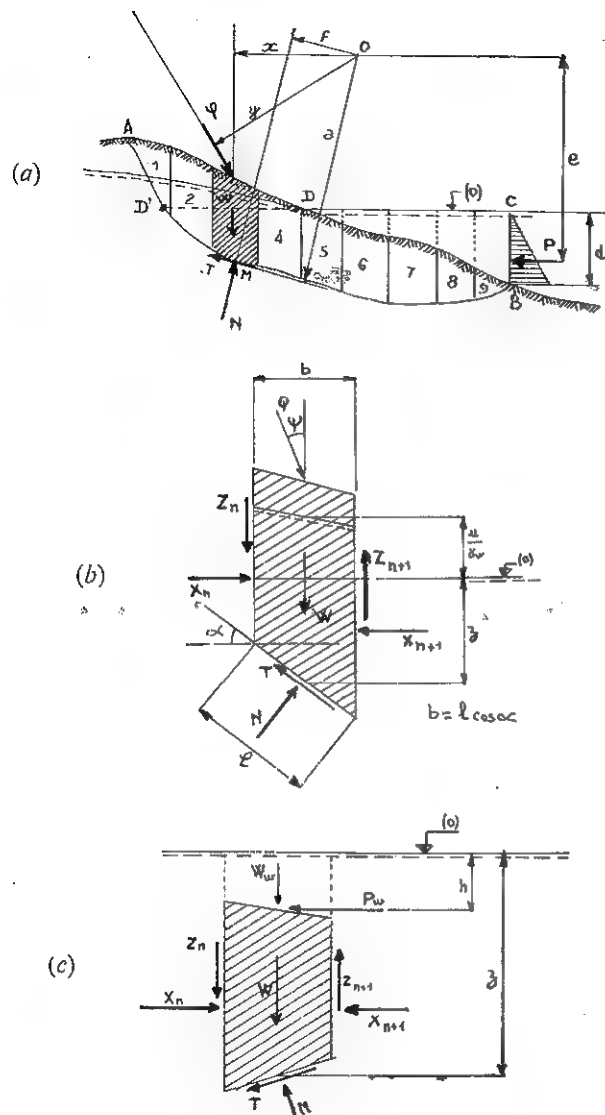


FIG. XI-19. — Méthode des tranches.

- a) Massif sujet au glissement, bras de levier des forces.
 b) Équilibre de la tranche de rang n (la surface de la tranche est hors d'eau).
 c) Équilibre de la tranche de rang n (la surface de la tranche est sous l'eau).

u représente donc la surpression qui règne en M par rapport à la pression qui s'établirait si la nappe phréatique était au repos et en équilibre avec le niveau d'eau aval DC .

La contrainte totale en M a pour composantes :

$$\sigma = \frac{N}{l} \quad \text{et} \quad \tau = \frac{T}{l}.$$

La contrainte effective a donc pour composantes :

$$\sigma' = \frac{N'}{l} = \sigma - (z\gamma_w + u) \quad \text{et} \quad \tau.$$

On adoptera comme définition du coefficient de sécurité la relation (cf. § 11.1.3)

$$\tau = \frac{1}{F} (c + \sigma' \operatorname{tg} \varphi)$$

c'est-à-dire

$$T = \frac{1}{F} (cl + N' \operatorname{tg} \varphi)$$

avec $N' = N - ul - lz\gamma_w$.

Il faut revenir sur les forces qui agissent sur la face supérieure de la tranche : l'ensemble des forces horizontales P_w est équivalent à la force hydrostatique P qui règne sur la verticale BC , la force W_w s'ajoute elle au poids W de la tranche, mais cette force n'existe pas toujours (par exemple dans le cas des tranches 1 à 4 sur la Fig. XI-19 a), on va donc chercher à mettre la somme $W + W_w$ sous une forme simple valable pour n'importe quelle tranche.

On appellera :

- W_1 le poids du sol et de l'eau qu'il contient au-dessus du niveau de référence (0),
- W_2 le poids déjaugé du sol situé sous ce même niveau de référence.

Lorsque la surface de la tranche est hors d'eau, on doit considérer le seul terme :

$$W = W_1 + (W_2 + bz\gamma_w).$$

Lorsque la surface de la tranche est à une profondeur h sous le niveau d'eau aval, on doit retenir

$$W + W_w = [W_2 + b(z - h)\gamma_w] + bh\gamma_w = W_2 + bz\gamma_w.$$

On voit que les deux expressions sont identiques puisque dans le deuxième cas W_1 est nul. On pose donc

$$W = W_1 + W_2 + bz\gamma_w$$

en notant que cette formule est valable quelle que soit la tranche considérée et inclut éventuellement les efforts verticaux exercés par l'eau à la partie supérieure de la tranche.

On est en mesure maintenant d'écrire les équations d'équilibre de chaque tranche et de l'ensemble du massif.

Equation d'équilibre, expression de F .

On écrira d'abord l'équilibre des forces verticales qui agissent sur une tranche :

$$Q \cos \psi + W_1 + W_2 + bz\gamma_w + (Z_n - Z_{n+1}) = N \cos \alpha + T \sin \alpha.$$

En remplaçant N et T par leurs expressions en fonction de N' et F , en posant :

$$\Delta_n Z = Z_n - Z_{n+1}$$

et en résolvant par rapport à N' il vient :

$$N' = \frac{Q \cos \psi + W_1 + W_2 + \Delta_n Z - ub - \frac{c}{F} b \operatorname{tg} \alpha}{\cos \alpha \left(1 + \frac{\operatorname{tg} \alpha \operatorname{tg} \varphi}{F} \right)}.$$

Dans la suite des calculs, on posera

$$m_\alpha = \cos \alpha \left(1 + \frac{\operatorname{tg} \alpha \operatorname{tg} \varphi}{F} \right)$$

la figure XI-20 présente un abaque qui permet un calcul rapide de ce coefficient.

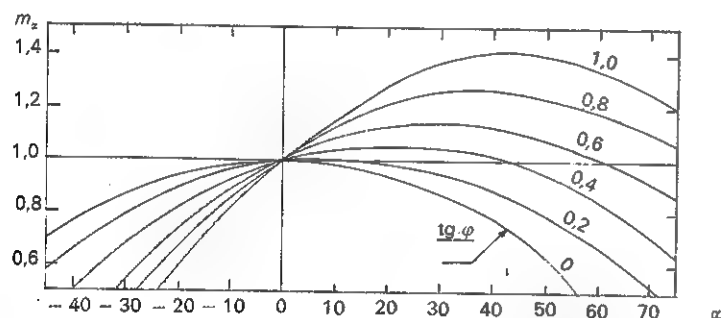


FIG. XI-20. — Valeurs de $m_\alpha = \cos \alpha \left(1 + \frac{\operatorname{tg} \alpha \operatorname{tg} \varphi}{F} \right)$.

La masse de terre $AMBDA$ est en équilibre elle aussi, on écrit que l'ensemble des forces qui agissent sur cette masse a un moment résultant nul par rapport à un point quelconque O du plan. La figure XI-19 a montre les bras de levier correspondants.

On trouve, en notant que les forces X_n et Z_n s'éliminent puisque ce sont des forces intérieures :

$$\begin{aligned} \sum [(W_1 + W_2 + bz\gamma_w)x + Qy] = \\ = \sum \left[(N' + ul + lz\gamma_w)f + \frac{1}{F}(cl + N' \operatorname{tg} \varphi)a \right] + Pe. \end{aligned}$$

On remarquera que :

$$\sum bz\gamma_w x = \sum lz\gamma_w f + Pe$$

cette équation exprime simplement en effet l'équilibre du volume d'eau $CBMD'DC$: le premier membre représente le moment de son poids, le premier terme du second membre le moment des pressions hydrostatiques le long de $D'MB$ et le deuxième terme le moment de la pression sur CB .

Après simplification l'équation de la résultante générale des moments agissant sur le massif donne

$$\sum [(W_1 + W_2)x + Qy] = \sum (N' + ul)f + \frac{1}{F} \sum (cl + N' \operatorname{tg} \varphi)a$$

d'où on tire le coefficient de sécurité F :

$$F = \frac{\sum (cl + N' \operatorname{tg} \varphi)a}{\sum [(W_1 + W_2)x + Qy] - \sum (N' + ul)f}$$

On remplace alors N' par la valeur qui a été calculée précédemment et on obtient finalement :

$$F = \frac{\sum [cb + \operatorname{tg} \varphi (Q \cos \psi + W_1 + W_2 + \Delta_n Z - ub)] \frac{a}{m_\alpha}}{\sum [(W_1 + W_2)x + Qy] - \sum \left[(Q \cos \psi + W_1 + W_2 + \Delta_n Z) + \frac{b \operatorname{tg} \alpha}{F} (u \operatorname{tg} \varphi - c) \right] \frac{f}{m_\alpha}}$$

Le deuxième membre de cette équation contient F explicitement et par l'intermédiaire de m_α mais la formule se prête très bien à une résolution par approximations successives.

Avant d'en arriver là, il convient de faire le point et d'examiner les conditions d'équilibre dont on ne s'est pas encore servi et qui doivent être vérifiées néanmoins, si on ne veut pas commettre de grossières erreurs.

En ce qui concerne l'équilibre de chaque tranche, on a déjà tenu compte des forces verticales.

Pour les forces horizontales, on a, en notant $\Delta_n X = X_n - X_{n+1}$

$$\Delta_n X + N \sin \alpha + Q \sin \psi = T \cos \alpha + P_w.$$

On va éliminer N de cette équation, pour cela on reprend l'équation d'équilibre des forces verticales agissant sur la tranche soit

$$Q \cos \psi + W_1 + W_2 + bz\gamma_w + \Delta_n Z = N \cos \alpha + T \sin \alpha$$

et on multiplie les deux membres par $\operatorname{tg} \alpha$ pour faire apparaître $N \sin \alpha$ dans le second, on porte cette valeur dans l'équation d'équilibre des forces horizontales et on obtient :

$$\Delta_n X + bz\gamma_w \operatorname{tg} \alpha - P_w = \frac{T}{\cos \alpha} - \operatorname{tg} \alpha (W_1 + W_2 + \Delta_n Z) - Q (\sin \psi + \cos \psi \operatorname{tg} \alpha)$$

avec

$$T = \frac{1}{F} (cl + \operatorname{tg} \varphi N') = \frac{1}{F m_\alpha} [(Q \cos \psi + W_1 + W_2 + \Delta_n Z - ub) \operatorname{tg} \varphi + cb].$$

Cette équation définit donc $\Delta_n X$ en fonction des données du problème ainsi que de $\Delta_n Z$ et de F .

Pour terminer l'étude de l'équilibre de la tranche de rang n , il faut écrire que le moment résultant des forces est nul. Toutefois, on négligera cette condition, c'est le seul point faible de la méthode.

En ce qui concerne l'équilibre de l'ensemble de la masse de terre sujette au glissement, on a déjà écrit que le moment résultant était nul (c'est de cette manière que l'on a calculé F).

Il faut écrire en outre que les composantes verticale et horizontale de la résultante des forces extérieures sont nulles. Cela conduit naturellement à

$$\sum \Delta_n Z = 0 \quad \text{pour les forces verticales}$$

et

$$\sum \Delta_n X = 0 \quad \text{pour les forces horizontales}$$

puisque dans chaque tranche $\Delta_n X$ et $\Delta_n Z$ équilibrent la résultante des forces extérieures.

L'équation $\sum \Delta_n X = 0$ s'écrit en reprenant l'expression trouvée pour $\Delta_n X$:

$$\sum (bz\gamma_w \operatorname{tg} \alpha - P_w) = \sum \left[\frac{T}{\cos \alpha} - \operatorname{tg} \alpha (W_1 + W_2 + \Delta_n Z) - \frac{Q \sin (\alpha + \psi)}{\cos \alpha} \right].$$

Or le premier membre de cette égalité est nul, car

$$\sum bz\gamma_w \operatorname{tg} \alpha = \sum P_w = P.$$

En effet

$$bz\gamma_w \operatorname{tg} \alpha = lz\gamma_w \sin \alpha$$

c'est donc la composante horizontale de la pression de l'eau sur la base d'une tranche et $\sum bz\gamma_w \operatorname{tg} \alpha$ représente la composante horizontale de la pression de l'eau sur l'arc BMD' qui est bien égale à la pression P sur CB (Fig. XI-19 a).

Par suite, pour satisfaire toutes les conditions d'équilibre du massif, les différences $\Delta_n Z$ doivent vérifier les deux équations :

$$\begin{aligned} & \sum \Delta_n Z = 0 \\ \text{et} \\ & \sum \Delta_n Z \operatorname{tg} \alpha = \sum \left[\frac{T}{\cos \alpha} - \operatorname{tg} \alpha (W_1 + W_2) - Q \frac{\sin (\alpha + \psi)}{\cos \alpha} \right] \\ \text{avec} \\ & T = \frac{1}{F m_\alpha} [(Q \cos \psi + W_1 + W_2 + \Delta_n Z - ub) \operatorname{tg} \varphi + cb] \end{aligned}$$

Comme on le voit, on a pu éliminer complètement les $\Delta_n X$ du calcul pour ne conserver que les $\Delta_n Z$.

Méthode de Bishop.

Avant d'examiner comment on obtient de façon pratique la solution des équations de Nonveiller, on va vérifier rapidement ce qu'elles deviennent lorsque la ligne de glissement est un cercle de rayon r .

Le calcul des bras de levier est aisé :

$$x = r \sin \alpha$$

$$a = r$$

$$f = 0$$

et on supposera pour simplifier l'écriture $Q = 0$. De plus, on admettra que $\Delta_n Z = 0$ quel que soit n , ce qui revient à considérer que les efforts qu'une tranche exerce sur la tranche voisine sont horizontaux.

Dans ces conditions on aboutit à l'expression suivante du coefficient de sécurité que Bishop avait obtenue directement en 1954 (on rappellera d'ailleurs que l'objectif de Nonveiller était de généraliser la méthode de Bishop, il n'est donc pas étonnant que l'on retrouve les équations de cet auteur) :

$$F = \frac{\sum \frac{cb + \operatorname{tg} \varphi (W_1 + W_2 - ub)}{m_\alpha}}{\sum \sin \alpha (W_1 + W_2)}$$

Le calcul de F par approximations successives est assez facile et la précision est bonne.

Abandonner l'hypothèse simplificatrice $\Delta_n Z = 0$ complique singulièrement le travail sans pour autant améliorer beaucoup le résultat (de l'ordre de 10 à 15 %). Terzaghi pense que cet effort n'est pas justifié.

Si on suppose non seulement $\Delta_n Z = 0$, mais aussi $\Delta_n X = 0$, l'expression du coefficient de sécurité se simplifie radicalement ; l'équation des moments donne :

$$F = \frac{\sum (cl + \frac{N'}{W} \operatorname{tg} \varphi)}{\sum \sin \alpha (W_1 + W_2)}$$

et la valeur de N' se calcule sans difficulté dans chaque tranche à partir des seules forces extérieures.

Comme on le constate, la formule donne explicitement F , il n'y a plus besoin de procéder par approximations successives. Cette méthode est extrêmement répandue, c'est souvent à elle que l'on fait allusion en parlant de la méthode suédoise. Mais il ne faut pas se dissimuler que son utilisation peut conduire à des conclusions dangereuses, car on ne satisfait que l'une des trois conditions d'équilibre du massif sujet au glissement. C'est pour lever cette difficulté d'ailleurs que Bishop a développé sa propre méthode. On notera que chez Bishop $\Delta_n Z = 0$ et que $\Delta_n X$ n'intervient pas, mais en réalité dans cette méthode $\Delta_n X$ n'est pas nul, c'est ce qui fait la différence avec la méthode suédoise classique.

Pour terminer, on signalera une particularité propre à cette dernière méthode. La figure XI-21 représente l'équilibre d'une tranche dans l'hypothèse où

$$\Delta_n X = \Delta_n Z = 0.$$

Pour simplifier le raisonnement on a supposé qu'il n'y a pas d'écoulement d'eau. La force de frottement (de composantes N et T) est donc directement opposée au poids. Par conséquent si pour une tranche telle que (a) l'effort tangentiel est bien dirigé dans le sens opposé au glissement, il n'en va plus de même pour une autre tranche telle que (b).

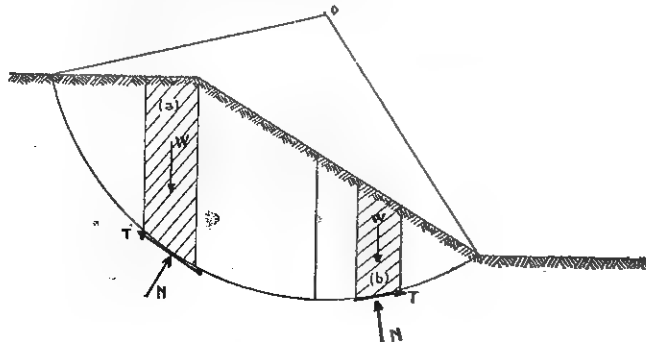


FIG. XI-21. — Méthode suédoise classique.

On ne peut donc plus raisonnablement conserver la définition du coefficient de sécurité utilisée jusqu'ici sous peine d'incohérence et on doit choisir une autre définition, par exemple le rapport du moment résistant au moment moteur. C'est d'ailleurs une simple question de présentation, car on retrouve la même expression pour F .

Calcul de F par la méthode générale.

On précisera tout d'abord qu'on peut là aussi faire les mêmes hypothèses simplificatrices que dans le cas d'une rupture circulaire, c'est-à-dire

- soit $\Delta_n X = \Delta_n Z = 0$ comme dans la méthode suédoise,
- soit $\Delta_n Z = 0$ comme dans la méthode de Bishop.

Nonveiller lui-même a recherché l'influence de ces simplifications sur la valeur de F . Il cite le cas d'un barrage en terre et enrochements de 80 m de hauteur soumis à une vidange rapide sur la paroi amont (baisse de 17 m du plan d'eau). En prenant $\Delta_n Z = 0$ il trouve un coefficient de sécurité de 1,60 ; en utilisant des valeurs de $\Delta_n Z$ compatibles avec les deux équations générales $\sum \Delta_n Z = 0$ et $\sum \Delta_n Z \operatorname{tg} \alpha = \dots$ il obtient 1,55.

D'autres exemples donnent des résultats analogues. Sans pouvoir émettre d'opinion générale, il est donc vraisemblable que ces simplifications sont justifiées la plupart du temps.

Comment les calculs doivent-ils être conduits de façon pratique dans le cas le plus général ?

Tout d'abord il convient de les présenter de façon systématique. Le tableau IV propose une disposition des calculs directement inspirée de celle que Bishop a prévue pour l'application de sa méthode.

Le tableau IV concerne le calcul du coefficient de sécurité et le tableau V celui des forces verticales $\Delta_n Z$.

On commence par évaluer une distribution raisonnable des différences $\Delta_n Z$, en tenant compte par exemple de l'ordre de grandeur des efforts de poussée et en estimant la part de résistance au cisaillement qui peut être mobilisée. Il est alors possible de remplir le tableau IV de la ligne 1 à la ligne 30.

On choisit alors une valeur plausible F_1 du coefficient de sécurité et la fin du calcul procure une meilleure approximation F_2 .

On peut recommencer en portant cette valeur F_2 dans la ligne 31 jusqu'à ce que deux approximations successives soient assez voisines.

Il faut parallèlement vérifier la compatibilité des différences $\Delta_n Z$ choisies. On introduit la valeur F_2 dans la ligne 43 du tableau V et on vérifie si $\sum 47 = \sum 48$. Dans la négative, on modifiera légèrement la distribution des différences avant d'opérer l'itération qui conduit de F_2 à F_3 .

Lorsqu'on a terminé ce calcul, on a déterminé le coefficient de sécurité qui correspond à une ligne de glissement potentielle donnée. Il faut tout recommencer pour un certain nombre de lignes possibles afin de trouver la valeur

TABLEAU IV
Application de la méthode de Nonveiller.
Calcul du coefficient de sécurité

| Tranche N° | | 1 | 2 | ... | n | Total |
|------------|--|---|---|-----|-----|-----------|
| Ligne | | | | | | |
| 1 | b | | | | | |
| 2 | a | | | | | |
| 3 | x | | | | | |
| 4 | y | | | | | |
| 5 | f | | | | | |
| 6 | α | | | | | |
| 7 | $\operatorname{tg} \alpha$ | | | | | |
| 8 | c | | | | | |
| 9 | $\operatorname{tg} \varphi$ | | | | | |
| 10 | ψ | | | | | |
| 11 | $\cos \psi$ | | | | | |
| 12 | cb | | | | | |
| 13 | ub | | | | | |
| 14 | Q | | | | | |
| 15 | $Q \cos \psi$ | | | | | |
| 16 | W_1 | | | | | |
| 17 | W_2 | | | | | |
| 18 | $\Delta_n Z$ | | | | | $\sum 18$ |
| 19 | $Q \cos \psi + W_1 + W_2 + \Delta_n Z$ | | | | | |
| 20 | $19 - ub$ | | | | | |
| 21 | $20 \operatorname{tg} \varphi$ | | | | | |
| 22 | $12 + 21$ | | | | | |

TABLEAU IV (suite)

| Tranche N° | | 1 | 2 | ... | n | Total |
|------------|--------------------------------|---|---|-----|-----|-----------|
| Ligne | | | | | | |
| 23 | $22.a$ | | | | | |
| 24 | $W_1 + W_2$ | | | | | |
| 25 | $24.x$ | | | | | |
| 26 | Qy | | | | | |
| 27 | $25 + 26$ | | | | | $\sum 27$ |
| 28 | $ub \operatorname{tg} \varphi$ | | | | | |
| 29 | $28 - cb$ | | | | | |
| 30 | $29 \operatorname{tg} \alpha$ | | | | | |
| 31 | F_1 | | | | | |
| 32 | $\frac{30}{F_1}$ | | | | | |
| 33 | $19 + 32$ | | | | | |
| 34 | $33.f$ | | | | | |
| 35 | m_a | | | | | |
| 36 | $\frac{23}{m_a}$ | | | | | $\sum 36$ |
| 37 | $\frac{34}{m_a}$ | | | | | $\sum 37$ |

$$F_2 = \frac{\sum 36}{\sum 27 - \sum 37}$$

Recommencer de 31 à 37.

TABLEAU V
Application de la méthode de Nonveiller.
Détermination des forces verticales $\Delta_n Z$

| Tranche N° | | 1 | 2 | ... | n | Total |
|------------|--|---|---|-----|---|-----------|
| Ligne | | | | | | |
| 18 | $\Delta_n Z$ | | | | | $\sum 18$ |
| 38 | $\cos \alpha$ | | | | | |
| 39 | $24 \operatorname{tg} \alpha$ | | | | | |
| 40 | $\alpha + \psi$ | | | | | |
| 41 | $\sin (\alpha + \psi)$ | | | | | |
| 42 | $\frac{\sin (\alpha + \psi)}{\cos \alpha}$ | | | | | |
| 43 | F | | | | | |
| 44 | m_a | | | | | |
| 45 | $F m_a \cos \alpha$ | | | | | |
| 46 | $\frac{22}{F m_a \cos \alpha}$ | | | | | |
| 47 | 46-39-42 | | | | | $\sum 47$ |
| 48 | $\Delta_n Z \operatorname{tg} \alpha$ | | | | | $\sum 48$ |

$$\sum 18 = 0$$

$$\sum 47 = \sum 48$$

minimale de F . On conçoit aisément combien cette recherche est fastidieuse et combien elle peut prendre de temps ! La méthode de Nonveiller paraît correspondre au maximum de raffinement supportable et pourtant on a négligé l'équation des moments dans chaque tranche.

Morgenstern et Price ont mis au point en 1965 une méthode qui tient compte de toutes les équations d'équilibre, mais sa complexité est telle (malgré certaines simplifications radicales) que l'emploi du calcul automatique est indispensable (les programmes correspondants ont été écrits sous la direction de Price).

La nécessité économique de disposer maintenant de procédés de calcul automatique pour l'étude des grands ouvrages (digues, barrages, murs de quai, etc.) paraît s'imposer. L'étude que l'on vient de faire de la méthode de Nonveiller montre d'ailleurs qu'elle est bien adaptée à cette nouvelle technique de calcul. En France, la société Eurequip a mis récemment au point un programme de calcul écrit en Fortran IV pour ordinateur IBM 7094.

Le programme repose sur le modèle de Fellenius et permet de prendre en compte des terrains stratifiés par couches horizontales avec un maximum de trois couches, plus la nappe phréatique et un substratum résistant. La cohésion de chaque couche peut être constante ou variable avec la profondeur. Le programme permet enfin de tenir compte des caractéristiques réelles des différents ouvrages : murs de quai, gabions et murs de soutènement.

Pour conclure, on citera un passage de l'article dans lequel Demonsablou et Hufnagel ont présenté ce programme et tirent de façon très pertinente la philosophie de cette question du calcul de la sécurité à l'égard du glissement :

« Enfin, il convient de rappeler que le problème de la stabilité au glissement d'ensemble consiste à définir la courbe de rupture la plus probable, c'est-à-dire celle qui, parmi toutes les courbes de rupture possibles, fournira le coefficient de sécurité minimal.

« Si nous limitons notre investigation aux courbes de rupture circulaires dépendant de trois paramètres, il nous faudra donc chercher la plus petite valeur d'une fonction de trois variables et il nous faudra opérer cette recherche avec une précision d'autant meilleure que les coefficients de sécurité pris en compte sont généralement faibles ; il n'est pas rare, même pour les ouvrages importants que constituent de grands quais, d'admettre des coefficients de sécurité de 1,10 ou 1,05.

« Il est évident que, dans ces conditions, une précision de 1 ou 2 % dans le calcul du coefficient de sécurité minimal n'est pas excessive et que la dizaine, ou au mieux les quelques dizaines d'essais graphiques sur lesquels on est accoutumé de fonder ce calcul, risquent fort d'être insuffisants.

« Or le calcul d'une seule dizaine de cercles de glissement requiert déjà une certaine abnégation intellectuelle de la part de celui qui l'exécute. C'est pourquoi l'automatisation du processus de calcul semble s'imposer dès que le nombre d'essais nécessaires se chiffre par dizaines et *a fortiori*, comme nous le soulignerons plus loin, par centaines... »

Avant d'abandonner le sujet, il faut faire un dernier retour sur une des hypothèses implicitement formulées.

Pendant 50 ans, environ, l'étude de la stabilité des talus a été basée sur l'hypothèse d'une rupture plastique le long d'une surface cylindrique circulaire. La masse de terre en mouvement se comporte donc comme un corps rigide.

Mais lorsqu'on adopte maintenant des surfaces de glissement d'aspects beaucoup plus variés, principalement pour les massifs hétérogènes, il faut bien prendre garde aux conséquences que cela entraîne sur la déformation du massif.

Les résultats des calculs peuvent être sérieusement erronés si la forme de la ligne de glissement implique des déformations importantes dans certaines parties de la masse en mouvement.

Dans ce cas, on ne peut plus considérer cette masse comme un corps rigide et ses déformations ont une influence considérable sur la valeur réelle du coefficient de sécurité. Les hypothèses que l'on est amené à faire sur le degré de mobilisation de la résistance au cisaillement à la limite de deux zones différentes, sont un des éléments majeurs du problème.

11.3 INFLUENCE DES ÉCOULEMENTS D'EAU SUR LA STABILITÉ DES TALUS.

Les calculs de stabilité des talus nécessitent la plupart du temps la connaissance de contraintes effectives, ce qui demande la détermination de la pression interstitielle.

Cette détermination n'est pas toujours chose aisée car l'eau est rarement en équilibre hydrostatique. On a étudié dans le chapitre II (article 2.2) les principes de l'hydraulique souterraine et on a indiqué les différents procédés qui permettent le calcul de la pression interstitielle. On se contentera donc maintenant de donner quelques compléments concernant le cas particulier des talus et des barrages.

Dans tout l'article précédent, on a toujours abordé le problème par le biais du calcul de l'ensemble des deux phases solide et liquide, on a pris en compte le poids du sol noyé d'eau d'une part et sur les frontières d'autre part les contraintes effectives et la pression interstitielle.

On peut opérer différemment et s'intéresser directement à la seule phase solide. Dans ces conditions, on doit prendre pour forces de volume la somme vectorielle du poids déjaugé γ' et de l'action du courant $i\gamma_w$, i est le gradient hydraulique, la force $i\gamma_w$ est dirigée suivant la tangente à la ligne de courant qui passe par le point considéré et dans le sens du courant. Sur les frontières on ne compte plus que les seules contraintes effectives. Les deux méthodes sont également satisfaisantes ; dans chaque cas particulier, on choisira celle qui donne les calculs les plus simples.

Bishop et Morgenstern ont proposé une méthode approchée pour le calcul de la pression interstitielle, ils supposent que cette pression est de la forme :

$$u = r_u \gamma h$$

dans cette expression,

r_u est un coefficient de proportionnalité constant tout le long du cercle de glissement,

γ le poids volumique du sol saturé,

h la distance verticale entre le point considéré de la ligne de glissement et la surface du talus.

Autrement dit, la pression interstitielle en un point de la ligne de glissement est une fraction constante du poids de la colonne de terre qui surmonte cette ligne. A partir de cette hypothèse simplificatrice, Bishop et Morgenstern ont bâti des abaques pour le calcul de la stabilité des talus. Mais cette méthode a ses limites et l'on doit souvent calculer de manière plus précise la pression interstitielle.

11.3.1 Écoulements linéaires.

Talus infini en milieu pulvérulent.

On traitera dans ce paragraphe des écoulements linéaires, c'est-à-dire des écoulements pour lesquels les lignes de courant sont des droites parallèles entre elles. On s'intéressera d'abord au cas d'un talus infini dressé dans un milieu pulvérulent (Fig. XI-22). Pour définir la direction de l'écoulement, on se donne l'angle θ que fait la direction générale de l'écoulement avec la surface du talus, c'est aussi l'angle que fait la direction des équipotentielles avec une normale à la surface du talus.

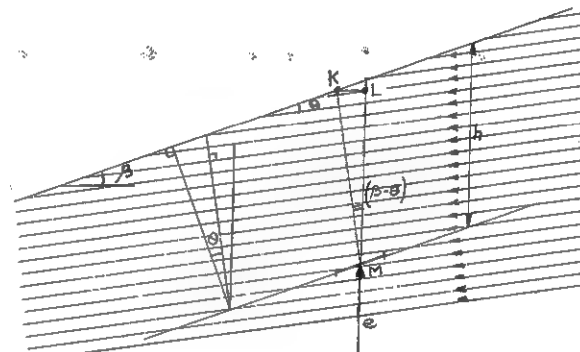


Fig. XI-22. — Talus infini en milieu pulvérulent (écoulement linéaire).

On considère un point M à une profondeur h et la facette en M parallèle à la surface du talus. Sur cette facette règne une contrainte totale e qui est verticale et qui a pour intensité

$$e = \gamma_h h \cos \beta$$

(γ_h est le poids volumique du milieu saturé $\gamma_h = \gamma' + \gamma_w$), la démonstration est en tout point identique à celle qu'on a donnée à l'occasion de l'étude de l'équilibre de Rankine (cf. chapitre V). Les composantes normale et tangentielle de e sont respectivement

$$\sigma = (\gamma' + \gamma_w) h \cos^2 \beta$$

et

$$\tau = (\gamma' + \gamma_w) h \cos \beta \sin \beta.$$

La charge hydraulique en M est égale à l'altitude du point K où l'équipotentielle MK coupe la surface libre et par conséquent la pression interstitielle u en M vaut

$$u = \gamma_w LM = \gamma_w h \frac{\cos \beta}{\cos \theta} \cos (\beta - \theta)$$

soit

$$u = \gamma_w h (\cos^2 \beta + \cos \beta \sin \beta \operatorname{tg} \theta).$$

Par suite la contrainte effective qui agit en M sur la facette parallèle au talus a pour composantes :

$$\sigma' = \gamma' h \cos^2 \beta - \gamma_w h \cos \beta \sin \beta \operatorname{tg} \theta$$

$$\tau = (\gamma' + \gamma_w) h \cos \beta \sin \beta.$$

On cherche maintenant pour quelle valeur de β le talus devient instable. A ce moment-là des lignes de glissement apparaissent au sein du massif et ces lignes sont forcément parallèles à la surface libre. On doit donc avoir :

$$\tau = \sigma' \operatorname{tg} \varphi$$

soit

$$(\gamma' + \gamma_w) h \cos \beta \sin \beta = \operatorname{tg} \varphi (\gamma' h \cos^2 \beta - \gamma_w h \cos \beta \sin \beta \operatorname{tg} \theta).$$

Après simplification cette formule devient :

$$\operatorname{tg} \beta = \operatorname{tg} \varphi \cdot \frac{\gamma'}{\gamma' + \gamma_w (1 + \operatorname{tg} \varphi \operatorname{tg} \theta)}.$$

Elle montre l'influence de l'écoulement sur la stabilité du talus, puisque $\beta < \varphi$ pour les valeurs positives de θ , c'est-à-dire lorsque l'eau suinte le long de la surface du talus.

On calculera β dans deux cas particuliers :

- lorsque l'écoulement est parallèle à la surface libre ($\theta = 0$),
- et lorsque l'écoulement est horizontal ($\theta = \beta$).

Dans le premier cas, on obtient :

$$\operatorname{tg} \beta = \frac{\gamma'}{\gamma' + \gamma_w} \operatorname{tg} \varphi.$$

Le rapport des poids volumiques est toujours très voisin de $\frac{1}{2}$ si bien qu'on peut écrire

$$\operatorname{tg} \beta = \frac{1}{2} \operatorname{tg} \varphi$$

c'est-à-dire à 1° ou 2° près

$$\beta = \frac{\varphi}{2}.$$

Dans le deuxième cas, la formule devient

$$(\gamma' + \gamma_w) \operatorname{tg} \beta + \gamma_w \operatorname{tg} \varphi \operatorname{tg}^2 \beta = \gamma' \operatorname{tg} \varphi.$$

Si l'on admet comme précédemment $\gamma' = \gamma_w$, on a

$$\operatorname{tg} \varphi \operatorname{tg}^2 \beta + 2 \operatorname{tg} \beta = \operatorname{tg} \varphi$$

soit

$$\operatorname{tg} \varphi = \frac{2 \operatorname{tg} \beta}{1 - \operatorname{tg}^2 \beta} = \operatorname{tg} 2 \beta$$

d'où

$$\beta = \frac{\varphi}{2}.$$

Lorsque θ est compris entre les deux valeurs précédentes 0 et β , on constate que la valeur critique de β varie fort peu, elle est toujours légèrement supérieure à $\frac{\varphi}{2}$.

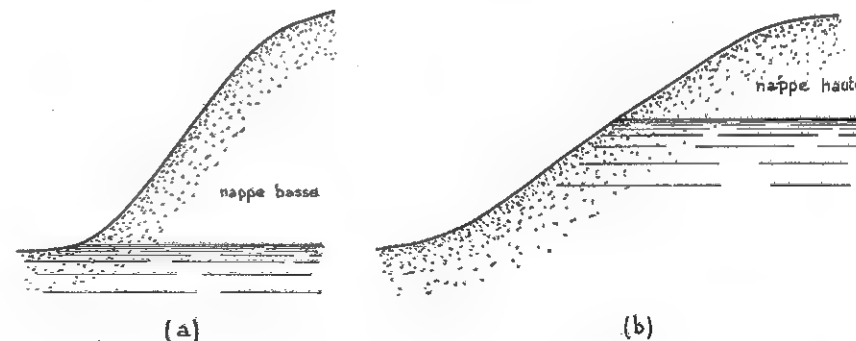


FIG. XI-23. — Talus en terrain peu cohérent.

- a) Nappe basse : l'angle de stabilité du talus est égal à l'angle de frottement interne.
- b) Nappe haute : l'angle de stabilité du talus est égal à la moitié de l'angle de frottement interne.

En l'absence d'écoulement, cette valeur critique aurait été égale à φ , ceci montre combien il faut être prudent dès qu'un écoulement peut prendre naissance au sein du massif, et c'est souvent le cas, ne serait-ce qu'après de fortes pluies. La figure XI-23 montre bien la différence d'aspect d'un talus stable en milieu graveleux suivant qu'il y a ou non écoulement d'eau.

Cas général.

En utilisant la méthode globale de Caquot, Kérisel a donné l'expression littérale du coefficient de sécurité d'un talus dressé dans un milieu cohérent homogène lorsque le massif est parcouru par un écoulement linéaire faisant un angle λ avec l'horizontale.

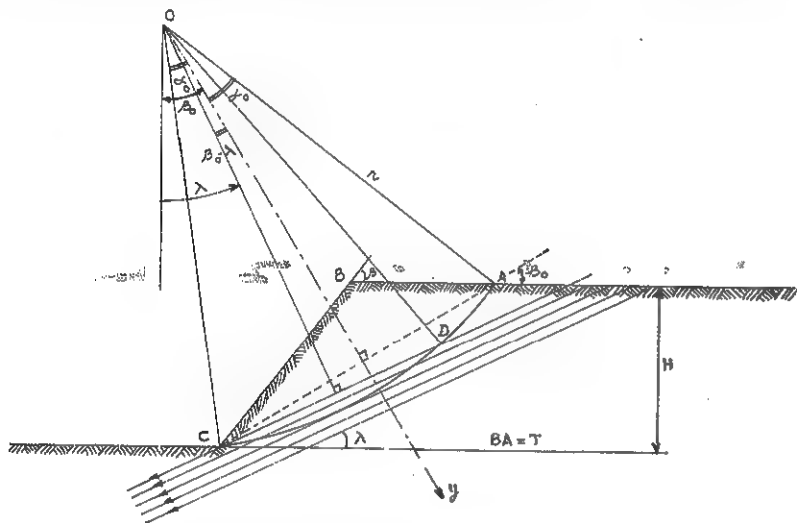


FIG. XI-24. — Écoulement linéaire dans un talus de hauteur H .

Plusieurs cas de figures sont possibles. A titre de curiosité on donnera la valeur de F pour le cas représenté sur la figure XI-24.

$$F = \frac{2\alpha_0 r^2 c + r \operatorname{tg} \varphi \left(0,4 + 0,6 \frac{\alpha_0}{\sin \alpha_0}\right) (W + U)_y}{\frac{\gamma_h}{6} [4r^3 \sin^3 \alpha_0 \sin \beta_0 + T^2 H + 2TH^2 \cot \beta + 3THr \sin (\beta_0 - \alpha_0)]}$$

avec

$$(W + U)_y = \gamma_h \cos \beta_0 \left[r^2 \left(\alpha_0 - \frac{1}{2} \sin 2\alpha_0 \right) + \frac{TH}{2} \right] - \gamma_w r^2 [\cos \beta_0 + \sin (\beta_0 - \lambda) \sin \lambda] \times \left[(\lambda + \alpha_0 - \beta_0) - \frac{1}{2} \sin 2(\lambda + \alpha_0 - \beta_0) \right]$$

On reconnaît la formule du paragraphe 11.2.1 avec une légère différence toutefois ; le bras de levier de la composante tangentielle des forces de frottement a été pris égal à :

$$r \left(0,4 + 0,6 \frac{\alpha_0}{\sin \alpha_0} \right)$$

et non à

$$r \frac{\alpha_0}{\sin \alpha_0}$$

(on sait que ces deux valeurs sont très voisines).

Au dénominateur, on trouve le moment du poids W par rapport au centre O du cercle, on a supposé que tout le terrain était gorgé d'eau aussi bien au-dessus de la surface libre de l'écoulement qu'en dessous.

Le premier terme correspond au moment du poids du segment $CADC$, les trois autres termes à celui du poids du triangle ABC qui a pour intensité $\frac{\gamma_h}{2} \cdot TH$ et pour bras de levier

$$\frac{2}{3} \left(\frac{T}{2} + H \cot \beta \right) + r \sin (\beta_0 - \alpha_0).$$

Le moment de la résultante U des forces de pression interstitielle est nul puisque toutes ces forces élémentaires passent par O .

Dans l'expression de $(W + U)_y$, on constate tout de suite que le premier terme est égal à $W \cos \beta_0 = W_y$. Le second terme représente donc U_y ; c'est dans ce terme-là seulement que se manifeste l'influence de l'écoulement sur le coefficient de sécurité. Ce terme U_y se présente sous la forme

$$U_y = -W_w [\cos \beta_0 + \sin \lambda \sin (\beta_0 - \lambda)]$$

dans laquelle W_w est le poids de l'eau qui occuperait la totalité du segment limité par la corde CD , c'est-à-dire la partie de la masse sujette au glissement qui subit l'action de l'écoulement linéaire.

La formule ci-dessus exprime l'équilibre de ce volume d'eau de poids W_w en projection sur l'axe Oy . En effet, il est soumis sur son pourtour à la seule force U puisque les contraintes sont nulles sur la surface libre ; deux forces de volume le sollicitent par ailleurs, son poids W_w qui fait un angle β_0 avec l'axe Oy et l'action du courant iW_w qui fait un angle $\frac{\pi}{2} - (\beta_0 - \lambda)$ avec l'axe Oy (elle est dirigée parallèlement aux lignes de courant en sens contraire de l'écoulement) ; comme le gradient hydraulique i est égal à $\sin \lambda$ on retrouve bien l'expression de U_y .

Abaques Simécsol.

Finalement, on constate que le coefficient de sécurité F dépend de trois groupes de paramètres :

- H , β et λ qui fixent la géométrie du problème,
- γ_h , φ et c qui caractérisent le matériau,
- r , T , α_0 et β_0 qui définissent un cercle de glissement possible. Dans certains cas de figures il faut ajouter à cette liste la longueur L et la profondeur D (Fig. XI-14 d) mais toutes ces quantités ne sont pas indépendantes ; on choisira comme variables indépendantes T et $(\beta_0 - \alpha_0)$ pour les cercles de pied de talus, L , T et D pour les cercles de rupture profonde.

Les calculs du coefficient de sécurité ont été effectués dans tous les cas de figures possibles et pour un grand nombre de valeurs des paramètres des deux premiers groupes, en prenant 2,13 pour densité du matériau saturé. Il faut chaque fois chercher le minimum de F lorsque les paramètres qui définissent le cercle varient. Cette recherche de minimum dans une triple infinité de valeurs a été exécutée sur un ordinateur IBM 7094.

Les résultats sont présentés dans une série d'abaques analogues à celui qui est reproduit sur la figure XI-25.

Chaque abaque correspond à une valeur de φ et du rapport $\frac{\lambda}{\beta}$. Il comporte un certain nombre de courbes donnant le coefficient de sécurité F en fonction de $\cot \beta$; ce choix de la cotangente pour représenter l'angle β s'explique par l'habitude qu'ont les projeteurs de définir la pente des talus par le rapport de la base à la hauteur.

Chaque courbe est relative à une valeur de $\frac{c}{\gamma H}$. Enfin, les paramètres des cercles critiques (T et $\beta_0 - \alpha_0$ dans la zone I ; L , T et D dans la zone II) sont indiqués le long des courbes $F(\cot \beta, \frac{c}{\gamma H})$ on peut ainsi avoir chaque fois une idée de la position du cercle critique.

On vérifiera sur les abaques que le coefficient de sécurité est égal à 1 lorsque $\beta = \varphi$, $\lambda = 0$ et $c = 0$, c'est le cas classique de l'équilibre d'un talus de matériau pulvérulent en l'absence d'eau.

Par contre lorsque λ est différent de zéro, on constate qu'une légère cohésion est nécessaire pour assurer la stabilité (cette cohésion croît avec λ).

Toujours dans le cas d'un matériau pulvérulent, on retrouve la relation approchée $\beta = \frac{\varphi}{2}$ lorsque $\lambda = \beta$.

D'une façon générale, pour des valeurs données de φ , $\frac{\lambda}{\beta}$ et c , F croît linéairement avec $\cot \beta$ pour les pentes douces, cette croissance étant d'autant moins rapide que φ est plus faible ; par contre pour les pentes raides, F croît comme $\cot \beta$, mais un peu moins vite pour les faibles valeurs de φ tandis qu'il croît linéairement avec $\cot \beta$ pour les fortes valeurs de φ .

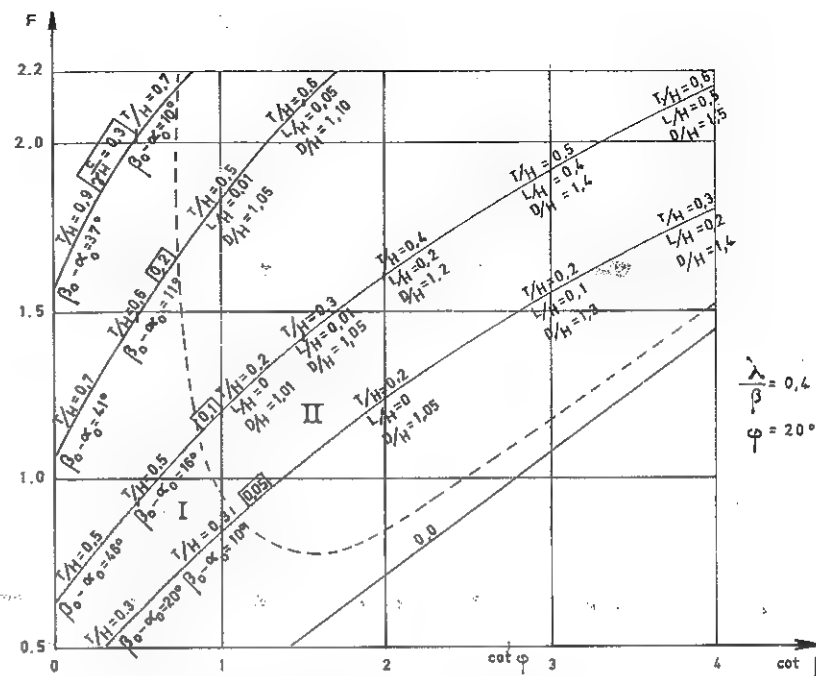


FIG. XI-25. — Abaques Simécsol — SSA pour le calcul du coefficient de sécurité d'un talus soumis à un écoulement linéaire.

Zone I : Cercles de pied de talus.

Zone II : Cercles de rupture profonde.

On dispose donc de la solution du problème de la stabilité des talus en présence d'eau au prix de deux hypothèses simplificatrices :

le terrain est homogène,
l'écoulement est linéaire.

Il s'agit là d'un cas assez particulier, mais les abaques permettront souvent d'aborder des cas plus complexes en jouant sur les différents paramètres et en encadrant le problème proposé.

11.3.2 Écoulement à deux dimensions.

Construction de la ligne de saturation.

On a traité le cas des écoulements à deux dimensions dans le chapitre II et on a exposé, en particulier, comment on pouvait résoudre de façon pratique les problèmes en utilisant l'analogie électrique. Tout ce qui a été dit dans le chapitre II

s'applique sans aucune modification à la détermination des réseaux d'écoulement dans les digues et les barrages. On ne reviendra donc pas sur cette question.

Il y a toutefois deux points qui méritent quelques compléments. C'est d'abord le problème de la détermination de la surface libre au sein du massif. Cette courbe que l'on appelle *ligne de saturation*, doit avoir dans sa partie centrale l'allure d'une parabole, on a en effet

$$q = k \frac{dz}{dx} z$$

où q est le débit de percolation au travers du barrage

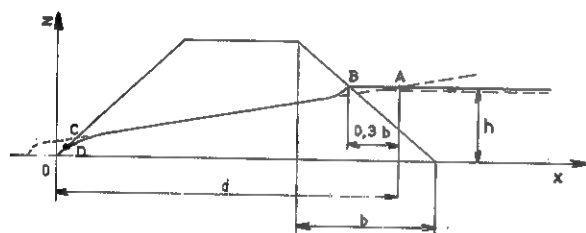
$\frac{dz}{dx}$ le gradient hydraulique

et z l'ordonnée de la ligne de saturation (Fig. XI-26 a).

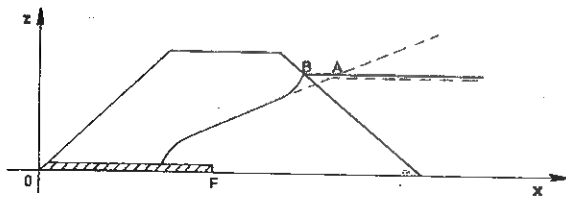
L'intégration de cette équation différentielle donne

$$z^2 = \frac{2q}{k} x + z_0^2$$

ce qui est bien l'équation d'une parabole.



a) digue homogène



b) digue avec un tapis drainant

FIG. XI-26. — Construction de la ligne de saturation.

Casagrande a étudié ce problème de la détermination de la ligne de saturation et proposé deux règles pratiques pour définir complètement la parabole.

- La parabole admet le point O pour foyer.
- La parabole passe par le point A tel que $BA = 0,3 b$.

Pour respecter la première de ces conditions, l'équation de la parabole doit être de la forme :

$$z^2 = 2 z_0 x + z_0^2.$$

Et pour satisfaire à la seconde condition, on doit avoir

$$h^2 = 2 z_0 d + z_0^2$$

soit

$$z_0 = \sqrt{d^2 + h^2} - d.$$

On peut ainsi tracer la parabole, mais cette courbe ne constitue la ligne de saturation que dans sa partie centrale ; au voisinage des talus amont et aval, il faut apporter les modifications représentées sur la figure XI-26 a.

Sur le talus amont, la ligne de saturation doit bien évidemment passer par le point B .

Sur le talus aval, le rabattement de la ligne de saturation est plus important que le tracé de la parabole le laisse prévoir. Casagrande suggère de placer le point D au tiers de la distance CO à partir de C .

Lorsque la digue comporte un tapis drainant, la construction de la ligne de saturation est analogue, mais cette fois le foyer de la parabole est situé en F à l'extrémité du drain (Fig. XI-26 b).

Quand on utilise l'analogie électrique pour déterminer le réseau des équipotentielles et des lignes de courant, on peut améliorer le tracé de la ligne de saturation en procédant par approximations successives. On se sert d'abord de la construction de Casagrande et on mesure les pressions interstitielles (ou plus exactement ce qui en tient lieu dans l'analogie) sur cette ligne de saturation, les valeurs trouvées sont en général faibles mais non nulles, on modifie alors empiriquement le tracé de la ligne de saturation jusqu'à ce que la pression interstitielle mesurée ne soit pas significativement différente de zéro.

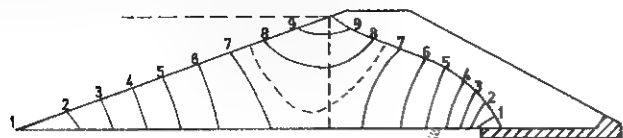
Détermination des pressions interstitielles en cas de vidange rapide.

L'évaluation des pressions interstitielles au sein de la digue ou du barrage après une vidange rapide de la retenue mérite également quelques indications complémentaires.

Après la baisse du niveau d'eau en amont qu'on suppose instantanée, un certain volume d'eau reste enfermé dans le corps de la digue, il est limité par le parement amont d'une part et par la ligne de saturation d'autre part. Sur ces deux frontières, les pressions interstitielles sont nulles.

A l'intérieur du volume d'eau, la distribution des pressions évolue au cours de la vidange pour s'adapter aux nouvelles conditions aux limites.

La figure XI-27 a montre les équipotentielles immédiatement après la vidange (obtenues par exemple par l'analogie électrique).



a) équipotentielles



b) isobares

FIG. XI-27: — Vidange rapide.

On peut facilement déduire des équipotentielles le tracé des isobares, c'est-à-dire des courbes $u = \text{constante}$. La figure XI-27 b représente l'isobare n° 4 qui passe par le pied de l'équipotentielle n° 4, c'est-à-dire celle qui correspond à $u = \gamma_w z_4$.

On remarquera que les équipotentielles sont simplement des lignes verticales, tout au moins dans la partie basse du talus amont. Cette remarque sert de justification à une méthode approchée utilisée pour tracer les isobares.

On admet qu'en un point donné situé à une distance verticale z_s du talus amont ou de la ligne de saturation, la pression interstitielle est égale à $\gamma_w z_s$.

On a représenté aussi sur la figure XI-27 b l'isobare n° 4 dessinée dans cette hypothèse. Comme z_s est pratiquement égal à z_4 au voisinage de la base les deux tracés de l'isobare sont très voisins. Par contre, on observe une certaine discordance à la verticale de B. Cette méthode approchée est néanmoins fort utile pour avoir une idée rapide de la distribution de la pression interstitielle et par conséquent de la stabilité des talus.

On va indiquer une deuxième méthode approchée de détermination de la pression interstitielle après une vidange rapide.

Cette méthode donne de meilleurs résultats que la précédente, mais elle nécessite la connaissance des équipotentielles avant la vidange. Cette condition

n'est pas gênante en général, car on a dû les déterminer ainsi que la ligne de saturation pour étudier la stabilité de la digue lorsque la retenue est pleine.

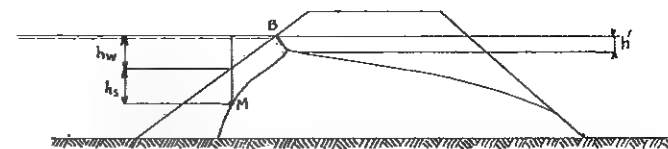


FIG. XI-28. — Détermination des isobares en cas de vidange rapide à partir des équipotentielles régnant avant la vidange.

On considère un point quelconque M (Fig. XI-28) et on note :

u_0 la pression interstitielle avant la vidange,

$u = u_0 + \Delta u$ la pression interstitielle après la vidange.

Au cours de la vidange, la contrainte totale σ_1 a varié de $\Delta\sigma_1$. Puisque le squelette solide n'a pas eu le temps de se déformer $\Delta u = \Delta\sigma_1$ (si le milieu est saturé). Si on assimile σ_1 au poids des terres et de l'eau situées au-dessus de M, on peut écrire :

$$\sigma_1 = \gamma_h h_s + \gamma_w h_w$$

$$\sigma_1 + \Delta\sigma_1 = \gamma_h h_s$$

donc

$$\Delta u = \Delta\sigma_1 = -\gamma_w h_w$$

or

$$u_0 = \gamma_w (h_s + h_w - h')$$

par suite

$$u = u_0 - \gamma_w h_w = \gamma_w (h_s - h')$$

le tracé des équipotentielles donne h' , h_s se mesure sans difficulté.

Lorsque le point M est à l'aval de la verticale de B, la variation de la contrainte totale est nulle dans l'hypothèse envisagée et on a en première approximation, $u = u_0$.

En utilisant la première de ces deux méthodes approchées, Biarez a procédé à une étude complète de la stabilité des talus en cas de vidange rapide et donné un abaque analogue à celui de la figure XI-15, établi de la même manière. Cet abaque correspondant à la vidange rapide est reproduit sur la figure XI-29 (on notera que cette fois-ci, les poids volumiques jouent un rôle).

La comparaison des deux figures XI-29 et XI-15 est fort instructive. Elle montre que l'influence de la pression interstitielle sur la stabilité du talus est loin d'être négligeable.

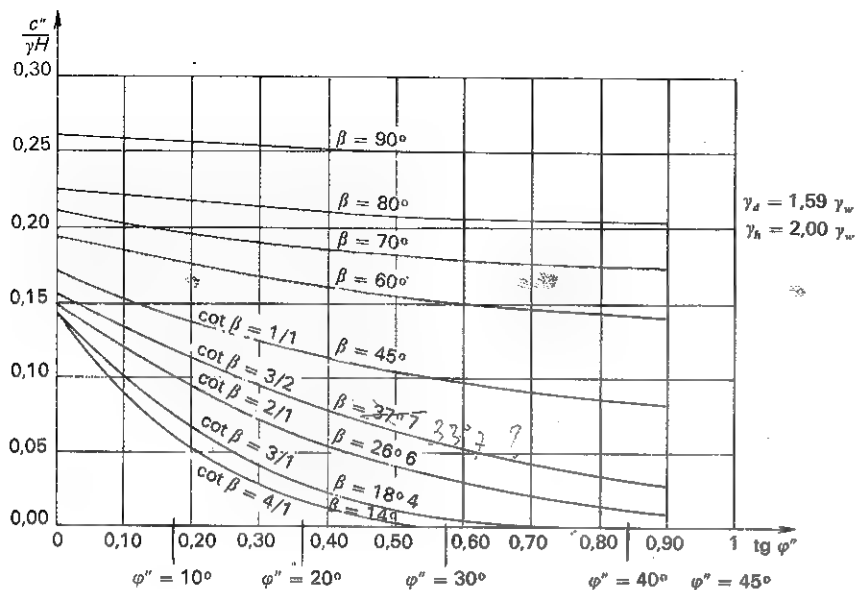


Fig. XI-29. — Stabilité d'un talus en cas de vidange rapide (d'après Biarez).

11.4 REMBLAIS, DIGUES ET BARRAGES.

Pour terminer ce chapitre sur les talus et les barrages, on donnera quelques indications sur le calcul et la construction de ces ouvrages. On restera volontairement bref en renvoyant aux ouvrages spécialisés le lecteur qui désirerait un exposé plus complet ou plus détaillé.

La construction des lignes de chemins de fer au siècle dernier avait déjà été l'occasion de réaliser des remblais de grande hauteur. Depuis quelques dizaines d'années et plus particulièrement depuis 1960 en France, le développement des réseaux autoroutiers a fait revenir cette question à l'ordre du jour. Parmi les principales difficultés rencontrées, on signalera la confection de remblais avec des matériaux limoneux et la stabilité des remblais fondés sur des terrains très compressibles, tels que des marais ou des tourbes.

11.4.1 Grands barrages.

Quelques exemples de grands barrages.

La technique des digues et des barrages en terre s'est affirmée et leur hauteur ne cesse de croître. Parmi les ouvrages récents, on citera le barrage de Serre-Ponçon sur la Durance, qui atteint 120 m, la digue de Göscheneralp, en Suisse (150 m), le Trinity Dam sur la rivière du même nom en Californie (160 m).

C'est en Californie aussi que le record a été battu avec « Oroville Dam », qui a 235 m de haut et une largeur à la base de 1 070 m dans la plus grande section. Ce barrage constitue l'élément principal d'un vaste projet d'alimentation en eau du centre et du sud de la Californie ; il alimente une conduite de 710 km environ qui dessert, en particulier, San Francisco et Los Angeles. Détail curieux, la plus grande partie des matériaux utilisés pour la construction de ce barrage provient de remblais de produits stériles, constitués entre 1898 et 1918 à la suite de l'extraction de l'or du terrain en place.

Mais ce record de hauteur changera bientôt de titulaire, les ingénieurs soviétiques ont commencé la réalisation d'un barrage qui doit avoir près de 300 m de hauteur : le barrage Durek.

Pour l'étude de ce projet, ils ont construit un ouvrage de 8,50 m de haut qui est une fidèle reproduction du barrage lui-même ; ce « modèle réduit » a permis d'intéressantes mises au point.

Ces grands barrages ne sont jamais des massifs homogènes. Ils sont constitués d'une juxtaposition de zones de propriétés et de rôles différents. Au cœur de l'ouvrage, on trouve toujours un noyau relativement imperméable réalisé en matériaux argileux et dont le rôle essentiel est de garantir une certaine étanchéité.

Les autres zones, beaucoup plus perméables, sont là pour protéger le noyau et assurer la stabilité de l'ensemble sans développer des pressions interstitielles excessives. On sépare ainsi très nettement les deux fonctions que doivent jouer les terres, en ce qui concerne l'étanchéité de l'ouvrage et sa stabilité.

La figure XI-30 représente une coupe de la digue de Serre-Ponçon, qui illustre ce que l'on vient de dire sur les massifs hétérogènes.

Très souvent, on trouve à une distance raisonnable du site du barrage des gisements de différentes perméabilités, qui pourront fournir les matériaux des diverses zones du barrage. Le choix des zones et des matériaux est en grande partie une question de considérations économiques.

Influence de la pression interstitielle.

Comme on l'a vu dans les articles précédents, la pression interstitielle joue un grand rôle dans l'appréciation de la sécurité. De telles pressions peuvent se développer pendant la construction de la digue, à l'occasion des opérations de compactage.

Lorsque la retenue sera pleine et qu'un écoulement permanent se sera établi au travers de la digue, on trouvera une autre distribution des pressions interstitielles et il en sera de même en cas d'une variation rapide du niveau de la retenue.

Les pressions interstitielles au sein du barrage peuvent donc présenter des distributions radicalement différentes suivant les circonstances. On ne sait *a priori* quelle distribution conduit à la situation la plus critique.

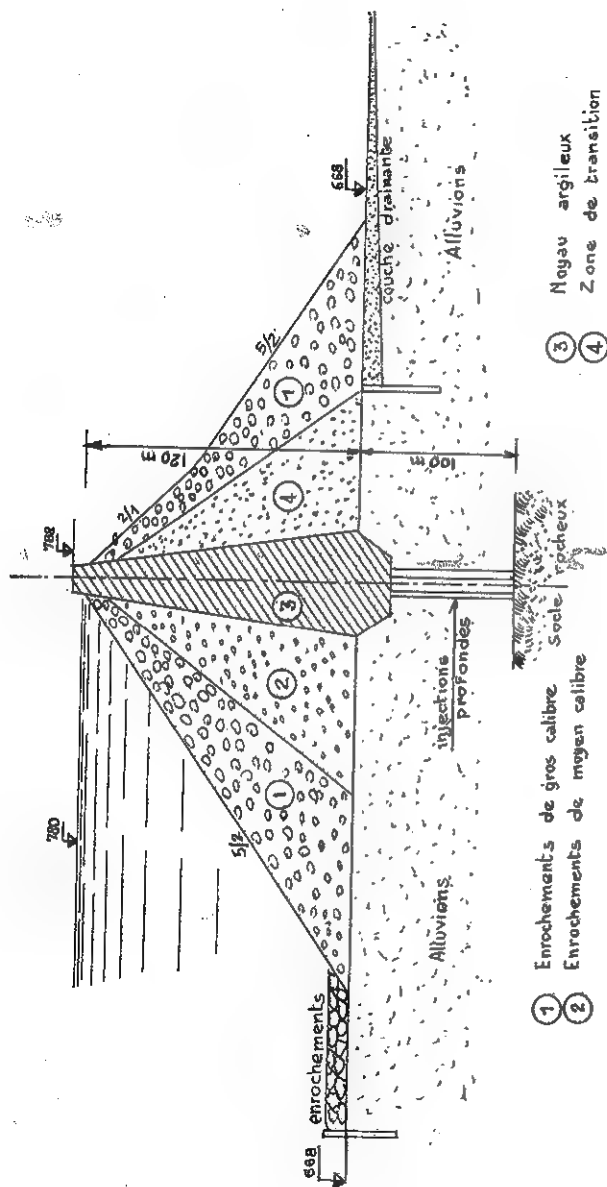


Fig. XI-30. — Digue de Serre-Ponçon.

Ainsi on doit toujours au stade du projet, vérifier la stabilité de l'ouvrage dans les trois cas suivants :

- à la fin de la construction,
- lorsque la retenue est pleine et le régime permanent établi,
- à l'occasion d'une vidange rapide.

Dans cette dernière hypothèse, les zones amont d'un barrage sont particulièrement menacées.

Par contre, à la fin de la construction, c'est principalement le noyau qui est en cause, les autres zones ne sont pas assez imperméables pour empêcher la dissipation des surpressions.

Dans ce type de barrage, les lignes de glissement potentielles se développent principalement dans les zones de faible résistance, et leur allure diffère assez sensiblement d'un arc de cercle (Fig. XI-6 b). Le noyau est particulièrement sollicité, aussi les principaux problèmes qui se posent dans les barrages de ce type concernent la déformation du noyau et l'apparition de pressions interstitielles en son sein.

A côté de ces ruptures d'ensemble, il ne faut pas oublier de penser aux renards qui sont toujours possibles.

Cette forme de rupture est d'autant plus dangereuse qu'elle ne prévient pas et qu'elle peut se produire plusieurs années après la mise en eau. Il importe donc, lors de la construction, de veiller à tout ce qui pourrait favoriser l'apparition du renard : mauvais compactage du noyau, présences de fissures dans l'argile, etc. Il faut également se préoccuper de la nature du sous-sol, à l'intérieur duquel des renards aussi peuvent se produire, un système de drainage sera parfois nécessaire.

Ecrans d'étanchéité.

Lorsque le barrage repose sur une couche perméable, le débit de fuite sous l'ouvrage peut atteindre une intensité incompatible avec son bon fonctionnement. Pour y remédier, il faut prévoir des écrans d'étanchéité sous le barrage ou des tapis imperméables en amont. On va donner quelques indications sur ces différents dispositifs : écrans, tapis et drains.

La nature et la taille des écrans d'étanchéité dépendent :

- de la profondeur de la couche imperméable,
- de la perméabilité de la couche supérieure,
- du débit de fuite admissible.

Ces écrans peuvent descendre jusqu'au substratum imperméable (Fig. XI-30), ou bien, au contraire, ne barrer qu'une partie de la couche supérieure. On peut caractériser l'efficacité de l'écran par le rapport de la perte de charge localisée au droit de l'écran lui-même à la perte de charge totale entre l'amont et l'aval du barrage. Les procédés décrits dans le chapitre II conviennent pour ce genre de calculs.

Les écrans d'étanchéité sont constitués, soit par des tranchées (à parois verticales ou inclinées) remplies d'argile compactée, soit par des voiles de béton, ou des rideaux de palplanches, soit par des pieux sécants ou jointifs moulés dans le sol, soit enfin par une injection du terrain.

Depuis 1972, de nombreuses entreprises ont utilisé pour la réalisation des écrans d'étanchéité un mélange d'argile à la bentonite et de ciment, dénommé coulis auto-durcissable. Cette nouvelle technique semble appelée à un grand avenir.

Terzaghi considère que l'efficacité réelle d'un écran est fréquemment plus faible que ce que le calcul laisse prévoir et que la technique de la tranchée remplie d'argile est la plus sûre. Les joints des rideaux de palplanches peuvent lâcher, les pieux jointifs peuvent dévier dans le sol et n'être jointifs que de nom. Il y a des exemples, en nombre non négligeable, d'écrans d'étanchéité dont l'efficacité est pratiquement nulle. Il convient donc d'être particulièrement attentif.

La technique des injections est très développée en France, et présente un grand intérêt. On injecte la plupart du temps des mélanges d'eau, de ciment et d'argile, ou encore des gels de silice, de la bentonite ; on charge quelquefois le coulis de calcaire.

A Serre-Ponçon, Electricité de France a procédé à des essais très complets sur les injections. Il semble que la perméabilité du terrain traité varie de 10^{-4} à 10^{-5} cm/s, quelle que soit la perméabilité avant injection. On peut ainsi calculer l'épaisseur à donner à l'écran.

Les tapis étanches que l'on dispose parfois sur le fond de la retenue en amont du barrage ont seulement pour but d'allonger les lignes de courant et de diminuer de ce fait le gradient hydraulique.

On constate souvent d'ailleurs que le fond de la retenue s'imperméabilise naturellement avec le temps, par suite de dépôts de limons. Ce phénomène est particulièrement marqué lorsque la retenue est alimentée par un cours d'eau rapide, qui charrie en suspension de nombreuses particules limoneuses, comme le Rhône par exemple.

Drainage des eaux d'infiltration.

Le développement du dispositif de drainage des eaux d'infiltration constitue un autre caractère particulier des grands barrages, dans lesquels on cherche à tout prix à réduire les sous-pressions et les risques de renard. Pour cette raison, on construit généralement ces ouvrages sur des filtres inversés pour les protéger des résurgences possibles dont on ignore l'emplacement exact.

On peut, par des dispositions appropriées, éviter des renards au sein du noyau, mais il faut porter une attention particulière à la surface de contact entre le noyau et le terrain naturel. Si ce dernier est du rocher (ou si le rocher est à peu de profondeur) il y a intérêt à y encastrer le noyau après avoir injecté la roche en place pour en boucher les fissures.

A l'aval du barrage, et à son pied, on peut constater de fortes résurgences si

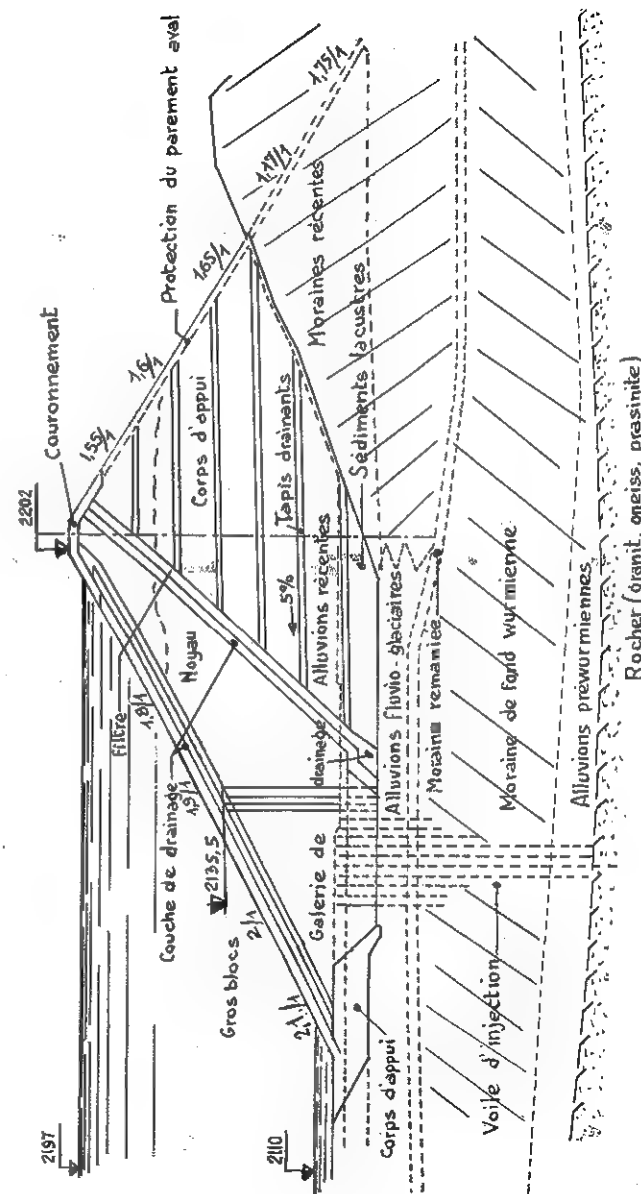


Fig. XI-31. — Barrage de Matmark (Suisse) dispositif de drainage.

une couche imperméable règne trop près de la surface. Pour éviter ce dernier danger, il faudra construire un drain de pied ainsi qu'une série de puits de décompression. De toute manière, des mesures systématiques du niveau piézométrique dans le sol de fondation paraissent indispensables.

La figure XI-31 montre le dispositif de drainage très complet qui a été mis en œuvre au barrage de Mattmark en Suisse, dans la vallée de La Saas.

On a surtout traité jusqu'à présent des massifs hétérogènes. Lorsque l'ouvrage est construit avec un même matériau relativement imperméable, il sera prudent de prévoir en son centre un filtre de décompression pour éviter l'apparition de surpressions trop importantes dans le corps de la digue.

Par contre, si l'ouvrage est réalisé avec un matériau assez perméable, il faudra cette fois prévoir dans sa partie amont un masque d'étanchéité.

Bien d'autres problèmes se posent encore, mais on se limitera volontairement à ceux que l'on vient d'aborder : les écrans d'étanchéité, et les dispositifs de drainage. Toutefois, ce que l'on va dire dans les paragraphes suivants sur la protection des talus et sur le tassement des ouvrages concerne aussi les grands barrages.

Pentes recommandées pour les avant-projets de barrage en terre.

Pour terminer, on donne dans le tableau VI ci-après les pentes de talus recommandées par Terzaghi pour les avant-projets de barrages en terre de dimensions courantes.

TABLEAU VI

Pente des talus pour les avant-projets de barrage en terre
de dimensions courantes
(D'après K. Terzaghi)

| Constitution du barrage | Pente amont | Pente aval |
|---|----------------|---------------|
| I. — Massifs homogènes : | | |
| — matériau à granulométrie continue..... | 5/2 | 2/1 |
| — limon grossier | 3/1 | 5/2 |
| — argile limoneuse ou argile ; hauteur inférieure à 15 m environ | 5/2 | 2/1 |
| — argile limoneuse ou argile ; hauteur supérieure à 15 m environ | 3/1 | 5/2 |
| II. — Barrages à noyau : | | |
| — sable ou sable et gravier avec noyau en argile..... | 3/1 | 5/2 |
| — sable ou sable et gravier avec noyau en béton armé | 5/2 | 2/1 |

Toute la technique récente des barrages en terre est dominée par la forte personnalité de Terzaghi, qui lui a consacré pendant les dix dernières années de sa vie, la plus grande partie de son activité.

Le 8 septembre 1965, lors de la séance d'ouverture du 6^e congrès international, à Montréal, le représentant de la British Columbia Hydro and Power Authority annonçait solennellement que le nom de Karl Terzaghi venait d'être donné au Mission Dam sur la Bridge River en Colombie Britannique (Canada). Terzaghi avait entrepris à 72 ans, en 1955, l'étude de ce projet et déclarait que c'était là les pires conditions de fondation qu'il ait jamais rencontrées.

11.4.2 Remblais et digues.

Les remblais d'autoroutes et les petites digues (digue collinaires, digues de protection contre les crues) posent des problèmes d'un ordre différent. Ce sont des ouvrages beaucoup moins hauts, le massif est homogène dans la grande généralité des cas et le rôle de la pression interstitielle est beaucoup moins important et quelquefois même négligeable (remblais d'autoroute en matériau graveleux par exemple).

Les problèmes sur lesquels l'accent doit être mis concernent la technique du remblaiement pour éviter des déformations de l'ouvrage par tassement, la tenue des pentes et leur protection principalement contre les eaux superficielles et enfin la stabilité du sol de fondation.

On traitera maintenant les deux premiers points, le troisième sera étudié dans le paragraphe suivant.

Influence du compactage sur les tassements.

Le compactage des remblais a déjà été étudié dans le premier chapitre et on a montré l'influence de l'énergie de compactage, ainsi que celle de la teneur en eau sur la densité sèche. L'essai Proctor (normal ou modifié) est la technique la plus utilisée pour contrôler ce genre de travaux.

Afin de bien mettre en évidence l'influence d'un compactage peu poussé sur le tassement de l'ouvrage, on va montrer comment on peut estimer rapidement le tassement relatif $\frac{s}{H}$ d'un remblai qui tasse sous son propre poids, augmentant son poids volumique d'une valeur initiale γ_i immédiatement après la fin du remblaiement à une valeur finale γ_f après tassement. La quantité $1 - \frac{\gamma_i}{\gamma_f}$ représente la variation relative de volume.

Si le tassement s'effectuait uniquement dans le sens vertical, on aurait :

$$\frac{s_1}{H} = 1 - \frac{\gamma_i}{\gamma_f}.$$

Par contre, si le tassement était identique dans toutes les directions (compression homothétique), on aurait :

$$\left(1 - \frac{s_2}{H}\right)^3 = \frac{\gamma_i}{\gamma_f}$$

soit :

$$\frac{s_2}{H} = 1 - \sqrt[3]{\frac{\gamma_i}{\gamma_f}}$$

En pratique, le tassement réel s est compris entre s_1 et s_2 , mais il est plus souvent voisin de s_1 que de s_2 . On peut retenir l'ordre de grandeur suivant :

$$s = \frac{1}{3}s_1 + \frac{2}{3}s_2$$

soit :

$$\frac{s}{H} = 1 - \frac{2}{3}\sqrt[3]{\frac{\gamma_i}{\gamma_f}} - \frac{1}{3}\frac{\gamma_i}{\gamma_f}$$

Le rapport $\frac{\gamma_i}{\gamma_f}$ est toujours voisin de 1 ; on peut donc simplifier la formule ci-dessus, et écrire finalement :

$$\frac{s}{H} = \frac{5}{9}\left(1 - \frac{\gamma_i}{\gamma_f}\right)$$

Si on suppose que $\frac{\gamma_i}{\gamma_f} = 0,9$ (ce serait le cas d'un remblai mal compacté), on trouve $\frac{s}{H} = 5,6 \%$. Un remblai de 3 m tasserait donc de 17 cm, ce qui peut laisser craindre des tassements différentiels de l'ordre du décimètre, c'est difficilement acceptable.

Ces tassements, lorsqu'ils restent d'une ampleur limitée, sont généralement d'une importance négligeable pourvu que le remblai atteigne vite son état définitif. La technique du compactage des grands remblais autoroutiers est maintenant très au point, les matériaux sont en général répandus par couche de 30 à 50 cm et compactés par le passage des engins. Il faut prendre garde, toutefois, avec des sols légèrement argileux, de ne pas dépasser lors de la mise en place, la teneur en eau correspondant à l'optimum Proctor normal ; si le matériau contient trop d'eau et si le climat est trop humide, on pourra difficilement obtenir *in situ* des densités sèches plus élevées que 90 % ou 95 % de l'optimum Proctor.

Lorsqu'on est obligé d'utiliser de l'argile raide comme remblai, il faut se méfier des gonflements possibles et prendre des mesures appropriées. Mais, dans toute la mesure du possible, on essaiera d'éviter ce genre de matériau.

Protection contre les eaux superficielles.

La tenue des talus de remblais est une question d'équilibre d'ensemble du massif, mais c'est aussi et surtout une question de protection contre les eaux superficielles ; l'action de la pluie est une cause très connue d'instabilité des

talus. Les eaux de pluie s'infiltrent et créent à proximité des parois du talus des forces de percolation qui sont dirigées vers l'extérieur, donc dangereuses. La pluie humidifie le matériau et peut ainsi diminuer sa résistance au cisaillement, particulièrement la cohésion des remblais argilo-graveleux. Elle augmente le poids volumique du massif et enfin, elle peut provoquer une érosion superficielle intense des parois des talus.

Pour toutes ces raisons, il est nécessaire d'étudier avec soin le drainage du massif, l'imperméabilisation éventuelle des surfaces horizontales et la protection des talus. Toutes ces questions relèvent plus de la technique des travaux que de la mécanique des sols. On se contentera de représenter sur la figure XI-32 les dispositions les plus communément adoptées. La qualité du tapis végétal mis en place sur le talus est un facteur important de sécurité dans la lutte contre l'érosion superficielle (particulièrement pour les petites digues).

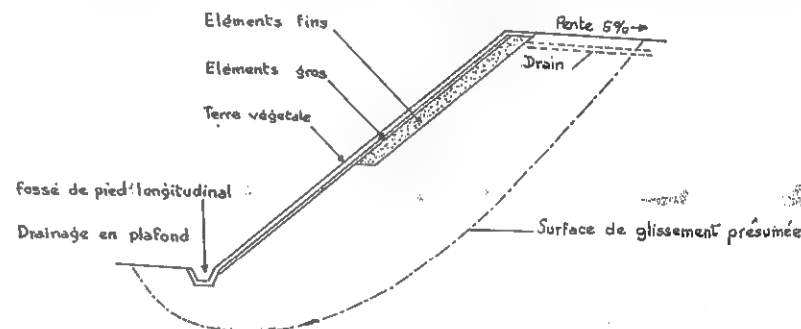


FIG. XI-32 a. — Constitution de la paroi d'un talus.

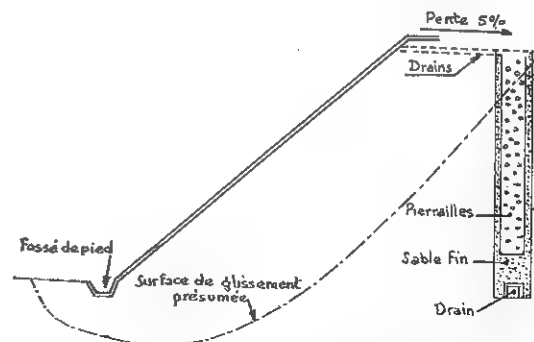


FIG. XI-32 b. — Protection contre une nappe aquifère profonde.

Les pentes adoptées pour les talus des remblais sont du même ordre de grandeur que celles qui sont indiquées dans le tableau VI ci-dessus pour les barrages en terre. On projette des talus un peu plus raides pour les bons matériaux graveleux et on accepte des pentes de 3/2.

Pour les matériaux cohérents, on se limite à 2/1 et même quelquefois à 5/2 si la hauteur de l'ouvrage dépasse une quinzaine de mètres.

Dans le cas de petites digues, les dimensions en crête sont telles souvent qu'un bon compactage est difficile, mais les ouvrages construits avec leurs deux talus à 2/1 donnent généralement satisfaction.

11.4.3 Stabilité de l'assise des remblais et des barrages.

Il est évidemment souhaitable de fonder les ouvrages sur un bon sol, mais ce n'est pas toujours possible : les autoroutes doivent traverser certaines régions marécageuses, l'implantation des digues est commandée par la situation des terrains à protéger. Lorsqu'on se fonde sur un sol relativement compressible, deux types de rupture sont à craindre :

— Les ruptures par enfoncement, dans lesquelles le massif descend progressivement dans la couche compressible qui tasse en formant des bourrelets de part et d'autre de l'ouvrage (Fig. XI-33). Ces ruptures se produisent le plus souvent pour une assise de fondation constituée d'une couche épaisse d'argile molle et homogène, ou d'une couche de limon organique (tourbes et vases).

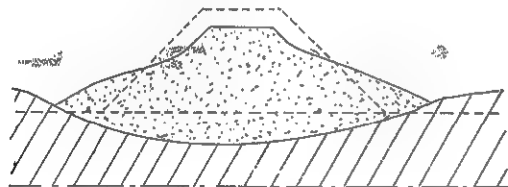


FIG. XI-33. — Rupture par enfoncement.

— Les ruptures par étalement, dans lesquelles une partie du massif s'étale superficiellement sur une couche molle de l'assise de fondation (Fig. XI-34). Ces ruptures interviennent dans le cas des milieux stratifiés, lorsqu'une couche molle règne à peu de distance de la surface du sol.

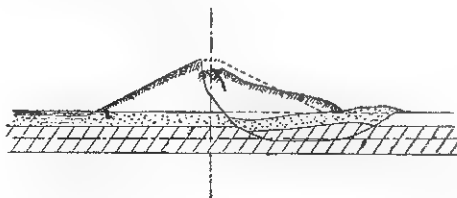


FIG. XI-34. — Rupture par étalement.

Rupture par enfoncement.

Lorsqu'on doit se fonder sur une couche d'argile molle, assez épaisse et homogène, une rupture par enfoncement est donc à craindre. On vérifiera la

stabilité de l'ensemble en calculant le coefficient de sécurité à l'égard des cercles de rupture profonde. On demande en général un coefficient minimal de 1,5. Mais cette exigence peut être onéreuse pour les grands projets ; on se limitera alors à des valeurs de 1,2 ou même de 1,1. En contrepartie, il faudra soigneusement observer la formation des bourrelets de part et d'autre du remblai et, si la situation devient critique, mettre en place sur les pieds du talus de nouveaux remblais pour faire contrepoids et éviter la rupture.

Il est recommandé, également, pour accélérer le tassement de la couche argileuse et parvenir le plus vite possible à une situation définitive, soit de drainer la couche molle, soit de surélever le remblai de 5 à 6 m pendant la construction par rapport à son niveau définitif, surchargeant ainsi l'argile, soit d'utiliser les deux procédés à la fois.

Le barrage K. Terzaghi (ex-Mission Dam au Canada) qui a 50 m de hauteur environ, repose sur une couche d'argile de 24 m d'épaisseur. Deux ans après le remplissage de la retenue, le tassement maximal du barrage est de l'ordre de 5 m ; l'ouvrage a supporté sans difficulté cette déformation car elle était prévue.

En 1862, la construction d'une digue fut entreprise dans le port de la Spezzia (Italie) sur une couche de vase. La digue s'est progressivement enfoncée dans la couche molle tassant de plus de 18 m et formant des bourrelets latéraux de près de 7 m de hauteur.

Rupture par étalement.

Lorsqu'on doit se fonder sur un terrain stratifié contenant des couches molles, des ruptures par étalement sont à redouter. Ces ruptures peuvent se produire de deux manières, suivant que la couche molle contient ou non des veines ou des lentilles de matériau relativement perméable (sable ou limon grossier).

Dans le second cas, la crête du remblai tasse peu et l'étalement est de faible importance. La surface de glissement se localise en général dans le milieu de la couche molle et le calcul de la stabilité de l'assise relève de la technique des surfaces de glissement non circulaires exposée plus haut.

Le problème le plus délicat est de déterminer la résistance au cisaillement de l'argile à prendre en compte dans les calculs et de s'assurer de l'absence de veines de matériau drainant.

Dans cette dernière hypothèse, la rupture prend un tout autre aspect. Les surpressions créées sous le remblai ou le barrage sont instantanément transmises à tout le matériau perméable dont la résistance au cisaillement décroît alors et peut même s'annuler. Au voisinage du pied du talus, par conséquent, le seul obstacle à l'étalement provient des couches qui surmontent la veine perméable ; la butée opposée par ces couches peut être assez faible, cela dépend en partie de leur épaisseur, et le mouvement d'étalement peut prendre une très grande ampleur.

Ce genre de rupture se produit d'ailleurs presque toujours de façon très soudaine. Dès que l'on soupçonne que l'assise de fondation risque de comporter des bancs d'argile renfermant des veines perméables, il faut :

- soit prévoir des talus très doux,
- soit projeter des puits de décompression,
- soit conduire les travaux de remblaiement à un rythme suffisamment lent pour que la consolidation de la couche d'argile puisse s'effectuer et pour éviter ainsi l'apparition de surpression.

En particulier, on peut préciser que de nombreuses ruptures de remblai sur sol compressible se sont produites ces dernières années dans différentes parties du monde. L'analyse de ces accidents montre que la plupart d'entre eux peuvent être attribués à une surestimation importante de la cohésion non drainée c_u évaluée à l'aide du scissomètre. Il y a donc lieu d'être extrêmement prudent lorsqu'on doit établir un projet uniquement à partir des mesures de c_u effectuées avec cet appareil (cf. 12.2.1).

On limitera là ces indications rapides sur les techniques de construction des barrages et des remblais.

Le principal objectif de ce survol sommaire est de bien mettre en évidence que le calcul théorique de la stabilité des talus n'épuise pas le sujet, bien au contraire, et qu'une grande attention doit être portée à la reconnaissance du terrain de fondation et des matériaux utilisés d'une part, ainsi qu'aux constatations que l'on peut faire d'autre part, pendant l'exécution des travaux, tant en ce qui concerne la résistance au cisaillement du terrain que l'apparition de surpressions ou de faibles mouvements du sol.

Il n'y a pas d'exemples où une étroite liaison entre le bureau d'étude et les ingénieurs du chantier n'ait permis d'apporter des modifications au projet en cours de travaux accroissant ainsi la sécurité et permettant de surcroît des économies substantielles.

BIBLIOGRAPHIE

- BEAU, F. et PETIGNY, P. — *Construction de nouveaux quais au port de Tunis*. Annales des ponts et chaussées, juill. 1954.
- DE BEER, E. et LOUSBERG, E. — *Définition des coefficients de sécurité au glissement de talus à partir des sollicitations provoquant la rupture*. Comptes rendus du 5^e congrès international. Tome 2, Paris 1961.
- BIAREZ, J. — *Equilibre limite des talus et barrages en terre*. Annales de l'institut technique du bâtiment et des travaux publics, juill.-août 1965.
- BISHOP, A. W. — *The use of the circle in the stability analysis of slopes*. Géotechnique, mars 1955.
- BISHOP, A. W. et MORGENTERN, N. — *Stability coefficients for earth slopes*. Géotechnique, déc. 1960.
- BJERRUM, L. — *Contribution to panel discussion on stability of natural slope and embankment foundation*. Comptes rendus du 7^e congrès international. Tome III, Mexico, 1969.

- COLLIN, A. — *Recherches expérimentales sur les glissements spontanés des terrains argileux, accompagnées de considérations sur quelques principes de mécanique terrestre*. Carilian-Gœury. Paris, 1846.
- DASCAL, O., TURNER, J.-P., TAVENAS, F. et LA ROCHELLE, P. — *Failure of a test embankment on sensitive clay*. Journal of the soil mechanics division A. S. C. E. 1972.
- DEMONSABLON, P. et HUENAGEL, T. — *La stabilité au glissement d'ensemble des murs de quai de soutènement*. Revue Générale des routes et des aérodromes, juill.-août 1965.
- JANSEN, R. B. — *Dams and Public Safety*, Water Resources Technical Publication, U. S. Department of the Interior, Denver, 332 pages, 1980.
- KARST, H. et PILOT, G. — *Stabilité des talus routiers*. Annales de l'institut technique du bâtiment et des travaux publics, juill.-août 1967.
- KÉRISSEL, J. — *Le barrage d'Arzal, un barrage sur sol très compressible construit au travers d'un estuaire à marée*. Géotechnique, mars 1973.
- LONGE, P. et STERENBERG, J. — *Contribution à la discussion sur les coefficients de sécurité des barrages en terre*. Comptes rendus du 6^e congrès international. Tome 2, Montréal 1965.
- Ministère de l'Agriculture. *Retenues collinaires*. La documentation française. Paris, 1963.
- MORGENTERN, N. R. — *Stability charts for earth slopes during rapid draw down*. Géotechnique, juin 1963.
- MORGENTERN, N. R. et PRICE, W. E. — *The analysis of the stability of general slip surfaces*. Géotechnique, mars 1965.
- NONVEILLER, E. — *The stability analysis of slopes with a slip surface of general shape*. Comptes rendus du 6^e congrès international. Tome 2, Montréal, 1965.
- POST, G. et LONGE, P. — *Les barrages en terre compactée*. Gauthier-Villars. Paris, 1953.
- PILOT, G. — *La stabilité des remblais sur les sols mous*. Annales ITBTP, octobre n° 321, 1974.
- SERVICE SPÉCIAL DES AUTOROUTES, KÉRISSEL, SIMECSOL. *Glissements de terrains*. Dunod. Paris, 1967.
- SHERARD, J. L., WOODWARD, R. J., GZIENSKI, S. F. et CLEVINGER, W. A. — *Earth and earth-rock dams. Engineering problems of design and construction* (2^e éd.). J. Wiley, 1966.
- SKEMPTON, A. W. — *Long term stability of clay slopes*. Fourth Rankine lecture 1964. Géotechnique, juin 1964.
- TERZAGHI, K. et LACROIX, Y. — *Mission Dam. An earth and rockfill dam on a highly compressible foundation*. Géotechnique, mars 1964.
- VERDEYEN, J. et ROISIN, V. — *Stabilité des terres*. Eyrolles. Paris, 1967.
- WHITMANN, R. V. et BAILEY, W. A. — *Use of computers for slope stability analysis*. Journal of the soil mechanics division ASCE, juillet 1967.

PROBLÈMES

** 1. Glissement dans une fouille verticale.

Soit une fouille verticale de hauteur H , taillée dans un matériau argileux de cohésion non drainée c_u , de poids volumique saturé γ_{sat} .

Étudier les diverses surfaces de glissement possibles et calculer les coefficients de sécurité correspondant.

- 1) Étudier la stabilité dans l'hypothèse d'un cercle de glissement centré à mi-hauteur.
- 2) Étudier la stabilité dans l'hypothèse d'un cercle de glissement centré au sommet de la paroi de la fouille.
- 3) Étudier la stabilité dans l'hypothèse d'un glissement plan passant par le fond de fouille.
- 4) Comparer ces diverses hypothèses aux résultats obtenus dans le problème 2 du chapitre 5 (Tome 1, p. 277).

$$\text{Réponses : } F_1 = \frac{3 \pi c_u}{\gamma_{\text{sat}} H} \quad F_3 = \frac{4 c_u}{\gamma_{\text{sat}} H}$$

$$F_2 = \frac{4,75 c_u}{\gamma_{\text{sat}} H} \quad F_4 = 1.$$

*** 2. Stabilité d'une digue (méthode globale).

On projette de construire une digue destinée à limiter une petite retenue d'eau dans une région touristique.

La digue sera réalisée dans un matériau homogène fortement compacté.

On demande d'étudier la stabilité du barrage :

- 1) En fin de construction,
- 2) Après la mise en eau.

Le matériau retenu est un siltargileux dont les propriétés mécaniques sont les suivantes :

- cohésion non drainée
 $c_u = 0,4 \text{ daN/cm}^2$ (40 kPa)
- cohésion et angle de frottement effectifs :
(essai triaxial c.d.) $\left\{ \begin{array}{l} c' = 0,25 \text{ daN/cm}^2 \text{ (25 kPa)} \\ \varphi' = 10^\circ \end{array} \right.$
- poids volumique saturé : 18 kN/m^3 .

Le réseau d'écoulement à la mise en eau a été tracé sur la figure XI-35 à partir d'une étude par analogie électrique.

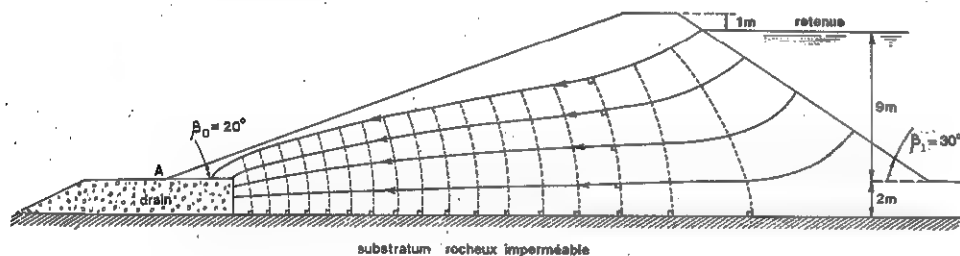


FIG. XI-35. — Caractéristiques de la digue et réseau d'écoulement après la mise en eau.

$$\text{Réponse : } F_1 = 1,5, \quad F_2 = 1,51.$$

3. Stabilité d'une digue (méthode des tranches).

Reprendre l'étude de stabilité de la pente aval du barrage du problème n° 2 en utilisant cette fois une méthode par tranches (Méthode de Fellenius par exemple).

$$\text{Réponse : } F = 1,44.$$

N.B. : On trouvera dans le chapitre 12 du tome 2 du Sanglerat-Olivari-Cambou la solution détaillée des trois problèmes ci-dessus, ainsi que de quatre autres problèmes concernant la stabilité des talus, digues et remblais.

CHAPITRE XII

RECONNAISSANCE DES SOLS

12.1 ESSAIS *IN SITU*.

On passera en revue dans ce chapitre les principaux procédés qui peuvent être mis en œuvre sur le terrain, pour obtenir une description correcte des conditions de fondation. On en a déjà rencontré un certain nombre au cours de cet ouvrage, on présentera maintenant un tableau d'ensemble (on laissera de côté, toutefois, tout ce qui a trait aux pompes).

La logique aurait peut-être voulu que ce chapitre prenne place après le chapitre IV, avant les différents chapitres consacrés à chaque type d'ouvrage. En effet, dans la pratique, toute étude géotechnique doit commencer par une reconnaissance *in situ*. Mais il a paru cependant souhaitable, avant de présenter les diverses possibilités en ce domaine, d'avoir examiné comment fonctionnaient les différents types de fondations, de manière à savoir ce qu'il y a lieu de rechercher et pourquoi, afin d'assurer une sécurité normale à des fondations économiques, qu'elles soient superficielles ou profondes.

La reconnaissance des sols doit d'abord permettre de localiser les différentes couches de terrain et de préciser la configuration générale de la zone à étudier.

Elle doit, ensuite, donner des informations sur les caractéristiques mécaniques de chaque couche. Pour cela, deux techniques peuvent être utilisées : le prélèvement d'échantillons en vue de leur analyse au laboratoire et les essais *in situ* proprement dits.

Les essais *in situ* permettent de déterminer les caractéristiques des sols en place (résistivité, perméabilité, cohésion, cisaillement, indice des vides, etc.). On peut distinguer deux types :

- ceux qui fournissent des indications générales, telles que les reconnaissances électriques ou sismiques,
- et ceux qui donnent des valeurs précises de certaines grandeurs, soit ponctuellement, soit d'une manière continue sur une même verticale (cf. 12.4).

12.1.1 Programme des essais.

Il est bien évident qu'un programme de reconnaissance de sols est fonction des caractéristiques de l'ouvrage à réaliser et de la nature géologique de la zone

étudiée. Il est cependant, un principe essentiel à toujours respecter : il faut refuser de procéder par simple analogie et extrapolation des résultats obtenus sur un chantier voisin. L'hétérogénéité des sols est telle, en effet, que même dans une zone supposée bien connue et dite « homogène », des anomalies locales sont toujours à craindre. Il faut donc essayer de les déceler ou tout au moins de réduire le plus possible l'importance des zones où elles peuvent se présenter.

Les différents procédés de reconnaissance décrits ci-dessous montrent que les possibilités d'investigations sont très vastes. Il est naturellement nécessaire d'effectuer un choix en fonction du type d'ouvrage à réaliser et des conditions géologiques et morphologiques du site dans lequel il sera implanté. Les essais *in situ* complètent d'ailleurs les analyses de laboratoire.

Nombre de reconnaissances souhaitables.

Les contraintes économiques ne permettent pas toujours d'exécuter un très grand nombre de sondages pour étudier un terrain.

Il y a d'ailleurs lieu de distinguer les avant-projets et les projets définitifs. Dans le premier cas, les reconnaissances préliminaires sont réalisées pour obtenir une première idée de la zone à étudier et le programme de reconnaissance peut être plus léger.

Sauf pour les terrains anormalement hétérogènes, une campagne de reconnaissance devrait comporter au moins un sondage tous les 500 m² environ, pour être à l'abri de surprises importantes. Il ne faut jamais se contenter d'un sondage isolé afin de ne pas risquer de projeter toute la construction sur la base d'une anomalie très localisée, un nombre de 3 paraît un minimum.

Il est d'usage dans la construction de bâtiments de ne pas dépasser, entre les sondages, une distance de 15 m dans deux directions perpendiculaires. Pour les très grands ouvrages, barrage, autoroute, etc., cette distance peut être portée à 30 ou 70 m. Mais si l'on constate des divergences d'un sondage à l'autre, il est indispensable d'effectuer un nouveau sondage entre ceux-ci de manière à tenter de localiser les anomalies et d'apprécier la manière dont s'effectuent les variations enregistrées.

Profondeur souhaitable pour les sondages de reconnaissance.

La profondeur des sondages doit être telle que toutes les couches qui peuvent être influencées par la mise en charge des terrains soient atteintes ou puissent être étudiées. On en a déjà parlé dans le chapitre IX en étudiant la notion de profondeur caractéristique (cf. § 9.5.2).

On rappelle qu'il est nécessaire dans la pratique de reconnaître le terrain sur les profondeurs suivantes :

— pour des massifs de fondations isolés :

Le triple de la largeur des semelles avec un minimum de 6 m.

— pour un radier général ou pour un ensemble d'ouvrages dont les effets se superposent dans les couches profondes :

Une fois et demie la largeur de la construction.

Ces règles peuvent être résumées par les formules ci-dessous dans lesquelles B et L sont les dimensions des semelles ($L > B$), C la distance séparant leurs côtés les plus rapprochés et z la profondeur minimale des sondages de reconnaissance

$$z = 4,5 B \quad \text{si} \quad C < 2 B$$

$$z = 3 B \quad \text{si} \quad 2 B < C < 4 B$$

$$z = 1,5 B \quad \text{si} \quad C > 4 B.$$

La reconnaissance devra surtout être poussée si l'on a des doutes sur la qualité des couches sous-jacentes et lorsque les contraintes transmises au terrain sont élevées.

Coût et sécurité.

Dans la détermination d'un programme d'essais il faut tenir compte de l'importance des travaux à réaliser. Si ceux-ci sont d'un prix peu élevé, il est possible de ne prévoir qu'un petit nombre d'essais, mais on devra alors remédier au manque de données complètes en majorant d'une façon notable les coefficients de sécurité habituels, l'incidence sur le prix de revient des constructions sera faible.

Par contre, lorsqu'on doit exécuter des ouvrages nécessitant des investissements élevés, le coût d'une reconnaissance, même très poussée, du sous-sol est généralement minime en comparaison des économies auxquelles elle peut conduire ou vis-à-vis des dépenses qu'entraînerait la ruine des ouvrages, au cas où les hypothèses de calcul se révéleraient fausses.

Trop souvent il n'est pas prévu de budget particulier pour les frais d'études et de reconnaissance des sols. Les dépenses correspondantes doivent alors être prélevées, et quelquefois trop tardivement, sur le coût des travaux proprement dits, ce qui est loin d'être une solution satisfaisante et ne permet pas d'adopter, en temps utile, les dispositions les plus économiques. Il ne faut pas oublier, en effet, que des difficultés de fondations, peuvent conduire, parfois, à remanier complètement un projet pour l'adapter aux caractéristiques des sols rencontrés.

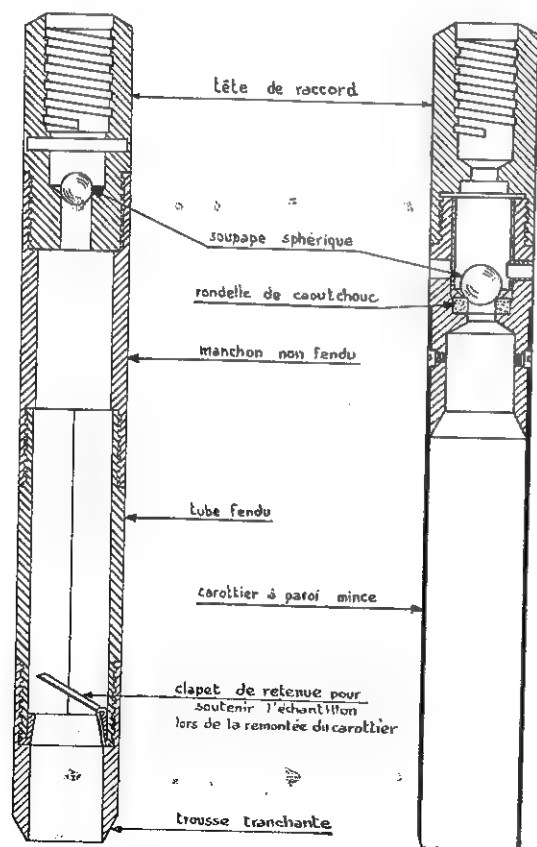
Ce n'est donc pas lorsque les plans d'un ouvrage sont terminés, les prix fixés et les travaux déjà traités, qu'il faut se décider à envisager une étude géotechnique.

12.1.2 Forages.

Reconnaitances superficielles.

Il est très souvent demandé l'exécution d'un ou deux puits, sur quelques mètres de profondeur, à la main, à la pelle mécanique ou par tous moyens mécaniques adéquats. Ces puits permettent de reconnaître visuellement le sol et d'obtenir des échantillons, remaniés ou non, tant qu'on se trouve au-dessus de la nappe phréatique.

Ces reconnaissances très utiles peuvent donner une sécurité trompeuse si elles ne sont pas descendues à une profondeur suffisante, soit parce qu'on trouve l'eau, soit parce que les moyens utilisés ne permettent pas de dépasser



a) Carottier à tube fendu.

b) Carottier Shelby (parois minces).

FIG. XII-1. — Carottiers.

4 ou 5 mètres. On ne doit pas, alors, se contenter des indications qu'elles fournissent, mais nécessairement recourir à d'autres moyens d'investigations.

Forages profonds.

Ceux-ci correspondent à l'exécution de trous généralement verticaux, de faible diamètre (de 5 cm à 1 m) par rapport à la profondeur (10 à 30 m par exemple). On peut utiliser les mêmes procédés que pour les recherches industrielles de gaz ou de liquides (hydrocarbure ou eau) qui peuvent atteindre 4 000 à 8 000 m, comme dans les forages pétroliers.

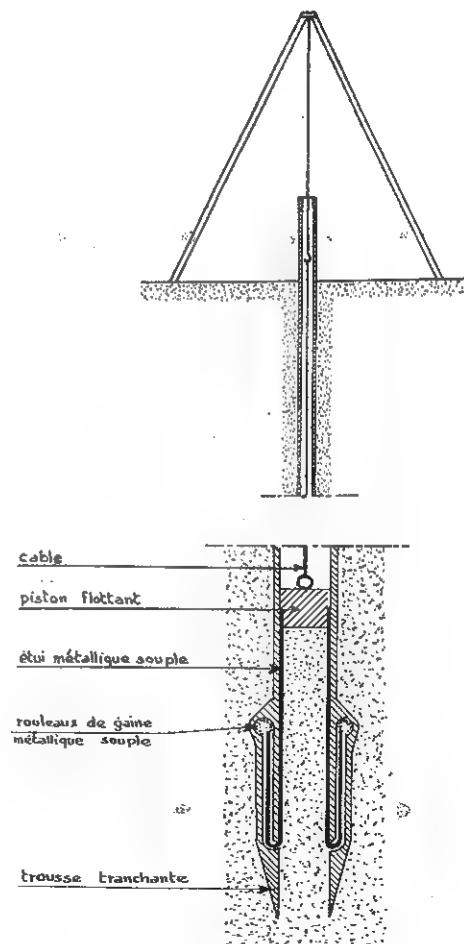


FIG. XII-2. — Principe du carottier suédois à gaine métallique souple.

L'exécution de telles reconnaissances présente trois difficultés :

- la perforation ou la désagrégation du sol,
- la remontée des éléments ou des échantillons remaniés ou non,
- la tenue de la partie supérieure du forage.

De très nombreuses techniques ont été mises au point par différents constructeurs en fonction de la nature des sols rencontrés (cohérents ou pulvérulents, roches tendres ou compactes).

En ce qui concerne la reconnaissance géotechnique, on utilise fréquemment le matériel « Hammergrab-benoto ». Il consiste à enfoncer un tube muni d'un sabot et à extraire le sol à l'aide de curettes qui peuvent être munies d'un trépan pour briser les blocs ou les roches.

La percussion peut être remplacée par la rotation (procédé « Rotary » employé pour la première fois en 1901).

Très souvent, pour assurer la stabilité des parois du forage, on a recours à des boues spéciales thixotropes (à l'argile, à l'huile ou à l'amidon). Les boues à la bentonite ont été utilisées d'abord pour les forages pétroliers et ensuite pour les réalisations des parois moulées (cf. chapitre VIII).

Les prélèvements d'échantillons intacts s'effectuent, soit par rotation dans les terrains cohérents résistants, soit par battage de carottiers spéciaux dans les terrains meubles (carottiers Kjellmann ou Bishop). La figure XII-1 représente des modèles de carottiers couramment utilisés. Le prélèvement d'échantillons est une technique délicate et difficile, qui ne doit être effectuée que par des spécialistes (Fig. XII-2).

Les terrains grossiers (gravier, sables graveleux, éboulis, moraines) posent des problèmes très difficiles de carottage, les échantillons prélevés par les méthodes classiques (benoto, soupape) sont toujours fortement remaniés et leur granulométrie est souvent modifiée par la perte de fines, surtout lorsqu'on les remonte à travers plusieurs mètres d'eau. Par contre, le carottage par vibropercussion (brevet SIF-Bachy) permet de prélever économiquement des échantillons représentatifs de ces terrains difficiles.

12.1.3 Prospection électrique.

Principes de la méthode.

La méthode consiste à faire passer un courant électrique dans le terrain au moyen de deux électrodes enfoncées dans le sol. Au moyen de deux autres électrodes, on mesure la différence de potentiel produite par le passage du courant.

On appelle dispositif la configuration géométrique des électrodes. Les plus utilisés sont les dispositifs symétriques (Fig. XII-3).

Une formule simple permet de calculer la « résistivité apparente » du terrain. Elle est exprimée en ohm \times mètre et caractérise les paramètres électriques

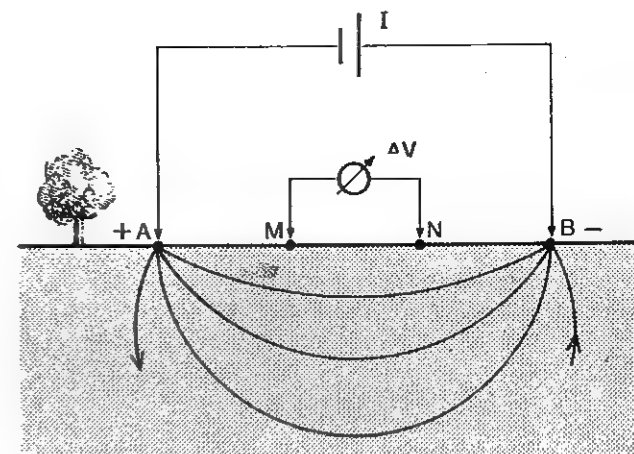


FIG. XII-3. — Principe de la prospection électrique.

du terrain concerné. Le tableau ci-dessous donne des valeurs typiques de résistivités.

| <i>Terrains meubles saturés</i> | | |
|--|---------------|---------------------|
| Argiles | environ 10 | ohms \times mètre |
| Moraines | — 30 | — |
| Sables | — 80-100 | — |
| Gravier | — 200 | — |
| <i>Roches consolidées</i> | | |
| Schistes argileux | environ 20 | — |
| Roches marneuses et grés-marneuses (mousses) | — 20-50 | — |
| Grès | — 150 | — |
| Calcaires marneux | — 150-500 | — |
| Calcaires francs | plus de 500 | — |
| Granites | plus de 1 000 | — |

Une remarque importante s'impose. Certaines roches, très différentes du point de vue géotechnique, peuvent présenter des résistivités identiques. C'est le cas, par exemple, des sables meubles et de certains grès marneux. Il faudra alors avoir recours à des informations supplémentaires tirées de la géologie, de la sismique ou des forages.

Méthodes de prospection et interprétation des résultats.

Il existe deux méthodes principales de prospection : la prospection verticale par sondage électrique et la prospection horizontale ou en couverture par trainées électriques.

a) Sondages électriques.

Cette méthode découle du fait que plus les électrodes par lesquelles on envoie le courant sont écartées plus le volume dans lequel le courant circule est grand et partant, plus la profondeur d'investigation est importante.

La mise en œuvre consiste donc à effectuer une série de mesures en écartant de plus en plus les électrodes A et B d'envoi du courant.

On présente conventionnellement les résultats sur un graphique bilogarithmique.

En ordonnée figure la moitié OA de l'écartement AB des électrodes et en abscisse la résistivité en ohm mètre (Fig. XII-4).

L'interprétation peut se faire soit graphiquement avec des abaques soit par ordinateur.

Elle permet de déterminer la résistivité des différentes couches en présence ainsi que leur épaisseur et leur profondeur.

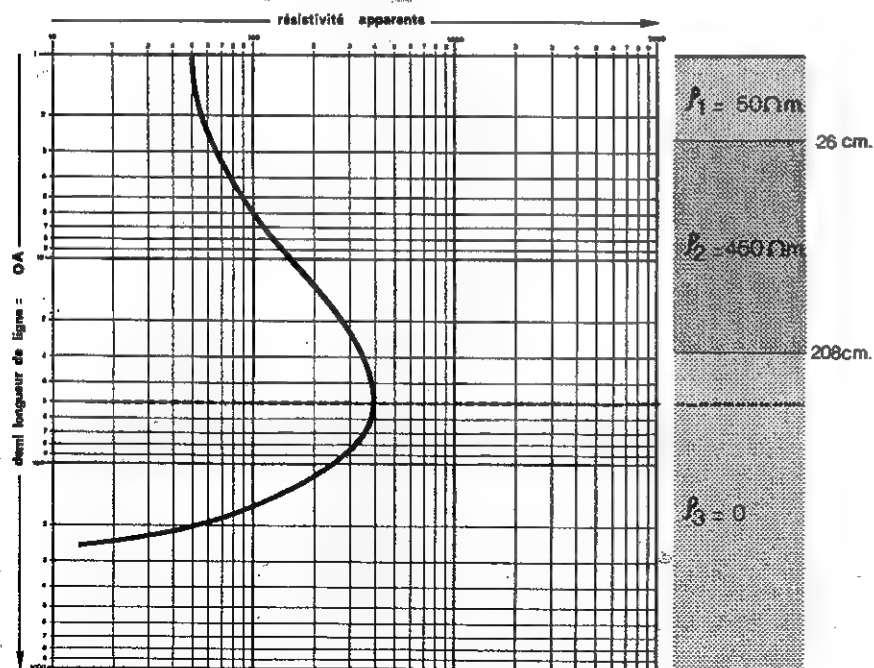


FIG. XII-4. — Exemple de diagramme de prospection électrique.

Un sondage électrique et son interprétation n'ont de sens que dans la mesure où l'on travaille dans une zone homogène. La seconde méthode, celle des trainées permet de s'en assurer.

b) Trainées électriques.

Cette méthode consiste à répéter en plusieurs stations, les mêmes mesures de résistivité avec un dispositif identique (le dispositif a seulement subi une translation à la surface du sol pour passer d'une station à l'autre). Ces mesures sont ensuite reportées sur des cartes et l'on trace les courbes d'équirésistivité qui mettent en évidence les zones homogènes et les anomalies.

Si l'on choisit un axe on peut établir un profil de résistivités.

On parle souvent de profondeur d'investigation pour cette méthode. Celle-ci dépend de plusieurs facteurs, notamment de la résistivité des couches et de la dimension du dispositif. On donne souvent un ordre de grandeur de la profondeur d'investigation variant de $AB/4$ à $AB/10$ (cf. Fig. XII-3). Ceci est à considérer avec prudence.

Mesure de la teneur en eau.

Cet essai utilise le fait que la résistance d'une cellule de mesure varie en fonction de la teneur en eau du milieu dans laquelle elle se trouve placée. Ce type d'appareil nécessite certaines précautions, il faut assurer une bonne liaison entre le sol et la cellule. Il faut éviter aussi que la mise en place de la cellule ne modifie les conditions d'humidité du sol. De plus, un étalonnage sérieux en laboratoire est nécessaire. Cependant, cette méthode présente le grand avantage de permettre des comparaisons dans le temps et dans l'espace. En effet, les cellules de mesures peuvent être multipliées et surtout maintenues dans le sol pendant de longues périodes.

12.1.4 Sismique réfraction.

Principe et fonctionnement.

Un ébranlement mécanique (choc ou explosion) se propage dans le sous-sol avec des vitesses qui diffèrent suivant les terrains traversés. Cette célérité des ondes sismiques dépend essentiellement de la compacité des couches considérées. La sismique réfraction tire parti de ce phénomène.

C'est ainsi que pour des sols de faible compacité : terre végétale, tourbe, graviers, argiles non consolidées ou décomprimées, la célérité varie entre 300 et 600 m/s. Elle est comprise entre 500 et 1 500 m/s pour les roches meubles compactes, argiles précomprimées, sables fins, couches meubles aquifères. Elle peut atteindre 1 500 à 7 000 m/s dans les roches compactes, telles que les calcaires, les granits, les basaltes. Ainsi, tout appareillage de sismique est conçu pour mesurer des célérités.

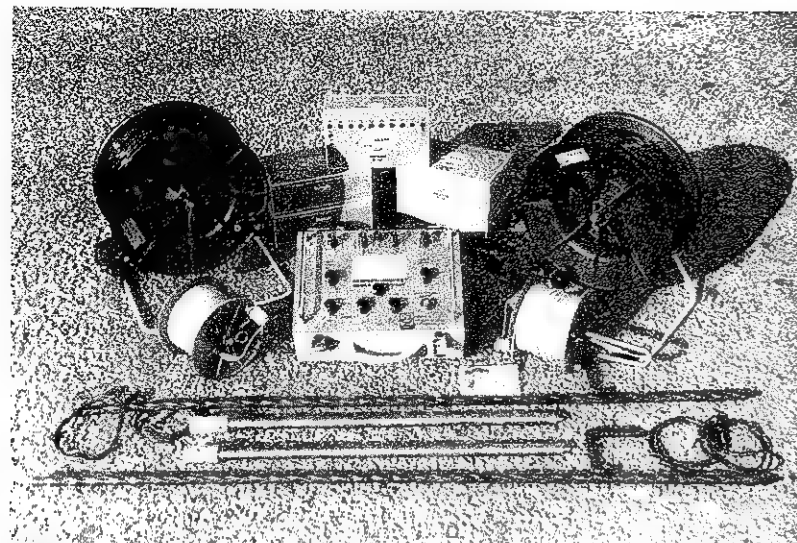


FIG. XII-5. — Equipement de prospection électrique BEVAC PRI-AM.

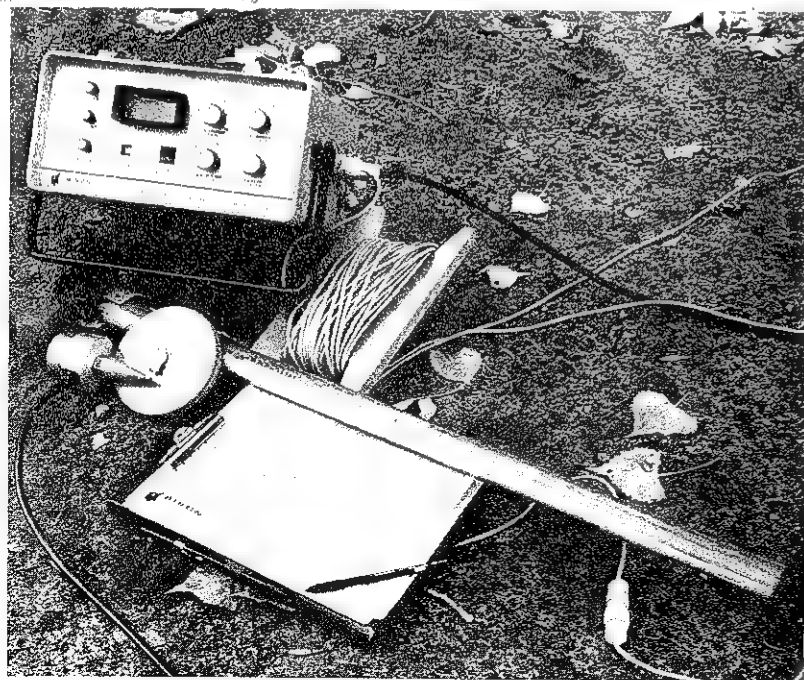
FIG. XII-6 a. — Sismique réfraction.
Appareil Bison 1570 B avec mémoire électronique.

FIG. XII-6 b. — Prospection sismique réfraction avec appareil Bison 1570 C (BEVAC).

Un émetteur d'ondes mobile (dame ou marteau) permet de créer des ébranlements. Un capteur fixe, ou géophone, recueille les ondes transmises par le sous-sol. Un appareil de mesure permet de connaître le temps écoulé entre le choc et sa réception. On peut observer sur un tube cathodique la forme et l'amortissement de l'onde avec certains modèles tels que le Terra-Scout, le Bison 1575 ou le Bison 1570 B (Fig. XII-6 a), ou 1570 C (Fig. XII-6 b).

Dans la grande majorité des cas, pour le proche sous-sol, les couches superposées présentent des célérités croissantes vers le bas. On admet que l'onde de choc se propage en ligne droite dans un terrain donné, ne changeant de direction que lorsqu'elle pénètre dans un terrain différent (réfraction de l'onde).

On considère deux couches différentes superposées *A* et *B*, la couche supérieure *A* a une célérité V_1 inférieure à la célérité V_2 de la couche inférieure *B*. L'onde créée va pouvoir atteindre le géophone en empruntant deux chemins différents (Fig. XII-7) :

- un chemin lent mais plus court par le terrain *A*,
- un chemin rapide mais plus long par le terrain *B*.

Lorsque le géophone et l'émetteur d'ondes seront proches, c'est l'onde passant par le terrain *A* qui atteindra le capteur la première (chemin court) puis, lorsque le point d'ébranlement sera suffisamment éloigné du géophone, c'est l'onde passant par le terrain *B*, qui arrivera la première (chemin plus long, mais vitesse plus grande).

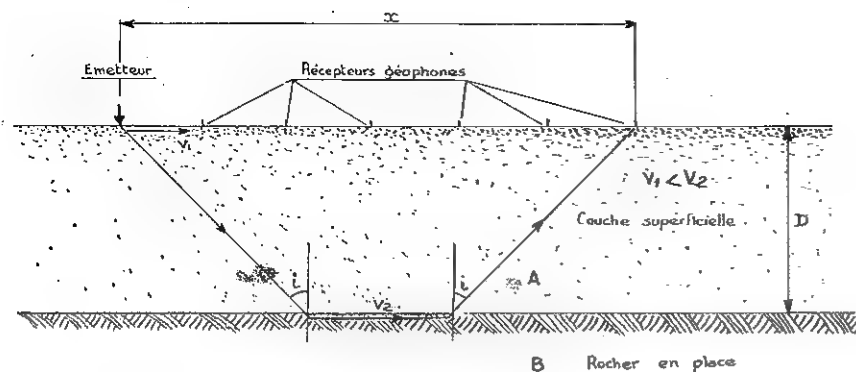


FIG. XII-7. — Sismique réflexion.

Si l'on reporte sur un graphique, en abscisse les distances entre le point d'ébranlement et le géophone et en ordonnée les temps mesurés, on obtient une courbe *dromochronique* qui est normalement formée de segments de droites correspondant aux diverses couches du sous-sol (Fig. XII-8). Ces segments de droites ont une inclinaison inversement proportionnelle à la célérité dans le milieu considéré. On peut donc ainsi trouver les vitesses cherchées.

On peut calculer de la manière suivante le niveau D du toit de la seconde couche, c'est-à-dire l'épaisseur de la première couche en fonction de C , dis-

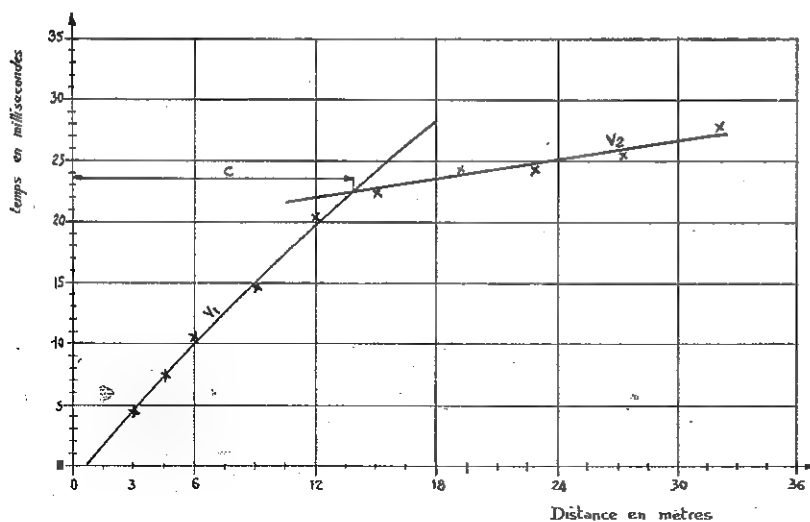


FIG. XII-8. — Courbe dromochronique.

tance horizontale correspondant au changement de célérité sur la courbe dromochronique (Fig. XII-8).

Entre l'émetteur et le géophone situé à la distance x (Fig. XII-7) le temps de parcours en surface est égal à $\frac{x}{V_1}$.

Le temps de parcours du rayon réfracté est égal à :

$$\frac{2D}{V_1 \cos i} + \frac{x - 2D \tan i}{V_2}$$

Lorsque les deux durées de parcours sont égales, $x = C$ d'où :

$$\frac{C}{V_1} = \frac{2D}{V_1 \cos i} + \frac{C}{V_2} - \frac{2D \tan i}{V_2}$$

$$C(V_2 - V_1) = \frac{2D}{\cos i}(V_2 - V_1 \sin i)$$

mais d'après le principe Fermat on a :

$$\sin i = \frac{V_1}{V_2}$$

Il en résulte que :

$$D = \frac{C}{2} \sqrt{\frac{V_2 - V_1}{V_2 + V_1}}$$

Un calcul un peu plus complexe, permet d'être renseigné dans le cas de trois ou quatre couches différentes. L'erreur est de l'ordre de 5 à 10 %. Un excellent expérimentateur peut éventuellement la réduire à une valeur plus faible dans certains cas. Une interprétation graphique très simple est aussi possible par abaque, sans calculs.

Les appareils, comme le Terra-Scout ou les Bison avec un ou deux capteurs (géophone), qui permettent de se rendre compte de la forme de l'onde et de son amortissement offrent un élément supplémentaire de détermination. D'autres appareils multi-pistes à 12, 18 ou 24 canaux sont équipés d'une caméra polaroid ou de papier sensible à défilement continu. Un autre avantage réside dans le fait qu'il est possible de répéter plusieurs impacts successifs au même endroit. La mémoire de l'appareil cumule des signaux. On obtient ainsi une grande sensibilité tout en réduisant les effets parasites. Cela permet aussi d'augmenter la profondeur d'investigation.

Avantages et possibilités.

Cette méthode a le mérite d'être non destructive et surtout d'être rapide. En effet, une équipe bien entraînée (un opérateur et un manœuvre) peut réaliser un sondage sur le terrain en 10 à 30 minutes suivant le nombre d'impacts. La distance entre le géophone et le marteau peut atteindre 200 m dans des

conditions favorables. Un opérateur peut travailler seul avec les appareils Bison grâce à leur mémoire électronique. L'interprétation demande un temps équivalent. Les méthodes d'utilisation (mesures en aller retour, mesures rapprochées en lignes) permettent de connaître l'inclinaison du substratum et même d'estimer l'allure des différentes couches du sous-sol lorsqu'elles se présentent sous une forme continue.

Des progrès récents (travaux du physicien suisse Grangier) permettent l'interprétation des cas difficiles (présence de blocs dans des éboulis ou des moraines, importantes irrégularités d'un substratum).



FIG. XII-9. — Résistivimètre Soiltest, modèle R-250 ;
Méthode Lee ; Profondeur 15-20 mètres.

La profondeur courante d'investigation est de 10 à 20 m avec possibilité d'atteindre des profondeurs de l'ordre de 100 à 200 m dans certains cas très favorables. D'une manière générale, la profondeur explorée est comprise entre 20 et 40 % de la distance qui sépare l'émetteur du récepteur.

Les résultats obtenus sont les vitesses de propagation des ondes dans les milieux rencontrés ainsi que les épaisseurs. Par comparaison avec des milieux de référence, il est alors possible d'avoir une idée de leur nature géologique. Cette méthode est donc applicable à certains problèmes de fondations ainsi qu'à l'étude des nappes alluviales, des glissements, des gravières et sablières, etc.

Le gel modifie les célérités et fausse les résultats. Une source proche de vibrations (vent violent dans les arbres, passage de trains, circulation d'engins de travaux publics) provoque des ondes parasites qui peuvent interdire les mesures si l'on ne dispose pas d'un appareil avec dispositif de cumul des mesures. Mais surtout, lorsqu'on rencontre un terrain à forte célérité surmontant un terrain à célérité plus faible, ce dernier n'est pas repérable car l'onde profonde ne peut en aucun cas rattraper l'onde de surface.

La figure XII-9 montre le dispositif de l'émetteur automatique pour prospection sismique Soiltest, modèle R-250.

12.1.5 Sondages destructifs avec enregistrement des paramètres de forage.

Un sondage traditionnel carotté coûte généralement très cher. A l'opposé, un simple sondage destructif apporte peu d'informations. Par contre, on obtient des résultats très intéressants à l'associant à un appareil enregistreur de différents paramètres de forage.

Cette méthode, dite « diagraphie instantanée » permet d'obtenir l'enregistrement sur graphiques des différentes grandeurs physiques (paramètres de forage) disponibles, traduisant les actions de la foreuse accompagnées des réponses du terrain.

L'appareil permet notamment, après étalonnage sur un sondage carotté et interprétation des enregistrements, de retrouver et situer avec précision les différentes couches traversées, de détecter les hétérogénéités à l'intérieur d'une même couche, de localiser les cavités ou les blocs. Il permet d'apprécier les différences de dureté d'une couche réputée homogène (argile, marne, roche).

Les paramètres enregistrés simultanément sont :

- la vitesse instantanée d'avancement de l'outil,
- la poussée appliquée sur les tiges de forage,
- le couple exercé sur les tiges,
- la pression du fluide de perforation.

L'enregistrement des diverses courbes s'effectue sur une bande de papier graphique dont le déroulement est proportionnel à l'avance de l'outil, ce qui facilite l'analyse en fonction de la profondeur du forage.

L'enregistreur peut être associé à tous les types d'outillage de forages, à rotation ou à percussion.

La saisie automatique des valeurs des paramètres avec prétraitement informatisé, et l'enregistrement sur cassettes, permet une utilisation ultérieure intéressante : restitution graphique à échelle discrétionnaire, manipulation pour faire ressortir tel ou tel paramètre.

Pour étudier un terrain donné, les spécialistes du forage choisissent une combinaison de différentes actions à exercer par la machine : pression sur

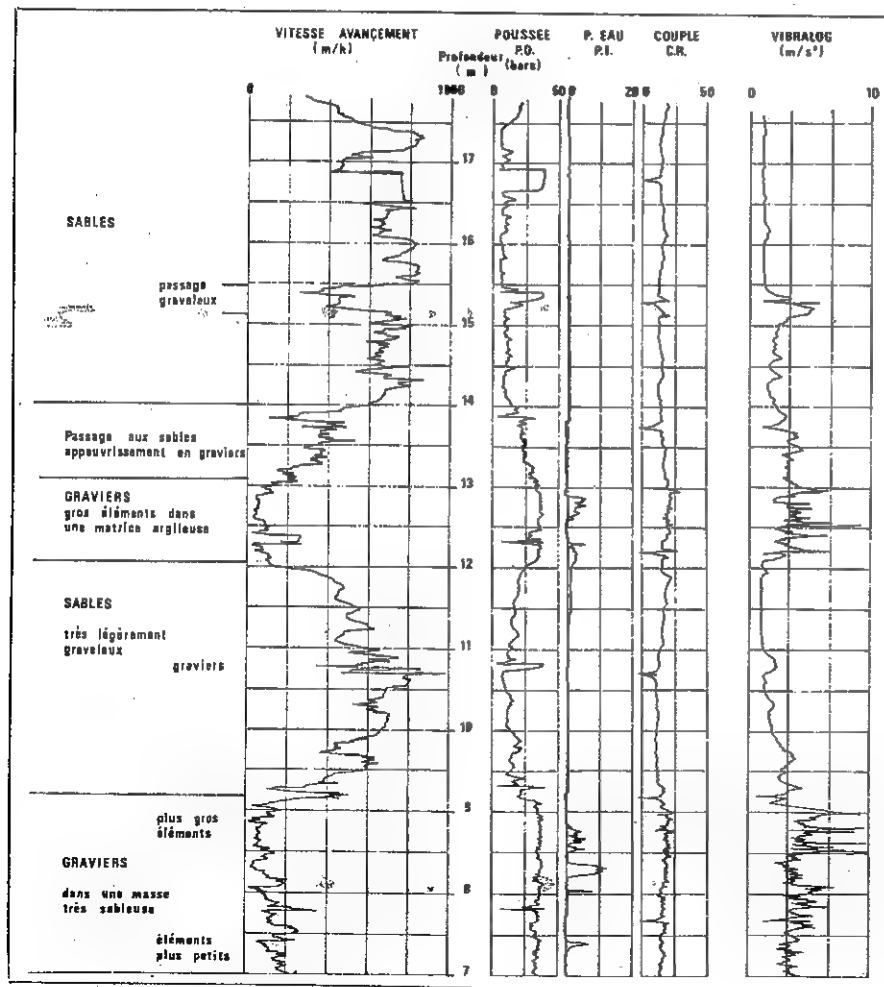


FIG. XII-10. — Enregistrement de 5 paramètres (sondeuse hydraulique — région lyonnaise).

l'outil, vitesse de rotation ou énergie de percussion, pression et débit du fluide de perforation.

De plus, le foreur est susceptible de percevoir des réponses du terrain comme :

- la vitesse d'avancement,
- la vibration du train de tiges ou de la machine, le son du marteau,
- l'obturation plus ou moins forte du circuit de fluide de perforation entre le niveau de l'outil et le terrain de surface.

C'est ainsi qu'il peut établir d'après son expérience une « coupe sondeur » basée sur la nature et les variations qualitatives des facteurs ci-dessus, et complétée par l'examen des débris de forage remontés à la surface. Cette coupe sondeur a toujours présenté un très grand intérêt même lorsqu'il y a prélèvement de carottes.

Les progrès des techniques de captation et d'enregistrement ont permis de mesurer et d'inscrire automatiquement en continu la variation des paramètres pendant l'action de forage (Fig. XII-10). Il existe un capteur (le « vibralog » de la société Lutz) de la percussion réfléchie (ou partie d'énergie de choc non absorbée par le terrain) très utile pour l'interprétation de la rotoperçussion.

On ne donnera pas ici de liste exhaustive des enregistrements possibles et de leurs interprétations, cette étude relève d'un traité de forage.

L'apport principal des méthodes d'enregistrement est de rendre beaucoup plus économiques les reconnaissances de zones dans les terrains hétérogènes comprenant blocs ou massifs de rocher dur, alternances dur-tendre, recherche de vides, et en général les terrains difficilement sondables par d'autres méthodes.

Il convient cependant de s'assurer que les forages se sont déroulés dans de bonnes conditions car, si la méthode de forage choisie était mal adaptée, les difficultés d'exécution du forage (manœuvres fréquentes, amorces de coincement, bourrage, ébranlement de la foreuse) rendraient l'enregistrement difficile ou même inexploitable pour ne pas dire trompeur.

12.1.6 Essais de chargement.

Les essais de chargement direct de fondations réelles sont certainement très intéressants, mais, comme on l'a indiqué dans l'article 10.3, ils sont longs et coûteux (60 000 à 100 000 F) et réservés uniquement aux pieux.

Ne pouvant charger les radiers jusqu'à la rupture, on a cherché pour les fondations superficielles à effectuer des essais comparatifs à la plaque. Si ceux-ci peuvent être intéressants pour déterminer, dans les tunnels par exemple, le module élastique des roches ou dans les essais routiers pour mesurer le module de Westergaard, ils n'apportent que des renseignements qu'il faut considérer avec circonspection pour les fondations superficielles proprement dites.

L'essai à la table ressemble beaucoup dans son principe à l'essai à la plaque. Par l'intermédiaire d'une table de chargement ayant un pied d'une surface de 100 à 400 cm² on exerce sur le sol des charges de plus en plus importantes. On mesure les tassements en fonction de cette charge croissante (Fig. XII-11).

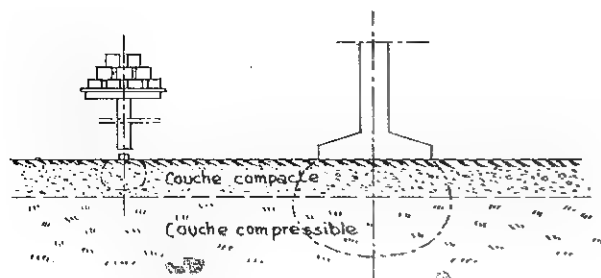


FIG. XII-11. — Essai à la table.

Lorsque la courbe obtenue ressemble à celle de la figure IX-3 a, l'interprétation est facile. Dans le cas d'une courbe effort-déformation semblable à celle de la figure IX-3 b, l'interprétation est délicate. Mais ce n'est pas là encore le reproche le plus grave à faire à cet essai. En effet, la figure XII-11 montre immédiatement que dans le cas d'une bi-couche les résultats obtenus peuvent être absolument sans signification. Les bulbes de pression existant sous le pied de la table ou sous une semelle, et *a fortiori* sous un radier, n'ont rien de commun et une couche compressible située à faible profondeur qui n'aura pas été influencée par la table subira des tassements importants sous l'action de l'ouvrage.

L'essai à la table est donc à condamner formellement sauf si l'on sait d'une manière certaine que les couches sous-jacentes sont homogènes.

12.1.7 Essais dynamiques.

Pour étudier le comportement des sols soumis à des sollicitations périodiques du type de celles provoquées par les séismes et les machines vibrantes, il est nécessaire de mesurer leurs caractéristiques dynamiques ainsi que la variation de leur résistance et de leur déformabilité en fonction du mode d'application des sollicitations.

Les principales caractéristiques dynamiques dont on recherche la détermination au cours de ces essais sont les suivantes :

- le module d'élasticité dynamique,
- le module de cisaillement dynamique,
- le taux d'amortissement critique,
- l'évolution des pressions interstitielles.

Ces caractéristiques sont mesurées dans une plage de déformation relative bien déterminée allant généralement de 10^{-5} à 10^{-2} environ.

Les principaux types d'essais dynamiques sur éprouvettes en laboratoire sont les suivants :

- l'essai à l'appareil triaxial dynamique,
- l'essai à la boîte de cisaillement dynamique,
- l'essai à la table vibrante,
- l'essai à la colonne résonnante.

Les « essais dynamiques *in situ* » sont des essais effectués dans des forages spécialement disposés et équipés pour permettre la mesure de la vitesse de propagation des ondes de volume et de cisaillement dans chacune des formations reconnues de la masse de sol étudiée.

Plusieurs méthodes peuvent être utilisées selon le but recherché, on se contentera de citer leurs noms :

- la méthode « downhole » (sondage en descendant),
- la méthode « uphole » (sondage en remontant),
- la méthode « crosshole » (sondage d'un point à l'autre).

Compte tenu des faibles énergies mis en œuvre, les déformations induites au cours de ces essais restent petites (de l'ordre de 10^{-6}) et seule la valeur maximale du module de cisaillement G est mesurable. Ces méthodes ne permettent pas de déterminer avec précision la valeur de l'amortissement propre des sols.

Par ailleurs, la mise en œuvre de la méthode « crosshole » implique une très grande précision dans le parallélisme des forages et dans la détermination du temps d'arrivée de l'onde secondaire.

Les processus de ces essais dont l'usage est loin d'être généralisé ne sont pas encore normalisés. On peut se rapporter sur ce point aux publications spécialisées telles que :

- Dynamic Geotechnical Testing ASTM-STP 654
- ou — Journal of Soil Mechanics and Foundation Division de l'ASCE.

12.2 SCISSOMÈTRE, RHÉOTEST, PRESSIOMÈTRE.

12.2.1 Scissomètre.

Cet essai, appelé par les anglo-saxons Vane Test, a fait son apparition en Suède et en Angleterre vers 1948. Il consiste à mesurer dans les argiles molles saturées le couple de torsion nécessaire pour faire tourner un cylindre de terrain autour d'un axe de symétrie vertical au moyen de deux plaques rectangulaires, identiques, enfoncées préalablement dans la couche à étudier, formant quatre dièdres droits ayant pour arête commune verticale l'arbre de torsion (Fig. XII-12).

Dans la rotation, les bords de la plaque engendrent une surface de révolution. Aucun drainage de l'eau n'est possible, l'essai donc doit être assimilé à un essai

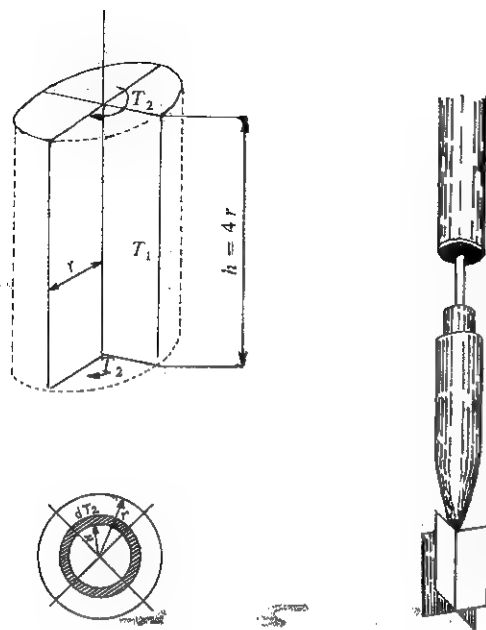


FIG. XII-12. — Scissomètre.

non drainé. La contrainte de cisaillement développée en tous points sur la surface de révolution est à l'origine d'un couple résistant qui est égal, lors du glissement, au moment de torsion exercé. Il est donc facile de calculer la cohésion.

En appelant :

T_1 ... le couple résistant sur la surface cylindrique verticale,

T_2 ... le couple résistant sur chacune des deux bases horizontales du cylindre.

Le moment résistant total T enregistré par l'appareil est égal à :

$$T = T_1 + 2 T_2.$$

Soit r , le rayon des ailettes, on a

$$T_1 = (2 \pi r h) r c_u = 2 \pi h r^2 c_u = 8 \pi r^3 c_u$$

(la hauteur h est le double du diamètre).

Pour calculer T_2 , on divisera chaque base en une série d'anneaux concentriques élémentaires :

$$dT_2 = (2 \pi x dx) \cdot x \cdot c_u = 2 \pi x^2 dx \cdot c_u$$

et

$$T_2 = c_u \int_0^r 2 \pi x^2 dx = \frac{2 \pi}{3} r^3 \cdot c_u.$$

On a donc :

$$T = 8 \pi r^3 c_u + \frac{4 \pi}{3} r^3 c_u = \frac{28}{3} \pi r^3 c_u$$

et par suite :

$$c_u = \frac{3}{28} \cdot \frac{T}{\pi r^3}.$$

Cet essai qui n'est utilisé que dans les milieux purement cohérents s'est développé d'une manière extraordinaire aux Etats-Unis et dans les autres pays d'Amérique. Après les expériences de Calding et Odenstad (1950), Skempton (1948), Bennett et Mecham (1953) le Bureau of Reclamation de Denver (Colorado) a mis au point à partir de 1954 un appareil relativement perfectionné pour ce type d'essai. Trois types d'ailettes sont adaptables (5, 7,5 et 10 cm de diamètre, la hauteur des pales étant toujours le double du diamètre). Un dispositif spécial élimine, dans les mesures effectuées, l'influence du frottement sur l'appareillage.

Ces trois types de pales ou ailettes permettent de mesurer la résistance au cisaillement avec des sensibilités différentes, le petit diamètre est utilisé pour les faibles résistances (moment de torsion de 40 Nm) le grand diamètre pour les grandes résistances, le moment maximal étant limité à 300 Nm environ.

Les ingénieurs américains ont également mis au point un petit appareil, qui pourrait être appelé scissomètre de poche, employé pour mesurer *in situ* ou en laboratoire la résistance au cisaillement sur échantillons non remaniés. Cet appareil est fabriqué sous le nom de « Torvane » par « The Slope Indicator Company » de Seattle (U. S. A.)

Ainsi que cela a été signalé au paragraphe 11.4.3 de nombreuses ruptures de remblais sur sol compressible se sont produites ces dernières années. La plupart du temps on a constaté que les courbes de glissement étaient conformes à la théorie, mais par contre que les hauteurs critiques des remblais étaient beaucoup plus faibles que celles prévues à partir des valeurs de c_u mesurées au scissomètre et ce d'autant plus que la plasticité des argiles était forte.

Pour tenir compte de ce fait, Bjerrum dans son rapport général du 5^e congrès européen de Madrid, a montré que l'on doit appliquer aux valeurs mesurées au scissomètre un coefficient réducteur variant de manière sensiblement linéaire avec l'indice de plasticité.

En première approximation, on peut utiliser l'expression $1,1 - 0,005 I_p$ pour évaluer ce coefficient lorsque I_p est compris entre 20 et 100.

12.2.2 Rhéotest.

Le rhéotest est un appareil mis au point par Biarez en 1967, destiné à mesurer les propriétés mécaniques du sol en place. Le principe de l'appareil consiste à cisailer le sol comme dans le scissomètre. Mais ce dernier instrument ne fournit aucun renseignement sur la composante normale de la contrainte le long de la surface de cisaillement ; dans le rhéotest au contraire, on peut se

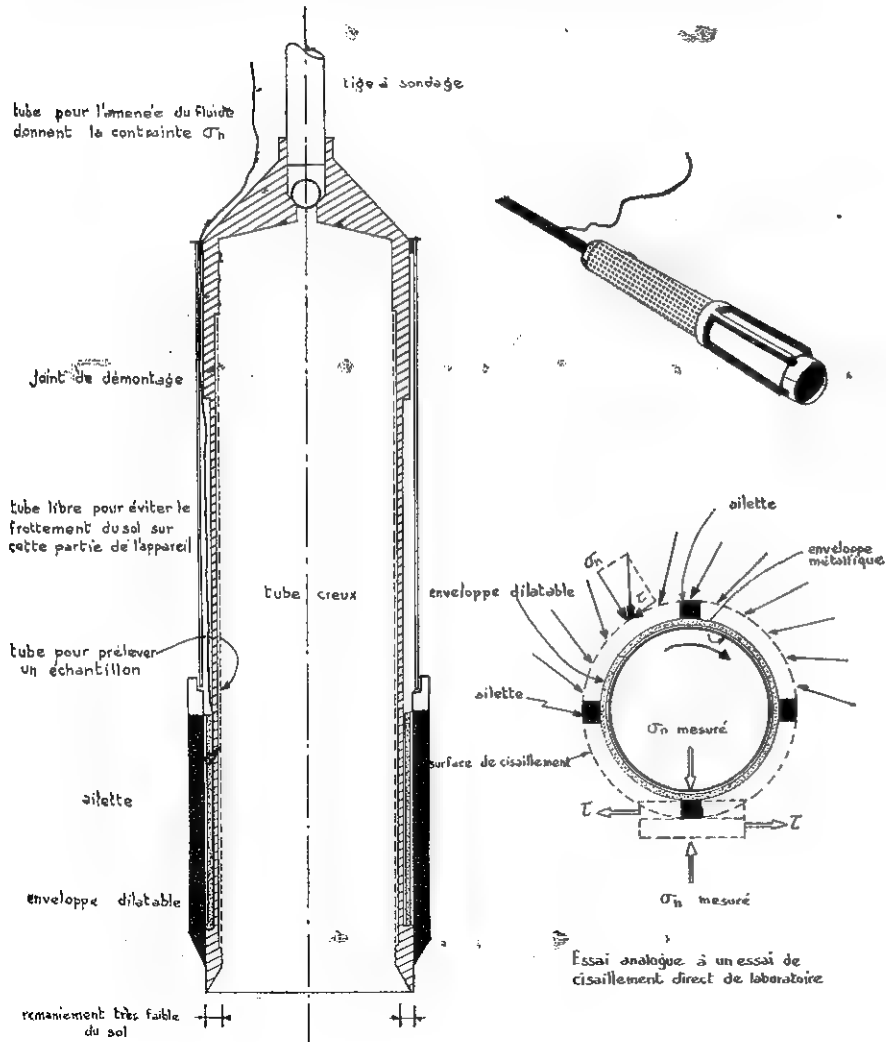


FIG. XII-13. — Rhéotest de chantier.

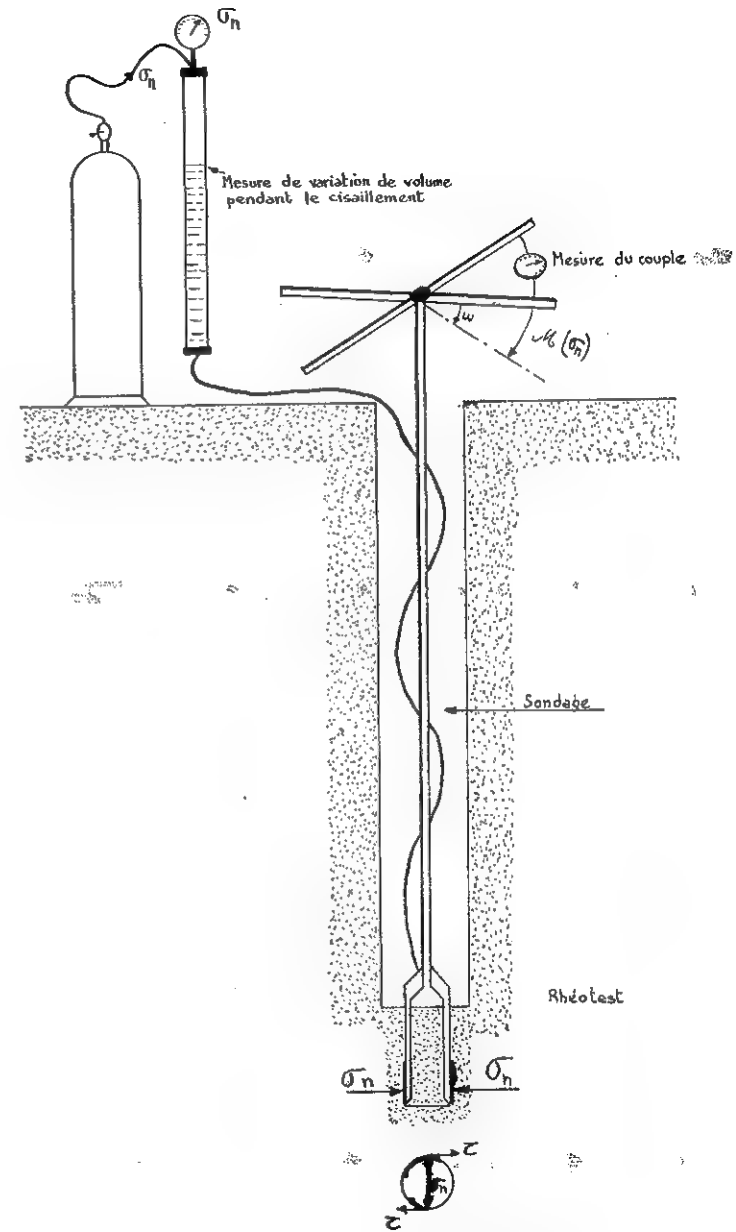


FIG. XII-14. — Utilisation du rhéotest pour la mesure immédiate sur le chantier de l'angle de frottement et de la cohésion.

rendre maître de cette contrainte, ce qui permet de déterminer la courbe intrinsèque par une série de mesures.

L'appareil est composé d'un tube creux de 8 à 10 cm de diamètre extérieur et d'environ 80 cm de longueur (Fig. XII-13). A la partie basse extérieure se trouvent des ailettes parallèles au tube, de 20 à 30 cm de long, qui servent à cisailier le sol, comme les ailettes du scissomètre. Entre le tube et les ailettes se trouve une enveloppe cylindrique de caoutchouc armé, que l'on gonfle pour appliquer au sol la pression normale choisie.

Le rhéotest est enfoncé comme un carottier dans le fond des sondages (Fig. XII-14). Le couple de rotation est mesuré par une clé dynamométrique; on obtient ainsi la composante tangentielle en fonction de la rotation, d'où la courbe intrinsèque apparente (en contraintes totales) comme dans un appareil de cisaillement direct de laboratoire.

On peut mesurer simultanément la variation de volume pendant le cisaillement et diverses relations entre contraintes et déformations. L'appareil permet de prélever un échantillon de sol dans la zone où la mesure a été faite.

Le rhéotest peut être comparé à l'appareil classique de cisaillement direct car il donne immédiatement, sur le chantier, l'angle de frottement et la cohésion. Le rhéotest est utilisable dans tous les sols moyens ou médiocres; il est exceptionnellement bien adapté à la mesure de l'angle de frottement dans les sables « propres », sans cohésion, habituellement difficiles à étudier par prélèvement d'échantillons intacts.

12.2.3 Pressiomètre.

Le principe du pressiomètre a été trouvé dès 1930 par Kogler et Scheidig. C'est à partir de 1957 que Ménard a donné un large essor à ce procédé de reconnaissance.

Exécution des essais.

L'essai pressiométrique consiste à effectuer une mise en charge latérale du terrain grâce à une sonde (Fig. XII-15) descendue dans un avant-trou sensiblement de même diamètre, parfaitement réalisé, car il ne doit pas modifier les caractéristiques du sol. Cette sonde est dilatable radialement par application d'une pression interne croissante. On détermine les déformations correspondantes en mesurant la variation de volume de la cellule centrale.

La dilatation est obtenue par injection d'eau sous pression dans une cellule de mesure constituée par une gaine en caoutchouc comprise entre deux cellules de garde de même diamètre, destinées à assurer une répartition sensiblement uniforme des contraintes et des déformations au droit de la cellule de mesure.

L'essai pressiométrique courant est effectué avec une sonde d'un diamètre de 60 mm. On applique une pression croissante suivant une progression arithmétique (de 6 à 14 paliers environ). A chaque palier, on mesure le volume de la

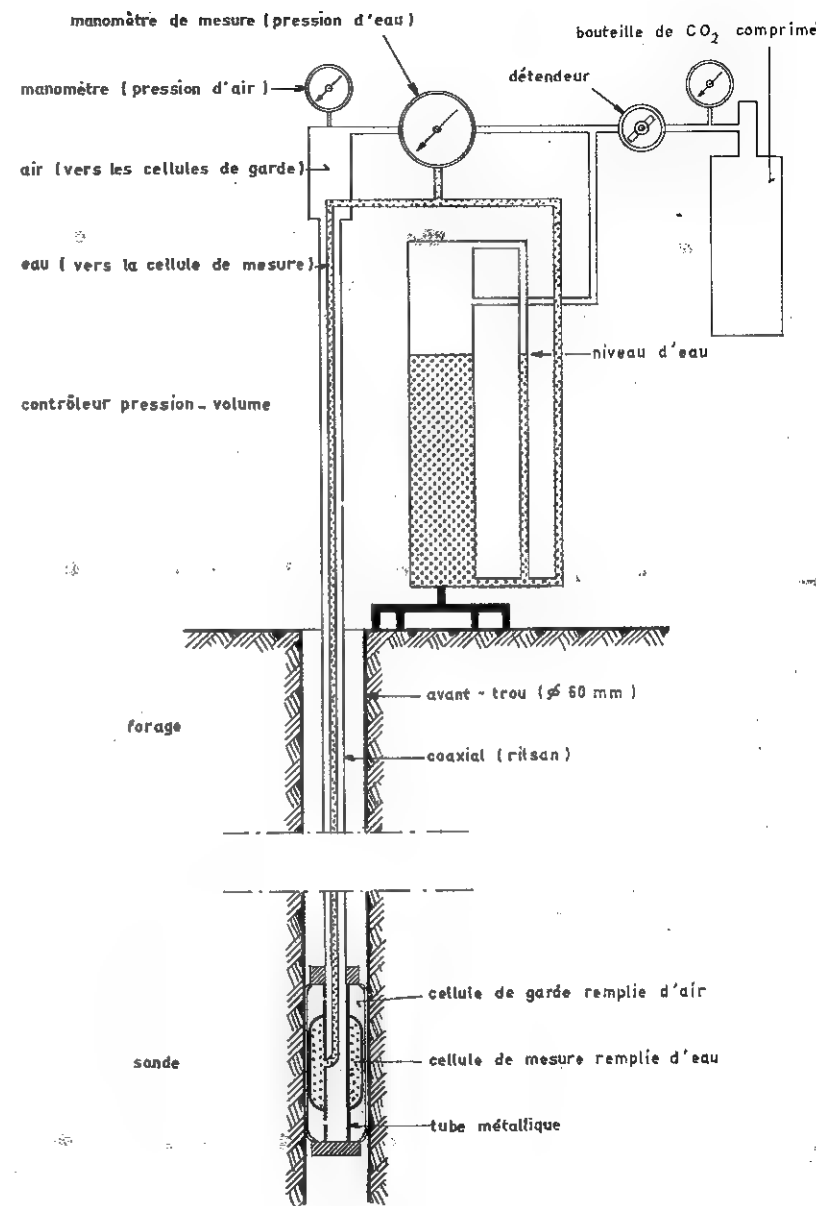


FIG. XII-15. — Pressiomètre et sonde du type G.

cellule 15 secondes, 30 secondes et une minute après la fin de la mise en pression (Fig. XII-16 a). Eventuellement les lectures peuvent être poussées jusqu'à 2 minutes lorsqu'on désire déterminer le coefficient de fluage f_c du sol qui est utilisé par Ménard pour prévoir l'évolution du tassement dans le temps.

Ces essais sont exécutés à une profondeur donnée, ils peuvent être répétés sur toute la hauteur de la zone à reconnaître. Il est recommandé de faire systématiquement un essai tous les mètres pour suivre avec précision les variations de résistance du terrain avec la profondeur.

Il est nécessaire de souligner, pour terminer, que les essais pressiométriques ne peuvent avoir de signification que si les avant-trous ont été exécutés d'une manière impeccable. Pour leur réalisation, différents outillages sont utilisés :

- tarière,
- tube battu ou vibro-foncé,
- taillant de wagon-drill (super-marteau perforateur),
- outil plein manœuvré en rotation.

Le choix de l'appareil de forage doit être fonction de la nature du terrain à étudier. Il faut absolument éviter, par exemple, d'exécuter un avant-trou par battage dans un terrain argileux qui ne manquerait pas d'être remanié.

On signalera que pour supprimer les inconvénients qui se présentent trop souvent en pratique lors de l'exécution des avant-trous, Jezequel a mis au point au laboratoire régional des ponts et chaussées de St-Brieuc, un dispositif qui permet d'éviter la succession habituelle des opérations : réalisation de l'avant-trou, extraction de l'appareillage et enfin mise en place de la sonde ; mais il ne peut être utilisé que dans les milieux cohérents ; le même auteur a étudié également un pressiomètre à déformation contrôlée (cf. pages 374 et 375).

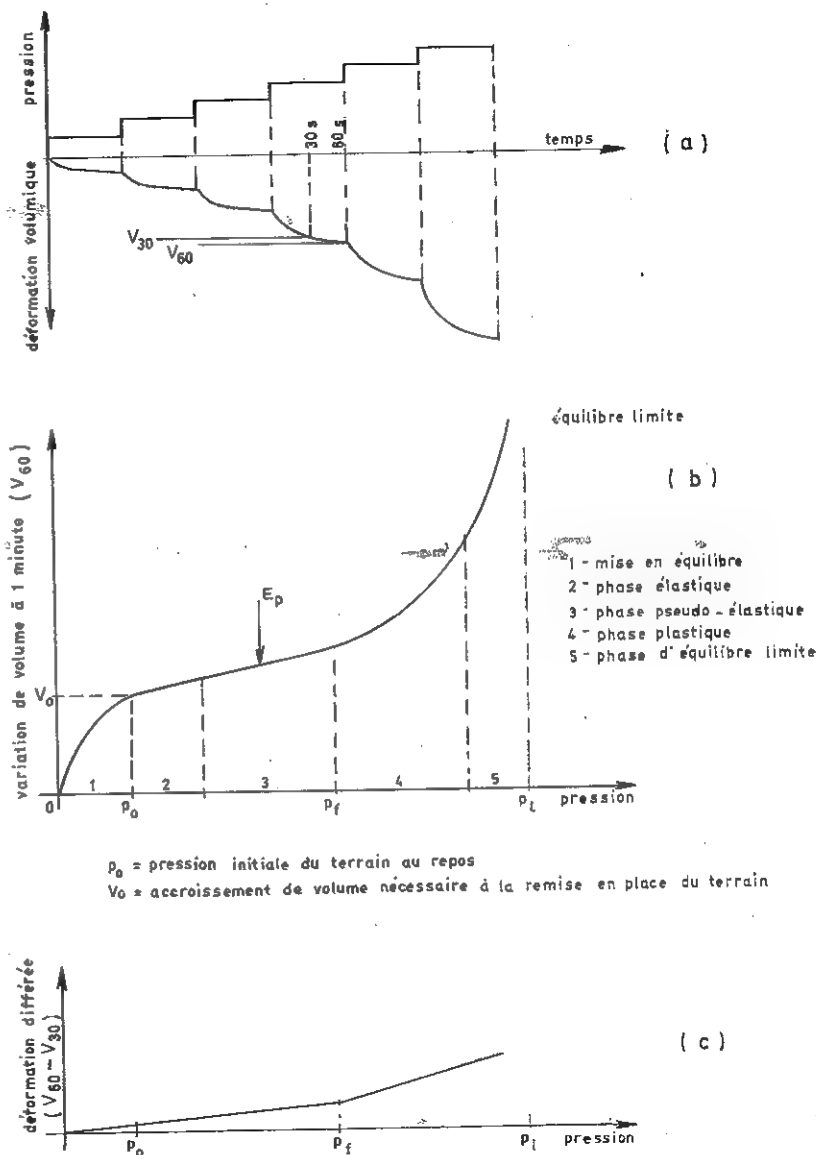
Interprétation des essais.

On reporte les résultats des mesures sur un diagramme de chargement ou courbe pressiométrique (Fig. XII-16).

En abscisses figurent les pressions p lues au manomètre et en ordonnées la variation de volume correspondante V . On trace d'ordinaire deux courbes pressiométriques, celle qui correspond à la variation totale de volume V_{60} mesurée une minute après la mise en charge (Fig. XII-16 b) et celle qui correspond aux déformations différées $V_{60} - V_{30}$ (Fig. XII-16 c).

On peut distinguer sur la courbe de la figure XII-16 b, cinq phases successives :

- une phase initiale qui correspond à la mise en équilibre de l'ensemble sonde — forage — terrain,
- une phase élastique pour les très faibles contraintes (cette phase n'apparaît pas toujours sur les diagrammes),
- une phase pseudo-élastique, les déformations restent linéaires, mais des micro-glissements non réversibles se produisent, on peut définir pendant cette phase un module de déformation ou module pressiométrique,



— une phase plastique, les déformations augmentent et le seuil de plasticité est dépassé, il est caractérisé par une augmentation sensible du fluage ; la pression correspondant à la variation de fluage est appelée pression de fluage (p_f) (Fig. XII-16 c),

— enfin une phase d'équilibre limite, les déformations deviennent très grandes et tendent vers l'infini pour une valeur asymptotique de p dite pression limite (p_l).

Le module pressiométrique E_p sert pour les calculs de tassements, tandis que la pression limite p_l , qui correspond par définition à la rupture du terrain, intervient dans les calculs de stabilité des fondations.

La détermination des valeurs réelles de la pression limite et du module pressiométrique doit, en fait, tenir compte de diverses corrections à apporter aux valeurs lues directement sur les appareils. Ces corrections importantes sont dues :

- aux inerties des membranes, de la gaine, et éventuellement du tube lanterné (dispositif spécial de tubage utilisé dans les graviers),
- à la position relative de l'appareil par rapport à la sonde,
- à la position de la nappe phréatique,
- à la dilatation des tubulures plastiques.

Comme on vient de le préciser, la pression limite est l'abscisse de l'asymptote de la courbe pressiométrique. Elle se détermine par examen direct de la courbe. Lorsque la courbe tracée ne permet pas de situer exactement l'asymptote, on a adopté conventionnellement comme valeur de la pression limite, la valeur de la pression qui conduit au doublement du volume de la cavité. Les récents programmes sur calculateurs de poche utilisent cette convention.

L'évaluation du module pressiométrique nécessite, elle, un calcul. Ce module correspond à la phase de déformation pseudo-élastique. Si le matériau était parfaitement élastique (et même linéairement élastique), la variation de volume ΔV pour une variation de contraintes Δp appliquée serait (cf. § 4.1.2) égale à :

$$\frac{\Delta V}{V} = 2 \frac{\Delta r}{r} = 2 \frac{1 + \nu}{E} \Delta p$$

$$\text{soit } E = 2(1 + \nu) V \cdot \frac{\Delta p}{\Delta V}.$$

Ménard adopte la valeur 0,33 pour le coefficient de Poisson et définit le module pressiométrique E_p par la relation :

$$E_p = 2,66 V \cdot \frac{\Delta p}{\Delta V}$$

V et $\frac{\Delta p}{\Delta V}$ sont mesurés sur la courbe pressiométrique, E_p en résulte directement.

À côté de ces deux caractéristiques essentielles, E_p et p_l l'essai permet aussi

de déterminer la pression de fluage ou limite élastique p_f , le coefficient de fluage, la pression naturelle au repos. Il n'apparaît pas nécessaire d'utiliser pour les études courantes ces données complémentaires dont l'emploi se limite à des cas très spéciaux.

Résultats des essais.

L'étude des diagrammes de chargement permet d'obtenir les caractéristiques essentielles du terrain à la profondeur où l'essai a été exécuté.

Le tableau I ci-dessous indique l'ordre de grandeur de E_p et de p_l pour les principaux types de sol.

TABLEAU I

| Sol | E_p (MPa) | p_l (MPa) |
|---|-------------|----------------|
| Vases et tourbes | 0,2-1,5 | 0,02-0,15 |
| Argiles molles | 0,5-3 | 0,05-0,3 |
| Argiles plastiques | 3-8 | 0,3-0,8 |
| Argiles raides | 8-40 | 0,6-2 |
| Marnes | 5-100 | 0,6-6 |
| Sables vaseux | 0,5-2 | 0,1-0,5 |
| Limons | 2-10 | 0,2-1,5 |
| Sable et gravier | 8-100 | 1,2-5 |
| Sables sédimentaires | 7,5-40 | 1-5 |
| Roches calcaires | 80-20 000 | 3 à plus de 10 |
| Remblais récents | 0,5-1 | 0,05-0,3 |
| Remblais anciens | 4-15 | 0,4-1 |
| Remblais graveleux récents bien compactés | 10-15 | 1-2,5 |

Le rapport $\frac{E_p}{p_l}$ est d'ailleurs une caractéristique du type de sol étudié. On trouve des valeurs élevées de ce rapport (12 à 30) pour les sols surconsolidés tandis que les faibles valeurs (5 à 8) se rencontrent plutôt dans les terrains alluvionnaires. Statistiquement, ce rapport varie entre 8 et 12 pour les sols courants.

Le tableau II indique les ordres de grandeur du rapport E_p/p_l pour différents types de sol et dans différents cas. Cette valeur permet de se rendre compte si l'essai a été réalisé dans un terrain en place ou dans un terrain remanié, à moins, toutefois, qu'un remaniement accidentel se soit produit lors d'une des différentes phases de l'essai.

Une valeur inférieure à 4 ou 6, indique généralement un remaniement.

TABLEAU II
Valeurs du rapport E_p/p_1

| Nature Type | Argile | Limon | Sable | Sable et gravier |
|--------------------------|--------|-------|-------|---------------------|
| Surconsolidé | > 15 | > 14 | > 12 | > 10 |
| Normalement consolidé .. | 8-15 | 8-14 | 7-12 | 6-10 |
| Sous-consolidé | 5-8 | 5-8 | 4-7 | 3-6 |
| Altéré ou remanié | < 5 | < 5 | < 4 | < 3 |

Utilisation des résultats pressiométriques.

Les résultats pressiométriques servent pour le calcul de stabilité des fondations superficielles (semelles et radiers), des fondations profondes (pieux) et celui des tassements, dans le cas où les phénomènes de consolidation ne sont pas prépondérants. Les recherches en vraie grandeur, réalisées en particulier au Centre d'études géotechniques de Paris dirigé par L. Ménard, confrontées avec la théorie et les résultats obtenus sur de nombreux chantiers, ont permis de mettre au point des normes précises et des méthodes de calcul pour chaque problème particulier.

Donner des indications détaillées sur ces calculs déborderait par trop le cadre de cet ouvrage. On trouvera dans la littérature spécialisée tous les renseignements nécessaires. On précisera toutefois ci-dessous quelques points concernant la force portante et le tassement des fondations superficielles.

Pour ce qui concerne la capacité portante des fondations superficielles q_d , Ménard la calcule dans un terrain homogène, par la formule :

$$q_d = q_0 + k(p_1 - p_0)$$

dans laquelle q_0 et p_0 sont respectivement la contrainte au niveau de la fondation avant sa construction et la pression horizontale du terrain au repos au moment de l'essai et au niveau de celui-ci; $q_d - q_0$ correspond donc à la surcharge qui entraîne la rupture du sol, c'est à cette surcharge qu'il convient d'appliquer le coefficient de sécurité (3 en général). Le coefficient de proportionnalité k dépend du type de terrain, de la profondeur d'encastrement D et de la forme de la fondation. Ce coefficient varie entre 0,8 et 3 environ et peut même atteindre 9 pour des pieux battus dans des sables ou graviers compacts. Les tableaux III

et IV donnent les différents types de terrain retenus et les valeurs du coefficient k pour une semelle carrée et pour une semelle filante, applicables avec les p_1 mesurés au pressiomètre Ménard.

TABLEAU III

| Type de sol | Nature | Pression limite (en MPa) |
|-------------|-------------------------------------|-----------------------------|
| I | Argile | 0-1,2 |
| | Limon | 0-0,7 |
| II | Argile raide et marne | 1,8-4 |
| | Limon compact | 1,2-3 |
| | Sable compressible | 0,4-0,8 |
| | Roche tendre | 1-3 |
| III | Sable et gravier | 1-2 |
| | Roche | 4-10 |
| III bis | Sable et gravier très compact | 3-6 |

TABLEAU IV

Valeurs de k (pour les terrains homogènes)

| $\frac{D}{B}$ | Semelle carrée | | | | Semelle filante | | | |
|---------------|----------------|-----|-----|---------|-----------------|-----|-----|---------|
| | I | II | III | III bis | I | II | III | III bis |
| 0 | 0,8 | 0,8 | 0,8 | 0,8 | 0,8 | 0,8 | 0,8 | 0,8 |
| 0,5 | 1,3 | 1,5 | 1,9 | 2,1 | 1,0 | 1,1 | 1,2 | 1,3 |
| 1,0 | 1,6 | 1,8 | 2,5 | 2,8 | 1,2 | 1,3 | 1,4 | 1,6 |
| 1,5 | 1,8 | 2,1 | 3,0 | 3,3 | 1,2 | 1,4 | 1,6 | 1,8 |

(D'après L. Ménard)

N. B. Les tableaux I, III, IV ne sont applicables ni au pressiomètre auto-foureur du L. C. P. C. ni au Camkometer britannique.

Lorsque le terrain est stratifié, on peut utiliser ces résultats en introduisant les notions de pression limite équivalente p_{1e} et d'encastrement équivalent D_e .

$$p_{1e} = \sqrt[3]{p_{11} \times p_{12} \times p_{13}}$$

la pression limite p_{12} est mesurée au niveau de la fondation, la pression p_{11} à une distance B au-dessus de cette fondation et la pression p_{13} à une distance B en dessous.

$$D_e = \frac{1}{p_{1e}} \int p_1 \cdot z \cdot dz$$

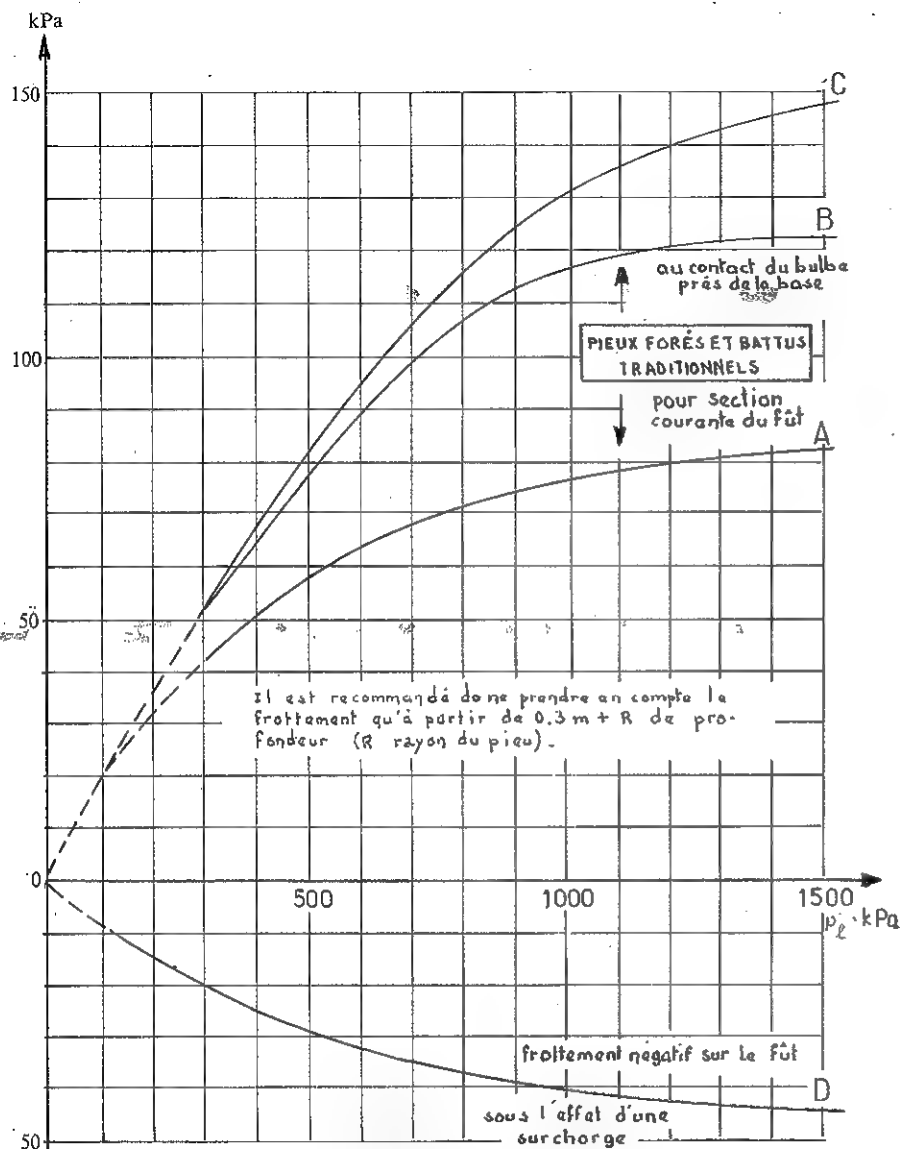


FIG. XII-18. — Résistance au frottement latéral d'un pieu en fonction de la pression limite du pressiomètre.

L'amplitude du tenseur isotrope décroît depuis la base de la semelle, tandis que l'amplitude du tenseur déviatoire est maximale sur une demi-sphère ou un demi-cylindre centré sur l'axe de la semelle.

Les déformations angulaires sont généralement prépondérantes dans le tassement d'une semelle isolée, d'un puits ou d'un pieu. Les déformations volumétriques sont généralement prépondérantes dans le tassement d'un radier ou d'un remblai, d'autant plus que le coefficient de sécurité vis-à-vis de la rupture est élevé.

Les recherches théoriques et expérimentales effectuées par Ménard l'ont conduit à donner pour le tassement d'une semelle rigide la formule ci-dessous qui comprend donc un terme de déformation angulaire et un terme de déformation volumétrique. De plus, le paramètre dimension n'intervient pas de la même façon dans les deux termes, selon le caractère pulvérulent ou cohérent du matériau.

Cette formule s'écrit :

$$w = \frac{1}{3} \frac{1+\nu}{E_p} p R_0 \left(\lambda_d \frac{R}{R_0} \right)^\alpha + \frac{\alpha}{4,5 E_p} p \lambda_s R$$

dans laquelle :

- w est le tassement de la semelle rigide, généralement après stabilisation définitive (tassement au bout de 10 ans pour les argiles),
- ν est le coefficient de Poisson, toujours pris ici égal à 0,33,
- p est la pression moyenne appliquée par la semelle rigide sur le sol,
- R_0 est une longueur de référence utilisable avec les sondes pressiométriques courantes,
- R est la moitié de la plus petite des dimensions de la semelle,
- α est un coefficient de structure variable selon la nature du matériau et le rapport E/p_1 obtenu avec le pressiomètre,
- λ_d et λ_s sont des coefficients de formes.

Les deux tableaux V et VI donnent des indications sur les valeurs à retenir pour ces coefficients.

TABLEAU V
Valeurs du coefficient α selon Ménard

| Type de matériau | Tourbe | | Argile | | Limon | | Sable | | Sable et gravier | |
|----------------------------|---------|----------|---------|----------|---------|----------|---------|----------|------------------|----------|
| | E/p_1 | α | E/p_1 | α | E/p_1 | α | E/p_1 | α | E/p_1 | α |
| Surconsolidé... | | | > 16 | 1 | > 14 | 2/3 | > 12 | 1/2 | > 10 | 1/3 |
| Normalement consolidé..... | | 1 | 9-16 | 2/3 | 8-14 | 1/2 | 7-12 | 1/3 | 6-10 | 1/4 |
| Altéré et remanié..... | | | 7-9 | 1/2 | | 1/2 | | 1/3 | | 1/4 |

TABLEAU VI
 λ_d, λ_s coefficients de forme

| L/2 R | 1 | | 2 | 3 | 5 | 20 |
|-------------------|--------|-------|------|------|------|------|
| | cercle | carré | | | | |
| $\lambda_d \dots$ | 1 | 1,12 | 1,53 | 1,78 | 2,14 | 2,65 |
| $\lambda_s \dots$ | 1 | 1,1 | 1,2 | 1,3 | 1,4 | 1,5 |

Dans ce tableau L représente la plus grande dimension de la semelle.

Ménard a pu ainsi présenter d'une manière cohérente l'exploitation des essais pressiométriques grâce à un ensemble de théories basées sur les derniers travaux de recherche fondamentale en mécanique des sols, mais on ne doit pas oublier que ces règles sont essentiellement déduites d'expériences en vraie grandeur et de l'observation du comportement d'ouvrages existants.

On pourra donc être amené à réviser et à préciser certaines de ces règles en fonction de l'accroissement de l'expérience. Toutefois, dès maintenant, on peut dire que toutes les comparaisons effectuées ont montré que les résultats prévus à partir de ces règles, au point de vue force portante et tassement de fondation se sont révélés nettement plus proches de la réalité que ceux déduits des essais traditionnels.

L'emploi de ces règles conduit donc à des dimensionnements de fondations et d'ouvrages plus réalistes, mais les projeteurs devront savoir faire la différence entre les normes utilisant des méthodes qui conduisent à des résultats pessimistes et les règles évoquées ci-dessus.

Pressiomètre auto-foreur.

Si l'on n'a pas pris toutes les précautions nécessaires pour effectuer un forage correct, cette opération entraîne un remaniement du terrain qui peut perturber dans une large mesure le résultat des essais. Pour éviter cet inconvénient, plusieurs chercheurs ont mis au point un pressiomètre auto-foreur.

L'auto-forage a pour but de placer des sondes au sein d'un terrain sans le perturber et de pouvoir ainsi pratiquer des essais mécaniques sur un sol intact : essais pressiométriques, essais de perméabilité, ou pénétromètre latéral. Un carottier à paroi mince portant sur son flanc des appareils d'essais et de mesures est enfoncé dans le sol sous l'action de forces statiques. Au fur et à mesure de l'enfoncement du carottier, le sol est découpé et pénètre à l'intérieur de l'appareil. Il y est détruit par un outil désagregateur statique, les copeaux sont remontés à la surface par l'intérieur de l'appareil puis du forage, grâce à l'injection d'eau ou de boue bentonitique sous pression.

De cette manière, le sol situé le long des flancs de la sonde n'a subi ni pollution

par la boue des forages, ni décompression. La seule action perturbatrice provient des frottements latéraux exercés le long des flancs durant la pénétration. Ce type d'appareil convient particulièrement pour les sols fins, argile, limon et sable. Par contre, une proportion d'éléments grossiers supérieure à 5 mm finit par bloquer l'outil désagregateur et même empêche la pénétration.

Ce type d'appareil a été développé simultanément par l'Université de Cambridge en Grande-Bretagne et par les Laboratoires des Ponts et Chaussées en France. Les pétroliers les utilisent maintenant pour les reconnaissances profondes en mer. Pour interpréter les résultats du pressiomètre auto-foreur, on se reportera naturellement aux recommandations du constructeur. Actuellement, la pratique est très différente de celle qui a été mise au point pour le pressiomètre Ménard (Baguelin, 1978 et 1979).

Il paraît utile de préciser que la grande chance du pressiomètre a été pendant une vingtaine d'années que les prescriptions d'utilisation soient parfaitement définies par Louis Ménard pour un seul type d'appareil.

Mais il apparaît que depuis 1980, devant le succès de la pressiométrie de très nombreuses sociétés ont créé leur propre pressiomètre, avec ou sans cellules de garde, avec différentes caractéristiques. Il en résulte qu'avec ces appareils, les valeurs mesurées ne correspondent plus ni à celles du pressiomètre Ménard, ni à celles du pressiomètre auto-foreur. Il faut donc mettre en garde les utilisateurs sur les difficultés d'interprétation que cela peut créer.

Pressio-pénétromètre.

Un nouvel appareillage destiné à l'étude *in situ* des sols sous des profondeurs d'eau pouvant atteindre 100 m a été mis au point par le Laboratoire Régional des Ponts et Chaussées de Saint-Brieuc avec les Techniques Louis Ménard et le C. E. A. (Jezequel, 1982). Cet appareil permet, en particulier, de mesurer la résistance à la pénétration statique ou dynamique des sols et d'effectuer, également, des essais pressiométriques, notamment de type cyclique grâce à une chaîne électronique de commandes automatiques des essais et de traitement en temps réel des informations. Il est certain que cet appareil, mis au point pour les reconnaissances en mer, permettra grâce aux courbes de pénétration enregistrées de réaliser les essais pressiométriques aux niveaux les plus judicieux.

12.3 ESSAIS DE BATTAGE.

12.3.1 Essai de pénétration normalisé (Standard Penetration Test).

Principe.

En 1902, Charles R. Gow a substitué au système de reconnaissance par lance hydraulique, une méthode de prise d'échantillons à sec. Il utilisait alors un tube d'un pouce de diamètre enfoncé par battage avec une masse de 110 livres.

En 1927, Linton Hart et Gordon A. Fletcher de la société Raymond Concrete Pile, mirent au point un carottier, fendu longitudinalement, de 2 pouces de diamètre qui fut connu plus tard sous le nom de « Standard Penetration Test » (S. P. T.).

Le principe de la reconnaissance dite « S. P. T. » est le suivant : on exécute un forage et on descend ensuite au fond du trou un carottier normalisé que l'on enfonce de 15 cm dans la couche à reconnaître. Le sondeur marque alors un repère sur les tiges et enregistre le nombre N de coups nécessaires pour enfoncer à nouveau le carottier sur une profondeur d'un pied (30 cm). Le mouton qui sert à battre le carottier pèse 140 livres (63,5 kg), sa hauteur de chute est de 30 pouces (76,2 cm), ce qui correspond à un travail de 0,5 kJ par coup environ.

Le S. P. T., relativement peu employé en Europe, est utilisé systématiquement dans tous les pays d'Amérique. Ses modalités d'application sont définies par de nombreuses spécifications.

Influence de la nappe phréatique.

Le nombre de coups N pour enfoncer un carottier normalisé sur une hauteur de 30 cm, peut varier dans le sable fin avec le niveau de la nappe phréatique.

Si on appelle N' le nombre de coups enregistré au-dessous de la nappe, la valeur équivalente N qui doit être prise en considération est donnée par Terzaghi et Peck par l'expression :

$$N = 15 + \frac{1}{2} (N' - 15).$$

Pression admissible.

Terzaghi et Peck ont donné en fonction de N les valeurs des coefficients de capacité portante N_q et N_c ; ils ont, de même, dressé des abaques donnant directement la pression admissible pour des semelles encastrées ou non, avec un coefficient de sécurité de 3.

Pour les milieux cohérents, ils ont proposé, après de nombreuses recherches comparatives, de lier N à la consistance des argiles ainsi qu'à leur résistance à la compression simple mesurée en laboratoire sur échantillon non remanié.

Le tableau VII ci-dessous précise ces relations :

TABLEAU VII

| N | Consistance de l'argile | Résistance à la compression simple (kPa) |
|-------|-------------------------|--|
| 2 | très molle | 25 |
| 2-4 | molle | 25-50 |
| 4-8 | moyenne | 50-100 |
| 8-15 | raide | 100-200 |
| 15-30 | très raide | 200-400 |
| 30 | dure | 400-800 |

Pour les sables, ces mêmes auteurs proposent la relation ci-dessous avec la compacité :

TABLEAU VIII

| N | Compacité du sable |
|-----------------|---------------------|
| 0-4 | très lâche |
| 4-10 | lâche |
| 10-30 | moyennement compact |
| 30-50 | dense |
| au-dessus de 50 | très dense |

Causes d'erreurs.

Il est bien évident que les relations indiquées ci-dessus ne sont qu'approchées. En effet, beaucoup de facteurs peuvent influencer sur les valeurs obtenues pour N , en particulier :

- l'état de surface intérieur et extérieur du carottier dont les parties rouillées ou bosselées peuvent modifier considérablement le frottement dans les couches traversées ;
- l'affûtage du tranchant de la trousse coupante ;
- la position de la nappe phréatique par rapport au niveau de l'essai ;
- la forme et la surface des événements ;
- la position relative du fond du trou et du bord inférieur du tubage au début du battage ;
- le temps écoulé entre le forage du trou et l'essai S. P. T. proprement dit ;
- enfin, la flexibilité des tiges qui absorbe une partie de l'énergie du mouton dans le cas de sondages très profonds. Cambefort a proposé de supprimer cet inconvénient en battant le carottier avec une coulisse.

Parmi les autres facteurs importants qui peuvent affecter les résultats du S. P. T., G. A. Fletcher signale encore :

- la variation de la hauteur de chute du mouton ;
- l'emploi de tiges plus lourdes que prévu ;
- la grande longueur des tiges (au-delà de 15 mètres) ;
- la chute libre du mouton entravée pour quelque cause que ce soit ;
- le manque de soin dans le comptage des coups ou la mesure de la pénétration.

Il est donc évident que dans ce domaine, le facteur humain a une influence non négligeable (Sanglerat G. et Sanglerat T. R. 1982) ; cependant, exécuté avec soin dans des conditions normales, le S.P.T. peut fournir des renseignements très intéressants (Décourt 1982).

Remarque générale.

Il est nécessaire de ne pas se faire d'illusion sur la signification du qualificatif « standard ». En effet, selon les pays, les caractéristiques des appareils sont loin d'être uniformes et dans un même pays, comme aux Etats-Unis ou au Brésil par exemple, il existe différents types de S. P. T.

Il est évident, naturellement, que les tableaux ci-dessus, comme les abaques de Terzaghi et Peck ne peuvent être employés que pour le « S. P. T. » correspondant au carottier et au mouton normalisés utilisés par ces auteurs, sinon des erreurs considérables pourraient être commises.

Le S. P. T. présente l'avantage de rendre compte de la nature des couches traversées, grâce aux échantillons prélevés. Cependant, les résultats obtenus sont discontinus et des couches de faible épaisseur peuvent échapper à ce type de reconnaissance de même qu'au pressiomètre.

12.3.2 Pénétrètres dynamiques.

Description.

Ce type d'essai, qui consiste à faire pénétrer dans le sol par battage des tiges métalliques à l'aide d'un mouton tombant en chute libre, est inspiré par les mêmes principes que le S. P. T. mais il met en œuvre un matériel plus simple et plus robuste.

Pour estimer la consistance des couches en place et améliorer le procédé trop rudimentaire d'enfoncement d'une barre à mine ou le battage d'un rail ou d'un fer profilé, divers appareils ont été conçus à partir d'un treuil léger, d'une petite chèvre métallique, d'un mouton, d'une enclume et de tiges de sondage qui se vissent les unes aux autres.

Il existe entre autre actuellement sur le marché, une gamme très complète produite par la Société-Bévac en Suisse, qui comprend des pénétrètres manuels simples, semi-automatiques et automatiques. Ces pénétrètres peuvent être fournis avec des énergies de battage différentes. Un tube carottier complète ces appareils pour la prise d'échantillons non remaniés d'un diamètre de 25 mm et d'une longueur de 150 mm. Un équipement de mesure de la résistivité offre des renseignements complémentaires sur le niveau de l'eau, la molasse en place, la superposition de bancs d'argile et de tourbe, etc.

Les résultats des essais sont représentés par des graphiques donnant, en fonction de la profondeur atteinte par l'extrémité inférieure des tiges :

- soit le nombre de coups N correspondant à un enfoncement de 10, 20, 25 ou 30 cm,
- soit la résistance de pointe au battage déduite de la formule des Hollandais avec un coefficient de sécurité 1 ; cette résistance est souvent appelée « résistance dynamique conventionnelle R_d ».

Avantages et limites des pénétrètres dynamiques.

A l'origine, les pénétrètres dynamiques ont été conçus pour apprécier la compacité des sols sans cohésion ou à faible cohésion dans lesquels il est souvent difficile, sinon impossible, de prélever des échantillons intacts. Ces essais ne nécessitent pas d'eau. Ils sont, comme le pénétrètre statique, intéressants pour les régions arides. L'appareillage utilisé est généralement léger et peu encombrant, il convient particulièrement à certains pays en voie de développement, dans les zones montagneuses et pour tous les lieux difficiles d'accès aux véhicules.

Mais les résultats obtenus peuvent être faussés par certains facteurs :

- le sol peut refluer autour de la pointe et se décomprimer au-dessus d'elle ;
- la rapidité du fonçage fait que dans les sols peu perméables immergés, une part notable de l'énergie de battage peut se transmettre à l'eau interstitielle en augmentant instantanément la résistance ;
- enfin, une proportion variable et inconnue du frottement latéral s'ajoute à la résistance à la pointe. Il n'est pratiquement pas possible de mesurer, séparément, au cours de ces essais, l'effort de pointe et le frottement latéral.

Il existe trois types principaux de pénétrètres dynamiques :

- les pénétrètres dans lesquels le fût et la pointe ont le même diamètre (ce type d'appareil est absolument à proscrire) ;
- les pénétrètres comportant une tige centrale d'un diamètre sensiblement inférieur à celui de la pointe ;
- les pénétrètres comportant également une tige centrale, de diamètre inférieur à la pointe, mais équipés d'un tube creux de diamètre identique à celui de la pointe.

Seul, ce dernier type d'appareil devrait normalement être utilisé mais il est plus onéreux et d'un maniement plus difficile que les précédents.

En effet, il n'est guère possible avec les deux autres types d'appareil de s'affranchir des effets du frottement latéral. Même dans le cas de sable pur à texture lâche, il peut arriver que le matériau se resserre autour du fût et exerce ainsi un léger frottement latéral.

En milieu cohérent, les deux premiers types de pénétrètre dynamique sont à proscrire absolument. En effet, le frottement latéral peut être considérable et rendre très difficile, sinon impossible, toute interprétation sérieuse des diagrammes de pénétration dynamique. Dans certains cas particuliers, on a pu ainsi attribuer une valeur de 8 MPa à la résistance de pointe, alors que, mesurée au pénétrètre statique, celle-ci n'excédait pas 1 MPa.

Dans chacun des trois types de pénétrètre dynamique décrits ci-dessus, il existe deux catégories :

- les pénétrètres légers,
- les pénétrètres lourds.

Cette distinction est en rapport, quelquefois, avec le diamètre des tiges utilisées, mais surtout avec le poids du mouton et sa hauteur de chute ; autrement dit, les adjectifs lourds et légers correspondent à des énergies de battage importantes ou faibles.

L'expérience montre que les pénétromètres dynamiques légers sont rapidement bloqués dans les milieux graveleux ou sableux serrés. En conséquence, il est toujours préférable de recourir aux pénétromètres dynamiques lourds dont l'énergie de battage (poids du mouton multiplié par la hauteur de chute), ne doit pas descendre en dessous de 1 200 J.

En raison de la multitude de pénétromètres dynamiques fort différents existant dans différents pays, il a paru nécessaire, à la suite du 1^{er} Symposium sur les essais de pénétration tenu à Stockholm en 1974, de créer une Commission internationale de standardisation. Les recommandations de cette commission ont été adoptées lors du 9^e Congrès International de Mécanique des Sols de Tokyo en 1977. Il n'a été retenu que deux types de pénétromètre dynamique :

1) La pénétration dynamique A (appelée DPA, de l'expression anglaise Dynamic Probing A) qui utilise soit de la boue de forage à la bentonite, soit un tubage de revêtement extérieur, pour éliminer le frottement latéral le long du train de tiges. (Pénétromètre de référence.)

2) La pénétration dynamique B (DPB) mise en œuvre sans boue de forage, ni de tubage de revêtement.

Le frottement le long des tiges peut être estimé par la mesure du couple nécessaire pour la rotation du train de tiges. Le pénétromètre DPB est semblable au pénétromètre dynamique utilisé en Europe Centrale et Nordique et en particulier à la méthode suédoise appelée RAM SOUNDING.

Les caractéristiques auxquelles doivent répondre les pénétromètres qui veulent se conformer à l'un des deux pénétromètres dynamiques retenus par la norme internationale sont résumées dans le tableau IX ci-après.

Tant pour le pénétromètre dynamique de référence DPA que pour le pénétromètre DPB, les pointes peuvent être du type fixe ou « perdues » (donc laissées en fond de sondage lorsqu'on remonte les tiges).

On constatera que la Commission Internationale, par souci de rentabilité pour les entreprises de sondages, a décidé de ne retenir qu'un seul mouton et qu'une seule hauteur de chute, et pour favoriser la standardisation des dispositifs de battage, ce poids de mouton et cette hauteur de chute ont été pris égaux à ceux de l'essai SPT (cf. § 12.3.1) également défini par une norme internationale très voisine des recommandations américaines antérieures.

La forme de la pointe dans un pénétromètre dynamique est quelque chose d'extrêmement important et les deux seules pointes qui ont été standardisées sur le plan international (pénétromètre DPA et pénétromètre DPB) sont représentées sur la figure XII-19.

La cadence de battage doit être comprise entre 20 et 60 coups par minute (la cadence recommandée est de 30 coups par minute). Dans les sols cohérents, la cadence de battage ne doit pas excéder 30 coups par minute. Le nombre de

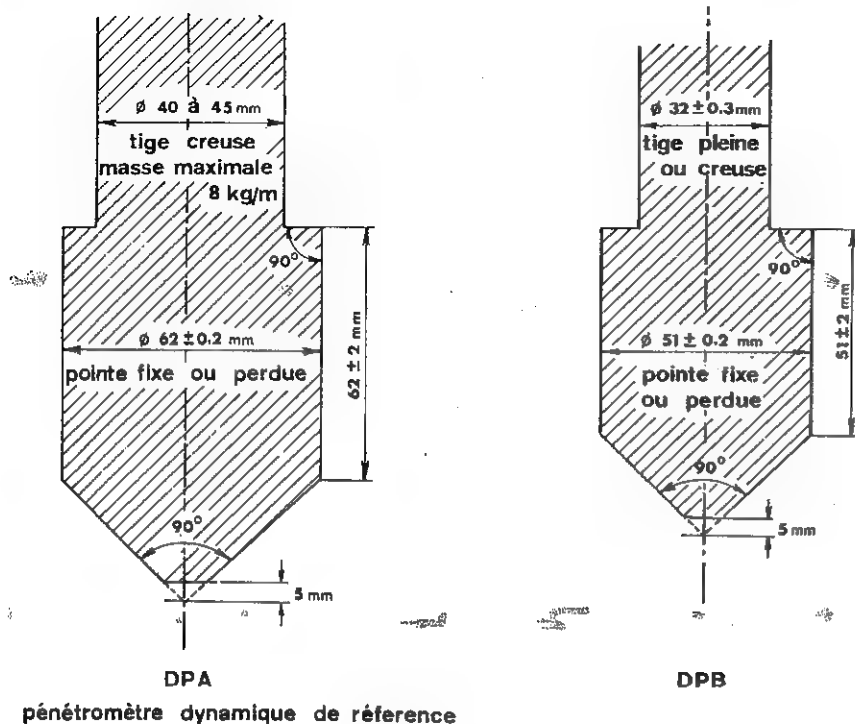
TABLEAU IX
Pénétromètres dynamiques normalisés

| Facteurs | Pénétromètre de référence | |
|---|---------------------------|-----------|
| | Norme DPA | Norme DPB |
| Masse du mouton en kg | 63,5 ± 0,5 | |
| Hauteur de chute en m | 0,75 ± 0,02 | |
| Masse de l'enclume en kg | 10 à 15 | |
| Plage normale de battage : nombre de coups/0,2 m | 5 à 100 | |
| Rebond maximum en % | 50 | |
| Rapport longueur enclume sur diamètre du mouton | 1 à 2 | |
| Longueur de la tige en m | 1,0 à 2,0 ± 0,1 % | |
| Masse maximale d'une tige en kg/ml .. | 8 | |
| Courbure maximale, tige neuve en % .. | 0,1 | |
| Courbure maximale tige usagée en % .. | 0,2 | |
| Excentrement maximal des tiges en mm | 0,2 | |
| Diamètre de la tige en mm | 40 à 45 | 32 ± 0,3 |
| Angle au sommet de la pointe | 90° | |
| Section nominale de la pointe en cm ² (cf. Fig. XII-19 | 30 | 20 |
| Diamètre d'une pointe neuve en mm ... | 62 ± 0,2 | 51 ± 0,2 |
| Diamètre d'une pointe usagée en mm ... | 60 | 49 |
| Longueur cylindrique de la pointe en mm | 62 ± 2 | 51 ± 2 |
| Angle de décrochement à la face supérieure de la pointe | 90° | |
| Stabilisation du trou de sondage | oui | non |

coups doit être relevé tous les 0,2 m d'enfoncement. Normalement la pénétration dynamique n'est pas adaptée aux sols cohérents ni aux sols pulvérulents, très lâches.

En URSS, la pénétration dynamique est interdite dans les argiles.

Quel que soit le type d'appareil utilisé, il faut considérer que le pénétromètre dynamique ne peut donner en milieu cohérent que des indications qualitatives sur la succession des couches (Sanglerat, 1974).



pénétrömètre dynamique de référence

FIG. XII-19. — Pointes et tiges de pénétrömètre dynamique (normes internationales).

Ceci conduit naturellement à rechercher un procédé de mesure plus précis qui dissocie sans erreur possible frottement latéral et résistance de pointe, c'est le pénétrömètre statique (cf. article 12.4).

Interprétation des diagrammes de pénétration dynamique en milieu pulvérulent.

L'expérience a montré que la résistance dynamique des pieux battus en milieu pulvérulent est souvent voisine de celle mesurée à l'aide du pénétrömètre dynamique. Mais elle peut, dans le cas de certains graviers, n'être que la moitié de celle-ci.

Comme les batteurs de pieux ont l'habitude, en France, d'utiliser la formule des Hollandais avec un coefficient de sécurité de 6, on pourra, en première approximation, pour les projets de fondations profondes, prévoir que la pression admissible q_{ad} des pieux battus sera donnée par la fourchette suivante :

$$\frac{R_d}{12} < q_{ad} < \frac{R_d}{6}$$

Il est évident que les pénétrömètres dynamiques légers n'ont pas une puissance suffisante pour écarter les graviers les uns des autres. Ils peuvent donc donner un « refus apparent » prématuré absolument sans signification, qui peut donc être dangereux s'il est mal interprété. Ce risque justifie l'utilisation de méthodes complémentaires peu coûteuses, telles que la sismique-réfraction ou la résistivité. Dans le cas de refus, il est intéressant de recommencer un essai dans le voisinage immédiat du sondage initial, afin d'éliminer l'éventualité d'un refus causé par une pierre ou un bloc isolé. Un accroissement brusque de résistance (de 1 à 200 MPa par exemple) ne constitue pas forcément un critère sûr permettant de déceler la présence d'une couche résistante pouvant être considérée comme porteuse.

L'utilisation de pénétrömètres dynamiques en milieu cohérent sous la nappe peut être très dangereuse (Sanglerat, 1974).

12.4 PÉNÉTRÖMÈTRE STATIQUE.

12.4.1 Appareillage.

C'est Alexandre Collin qui a utilisé, en 1846, le premier pénétrömètre statique. En effet, ce géotechnicien s'était rendu compte de l'importance de l'argile dans l'équilibre des talus et avait mis au point un pénétrömètre de petite dimension pour déterminer la cohésion d'échantillons de sol. Il a donné le compte rendu de 30 mesures de cohésion portant sur six espèces d'argile prises à divers degrés de consistance, depuis celui de la terre très fluante, jusqu'à celui d'un sol desséché à l'air. Le degré de consistance était mesuré, suivant la technique utilisée par Vicat pour les ciments, par l'enfoncement instantané d'une tige à base conique pesant 1 kg et d'un diamètre de 1 mm.

Cette idée a été reprise, en 1931, par Godskesen des chemins de fer danois qui a créé un pénétrömètre de poche ayant une pointe conique de 15 mm de diamètre, l'angle au sommet étant de 60°.

Terzaghi, en 1929, a mesuré d'une manière continue les variations de la résistance statique qu'un sable oppose à la pénétration d'un cône descendu verticalement. Pour faciliter l'avancement, Terzaghi avait improvisé un sondage à la lance hydraulique de telle sorte que l'enfoncement du cône était pratiquement indépendant de la profondeur.

A la même époque, le professeur Buisman étudiait au laboratoire de Delft, le principe de l'enfoncement statique dans une couche de sable d'un cône, mais sans emploi de lance hydraulique. C'est Barentsen qui a inventé et breveté le procédé tube-tige-cône (Fig. X-8 et Fig. XII-20).

Les pénétrömètres statiques sont des appareils qui permettent d'enfoncer, à vitesse lente et constante (0,5 à 2 cm par seconde), des tiges à l'aide d'un vérin. Ils sont conçus pour mesurer séparément la réaction des couches traversées

sous la pointe et le frottement latéral sur les tubes extérieurs qui entourent la tige centrale.

La Goudsche Machinefabriek de Gouda a mis au point en 1946 un pénétromètre à main de 2,5 tonnes, puis en 1948 un appareil de 10 tonnes équipé ultérieurement d'un moteur et en 1967 un nouvel appareil de 17,5 tonnes comportant un dispositif de forage pour la traversée des couches dures.

La transmission des efforts reçus par la pointe peut être effectuée soit par des tiges (pénétromètre hollandais, Meurisse ou Andina), soit par un système hydraulique (pénétromètre Parez) jusqu'aux manomètres placés en surface. On peut également mesurer les efforts subis par la pointe du pénétromètre à l'aide de jauges de contrainte (pénétromètre électrique Fugro).

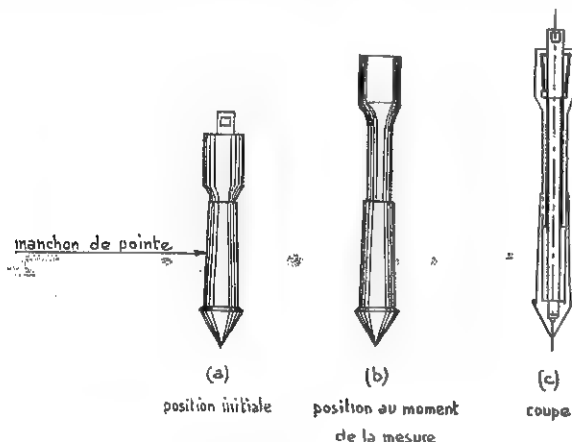


FIG. XII-20. — Pénétromètre hollandais (cône type Delft).

Le pénétromètre hollandais possède un cône mobile ayant un angle au sommet de 60° dont la section est de 10 cm^2 (Fig. XII-20). L'ancrage au sol est réalisé à l'aide de vis hélicoïdales ou parfois par un chargement de terre ou d'eau. Le pénétromètre peut également être installé sur un camion. A l'intérieur d'un tube extérieur absorbant le frottement latéral, coulisent des tiges transmettant les pressions aux appareils de mesure composés de têtes hydrauliques ou de manomètres. C'est le prototype des appareils de pénétration statique qui dérivent tous plus ou moins de l'idée première de Barentsen. En effet, ce qui importe, c'est de dissocier le frottement latéral de la résistance à la pointe.

Les diagrammes de pénétration statique représentent, en fonction de la profondeur atteinte par l'extrémité inférieure des tiges pourvue d'une pointe spéciale, d'une part la résistance à la rupture R_p sous la pointe et, d'autre part, le frottement latéral cumulé le long des tubes extérieurs, ou mesuré tous les 25 ou 50 cm sur un manchon spécial placé au-dessus de la pointe (Fig. XII-21).

La Commission Internationale de standardisation a proposé de retenir comme pénétromètre de référence, le cône fixe avec manchon de frottement

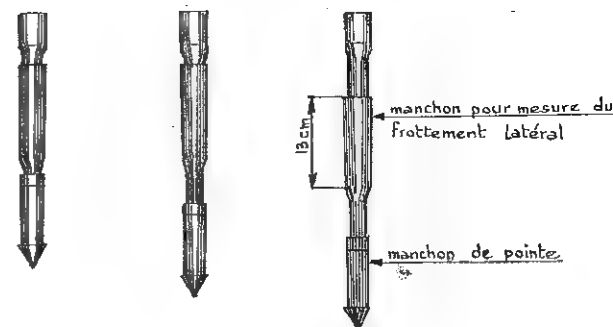


FIG. XII-21. — Pénétromètre hollandais avec manchon de mesure du frottement latéral.

latéral, ayant un diamètre de $35,7 \text{ mm}$ (10 cm^2). Sa pointe est représentée sur la figure XII-22. Il est évident que ce cône ne donnera pas toujours les mêmes résultats que le cône type Delft (Fig. XII-20). C'est pourquoi il est extrêmement important de bien préciser sur tous les diagrammes de pénétration le type de cône avec lequel ils ont été obtenus.

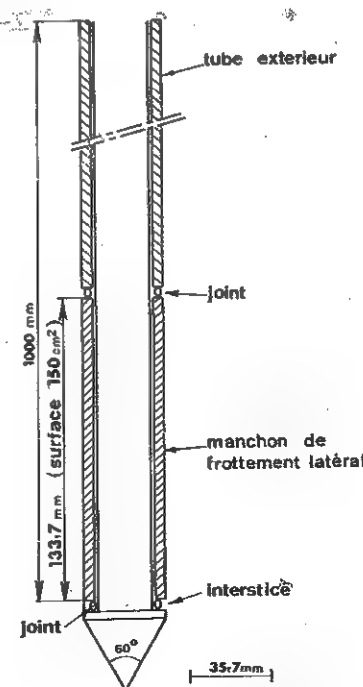


FIG. XII-22. — Pointe fixe avec manchon de frottement latéral (pénétromètre statique de référence).

12.4.2 Interprétation des diagrammes de pénétration.

Il a été indiqué en 9.5.1 la manière de déduire des diagrammes de pénétration statique la pression admissible des fondations superficielles.

Pour les fondations profondes l'expérience a montré que les efforts sous les pieu et pénétromètre pouvaient être considérés comme homothétiques, sous réserve que l'encastrement dans la couche considérée soit suffisant. Dans ce cas, la résistance à la rupture du pieu est égale à R_p .

Pour bien comprendre le mécanisme du fonctionnement du pénétromètre, il est indispensable d'avoir toujours présent à la mémoire les figures X-16 (transition entre deux couches de résistance très différente) et X-17 (loi de Geuze pour les tricouches). Toutes indications utiles ont été données à ce sujet dans l'article 10.5.

Mais à côté de ces évaluations directes de la capacité portante, le pénétromètre statique permet aussi une détermination de la cohésion.

Il faut prendre garde d'ailleurs à un détail. Le cône du pénétromètre hollandais possède, comme celui du pénétromètre Meurisse, un manchon qui se retourne sur la pointe pour éviter que des particules de terrain se coincent entre la tige centrale et le tube extérieur (il ne faut pas confondre ce manchon solidaire du cône avec le manchon spécial de mesure du frottement latéral dont on a parlé plus haut). Ce manchon absorbe de l'énergie par frottement contre le terrain. Il en résulte que la lecture de R_p faite sur les appareils de mesure est influencée par le frottement latéral exercé sur le manchon du cône Delft.

Pour un pénétromètre dont le cône n'a pas de manchon, comme le pénétromètre Andina, on peut admettre avec la plupart des spécialistes :

$$c_u = \frac{R_p}{10}$$

(On rapprochera cette formule de la relation $q_d = 6 c_u$ qui donne la capacité portante d'une semelle circulaire superficielle.)

Lorsque le cône comporte un manchon, il faut adopter une valeur différente. Dans le cas particulier du pénétromètre hollandais, ou du pénétromètre Meurisse, la formule

$$c_u = \frac{R_p}{15}$$

paraît la plus appropriée.

Naturellement, ces formules ne sont valables que pour déterminer la cohésion à proximité de la surface. Si l'on cherche à évaluer la cohésion à plus grande profondeur, il faut tenir compte de l'influence du poids des terres σ_0 au niveau de l'essai et remplacer dans les formules précédentes R_p par $R_p - \sigma_0$.

Dans les argiles raides, c'est-à-dire dès que $R_p > 3,5$ MPa on peut admettre que l'influence du frottement latéral sur le cône à manchon est négligeable.

La cohésion peut être également mesurée à partir du frottement latéral. En effet, il est possible d'admettre, dans les milieux sans frottement ($\varphi_u = 0$), que le frottement latéral unitaire est égal à la cohésion en première approximation, donc :

$$c_u = \frac{1}{\pi d} \times \frac{\Delta Q_f}{\Delta z}$$

où d est le diamètre du pénétromètre et ΔQ_f la variation du frottement latéral, correspondant à la variation de profondeur Δz .

Naturellement, le frottement latéral doit être mesuré avec précision. Les manchons spéciaux, type Begemann (Fig. XII-21) ou Andina (Fig. XII-23), permettent de le déterminer sans erreur possible à différents niveaux. Par contre, les mesures globales du frottement latéral cumulé sont souvent imprécises.

On rappelle enfin que le pénétromètre, permet aussi, une évaluation du module oedométrique (cf. § 3.4.5).

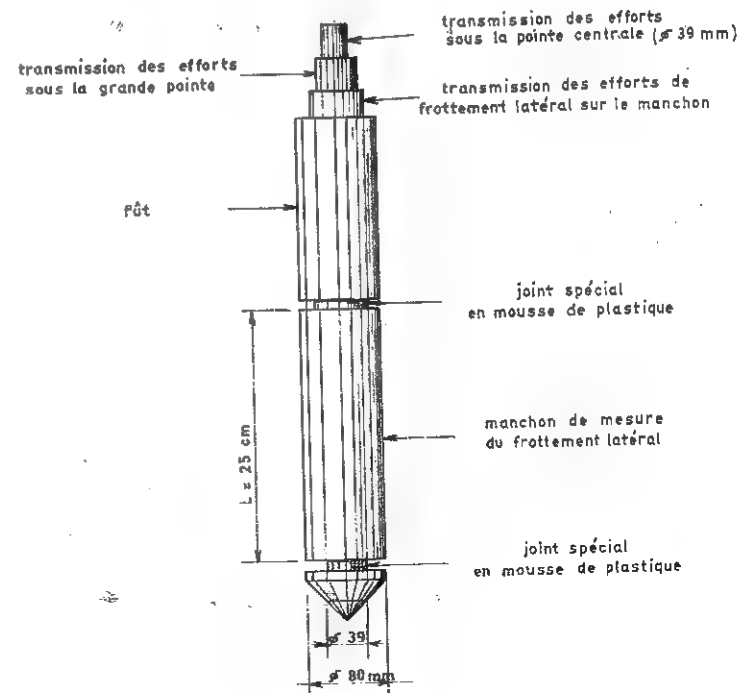


FIG. XII-23. — Pénétromètre Andina (cône simple).

Contrôle du compactage.

Les méthodes traditionnelles de contrôle de compactage, essais à la plaque, densité Proctor, sont naturellement en échec lorsque le compactage s'effectue sur de grandes épaisseurs, par exemple dans le cas de la vibroflottation ou du compactage dynamique Ménard. De même ces méthodes traditionnelles sont absolument inutilisables lorsque les remblais sont mis en œuvre, soit sous la nappe, soit à sec par grande quantité (20 000 à 40 000 m³ par jour), comme sur les grands chantiers d'autoroute. En effet, la cadence de mise en œuvre des remblais et la circulation des engins ne permettent pas de contrôler d'une manière économique et pratique, le compactage couche par couche.

On peut lever la difficulté en se fixant *a priori* des résistances de pointe du pénétromètre statique à atteindre en fonction des constructions envisagées.

On peut se donner d'ailleurs comme guide le tableau X pour le gravier propre et sableux, qu'il soit sous la nappe ou hors d'eau.

TABLEAU X
Relation entre compactage et R_p

| Remblais Type — Compacité | R_p (MPa) |
|---|-------------|
| Gravier propre lâche | 1,5 à 2,5 |
| Gravier sableux lâche | 0,3 à 4,5 |
| Gravier sableux moyennement compact | 8 à 12 |
| Gravier sableux très bien compacté | > 20 |

Naturellement, cette méthode n'est valable que pour des couches de remblais ayant au moins un mètre d'épaisseur.

Les diagrammes de pénétration statique mettent en évidence, d'une manière très claire, soit les couches où les remblais de bonne qualité ont été remplacés accidentellement par des remblais argileux, soit, lorsque la qualité des matériaux est correcte, les zones qui ont été moins bien ou mal compactées. Le diagramme de pénétration statique est un juge clairvoyant et sévère, aucune mal-façon ne lui échappe; si les résistances de pointe obtenues ne sont pas celles fixées contractuellement (cf. tableau X), l'entrepreneur devra reprendre les travaux de compactage à ses frais.

12.4.3 Pénétromètre statique-dynamique.

Le pénétromètre statique est très intéressant pour l'étude des couches peu résistantes mais il risque d'être bloqué dans des couches compactes qui sont facilement traversées par le pénétromètre dynamique. Par contre, ce dernier

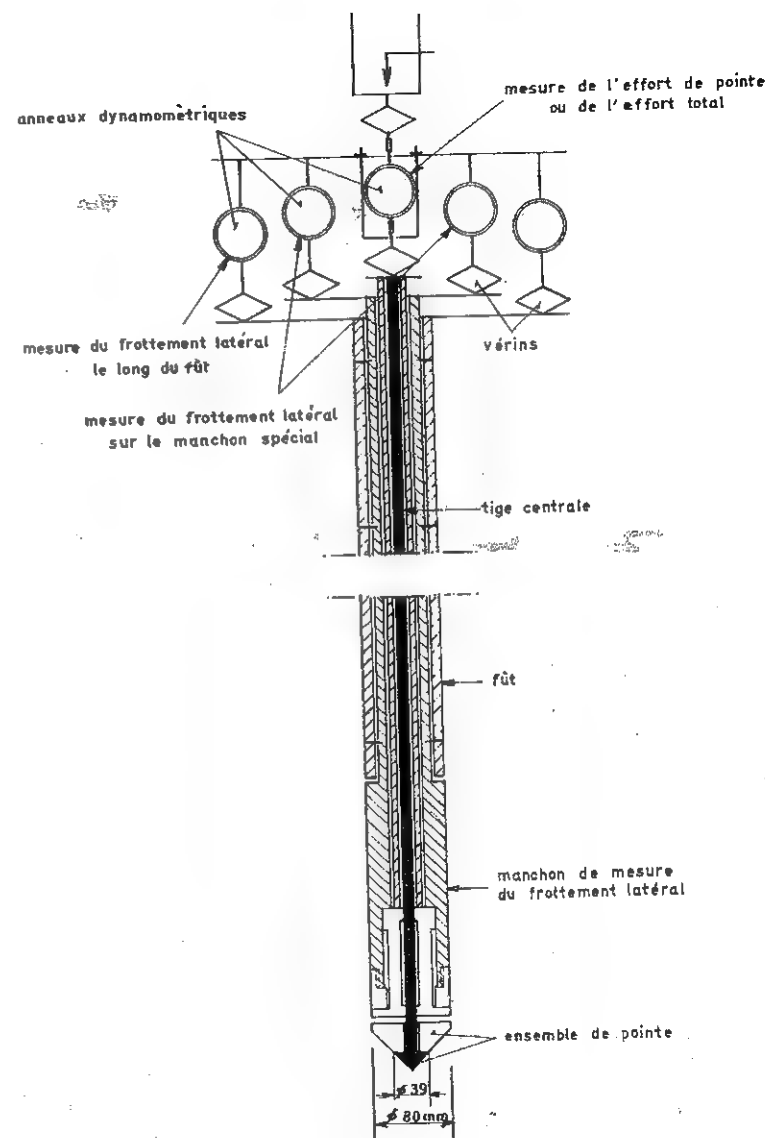


FIG. XII-24. — Principe du pénétromètre statique dynamique Andina.

appareil fournit des indications qui sont difficiles, sinon impossibles, à interpréter en milieu cohérent particulièrement sous la nappe phréatique.

C'est donc tout naturellement qu'on a tenté de réunir dans un seul et même appareil les avantages de la pénétration statique et ceux de la pénétration dynamique. C'est ainsi que sont nés les appareils Meurisse et Andina qu'il est possible d'appeler « statique-dynamique ».

En effet, tant que la résistance offerte par les couches traversées n'excède pas 30 MPa pour le premier et 50 MPa pour le second, l'essai est poursuivi en statique. Lorsque l'appareil est bloqué, on poursuit la reconnaissance en dynamique et si la résistance décroît ultérieurement, il est possible de reprendre la pénétration en statique.

Ce type d'appareil « statique-dynamique » est donc le plus intéressant car c'est celui qui fournit les renseignements les plus précis dans les milieux hétérogènes.

A titre indicatif, on donnera ci-dessous une description succincte du pénétromètre Andina (breveté en Suisse et mis en service en France en novembre 1967) dont la force maximale est de 150 kN (cf. Fig. XII-24 et XII-25).



FIG. XII-25. — Pénétromètre Andina avec dispositif de carottage prêt à l'emploi.

— *Eléments du pénétromètre statique :*

Cône fixe : Transmission par tubes et tiges.

Pointe : \varnothing 80 mm ; angle 90° ; section 50 cm^2 .

Manchon : \varnothing 80 mm ; hauteur 250 mm.

Fût : \varnothing 80 mm (ce fût absorbe le frottement latéral qui n'est pas mesuré).

Sonde centrale : pour terrains très compacts, composée de tiges de \varnothing 35 mm, terminée par une pointe de \varnothing 39 mm, angle 90° , section 12 cm^2 .

Tableau de mesure de haute sensibilité comportant trois dynamomètres assurant le contrôle continu des différents éléments ; en outre, des manomètres incorporés au circuit hydraulique des vérins de commande permettent également de contrôler les indications du tableau (Fig. XII-26).

Un compteur mesure automatiquement la profondeur des sondages.

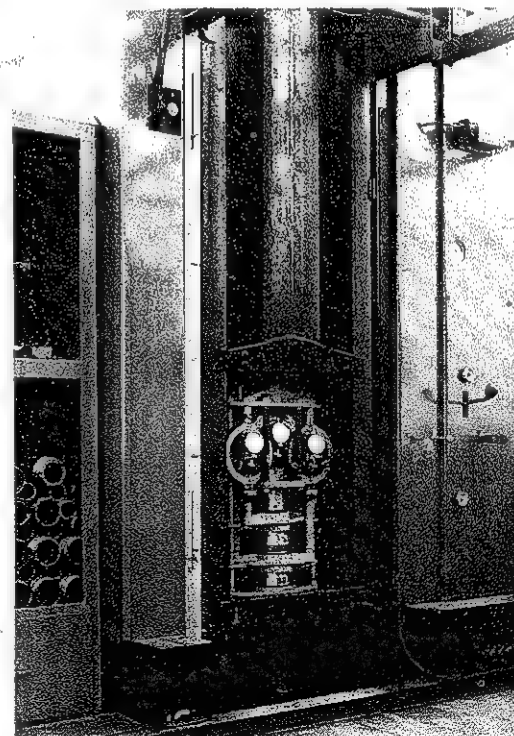


FIG. XII-26. — Détail du pénétromètre Andina (appareil de mesure et mouton).

— *Éléments du pénétromètre dynamique :*

Battage automatique ayant l'avantage d'assurer au mouton une chute libre, d'une hauteur précise et constante.

Les refus sont enregistrés automatiquement coup par coup.

Le pénétromètre Andina permet également le prélèvement, par pression ou percussion, d'échantillons non remaniés et même un carottage continu. Il est d'ailleurs possible de réaliser avec le carottier un essai de battage analogue au S. P. T. Naturellement, ces carottages ou essais de battage sont effectués après escamotage latéral des appareils de mesures de pénétration statique.

12.4.4 Utilisation combinée du scissomètre et du pénétromètre.

Il est possible d'effectuer à proximité l'un de l'autre, un essai de pénétration et un essai de cisaillement au scissomètre.

Soit R_p et c_u les valeurs obtenues respectivement avec les deux appareils à un niveau donné, la figure XII-27 montre comment, à partir de ces dernières, il est possible de déterminer la cohésion et le frottement interne.

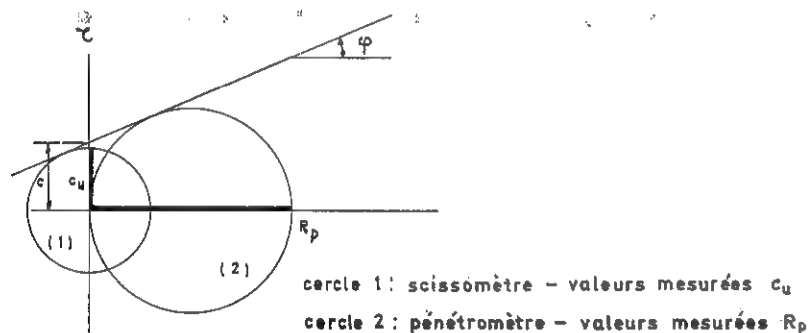


FIG. XII-27. — Utilisation combinée du scissomètre et du pénétromètre.

Cette combinaison des essais peut être utile, en particulier, lors de l'examen de fouilles préalablement à l'exécution de fondations superficielles, en utilisant simultanément un scissomètre de poche et un pénétromètre de poche, ou de préférence en comparant les indications fournies par le scissomètre de poche aux diagrammes de pénétration statique qui ont permis de déterminer préalablement la résistance des différentes couches sous-jacentes et le niveau d'assise des fondations.

Dans le même ordre d'idée T. V. Nhiem a mis au point en 1970, à Grenoble, le pénévane, qui est l'association d'un scissomètre robuste et d'un pénétromètre dynamique.

Cet appareil permet d'estimer directement la résistance limite au soulèvement des massifs de fondation, ce qui est particulièrement utile pour l'étude de la fondation des pylônes électriques. Il est employé par Electricité de France pour la reconnaissance et l'implantation des nouvelles lignes à haute tension.

12.4.5 Pénétromètre électrique quasi statique.

Très bien adapté aux sols peu résistants, tels que les limons, argiles ou sables peu denses, le pénétromètre électrique quasi statique permet des mesures *in situ* simultanées et continues de la résistance de pointe R_p et du frottement latéral unitaire R_f le long d'un manchon de mesure. Plus récemment, l'adjonction d'une pierre poreuse dans la pointe du cône de mesure a rendu possible la mesure *in situ* de la pression interstitielle, u .

Utilisant ce type de pénétromètre, Fugro (de Ruiter, 1971) a ainsi mis au point deux types d'essais :

— l'essai de pénétration quasi statique, que les Américains désignent par le sigle Q. C. P. T. (Quasi-Static Cone Penetration Test), mesurant la résistance de pointe et le frottement unitaire ;

— l'essai de pénétration piézométrique P. C. P. T. (Piezo-Cone Penetration Test), présentant les mêmes possibilités que le précédent et mesurant en plus la pression interstitielle *in situ*.

D'un angle au sommet de 60° , le cône enfoncé à 2 cm/s, présente respectivement pour ces deux types d'essais, une section usuelle de :

- 10 cm² pour le Q. C. P. T.
- 20 cm² pour le P. C. P. T.

Le manchon de mesure du frottement latéral situé au-dessus du cône du pénétromètre présente une surface développée de 150 cm².

Relié à la surface, un enregistreur trace sur papier les variations d'efforts et de pression relevées par des jauges de contraintes et par un capteur de pression interstitielle, situés dans la pointe du cône et le long du manchon de frottement.

Les données enregistrées permettent notamment l'établissement d'un ratio de frottement

$$F_R = \frac{R_f}{R_p}$$

et servent à identifier les sols traversés, estimer la résistance au cisaillement non drainée des argiles, l'angle de frottement interne et la compressibilité des sables ou argiles, prédire la force portante des pieux.

L'expérience a montré que pour les sols pulvérulents, on a toujours $F_R < 2\%$.

La mesure de la pression interstitielle (Tumay, 1981) permet une meilleure classification des sols rencontrés, et renseigne quant à la perméabilité, au potentiel de liquéfaction et aux caractéristiques de consolidation des sols traversés. Baligh (1980) a montré que le rapport $\frac{u}{R_p}$ décroît lorsque le degré de surconsolidation croît.

Parmi les avantages de ces types d'essais pénétrométriques, particulièrement adaptés aux sols mous en général, on peut citer leur fiabilité et une excellente faculté de reproduction, leur grande précision pour des enregistrements simultanés et continus, ainsi que leur simplicité d'exécution, donc leur caractère économique.

12.5 PATHOLOGIE DES FONDATIONS.

Trop souvent, une campagne de reconnaissances insuffisante, voire même l'absence de toute reconnaissance, ce qui arrive hélas encore sur certains chantiers, a des conséquences extrêmement désastreuses. Aussi, a-t-il paru souhaitable de donner quelques exemples d'accidents de fondations spectaculaires survenus dans différents pays.

On connaît l'histoire de la destruction des murailles de Jéricho en Palestine. Les Hébreux conduits par Josué attaquèrent cette ville vers 1225 avant Jésus-Christ. En portant l'Arche Sainte, et en faisant retentir les sonneries de sept trompettes, ils firent sept fois le tour des murailles. Au septième tour, celles-ci s'écroulèrent d'elles-mêmes.

En 1931, le major Toulouk entreprit des investigations à l'emplacement de ces murs et constata qu'ils reposaient sur une fondation constituée par une couche de pierres. Cette dernière paraissait s'être déplacée latéralement vers l'extérieur et avoir glissé comme si une tranchée avait été creusée le long de sa base. Le major Toulouk croit avoir expliqué ainsi d'une manière rationnelle une très vieille énigme ; cela prouverait en tout cas que les Hébreux avaient une certaine connaissance des phénomènes intervenant dans la stabilité des fondations.

12.5.1 Tour de Pise et tours de Bologne.

Sans remonter aussi haut dans le temps, la tour de Pise est l'un des exemples historiques le plus connu et le plus marquant des tassements différentiels.

La figure XII-28 montre la coupe de cet ouvrage, dont la construction a été commencée en 1173. Le premier étage ayant été achevé le 9 août 1173, les travaux furent arrêtés pendant un an — des tassements s'étant déjà manifestés, puis reprurent sur trois niveaux, et ce n'est qu'en 1272, c'est-à-dire 99 ans après la pose de la première pierre, que le campanile fut complètement terminé.

Construite d'après les plans de Bonanno Pisano, la tour est en marbre ; d'allure cylindrique, elle comporte 8 étages de 207 colonnes superposées ; son hors-plomb actuel est de 5 m.

On prétend que Galilée s'en est servi pour des expériences sur les lois de gravité.

Les premières mesures de l'inclinaison prise par la tour remontent au 15 mars 1298. A cette époque déjà, la pente toujours croissante que prenait l'édifice inquiétait les constructeurs. Dès lors, de nombreux architectes et

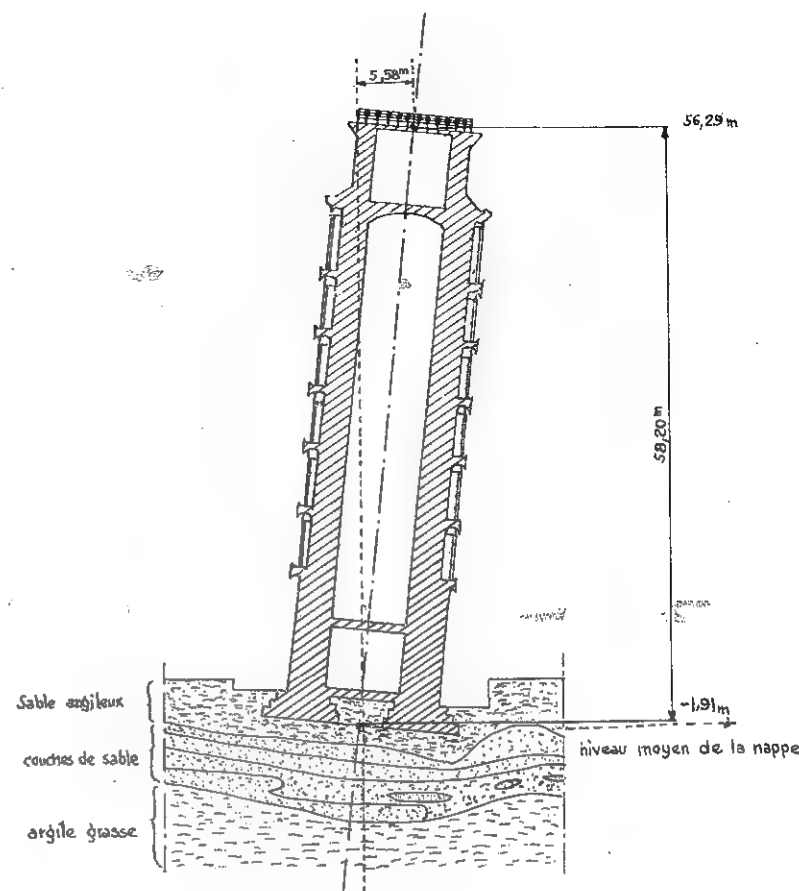


FIG. XII-28. — Tour de Pise.

ingénieurs se penchèrent sur le problème et tentèrent en vain d'arrêter les tassements qui se poursuivaient. Contre toute vraisemblance géotechnique, certains ont même imaginé que l'inclinaison de la tour avait été intentionnellement voulue par l'architecte.

Le poids de la tour est de 14 486 t, sa hauteur de 54,10 m. Une commission ministérielle, en 1933, décida de faire pratiquer 361 trous dans le sous-sol de la tour et on y injecta 93 tonnes de ciment sous forme de coulis. Un inclinomètre a été installé dans la partie haute du campanile.

La fondation repose sur une couche de sable argileux de 4 m d'épaisseur, surmontant du sable ; mais à 8 m au-dessous de la base des fondations, il existe une couche épaisse d'argile grasse.

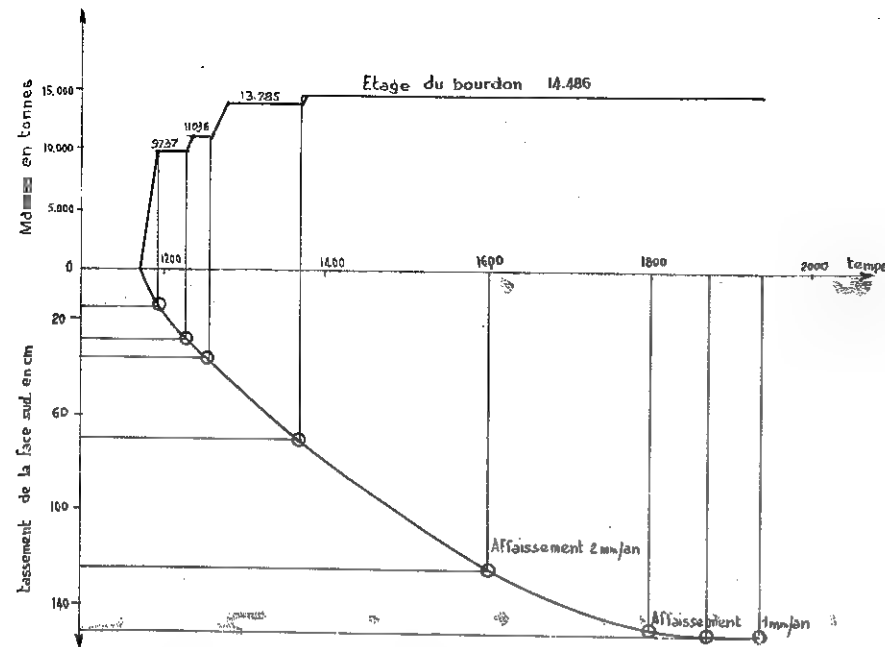


FIG. XII-29. — Diagramme des tassements de la tour de Pise.

Si la tour était restée verticale, la contrainte sur le sol serait de 514 kPa, mais, par suite de l'inclinaison, elle atteint 961 kPa.

Terzaghi est le premier à avoir analysé correctement l'origine des déformations dont le diagramme en fonction du temps, est donné sur la figure XII-29.

Vers l'année 1690, l'affaissement était de 2 mm environ par an, entre 1800 et 1900, d'un millimètre par an, et actuellement il n'est plus que de 0,7 mm par an.

Il s'agit d'un tassement différentiel dû à une hétérogénéité des couches sous-jacentes.

Il y a lieu de signaler que des tassements différentiels se retrouvent dans de nombreux bâtiments de Pise, à proximité de la tour, notamment dans le baptistère.

Quoique moins connues, les tours Asinelli et Garisenda de Bologne, qui ont respectivement 48 et 97 m de haut, accusent aussi des tassements différentiels très marqués (Fig. XII-30). Les assises de maçonneries ne sont plus horizontales, ce qui prouve nettement que l'inclinaison de ces tours est postérieure à leur construction.

On signalera que le campanile de la place St-Marc à Venise s'est effondré, en 1902, alors que son hors-plomb atteignait 8 % de la hauteur. Celui de la tour de Pise est actuellement de 9,70 %.

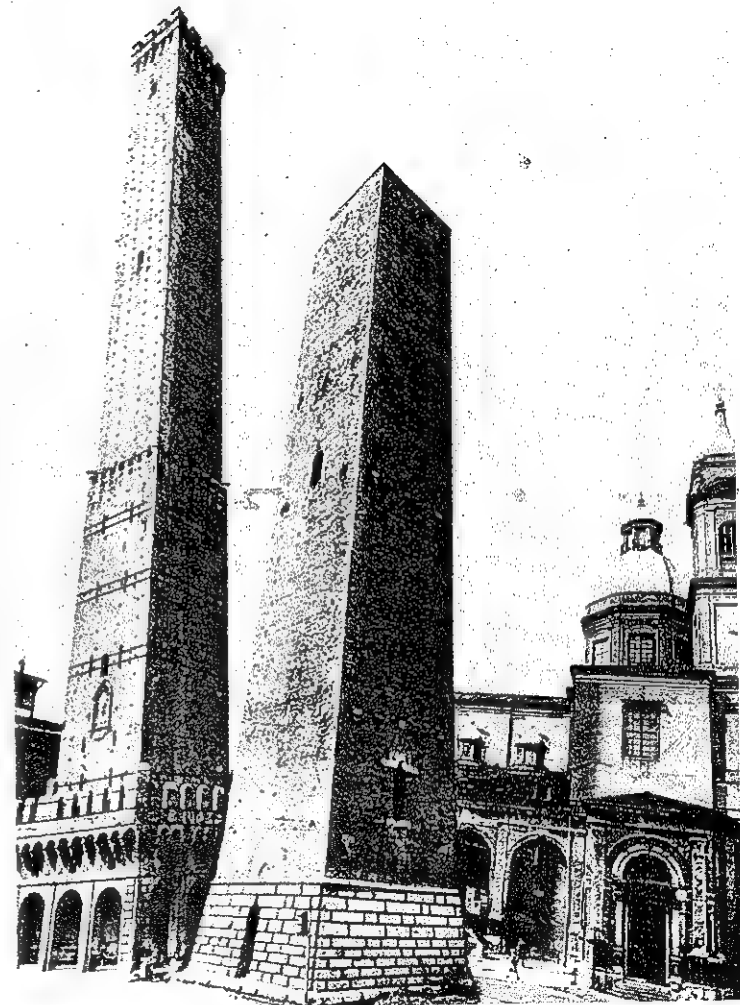


FIG. XII-30. — Tours Asinelli et Garisenda de Bologne.

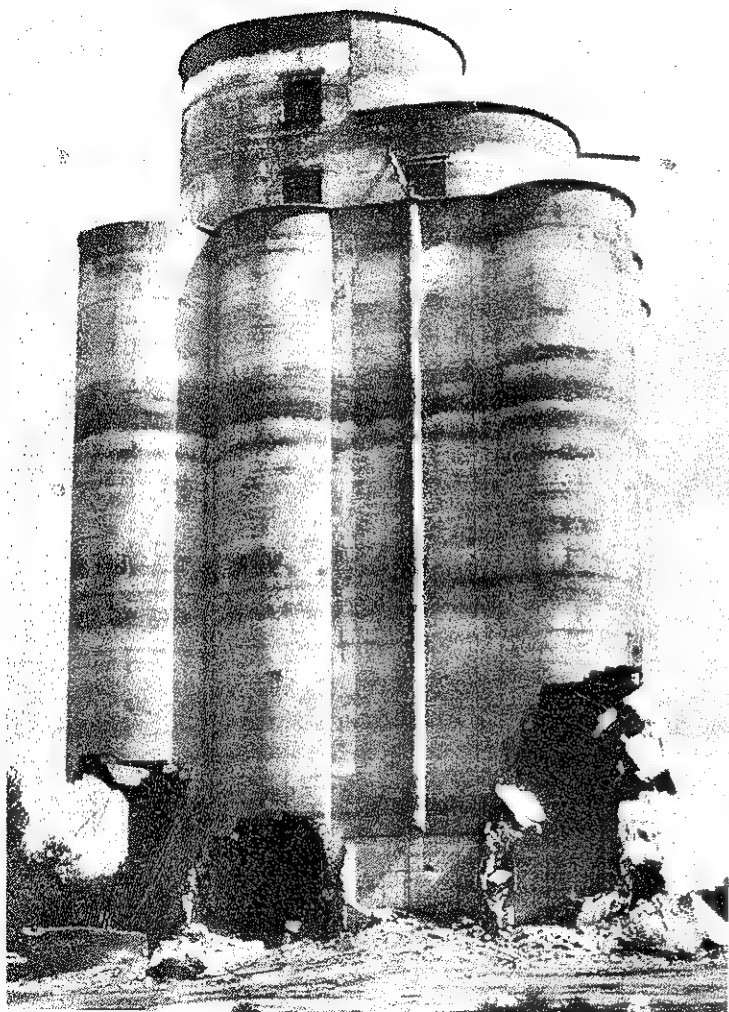


FIG. XII-31. — Poinçonnements du silo de Syracuse (Etats-Unis).

12.5.2 Accidents survenus à des silos.

Les accidents survenus à des silos sont très nombreux : les plus fréquents, en particulier celui de Winnipeg au Canada en 1955, résultent d'un tassement différentiel, provoqué par des chargements dissymétriques des cellules ayant entraîné un basculement des ouvrages. D'autres, plus rares, sont dus à des ruptures du sol par poinçonnement comme celui décrit ci-dessous.

Effondrement par poinçonnement d'un silo à grains à Syracuse (Kansas, Etats-Unis, 1955).

Lorsque le silo de Syracuse fut rempli pour la première fois en 1955, sa partie inférieure s'effondra brutalement en quelques secondes, tandis que sa partie supérieure s'enfonçait tout en restant verticale (Fig. XII-31).

Sur la photographie XII-31 on aperçoit la partie principale de l'ouvrage qui est restée, après la rupture, solidaire de la cellule centrale ; elle n'a aucune liaison avec ses fondations d'origine. L'analyse de l'accident montra que le radier de la construction principale reposait sur une couche d'argile organique très molle et très compressible de 3 m d'épaisseur, tandis que la cellule centrale, contenant les monte-charge, plus profonde que le reste de l'ouvrage, s'appuyait sur une couche de sable et gravier située à un niveau plus bas.

Basculement du silo de Transcona (Canada).

Il s'agit d'une rupture analogue à celle de Winnipeg. Le silo à blé de Transcona, construit entre 1911 et 1913, \approx 23,50 m de large sur 50,50 m de long, et une capacité de 35 000 m³. Sa fondation est constituée par un radier en béton armé de 60 cm d'épaisseur encastré à 3,60 m sous le niveau du sol, exerçant une contrainte de 0,35 MPa (accroissement net de contrainte 0,25 MPa).

Aucun examen préliminaire du sol n'avait été réalisé. Or, ce dernier était constitué par la cuvette d'un lac glaciaire comprenant des dépôts d'argile de 9 m sous 3 m d'alluvions d'origine plus récente, et reposant sur une couche d'alluvions sous-glaciaires. La plupart des bâtiments importants de la région étaient fondés sur ce substratum.

En octobre 1913, alors que le silo n'était pas encore totalement rempli, un tassement vertical de 35 cm se produisit en moins d'une heure. Le silo commença alors à se déverser et, après quelques heures, son inclinaison par rapport à la verticale dépassait 26°, l'un de ses côtés étant à 7,30 m au-dessous du niveau initial et l'autre à 1,50 m au-dessus (Fig. XII-33).

Fort heureusement, l'excellente qualité de l'ossature en béton armé permit à l'ouvrage de résister aux déformations exceptionnelles auxquelles il était soumis et de supporter une reprise en sous-œuvre exécutée en galerie sous le radier incliné qui a pu être relevé sans inconvénient en 1916. Ce silo se comporte normalement depuis.

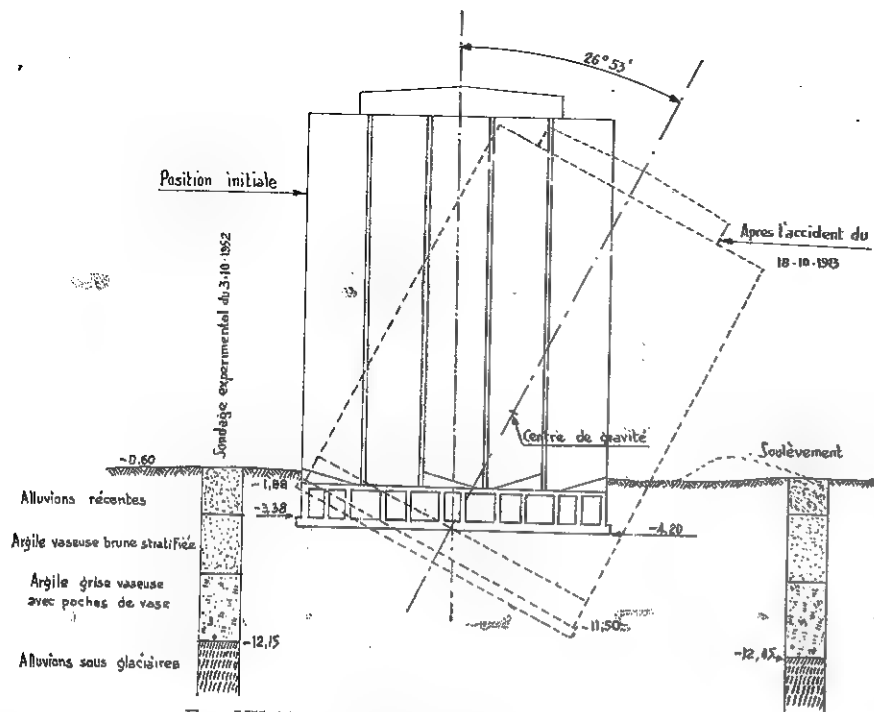


FIG. XII-32. — Coupe du silo de Transcona (Canada).

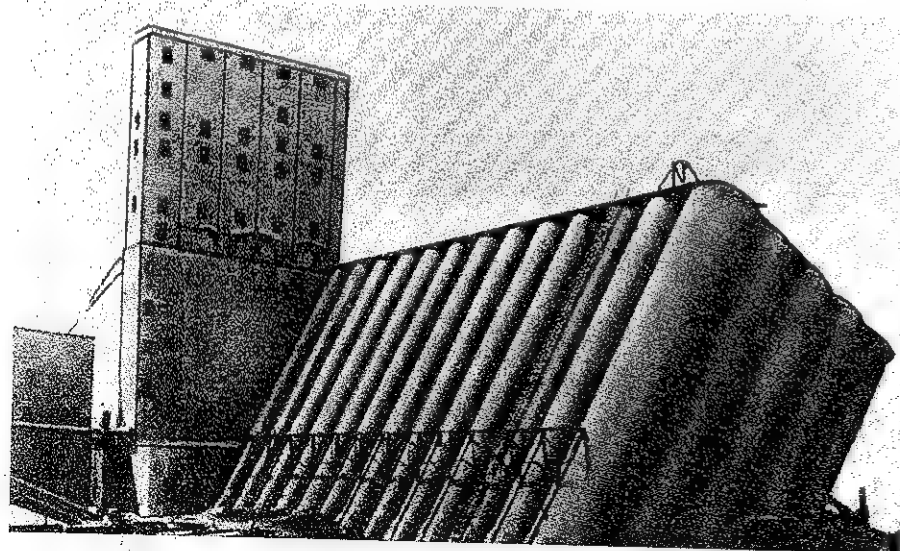


FIG. XII-33. — Basculement du silo de Transcona.

Les coupes des sondages représentées sur la figure XII-32 sont celles qui ont été réalisées par le professeur Ralph B. Peck qui a analysé l'accident en 1952 et a montré que les couches successives d'argiles stratifiées avaient des résistances à la compression simple comprises entre 120 et 70 kPa, la moyenne étant de 100 kPa. Pour la valeur la plus élevée de cette résistance, Peck a montré que l'accident n'aurait pas dû se produire, mais avec la valeur la plus faible, il était inévitable. Cela souligne le danger de prendre des valeurs moyennes dans les cas de terrains stratifiés.

12.5.3 Accidents de murs de soutènement.

Les accidents de murs de soutènement sont également nombreux et ont existé de tout temps. On en retrouve, en effet, de nombreux exemples dans les anciennes chroniques. Ancêtres des journalistes, les chroniqueurs, enclins aux récits sanglants, ont raconté comment un mur s'effondra Montée du Gourguillon à Lyon, tandis que le roi Philippe le Bel conduisait la monture du pape Clément V en 1305. Clément V fut renversé et sa tiare roula sur les pavés. Le roi échappa de justesse à la mort, près de lui, son frère et Jean, duc de Bretagne, furent tués par des pierres. Il y eut, dit-on, douze morts et beaucoup de blessés. La tombe de Jean, duc de Bretagne se trouve au centre du chœur de l'église des Carmes de Ploërmel avec cette épitaphe :

« Ci gît Jean, duc de Bretagne, qui trespasa à Lyon sur
« le Rhosne le jeudi es Octave de la St Martin d'Hiver 1305. »

Ces ruptures résultent le plus souvent d'une sous-estimation des efforts appliqués et, quelquefois, de l'absence de barbacanes. L'eau de pluie peut donc se mettre en charge, ce qui augmente considérablement la poussée.

Voici un autre exemple d'accident survenu en France, qui a causé une mort, et entraîné des dégâts matériels de l'ordre de 25 000 F (valeur 1950).

La paroi extérieure d'une cour anglaise taillée dans le rocher n'offrant pas un aspect satisfaisant, il fut décidé de la masquer par un mur de soutènement. La fouille présentait avec la verticale un angle moyen de 20°, de sorte qu'entre le mur et le rocher subsistait un vide en forme de coin, de 5 m environ de hauteur, et dont la largeur en tête variait de 1 à 2 m. La longueur était de 20 m (Fig. XII-34).

Dans l'esprit des constructeurs, le mur constituait un simple écran n'ayant à supporter aucun autre effort que son poids propre. Par suite, son épaisseur n'était que de 0,60 m à la base, et diminuait progressivement jusqu'à 0,45 m au sommet. Cependant, pour des raisons d'esthétique, et aussi pour éviter tout risque d'accident de personne, le vide triangulaire fut comblé par un remblai de sable, exécuté au fur et à mesure de la construction du mur.

Quelques jours après l'achèvement de la maçonnerie, alors que trois ouvriers procédaient au rejointoiement du parement côté cour anglaise, à l'instant précis où l'on tirait une mine dans une carrière voisine, le mur se renversait, tuant l'un des trois hommes et blessant grièvement les deux autres.

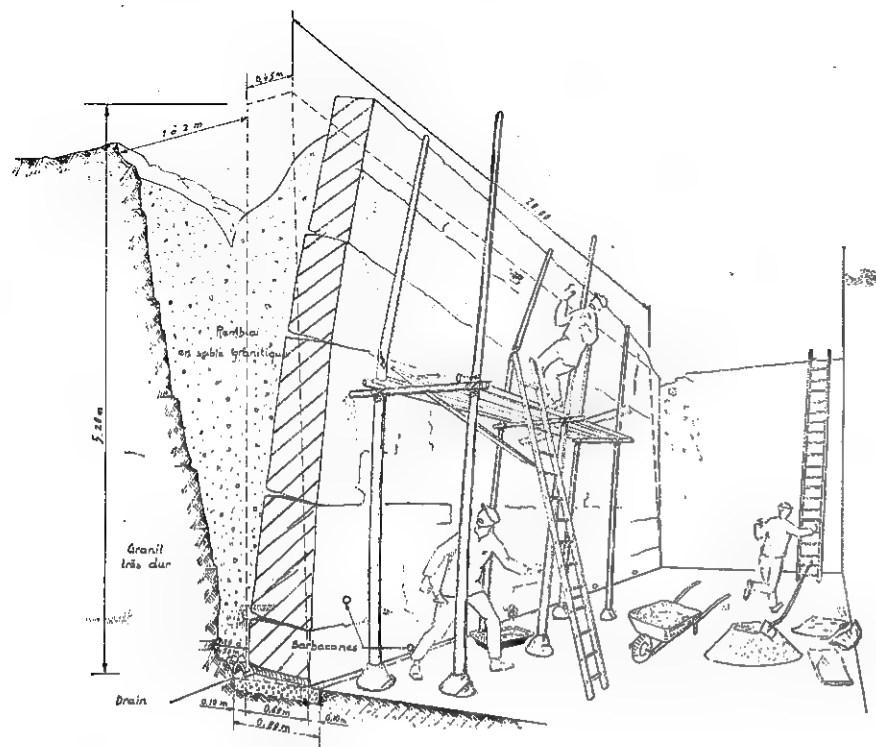


FIG. XII-34. — Effondrement d'un mur de soutènement.

On avait simplement oublié que le remblai de sable, dans le vide triangulaire, exerçait bel et bien une poussée sur le mur, poussée d'un ordre de grandeur comparable à celui du classique coin de glissement. Il faut ajouter que de nombreuses explosions avaient lieu chaque jour, à proximité, dans une carrière de granit en exploitation et favorisaient le tassement du remblai.

En conséquence, lorsqu'un mur retient des terres meubles, même en faible quantité et à proximité immédiate d'une paroi rocheuse stable, on ne doit pas considérer comme négligeable la poussée qu'exercent les matériaux bloqués entre le mur et le rocher.

12.5.4 Désordres graves survenus à des bâtiments.

Effondrement d'un préau fondé sur un remblai reposant sur un sol incliné.

Le préau d'une école qui mesure 30 m de long par 7 m de large, est divisé en deux blocs par un joint de dilatation. Chacun d'eux comporte trois façades fermées, construites en parpaings de béton creux et est couvert par une dalle

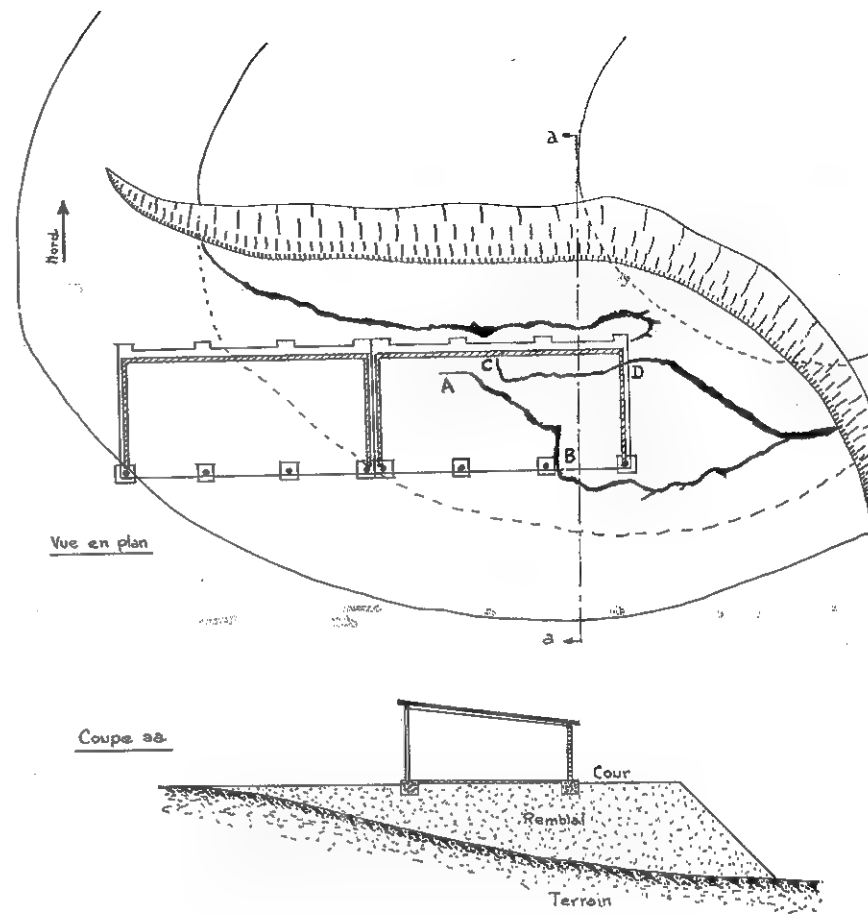


FIG. XII-35. — Effondrement d'un préau fondé sur un remblai.

de béton armé, à une pente. La façade sud entièrement ouverte comporte quatre poteaux en béton armé.

Comme il s'agit d'un ouvrage léger, on n'a pas cru devoir prendre de précautions spéciales pour les fondations. Le sol d'assise d'une partie des poteaux et des murs est cependant constitué par un remblai récent, qui repose lui-même sur un terrain incliné.

Le préau a été achevé pendant l'été. Après une période de pluie assez longue, apparaît brusquement dans le terrain une série de crevasses autour du préau est et, en même temps, un glissement d'ensemble s'amorce vers le nord-est. Les crevasses se poursuivent dans le dallage du préau entre les points A et B, et C et D (Fig. XII-35). De plus, le gros béton de fondation est rompu en C et en D.

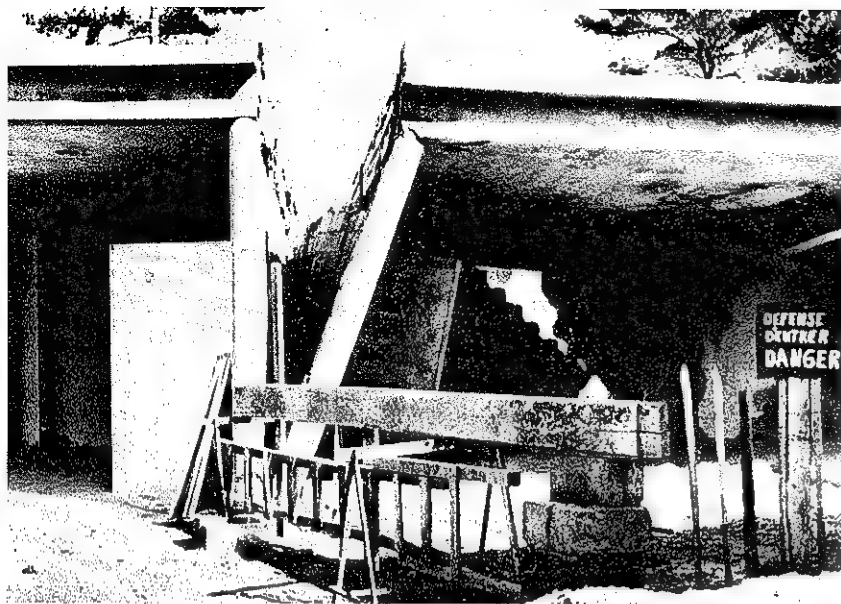


FIG. XII-36. — Effondrement du préau, vue du joint entre les parties est et ouest.

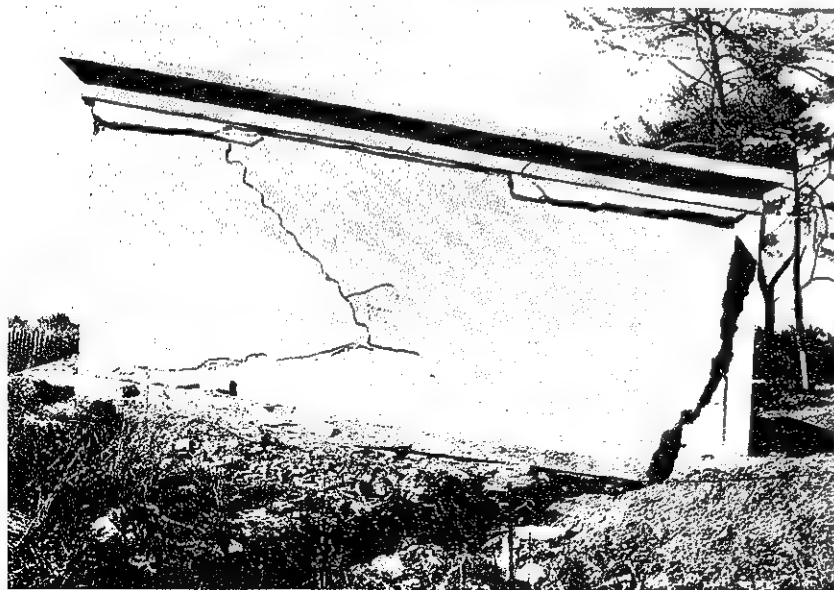


FIG. XII-37. — Effondrement du préau, vue de la façade est.

L'ouverture des crevasses et des fissures n'est d'abord que de 4 à 5 cm environ. Mais, peu à peu, sous l'influence de pluies persistantes, le déplacement d'ensemble atteint 30 cm dans le sens horizontal, cependant que le tassement du remblai atteint 80 cm. Alors, tout le préau Est s'effondre.

Le sinistre est dû, pour une grande part, au mouvement du sol d'assise. Les fondations des poteaux encadrant le joint de dilatation, ayant été placées en dehors de l'emprise du remblai, n'ont pas suivi le mouvement général, ce qui a complètement disloqué la construction. On a constaté, en outre, qu'un mouvement d'ensemble du terrain sous-jacent s'amorçait au moment de l'effondrement (Fig. XII-36 et 37).

Le fait d'asseoir un bâtiment, aussi léger soit-il, sur un remblai récent, risque toujours d'entraîner des désordres, quel que soit le soin apporté dans le compactage du remblai. Celui-ci n'acquiert, en effet, sa stabilité définitive qu'après plusieurs années, même s'il ne supporte aucune surcharge.

Une imprudence a, en outre, été commise dans le cas présent. Le remblai constitue une plate-forme horizontale dans une zone en déclivité. Il surcharge le terrain naturel, et aucune étude préalable sérieuse des couches sous-jacentes n'a été faite pour vérifier s'il ne risquait pas de les rendre instables. Or, l'une de ces couches était une marne grise facilement plastifiable par les eaux d'infiltration, et c'est à sa présence qu'est dû le glissement d'ensemble du terrain au moment de l'effondrement.

Dislocation d'un bâtiment construit sur des couches compressibles.

Il s'agit d'un bâtiment constitué par une vaste salle rectangulaire de 54 × 35 m, dont trois côtés sont bordés de tribunes intérieures en béton armé et d'une suite de locaux annexes extérieurs à simple rez-de-chaussée couverts par une toiture-terrasse en béton armé, le quatrième côté est fermé par une grande scène.

Dans l'emprise de cette construction, le sol est particulièrement mauvais ; si on choisit la cote 0 pour le niveau fini de la salle, on rencontre en descendant : 12 m de vase molle entre les cotes — 2,50 et — 14,50, puis un mélange de sable et de gravier fin de 4 m d'épaisseur jusqu'à — 18,50, une marne molle sur 1,60 m et, enfin, la marne compacte à partir de — 20,10 (Fig. XII-38). La vase présente une densité humide de l'ordre de 1,50, une densité sèche d'environ 0,90 et une teneur en eau atteignant 70 % ; il s'agit d'un terrain particulièrement compressible. Sur cette vase, un remblai de 1,50 m d'épaisseur datait de deux ans environ quand fut entreprise la construction du bâtiment.

Le parti constructif adopté fut le suivant : la grande salle fut couverte par une charpente métallique composée de six arcs de 54 m environ de portée, espacés de 7 m, et dont les pieds reposaient, par l'intermédiaire d'une articulation, sur des pieux ancrés dans la couche de sable et gravier ; les têtes des pieux étaient réunies transversalement par des tirants destinés à équilibrer la poussée horizontale des arcs, et longitudinalement par les longrines supportant les façades. La scène était également fondée sur pieux.

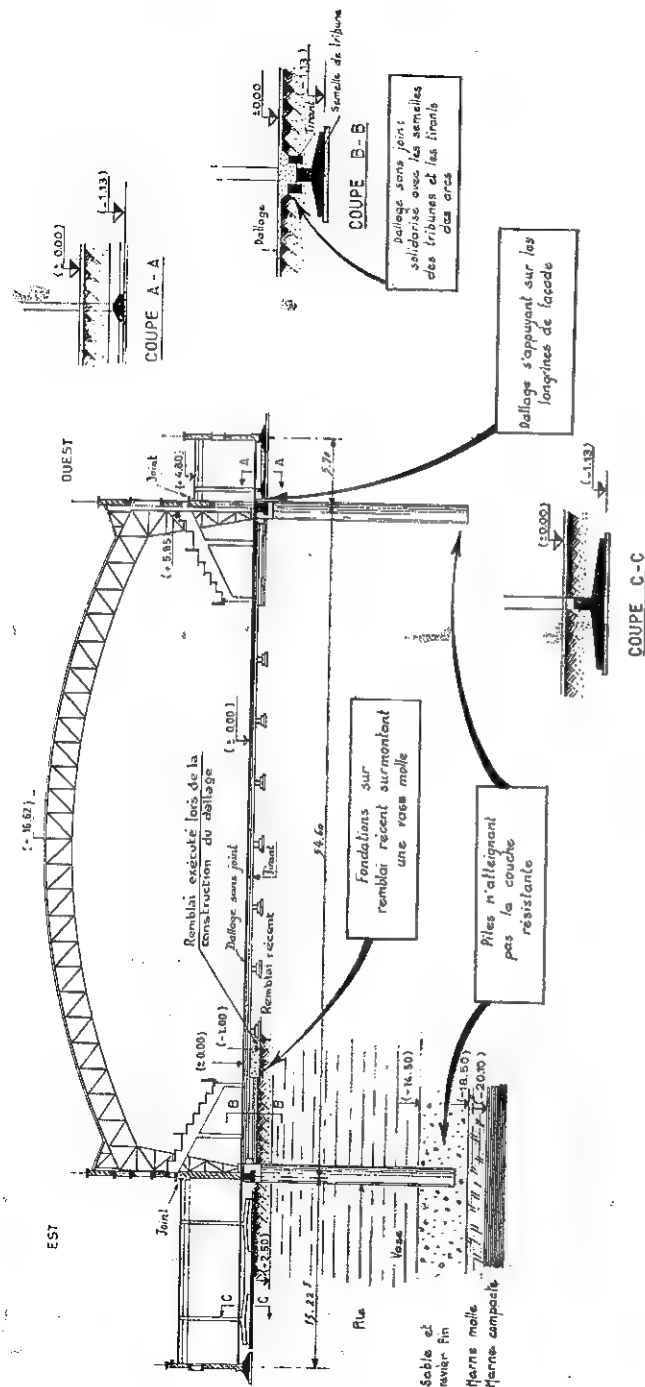


FIG. XII-38. — Dislocation d'un bâtiment construit sur des couches compressibles.

Par contre, tribunes et bâtiments annexes furent fondés, par souci d'économie, sur des semelles superficielles assises à la cote $-1,13$, c'est-à-dire à la surface du remblai.

Un dallage général en béton armé, sans joint, s'étendait sur toute la surface du rez-de-chaussée de ces différentes parties. Il reposait sur un nouveau remblai d'environ 1 m d'épaisseur exécuté dans de très mauvaises conditions : on y rencontrait des pierres de taille entières laissant entre elles des vides importants (Fig. XII-39), ce qui le rendait à la fois exagérément lourd et déformable. Par ailleurs, ce dallage était bloqué sur les longrines de façades, les tirants et les semelles des tribunes, formant ainsi une liaison rigide entre les parties fondées superficiellement et celles reposant sur des pieux.

Une telle description laisse entrevoir quatre fautes graves :

— Tout d'abord, il est contre-indiqué de charger un terrain vaseux par des remblais aussi lourds : leur poids, exerçant à lui seul une contrainte superficielle



FIG. XII-39. — Blocs de pierre dans le remblai.

de l'ordre de 32 kPa, créait un risque de fluage de cette vase vers des zones moins surchargées et, par suite, un danger d'affaissement du sol d'une ampleur imprévisible.

— De plus, le dernier remblai étant très mal réalisé, son tassement dans le temps devait entraîner inévitablement des désordres au moins dans le dallage.

— Les pieux furent arrêtés dans une couche de sable et gravier dont la stabilité était rendue précaire par la présence d'une couche de marne molle sous-jacente.

— Enfin, il eut été essentiel de désolidariser entièrement, d'une part l'ouvrage métallique, ses longrines et ses tirants et d'autre part les parties fondées superficiellement, à savoir : les tribunes, les bâtiments annexes et enfin le dallage proprement dit, qui aurait dû comporter, en outre, vu son étendue, tout un réseau de joints de retrait.

Effectivement, des désordres apparurent avant même que l'ouvrage fut reçu. Le sol s'affaissa lentement sous le dallage qui fléchit dans sa partie centrale, mais resta appuyé sur les points durs constitués par les semelles superficielles et les longrines des façades. Les tribunes sous lesquelles le sol d'assise se dérobaient, alourdies aussi par le dallage à cause du tassement propre du remblai superficiel, suivirent le mouvement et descendirent en certains points de 35 cm. Les tirants des arcs métalliques furent entraînés vers le bas et subirent des déformations importantes (Fig. XII-40). Comme une zone du dallage de plus en plus vaste pesait sur les longrines des façades, les pieux finirent par poinçonner à leur tour la couche de sable et de gravier.



FIG. XII-40. — Affaissement des semelles superficielles, flexion des tirants.

De leur côté, les bâtiments extérieurs s'enfoncèrent irrégulièrement, parfois de plus de 40 cm, ce qui entraîna de nombreuses et importantes fissures, certaines de 5 cm de large, dans des cloisons en briques creuses. Des poteaux en béton armé se rompirent. Les murs extérieurs se fissurèrent et se décrochèrent de l'ossature métallique. Les canalisations enterrées et certaines tuyauteries scellées dans les cloisons s'éventrèrent en de nombreux endroits, tandis que les terrasses se déformaient et déchiraient leur revêtement d'étanchéité et que des désordres de toutes natures se produisaient dans les installations intérieures (Fig. XII-41).

La stabilité même de l'ouvrage se trouva bientôt en danger et il fallut prendre des mesures d'urgence. On libéra les pieux des charges que leur transmettait le dallage, lequel fut découpé en conséquence. Son affaissement sur le sol

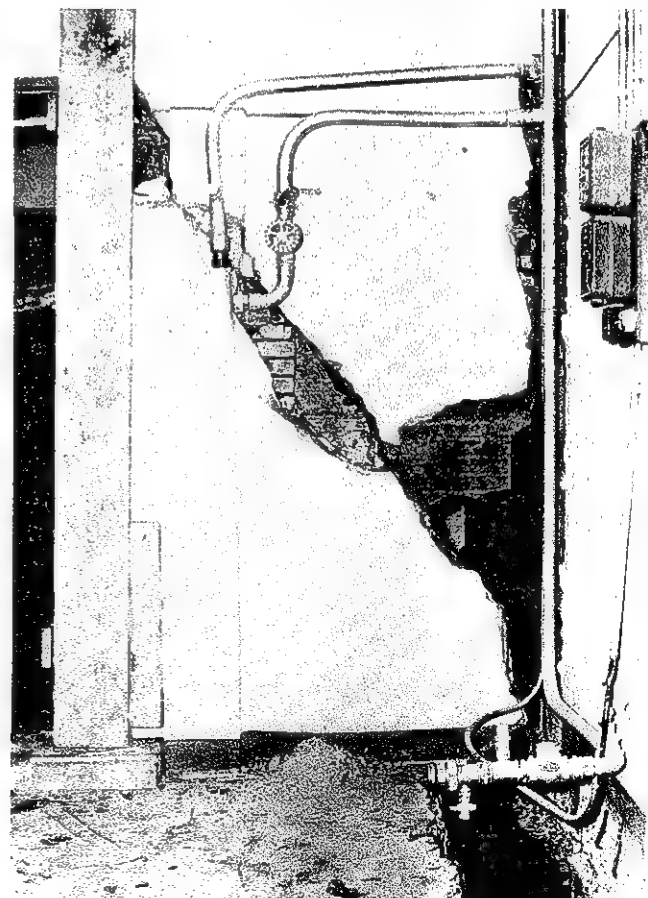


FIG. XII-41. — Dislocation des cloisons.

provoqua très rapidement un tassement supplémentaire de ce dernier, de l'ordre de 20 cm. On démolit également pour le même motif, un certain nombre de maçonneries et de gaines de ventilation ; on dégagait rapidement les tirants des arcs pour examiner la gravité de leur déformation et prévenir une rupture dont les conséquences pouvaient être catastrophiques. On étaya, enfin, les bâtiments annexes au droit des poteaux rompus et on contrebuta certaines terrasses flottantes qui, par l'inclinaison qu'elles avaient prises, menaçaient de glisser sur leurs appuis. Les travaux de remise en état s'avérèrent particulièrement délicats et onéreux et dépassèrent 600 000 F (valeur 1950).

Cet exemple montre les graves conséquences que peut entraîner la recherche d'économies excessives dans les fondations d'un ouvrage, surtout lorsqu'il s'agit d'une grande structure ne comportant aucun élément de raidissement efficace en maçonnerie.

Les accidents décrits dans les paragraphes 12.5.3 et 12.5.4 proviennent des recueils de pathologie établis par Socotec qui a bien voulu autoriser leur publication.

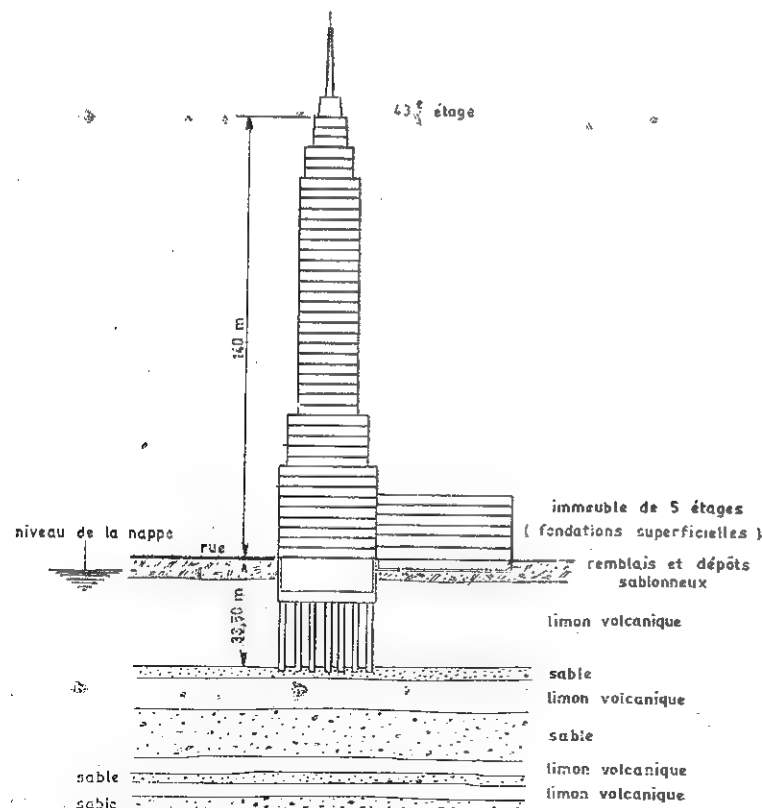


FIG. XII-42. — Tour de la « Latino Americana » à Mexico.

12.5.5 Tassements de Mexico.

La ville de Mexico, fondée par les Aztèques sur un lac, repose sur l'un des terrains les plus compressibles du monde, composé jusqu'à 700 m de profondeur d'une alternance de couches pratiquement horizontales, d'épaisseurs variables, d'argiles volcaniques et de sable.

Ces argiles volcaniques du type montmorillonite ont une teneur en eau très élevée qui peut dépasser 300 % à certaines profondeurs, et une limite de liquidité qui peut atteindre 500 %. La première couche de sable, de faible épaisseur, est située à 33,50 m au-dessous du niveau des rues. C'est sur celle-ci que sont fondés, en général, les bâtiments les plus importants de Mexico, telle que la tour de la « Latino Americana » de 43 étages dont les fondations ont posé, naturellement, de nombreux problèmes (Fig. XII-42).

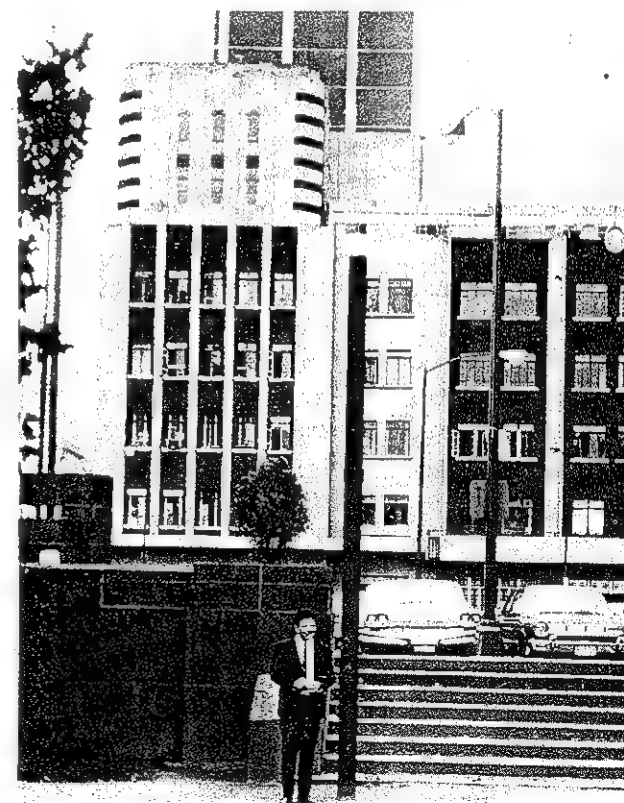


FIG. XII-43. — Tassements de 7 mètres à Mexico dus au rabattement de la nappe phréatique.

L'argile volcanique superficielle tasse énormément sous le poids des surcharges, il est donc d'usage à Mexico de fonder les bâtiments légers sur radier de telle sorte que le poids des terres excavées corresponde aux contraintes exercées. Mais il se pose, alors, un autre problème : lors de l'ouverture des fouilles, l'argile gonfle d'une manière très importante. Par exemple, pour le métro de Mexico, dont le génie civil a été réalisé entre juillet 1967 et juillet 1968, les soulèvements pouvaient atteindre 20 cm en une semaine. Dans ce cas particulier, il fallut alourdir convenablement le radier, les murs latéraux et la couverture pour que le sol cesse de se décompresser même après l'achèvement des travaux.

L'autre phénomène caractéristique de Mexico est l'ampleur exceptionnelle des tassements dus au rabattement de la nappe phréatique. En effet, depuis 1900, la population de la ville s'est accrue d'une manière considérable pour dépasser 14 millions d'habitants (500 000 habitants en 1900, 1 500 000 en 1934, 3 500 000 en 1952) et, naturellement, la consommation d'eau potable et industrielle a augmenté dans des proportions énormes. Pour éviter d'aller chercher l'eau très loin de la ville et, par souci d'économie, on a pompé directement dans la nappe phréatique.

Celle-ci s'est donc abaissée au cours des ans en provoquant une consolidation des argiles volcaniques. Les tassements qui en résultent sont très importants. Dans certaines parties de la ville, ils ont atteint 1 m entre 1901 et 1930, puis se



FIG. XII-44. — Tassements différentiels à Mexico (Eglise Notre-Dame-de-la-Guadalupe).

sont accrus de 6 m entre 1930 et 1968. Actuellement, ces tassements se poursuivent au rythme de 5 à 10 cm par an selon les quartiers.

Ces 7 m de tassement peuvent être observés d'une manière indiscutable sur la figure XII-43. En effet, vers 1900 on a enfoncé dans le sol de très longs tubes métalliques de 8 à 10 cm de diamètre pour pomper l'eau à grande profondeur. Ces tubes n'ont pas bougé, puisque leur base repose sur du sable ; leur partie supérieure se trouve actuellement à 7 m au-dessus du sol.

Il est intéressant d'examiner, au laboratoire de mécanique des sols de l'université de Mexico, les courbes de consommation d'eau de la ville et celles de l'accroissement des tassements d'ensemble ; elles ont exactement la même allure.

Naturellement, les bâtiments fondés sur des pieux fichés dans les couches de sable profondes tassent relativement peu, il en résulte des tassements différentiels importants avec les rues avoisinantes. Le phénomène est particulièrement marquant par exemple pour le monument de la Révolution situé à l'angle de l'« Avenida de Insurgentes » et du « Paseo de la Reforma » où les tassements différentiels sont de l'ordre de 5 m sur une distance de 30 m environ.

La figure XII-45 illustre des tassements différentiels également très spectaculaires survenus il y a plusieurs siècles dans le Vieux Lyon.

BIBLIOGRAPHIE

- AMAR, S., BAGUELIN, F., FRANK, R., JEZEQUEL, J. F. (1978). — *L'autoforage et les caractéristiques des sols en place*. Comptes rendus du 3^e Congrès International de Géologie de l'Ingénieur, Madrid, Session IV, Vol. 1, pp. 7-16.
- ARNOULD, M. — *Cavités souterraines. Recherches par gravimétrie*. Annales de l'institut technique du bâtiment et des travaux publics, mars-avril 1968.
- BAGUELIN, F., JEZEQUEL, J. F., SHIELDS, D. (1978). — *The pressuremeter and foundation engineering*. Trans Tech Publications, Germany.
- BAGUELIN, F., JEZEQUEL, J. F., LE MEHAUTE, A. (1979). — *Le pressiomètre autoforeur et le calcul des fondations*. Comptes rendus du 7^e Congrès Européen de Mécanique des Sols et des Travaux de Fondations, Brighton, Angleterre, septembre 1979, Vol. 2, pp. 185-190.
- BAGUELIN, F. — *Règles de calcul des fondations à partir de l'essai au pressiomètre autoforeur*. Symposium sur la pressiométrie et ses applications en mer, Paris, 19-20 avril 1982.
- BALDI, G., BELLOTTI, R., GHIONNA, V., JAMIOŁKOWSKI, M., PASQUALINI, E. — *Cone resistance of a dry medium sand*. X^e Congrès International, Stockholm, 1981, Vol. 2, pp. 427-433.
- BALIGH, M., VIVATRAT, V. et LADD, C. — *Cone penetration in soil testing*. Journal of the Geotechnical Engineering Division. ASCE, n° GT4, avril 1980, pp. 447-461.
- BATTAGLIO, M., GHIONNA, V., JAMIOŁKOWSKI, M., LANCELLOTTA, R. — *Interpretation of self-boring pressuremeter tests in clays*. X^e Congrès International. Stockholm, 1981, Vol. 2, pp. 433-437.
- BEER DE, E. F. — *The scale effect in the transposition of the results of deep sounding tests on the ultimate bearing capacity of piles and caisson foundations*. Géotechnique, mars 1963.
- BEGEMANN, — *The use of the static soil penetrometer in Holland*. New Zealand Engineering, 15 février 1963.
- CODARY, D., GAMBIN, M. P. et VAN WANBEKE, A. — *Prévisions des tassements à l'aide du pressiomètre*. X^e Congrès International de Mécanique des Sols, 1981, Stockholm, Vol. 1, pp. 95-100.
- DECOURT, L., *Prediction of the bearing capacity of piles based exclusively on N value of the SPT*, Proceeding ESOPT II, vol. I, pp. 29-34, 1982.

- GOULET, G., HULO, Y. et JEZEQUEL, J. — *Comparaison entre les résultats de chargement statique d'un pieu et les prévisions déduites des essais géotechniques*. Sols Soils, n° 11, décembre 1964.
- JEZEQUEL, J. F., LAMY, J. L., PERRIER, M. — *Mise en œuvre du pressio-pénétromètre LPC à l'aide du BSMVA de la Société Technique Louis Ménard*. Symposium sur la pressiométrie et ses applications en mer, Paris, 19-20 avril 1982.
- LACASSE, S., LUNNE, T. — *In situ horizontal stress from pressuremeter tests*. Symposium sur la pressiométrie et ses applications en mer, Paris, 19-20 avril 1982.
- LOGEAIS, L. — *Pathologie des fondations*. Bâtir n° 1, 2 et 3, février, mars et avril 1971.
- — *Pathologie des murs de soutènement*. Bâtir n° 5 et 6, juin et septembre 1971.
- LUNNE, T., ST JOHN, H. D. — *The use of cone penetrometer tests to compute penetration resistance of steel skirts underneath North Sea gravity platforms*. Congrès Européen de Brighton, 1979, Vol. 2, pp. 233-238.
- MÉNARD, L. — *Le tassement des fondations et les techniques pressiométriques*. Annales de l'Institut technique du bâtiment et des travaux publics, décembre 1971.
- PAQUET, J. et JUNOD, J. P. — *Application des méthodes géophysiques aux études des sols à faible profondeur pour le bâtiment et les travaux publics*. Annales de l'Institut technique du bâtiment et des travaux publics, mars-avril 1966.
- Proceedings of the Second European Symposium of Penetration Testing*. Amsterdam May 1982 : Volume I, 386 pages — Volume II, 586 pages, BALKEMA, A., Rotterdam.
- RUITER DE, J. et FOX, D. A. — *Site investigation for North Sea Forties Field*, Off shore technology conference, Dallas, 1975.
- RUITER DE, J. — *Electric penetrometer for site investigations*. Journal of the Soil Mechanics and Foundations Division, ASCE, Vol. 97, n° SM 2, Proc. Paper 7907, February 1971, pp. 457-472.
- SANGLERAT, G. — *Le pénétromètre et la reconnaissance des sols*. Edition française. Dunod, 1965. Edition espagnole. M. O. P. Madrid, 1967. Edition russe Moscou 1971.
- — *The penetrometer and soil exploration*. Elsevier, Amsterdam, 1972.
- — *State of the Art in France*. Symposium Penetration Testing. Stockholm, juin 1974, Vol. 1, pp. 47-58.
- SANGLERAT, G. — *Analyse d'une expertise judiciaire concernant des tassements différentiels de dalles industriels*, Revue Technique du Bâtiment des Constructions industrielles, n° 81 Paris, et Cahiers de Expertise Judiciaire n° 4 Lyon, 1980.
- SANGLERAT, G., TRAN VO NHIEM, SEJOURNE, M., ANDINA, R. — *Direct soil classification by static penetrometers with special friction sleeve*. Symposium on Penetration Testing, Stockholm, juin 1974, Vol. 2.2, pp. 337-344.
- SANGLERAT, G., SANGLERAT, T., PICHART, A. et TAULELLE, M. — *Comparaison des essais de pénétration statique et dynamique*. 2^e Symposium Franco-Polonais de Mécanique des Sols INSA Lyon, 1981.
- SANGLERAT, G., MLYNAREK, Zb., et SANGLERAT, T. — *The statistical analysis of certain factors influencing cone resistance during static sounding of cohesive soils*. ESOP II, Amsterdam, 1982.
- SANGLERAT, G. et SANGLERAT, T. — *Pitfalls of the S. P. T.* Second European Symposium on Penetration Testing. Amsterdam, 1982.
- SANGLERAT, G. et SANGLERAT, T. — *Quand faut-il faire intervenir un géotechnicien dans une expertise bâtiment et travaux publics ?* Cahiers de l'Expertise Judiciaire n° 4, Compagnie des Experts près la Cour d'Appel de Lyon à Lyon et le Tribunal Administratif de Lyon, 1983.
- SCHMERTMANN, J. H. — *The measurement of in situ shear strength*. ASCE Specially conference on in situ measurement. Raleigh North Carolina 1-4 June.
- SEARLE, I. W. — *The interpretation of Begemann friction jacket cone results to give soil types and design parameters*. Congrès Européen de Brighton, 1979, Vol. 2, pp. 265-270.
- TUMAY, M., BOGESS, R. et ACAR, Y. — *Subsurface investigations with piezo-cone penetrometer*. Proc. of the Session on Cone Penetration Testing and Experience ASCE, St Louis, n° October 1981.
- VAN WAMBEKE, A., D'HEMICOURT, J. — *Méthode globale d'interprétation de l'essai pressiométrique*. — Congrès Européen de Brighton, 1979, Vol. 2, pp. 279-282.

WALKER, F. C., HILF, J. W., DAEHN, W. W., HOLTZ, W. G., WAGNER, A. A. et GIBBS, H. J. — *Earth Manual*. Bureau of reclamation Denver, Colorado.

PROBLÈMES

On trouvera dans le Sanglerat-Olivari-Cambou (Tome I, 1^{re} édition, pp. 245 à 318) 23 problèmes concernant l'interprétation des essais *in situ*, deux étant relatifs au S. P. T., trois au pressiomètre, cinq au pénétromètre dynamique et douze au pénétromètre statique.

Le nombre des problèmes relatifs au pressiomètre a été porté à 8 dans la 2^e édition française (Dunod, 1983) ainsi que dans l'édition anglaise (Elsevier Amsterdam, 1983).



FIG. XII-45. — Un bel exemple de tassement différentiel du xvi^e siècle.
Place du Change à Lyon.

Ce tassement différentiel a été provoqué par la construction de la maison Thomassin en 1595.

ANNEXE

INTRODUCTION AUX GÉOTEXTILES

par

Jean-Pierre Giroud
Ingénieur ECP, Docteur ès Sciences
Woodward-Clyde Consultants

Présentation

Il est impossible, aujourd'hui, de parler de géotechnique sans parler de géotextiles. Il est impossible de parler de géotextiles sans parler de Jean-Pierre Giroud. Il a créé le terme et a contribué, par ses publications et son inlassable activité dans de nombreux comités, à faire connaître les géotextiles dans le monde entier et à jeter les bases d'une approche rationnelle à l'utilisation de ce nouveau matériau. Aussi avons-nous applaudi d'emblée lorsque notre ami Guy Sanglerat a demandé à Jean-Pierre Giroud d'écrire quelques lignes sur les géotextiles en Annexe au désormais classique Costet et Sanglerat. Lorsque l'on demande quelques lignes à Jean-Pierre Giroud, il faut s'attendre au moins à quelques pages, étant donné l'ampleur des connaissances qu'il a acquises comme chercheur à l'Université de Grenoble et ingénieur conseil avec Woodward-Clyde Consultants. Le texte qui suit ne saurait cependant être plus concis. Il donne le minimum d'informations qu'il faut posséder pour utiliser avec succès les géotextiles et il faut savoir gré à Jean Costet et Guy Sanglerat d'avoir donné cette opportunité à leurs lecteurs.

Yves Lacroix

Ingénieur Civil des Ponts et Chaussées
PhD Civil Engineering, University of Illinois
Executive Vice-President Woodward-Clyde Consultants

Lorsque l'on visite un chantier de terrassements, il est bien rare aujourd'hui de ne pas voir de géotextile. Si l'on ouvre une revue de génie civil, on y trouve presque toujours de la publicité pour des géotextiles. Quels sont ces matériaux qui ont profondément marqué la géotechnique, surtout depuis la fin des années 1960 ?

Types de géotextiles

Le mot « géotextile » désigne les textiles utilisés en géotechnique, c'est-à-dire dans les sciences et techniques de la terre. Il ne faut pas confondre géotextiles et géomembranes. Les géomembranes sont les membranes, les feuilles ou les films synthétiques utilisés pour revêtir bassins, barrages et canaux. Les géomembranes sont étanches alors que les géotextiles sont perméables. Certaines géomembranes ne sont d'ailleurs que des géotextiles imprégnés de bitume ou de résine synthétique.

L'industrie textile produit, pour notre usage de tous les jours, trois sortes de textiles :

- les tissés, faits de deux séries de fils perpendiculaires combinés de façon systématique (exemples : les « tissés » utilisés pour les chemises, les costumes, les voiles de bateaux, les bâches),
- les tricotés, faits d'un seul fil systématiquement enlacé avec lui-même (exemples : les « tricots », les bas),
- les nontissés, formés de filaments disposés de façon aléatoire (exemples : certaines moquettes synthétiques, certains revêtements muraux ; le papier et le feutre ont une structure aléatoire analogue à celle des nontissés).

Les nontissés, peu connus du grand public mais très utilisés dans l'industrie, méritent quelques explications. Le premier stade de leur fabrication consiste soit à produire des filaments (de 15 à 50 μ de diamètre) de façon continue à l'aide de filières, soit à se procurer dans le commerce des fibres (qui ne sont autres que des filaments coupés à une longueur de quelques centimètres). Le deuxième stade consiste à disposer les filaments ou les fibres de façon désordonnée sur un plan, ce qui constitue un voile sans résistance. La résistance est obtenue dans un troisième stade par l'un des procédés suivants :

- Liaison chimique : un produit chimique est ajouté au voile pour fixer les fibres ou les filaments entre eux. On obtient ainsi les géotextiles nontissés chimiquement liés.
- Liaison thermique : le voile est chauffé et comprimé, ce qui provoque une fusion partielle des fibres ou des filaments et les fait adhérer entre eux. On obtient ainsi les géotextiles nontissés thermoliés qui, ayant été comprimés, ont une épaisseur faible (0,5 mm à 1 mm en général).
- Liaison mécanique par aiguilletage : le voile est soumis au passage alternatif de milliers de petites aiguilles de forme spéciale qui enchevêtrent les fibres ou les filaments. On obtient ainsi les géotextiles nontissés aiguilletés qui sont assez épais (1 mm à 5 mm ou plus).

Les textiles tissés utilisés dans l'habillement sont faits de fils comprenant quelques dizaines de fibres ou de filaments (« multifibres », « multifilaments »). Les tissés industriels et, en particulier, les géotextiles sont faits soit de « multifilaments », soit de « monofilaments » (fils à un seul filament de gros diamètre, 100 à 300 μ par exemple), soit de « laminettes » ou « bandelettes » (petits rubans).

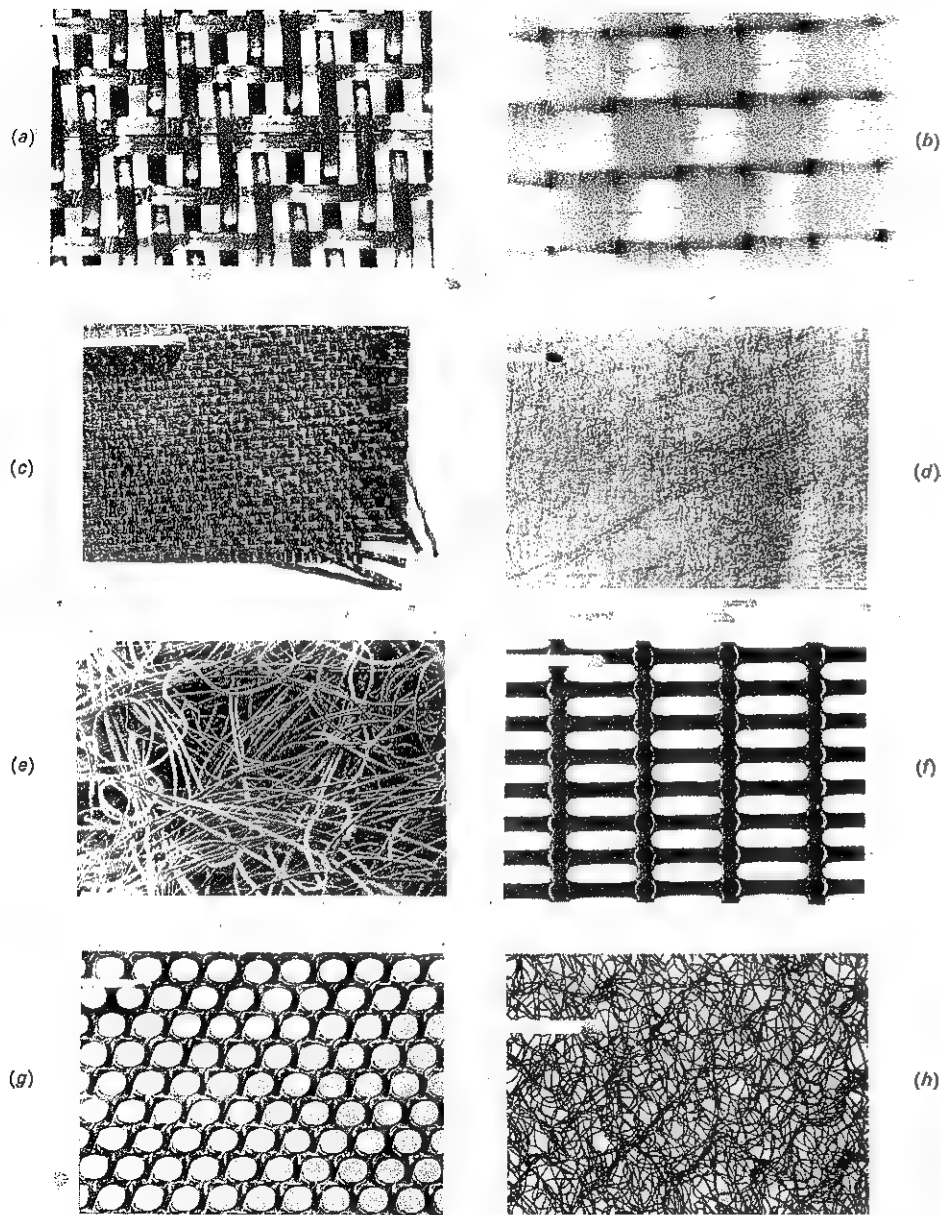


FIG. 1. — Types de géotextiles : (a) tissé de monofilaments ; (b) tissé de multifilaments ; (c) tissé de laminettes ou bandelettes ; (d) nontissé ; (e) nontissé (vue microscopique) ; (f) grille ; (g) treillis ; (h) mat (photographies communiquées par M. Sotton, Institut Textile de France).

Les géotextiles sont tous réalisés à l'aide de fibres, filaments, fils ou laminettes synthétiques (polyester, polypropylène, ou autres polymères) car les fibres naturelles se dégradent trop rapidement au contact du sol. Les tricotés, très déformables, ne sont pratiquement pas utilisés comme géotextiles. Les nontissés sont les plus utilisés. En plus des tissés et nontissés, on voit apparaître des matériaux qui ne sont pas des produits de l'industrie textile mais que l'on classe cependant dans les géotextiles car ils peuvent s'utiliser de la même façon. Ce sont, par exemple, les « grilles » et les « treillis » en matière plastique, dont la dimension des ouvertures varie de quelques millimètres à quelques centimètres (Fig. 1). C'est le cas également des « mats », sortes d'enchevêtrements de grosses fibres synthétiques liées entre elles par collage ou fusion superficielle (Fig. 1). Enfin, toutes les combinaisons de tissés, nontissés, grilles, treillis et mats sont possibles. Il en résulte une grande variété de géotextiles, avec des propriétés très différentes.

L'identification d'un géotextile se fait en donnant au moins le type de fabrication, la nature du polymère et la masse surfacique. Exemples : nontissé aiguilleté polyester 360 g/m^2 ; composite tissé de laminettes polypropylène entre deux nontissés thermoliés polyamide 580 g/m^2 ; treillis polyéthylène 430 g/m^2 ouvertures 9 mm (dans ce dernier cas, la dimension des ouvertures, aisément contrôlable, est un bon élément d'identification).

Propriétés des géotextiles

Les géotextiles ont, d'une part, des propriétés analogues aux sables et graviers (ils laissent passer l'eau, retiennent les particules fines, résistent à la compression et au poinçonnement, et ont un coefficient de frottement élevé) et ils ont, d'autre part, une propriété que sables et graviers n'ont pas, la résistance à la traction.

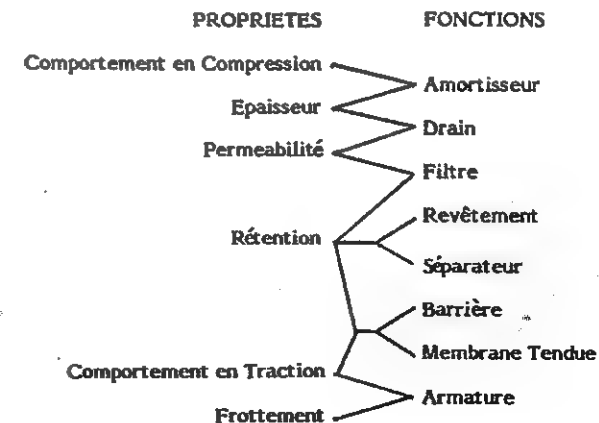


FIG. 2. — Relation entre propriétés et fonctions des géotextiles.

Cet exceptionnel éventail de propriétés explique la variété d'applications des géotextiles.

Les propriétés des géotextiles se mesurent à l'aide d'essais inspirés de ceux employés pour les textiles traditionnels, ou bien spécialement développés pour les géotextiles. Des procédures standards d'essais sont en cours de rédaction, notamment par le Comité Français des Géotextiles.

Nous nous bornons ici à donner une brève description des propriétés des géotextiles suivant la liste de la figure 2 qui indique les relations entre les propriétés des géotextiles et les fonctions qui seront décrites plus loin.

Épaisseur et comportement en compression. Les géotextiles courants ont une épaisseur de 0,5 mm à 5 mm. Quelques géotextiles ont des épaisseurs allant jusqu'à 20 mm. Les nontissés thermoliés, les tissés, les treillis et les grilles sont très peu compressibles. Les nontissés aiguilletés et les mats sont compressibles et leur épaisseur diminue sous une contrainte de compression. Ce phénomène est partiellement réversible et ces géotextiles retrouvent une partie importante de leur épaisseur initiale si la contrainte de compression disparaît. L'épaisseur et la compressibilité des géotextiles se mesurent simplement en pressant l'échantillon entre deux plaques.

Dans le cas où le géotextile remplit la fonction d'amortisseur, sa résistance à des compressions concentrées (poinçonnement) joue un rôle important. Différents essais utilisant des poinçons normalisés ou des cailloux permettent d'évaluer cette résistance.

Perméabilité. Tous les géotextiles laissent passer l'eau perpendiculairement à leur plan (perméabilité normale) (Fig. 3 a) et certains géotextiles épais ont, en plus, la faculté d'acheminer l'eau dans leur plan et peuvent, par conséquent, remplir la fonction de drain (Fig. 3 b). Des géotextiles composites sont constitués d'un géotextile épais, remplissant la fonction de drain, entre deux géotextiles remplissant la fonction de filtre (Fig. 3 c). On mesure la perméabilité des géotextiles à l'aide de perméamètres fonctionnant suivant le même principe que les perméamètres utilisés pour mesurer la perméabilité des sols.

Rétention. La dimension des ouvertures entre fils des tissés et filaments des nontissés est de l'ordre de quelques dizaines à quelques centaines de microns. Les géotextiles tissés et nontissés peuvent donc retenir les particules fines de sol et remplir, par exemple, les fonctions de filtre, de revêtement ou de séparateur. Les grilles, treillis et mats ont des ouvertures assez grosses (plusieurs millimètres et, même, plusieurs centimètres) et ne peuvent retenir que des graviers ou cailloux. On utilise par exemple des treillis ou des grilles plastiques, à la place de grillage métallique, pour faire des gabions.

La dimension des ouvertures d'un treillis ou d'une grille peut se mesurer directement. La dimension des ouvertures d'un tissé ou d'un nontissé s'évalue en faisant passer des billes de verre calibrées à travers un échantillon du géotextile. Dans un tissé, par suite d'irrégularités de fabrication, et dans un nontissé, du fait de sa structure, les ouvertures n'ont pas toutes la même dimension.

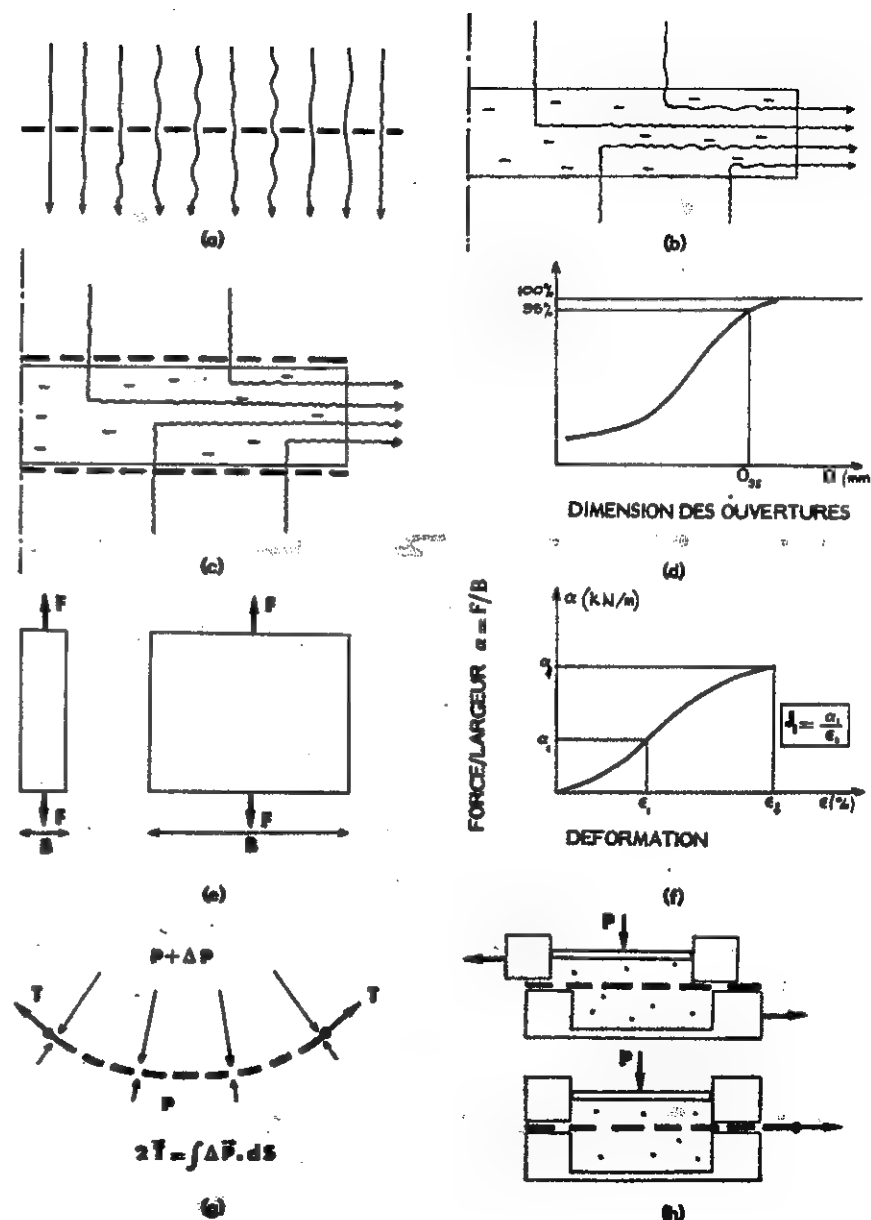


FIG. 3. — Propriétés des géotextiles.

On obtient donc une courbe de distribution des ouvertures (courbe porométrique) analogue à la courbe granulométrique d'un sol (Fig. 3 d). On appelle « O_{95} » la dimension d'ouverture telle que 95 % des ouvertures du géotextile soient de dimension inférieure à O_{95} .

Pour assurer la rétention des particules de sol, un géotextile ne doit pas être perforé ou déchiré par les cailloux en contact (risque existant surtout lors de la construction). On dispose d'essais permettant d'évaluer la résistance des géotextiles à la perforation et à la déchirure.

Comportement en traction. Tous les géotextiles ont une résistance à la traction que l'on peut évaluer à l'aide d'un essai sur éprouvette rectangulaire (Fig. 3 e). On obtient ainsi une courbe donnant la force par unité de largeur en fonction de la déformation (Fig. 3 f). La forme de la courbe dépend notamment du type de géotextile et du rapport longueur/largeur de l'éprouvette. Les plages de valeurs typiques de déformation à la rupture, ε_f , et de résistance à la rupture, α_f , sont :

- Nontissés : déformation 30 à 100 %, résistance 1 à 10 kN/m (nontissés courants pour applications où la résistance requise n'est pas importante), 10 à 30 kN/m (nontissés courants), 30 à 100 kN/m (nontissés forts).
- Tissés : déformation 10 à 25 %, résistance 10 à 50 kN/m (courants), 50 à 100 kN/m (forts), 100 à 1 000 kN/m (très forts).
- Treillis : déformation 15 à 50 %, résistance 1 à 20 kN/m.
- Grilles : déformation 10 à 20 %, résistance 30 à 100 kN/m.
- Mats : déformation supérieure à 50 % et résistance de l'ordre de 1 kN/m.

Les nontissés, les mats et, à un moindre degré, les treillis sont en général à peu près isotropes : leur comportement en traction est à peu près identique dans toutes les directions. Les tissés et les grilles sont très anisotropes : les valeurs données ci-dessus sont relatives à la direction des fils (pour les tissés) et des barreaux (pour les grilles); des résistances plus faibles et des déformations plus fortes seraient obtenues dans les autres directions.

Dans certaines méthodes de dimensionnement intervient le module du géotextile correspondant à une déformation donnée (5 % par exemple) : c'est le rapport entre la force par unité de largeur (relative à la déformation donnée) et la déformation donnée (Fig. 3 f).

D'autres essais que la traction simple sur éprouvette rectangulaire sont utilisés pour étudier le comportement en traction des géotextiles. Certains essais utilisent l'effet de membrane : l'échantillon de géotextile, soumis à une pression différente des deux côtés, prend une forme courbe (« membrane tendue ») (Fig. 3 g). La différence de pression est équilibrée par la tension du géotextile que l'on peut ainsi mesurer. L'effet de membrane est très important dans certains ouvrages : un géotextile tendu de forme courbe exerce sur le matériau en contact une pression additionnelle qui contribue à renforcer l'ouvrage (voir Fig. 10).

Frottement. Des essais ont été faits avec une boîte de cisaillement de grandes dimensions, un géotextile étant placé dans le plan de glissement (Fig. 3 h). Ces essais ont montré qu'il était toujours possible de trouver un géotextile tel que le frottement géotextile/sol pulvérulent soit à peu près égal au frottement interne du sol pulvérulent, et que l'adhérence géotextile/sol cohérent soit à peu près égale à la cohésion du sol. Dans la pratique, deux cas peuvent se présenter où il est important de connaître l'interaction mécanique géotextile/sol : lorsqu'un géotextile doit remplir la fonction de renforcement du sol et lorsque l'on veut s'assurer qu'un géotextile, remplissant une fonction quelconque, ne risque pas de constituer une surface de glissement.

Durabilité. Les propriétés présentées ci-dessus sont celles qui conditionnent les fonctions remplies par les géotextiles (Fig. 2). Dans certains cas, le géotextile n'a qu'un rôle temporaire, soit qu'il se trouve dans un ouvrage provisoire (piste d'accès, batardeau), soit que la fonction qu'il remplit n'ait d'intérêt que pendant la construction de l'ouvrage (par exemple, première couche d'un remblai utilisée temporairement comme piste de chantier) ou pendant une première phase (par exemple géotextile renforçant superficiellement une pente en attendant que pousse la végétation). Mais, dans la majorité des cas, la fonction remplie par le géotextile est permanente et une durée de vie de plusieurs dizaines d'années est requise. Trois mécanismes de dégradation des géotextiles peuvent être considérés : désorganisation de la structure, perte de matière, transformation de la matière.

C'est au cours de la construction que la structure d'un géotextile risque le plus d'être désorganisée par des actions mécaniques (déchirure, perforation). Ce point sera évoqué plus loin sous la rubrique « Mise en œuvre ». Passé le stade critique de la construction, un géotextile court peu de risques de dégradation comme indiqué ci-dessous.

Un géotextile peut perdre de la matière par abrasion. Ceci ne peut se produire que lorsque le géotextile est en contact avec des éléments rugueux animés d'un mouvement alterné (ballast de chemin de fer, enrochements ou blocs de béton soumis à l'action des vagues). Dans ces cas, des géotextiles spéciaux résistants à l'abrasion doivent être utilisés. Un géotextile peut également perdre de la matière du fait de vandales ou d'animaux rongeurs. Les conséquences pourraient être graves dans le cas d'une digue ou d'un barrage mais les géotextiles sont généralement peu accessibles et, à notre connaissance, aucun cas grave n'a été signalé.

Les polymères constituant les géotextiles (polyester, polypropylène, etc.) ont une excellente résistance chimique. Ils ne sont pas attaqués par les produits chimiques et les micro-organismes normalement présents dans le sol. De ce point de vue, il ne faut prendre des précautions particulières (choix d'un type spécial de géotextiles, protection du géotextile) que dans des ouvrages particuliers (stockage de produits chimiques, construction dans des sols pollués). Finalement, le seul risque important de dégradation des géotextiles vient du rayonnement ultraviolet de la lumière solaire. La résistance d'un géotextile à

l'exposition solaire dépend du polymère et du diamètre des filaments. Lorsque, au cours de la construction d'un ouvrage, un géotextile doit être exposé plus de trois semaines, il faut s'assurer auprès du fournisseur que le géotextile envisagé peut résister. Dans les cas, assez rares, où un géotextile doit demeurer en surface d'un ouvrage définitif, il faut l'abriter de la lumière en le recouvrant d'une géomembrane opaque ou en pulvérisant du mortier, du bitume ou une résine.

Fonctions et applications des géotextiles

En décrivant les propriétés des géotextiles, nous avons évoqué certaines des fonctions qu'ils peuvent remplir. La figure 2 récapitule ces fonctions et montre leurs relations avec les propriétés décrites plus haut.

Décrivons brièvement ces fonctions et illustrons-les de quelques exemples d'applications.

Amortisseur. Un géotextile remplit la fonction d'amortisseur lorsque, placé entre deux matériaux, il atténue ou uniformise les contraintes ou déformations transmises à celui des deux matériaux que l'on désire protéger. Seul un géotextile épais et ayant une résistance élevée à la compression et au poinçonnement peut remplir cette fonction de façon satisfaisante. Exemples :

- **Réhabilitation d'une chaussée fissurée (Fig. 4 a).** Du bitume-liquide est d'abord répandu sur la chaussée pour boucher les fissures, fixer le géotextile et l'imprégner. On place ensuite le géotextile, puis le nouveau revêtement en béton bitumineux. Le géotextile, imprégné de bitume devient imperméable, ce qui protège de l'eau de pluie les couches inférieures. Le géotextile imprégné de bitume a un comportement viscoélastique : sous les sollicitations rapides du trafic il est rigide et supporte correctement le nouveau revêtement ; sous l'effet des mouvements thermiques lents qui font jouer les fissures, il est souple et peut remplir la fonction d'amortisseur, empêchant ou ralentissant la propagation des fissures de la chaussée ancienne vers le nouveau revêtement.

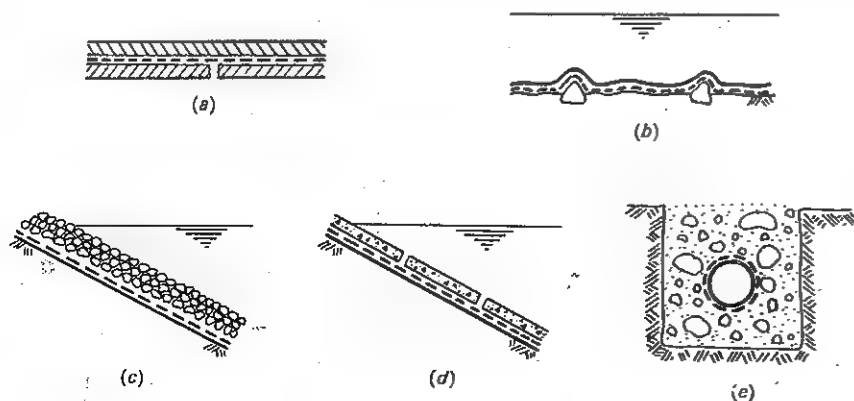


FIG. 4. — Exemples de géotextiles remplissant la fonction d'amortisseur.

Cette application a fait l'objet de très nombreuses réalisations, surtout aux Etats-Unis, sur les routes et même sur quelques aéroports.

- **Géotextile protégeant une géomembrane de la perforation par les cailloux de son support (Fig. 4 b)** ou de l'abrasion et de la perforation par les éléments anguleux (cailloux, dalles) de sa couverture (Fig. 4 c, d).

- **Géotextile protégeant du contact avec les cailloux une conduite métallique couverte d'un revêtement anti-corrosion fragile (Fig. 4 e).**

Drain. Un géotextile remplit la fonction de drain lorsqu'il collecte un liquide ou un gaz qu'il achemine dans son plan vers un exutoire. Rappelons que seuls quelques géotextiles épais peuvent remplir cette fonction. Exemples :

- **Drain vertical le long d'un mur enterré (Fig. 5 a).**
- **Drain placé sous un revêtement étanche (géomembrane, béton) pour éviter son soulèvement par des sous-pressions d'eau ou de gaz (Fig. 5 b).**
- **Drain placé entre deux étanchéités pour éviter toute pollution du terrain par le liquide fuyant à travers l'étanchéité supérieure (Fig. 5 c).**

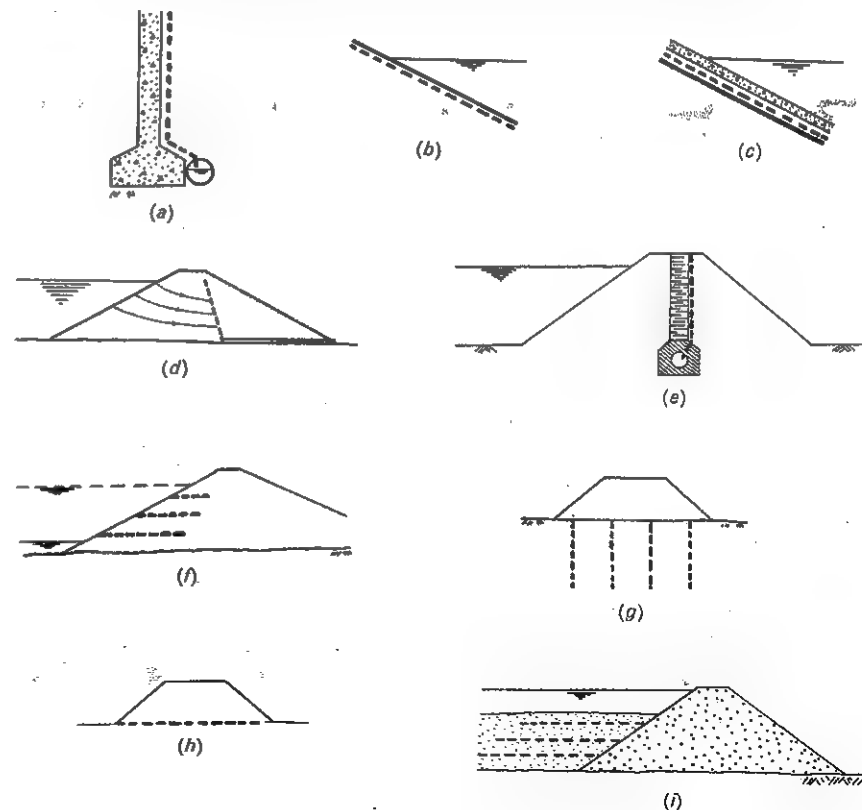


FIG. 5. — Exemples de géotextiles remplissant la fonction de drain.

- Drain « cheminée » empêchant les eaux traversant un barrage en terre d'aller humidifier la zone aval (Fig. 5 d).

- Géotextile placé derrière la paroi de ciment-bentonite (matériau relativement fragile) constituant le noyau étanche d'un barrage construit en sol semi-étanche (Fig. 5 e). En cas de fissuration de la paroi, le géotextile remplit deux fonctions. D'abord il remplit la fonction de drain, acheminant l'eau vers la galerie à la base du barrage pour déclencher l'alerte. Ensuite, si la fissure s'agrandit par érosion, le géotextile arrête les particules fines, empêchant le développement d'un renard (dans ce dernier cas le géotextile remplit la fonction de filtre pour un liquide transportant des particules en suspension ; voir plus loin).

- Drains horizontaux évacuant l'eau contenue dans la zone amont d'un barrage en cas de vidange rapide (Fig. 5 f).

- Drains verticaux évacuant vers le haut l'eau chassée du sol lors de sa consolidation sous le poids du remblai (Fig. 5 g).

- Drain horizontal évacuant latéralement l'eau chassée du sol lors de sa consolidation sous le poids du remblai (Fig. 5 h). Cette application peut être combinée à la précédente. Drains horizontaux dans les voies ferrées (voir Fig. 8 p et q).

- Drains horizontaux accélérant la consolidation d'une retenue de stériles de mine (Fig. 5 i).

- Drains horizontaux accélérant la consolidation d'un remblai construit en argile saturée. Dans ce cas, les géotextiles horizontaux remplissent également la fonction d'armature (voir Fig. 11 b à h).

Filtre. Un géotextile remplit la fonction de filtre : (1) lorsque, placé en travers d'un courant de liquide transportant des particules en suspension, il arrête certaines particules tout en laissant passer le liquide ; ou (2) lorsque, placé en contact avec un sol, il laisse passer l'eau qui s'en échappe tout en empêchant la quasi-totalité des particules de sol de se laisser entraîner par le courant d'eau.

Les deux cas sont radicalement différents. Dans le premier cas, le colmatage est inévitable car les particules s'accumulent sur le filtre. Dans le deuxième cas, si le filtre est bien dimensionné et bien construit, les particules de sol ne bougent pas et il n'y a pas de colmatage.

La fonction de filtre est l'une des plus importantes fonctions des géotextiles et les exemples sont très nombreux. Commençons par la filtration de liquides charriant des particules en suspension :

- Bassin de décantation pour recharge de la nappe phréatique (Fig. 6 a). Le géotextile, périodiquement remplacé, recueille les particules solides, prévenant ainsi le colmatage du lit de sable où vivent les bactéries assurant la purification biologique de l'eau.

- Rétention des particules de sable et silt dans un remblaiement hydraulique (Fig. 6 b).

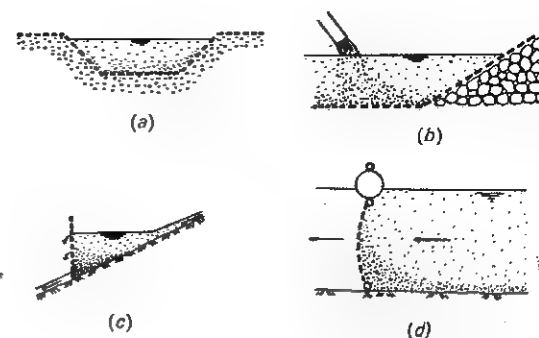


FIG. 6. — Exemples de géotextiles remplissant la fonction de filtre pour un liquide transportant des particules en suspension.

- Barrière à silt (Fig. 6 c) : un géotextile retenu par des piquets de 1 m de haut arrête les particules fines charriées par un courant d'eau. Il s'agit souvent de constructions temporaires pour contrôler l'érosion liée à des terrassements.

- Rideau à silt (Fig. 6 d) : un géotextile suspendu à des flotteurs et lesté ou ancré à sa base enclôt une zone de dragage ou terrassements, en mer ou en rivière. Il arrête les particules fines en suspension pour éviter la pollution des eaux.

- Tubes, sacs, poches de géotextile pour contenir du remblai hydraulique ou du béton frais (voir Fig. 10 b, e, f, g, h).

Les exemples qui suivent ont trait au deuxième type de filtration (géotextile placé en contact avec un sol d'où s'échappe de l'eau) :

- Le cas le plus classique est celui des géotextiles utilisés comme filtres pour protéger des drains en gravier ou cailloux : tranchées drainantes (Fig. 7 a), zone drainante derrière un mur de soutènement (Fig. 7 b), couche drainante sous un jardin (Fig. 7 c), drain « cheminée » et tapis drainant (Fig. 7 d) ou massif drainant (Fig. 7 e) empêchant l'eau de s'accumuler dans la zone aval d'un barrage, drains horizontaux évacuant l'eau contenue dans la zone amont d'un barrage en cas de vidange rapide (Fig. 7 f), drain placé sous un revêtement étanche (géomembrane, béton) pour éviter son soulèvement par des sous-pressions d'eau ou de gaz (Fig. 7 g).

- On utilise également des géotextiles comme filtres pour les gabions (Fig. 7 h), les tuyaux perforés (Fig. 7 i), les puits et piézomètres (Fig. 7 j) et les géotextiles épais remplissant la fonction de drain. Dans de nombreux cas, le système gravier-drain/géotextile-filtre présenté plus haut peut être remplacé par un système géotextile-drain/géotextile-filtre. On peut soit installer successivement le géotextile-drain et le géotextile-filtre, soit utiliser un composite disponible sur le marché comprenant deux géotextiles (filtre/drain) ou trois (filtre/drain/filtre). De tels composites sont utilisés notamment le long des murs enterrés (Fig. 7 k), pour réaliser des tranchées drainantes entièrement synthétiques (Fig. 7 l), ou sous les géomembranes (Fig. 7 m).

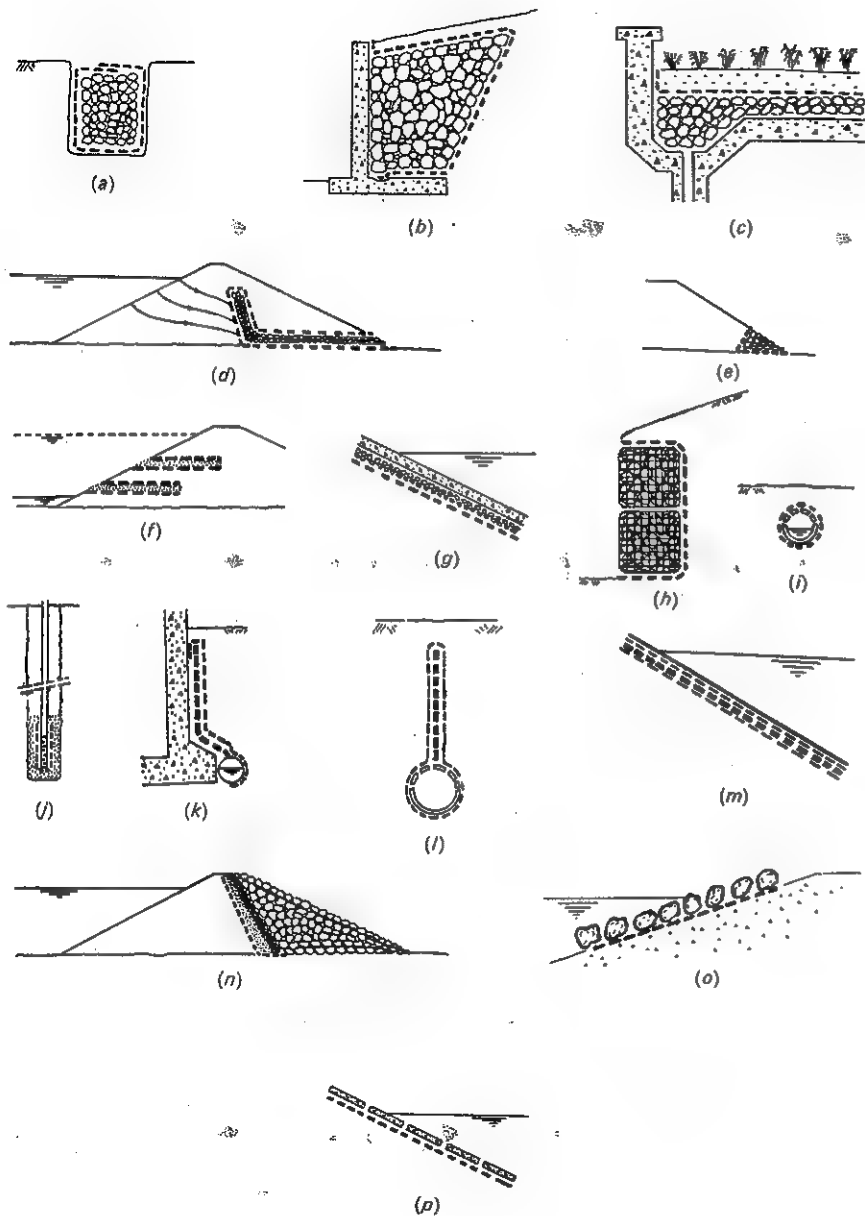


FIG. 7. — Exemples de géotextiles remplissant la fonction de filtre en contact avec un sol d'où s'échappe de l'eau (ou quelquefois un gaz).

• Un exemple spectaculaire de géotextile utilisé comme filtre est celui du géotextile constituant la première zone de transition, contre le noyau argileux, dans un barrage zoné (Fig. 7 n). Un grand barrage a déjà été construit ainsi.

• L'emploi de géotextiles comme filtres sous enrochements (Fig. 7 o), blocs ou dalles de béton (Fig. 7 p), gabions, dans la protection des côtes, des berges, des lits de rivière, des fonds marins, etc. est devenu classique. Dans le cas d'une protection en enrochements, il faudrait plusieurs couches successives de filtres granulaires pour satisfaire les critères de filtres. Une seule couche de géotextile suffit.

Les ouvrages où des géotextiles ont été utilisés comme filtres se comptent par milliers. Les géotextiles remplacent les filtres traditionnels en sable, souvent difficiles à installer et de plus en plus coûteux.

Revêtement. Un géotextile remplit la fonction de revêtement lorsque, placé à la surface du sol, il empêche les particules de s'échapper sous l'action de sollicitations mécaniques légères. Cette utilisation des géotextiles n'est, pour le moment, pas très importante : revêtement de pistes d'hélicoptère, pistes cyclables, courts de tennis, etc. Dans ce genre d'application le géotextile doit résister au rayonnement ultraviolet et à l'abrasion et il est souvent préférable qu'il soit imperméable. Pour ces trois raisons, le géotextile est généralement imprégné de résine ou bitume (avec éventuellement quelques gravillons).

Séparateur. Un géotextile remplit la fonction de séparateur lorsque, placé entre un sol fin et un matériau grossier (graviers, cailloux, pavés, blocs, dalles, planches, etc.), il les empêche de s'interpénétrer lorsqu'ils sont pressés l'un contre l'autre par les contraintes appliquées.

La fonction de séparation est l'une des plus importantes fonctions des géotextiles et certainement la plus originale si l'on considère les fonctions remplies par les autres matériaux utilisés en géotechnique. Les exemples d'applications sont très nombreux. On peut les classer en deux catégories selon que les contraintes appliquées sont dues à des charges inertes ou au trafic. Commençons par les exemples relatifs au cas où les contraintes sont dues au poids des terres :

• Géotextiles entre un remblai en matériau granulaire et un sol mou (Fig. 8 a). Cette application est l'une des plus fréquentes des géotextiles. Si le sol se consolide et que de l'eau s'échappe, le géotextile peut remplir la fonction de filtre ou de drain (Fig. 5 h). Le géotextile peut également remplir la fonction d'armature (Fig. 11 a). De la même façon, on peut utiliser un géotextile sous des gabions (Fig. 8 b), sous un tas de matériau granulaire (céréales, minerai) (Fig. 8 c), sous un remblai subaquatique (Fig. 8 d) et sous des fondations (Fig. 8 e).

• Coussin sous un remblai (Fig. 8 f), une fondation (Fig. 8 g) ou autour de canalisations (Fig. 8 h).

• Géotextile pour empêcher un sol de s'échapper par une fente, par exemple

entre remblai et palplanches (Fig. 8 *i*) ou entre la base d'un noyau de barrage et un rocher fissuré (Fig. 8 *j*).

Exemples d'applications où les contraintes sont provoquées par le trafic :

- Aires de stockage (Fig. 8 *k*) et de stationnement (Fig. 8 *l*), routes et aérodomes (Fig. 8 *m*).
- Pistes en planches (Fig. 8 *n*) (on trouve même des géotextiles avec des

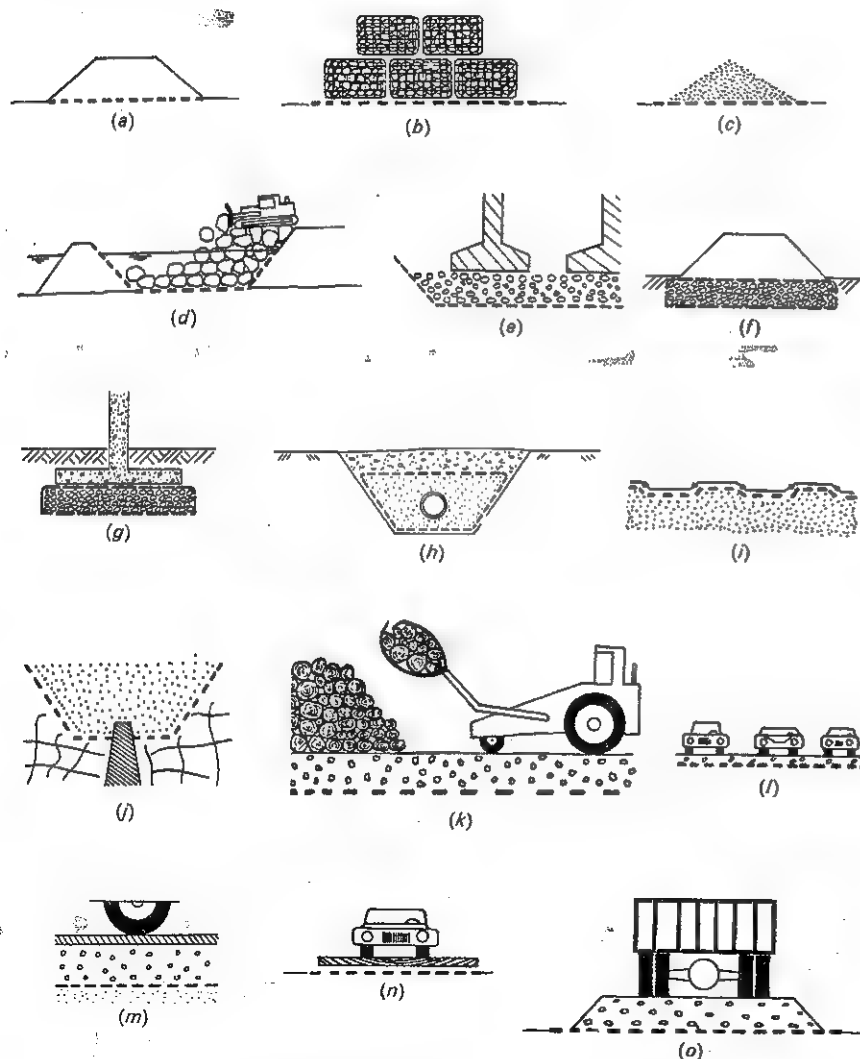


FIG. 8. — Exemples de géotextiles remplissant la fonction de séparateur.

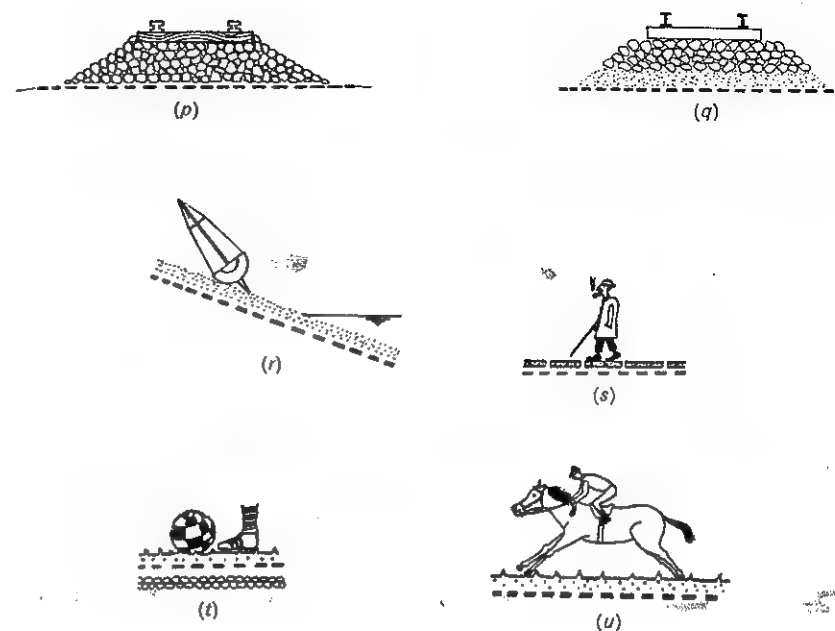


FIG. 8. — Exemples de géotextiles remplissant la fonction de séparateur (suite).

logements dans lesquels on peut insérer les planches) ou revêtues de gravier (Fig. 8 *o*).

• De grandes quantités de géotextiles sont utilisées dans les voies ferrées. Pour l'entretien des voies anciennes en mauvais état, on place souvent le géotextile en contact direct avec le ballast (Fig. 8 *p*). Pour la construction des voies nouvelles, on préfère généralement placer une couche granulaire (gravier, ou gravier et sable) entre ballast et géotextile (Fig. 8 *q*). Le rôle de cette couche granulaire est double : (1) éviter l'abrasion et la perforation du géotextile par le ballast, (2) répartir les contraintes (car la répétition de contraintes élevées favoriserait la mobilité des particules fines de sol qui finiraient par traverser le géotextile). En plus de la fonction de séparateur, les géotextiles épais, placés dans les voies ferrées, remplissent la fonction de drain, évacuant latéralement les eaux de pluie ou celles provenant du sol de fondation.

- Aires de loisirs et terrains de sport (Fig. 8 *r*, *s*, *t*, *u*).

Barrière. Un géotextile remplit la fonction de barrière lorsque, placé sur le parcours de corps solides en mouvement, il les arrête. Pour remplir cette fonction, un géotextile doit résister à la traction et doit avoir la propriété de rétention (ouvertures suffisamment petites pour retenir les solides, condition facile à satisfaire, et résistance à la perforation). De plus le géotextile doit résister au rayonnement ultraviolet. Seuls des géotextiles tissés fabriqués à l'aide de très gros monofilaments ou des grilles ou treillis plastiques peuvent remplir ces

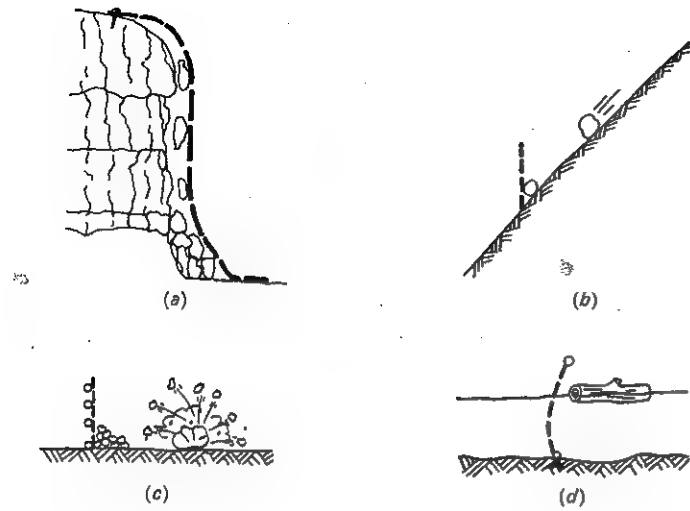


FIG. 9. — Exemples de géotextiles remplissant la fonction de barrière.

conditions. Peu d'applications de ce type ont été réalisées jusqu'à présent : barrières d'éboulement (Fig. 9 a, b), d'explosion (Fig. 9 c) et de corps flottants (Fig. 9 d).

Membrane tendue. Un géotextile remplit la fonction de membrane tendue lorsque, placé entre deux matériaux ayant des pressions différentes, il contient celui qui est à la pression la plus élevée. Le déséquilibre des pressions est compensé par la résultante des tensions du géotextile selon le schéma de la figure 3 g. La fonction « membrane tendue » résulte donc de la combinaison de deux propriétés du géotextile : rétention, pour que les deux matériaux demeurent séparés, et résistance à la traction. Exemples :

- Petits soutènements réalisés à l'aide d'un géotextile de 0,5 m de haut environ, maintenu par des piquets verticaux espacés de 0,5 m à 1 m (Fig. 10 a). Dans la petite terrasse de terre située derrière le géotextile on plante des arbustes pour reboiser les pentes érodées. Le géotextile se tend et prend une forme courbe sous l'effet de la poussée de la terre. Pour cette application il faut que le géotextile ait une très bonne résistance au rayonnement ultraviolet (par exemple tissé fait de gros monofilaments) ou qu'il soit protégé par une pulvérisation de résine ou de bitume. Il faut également que ce géotextile soit peu susceptible de fluer. On peut également utiliser une grille (fournissant la résistance), doublée d'un géotextile fournissant la rétention. Notons que dans les barrières à silts (Fig. 6 c) et les rideaux à silts (Fig. 6 d), le géotextile, dont la fonction principale est celle de filtre, a également une fonction secondaire de membrane tendue.

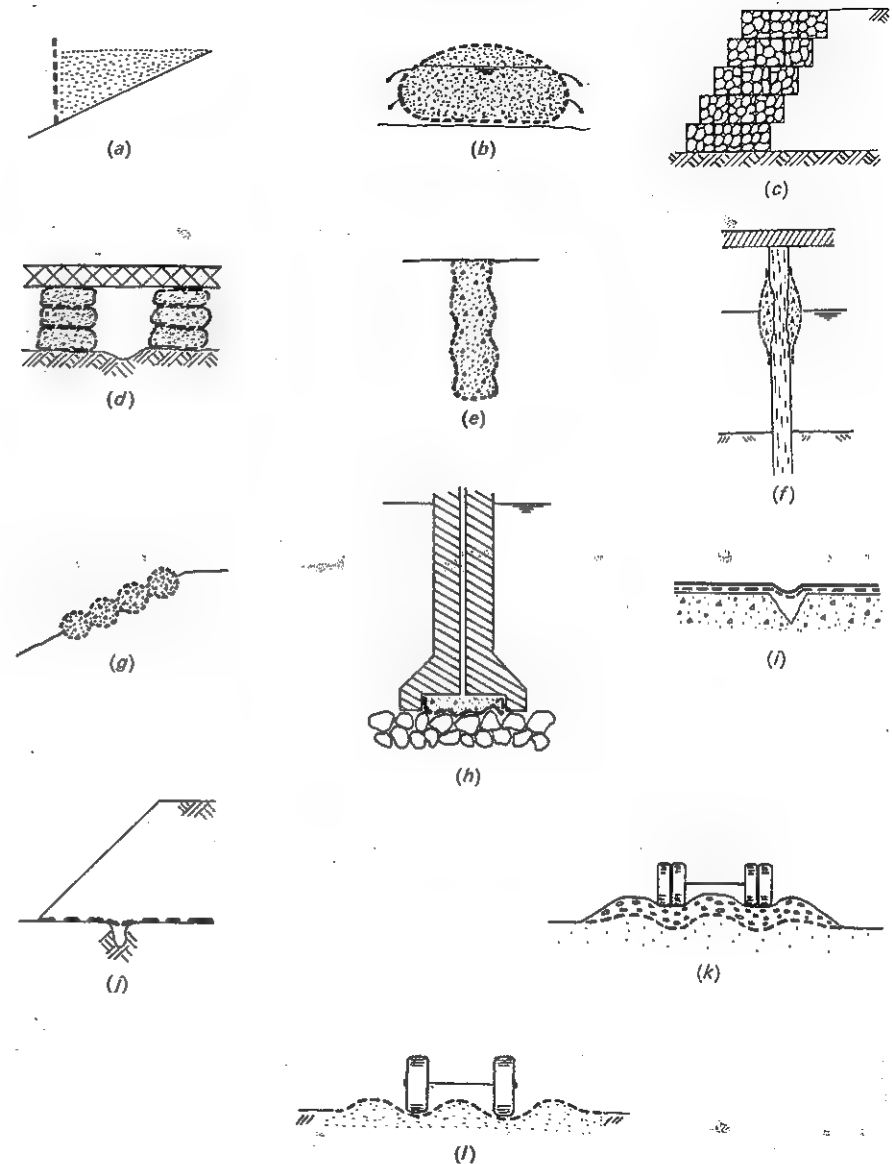


FIG. 10. — Exemples de géotextiles remplissant la fonction de membrane tendue.

• Tubes et sacs, en tissé ou nontissé, contenant du sable (Fig. 10 b) éventuellement remplis par remblaiement hydraulique (dans ce cas, le géotextile joue également le rôle de filtre pendant le remplissage); gabions réalisés à l'aide de treillis ou grilles plastiques (Fig. 10 c). Ces tubes, sacs, gabions sont des éléments de construction que l'on peut empiler ou agencer pour construire une grande variété d'ouvrages provisoires ou définitifs (Fig. 10 d). Notons que la face verticale des massifs multicouches sol-géotextile (Fig. 11 b, c) est une série de demi-tubes où le géotextile remplit la fonction de membrane tendue.

• Chaussettes, en tissé ou nontissé, remplies de béton pour réaliser des pieux dans des sols caverneux (Fig. 10 e) ou pour chemiser des pieux en bois rongés par la pourriture dans la zone de marnage (Fig. 10 f); enveloppe de géotextile tissé, servant à mouler une dalle de béton, plate ou ondulée, pour protéger une berge (Fig. 10 g). On a également utilisé le même principe pour assurer l'assise de fondations sous-marines (Fig. 10 h).

• Géotextile aidant une géomembrane à « ponter » une fissure (Fig. 10 i). Dans ce cas le géotextile ne fournit que la propriété de résistance à la traction, la propriété de rétention de l'eau étant apportée par la géomembrane. Suivant le même principe, un géotextile peut ponter un affaissement local du sol sous un remblai (Fig. 10 j).

• Pistes (Fig. 10 k). Si l'orniérage est faible, le géotextile remplit seulement la fonction de séparateur (voir Fig. 8 o). Si l'orniérage est important, le géotextile remplit la fonction de membrane tendue entre les roues et sous les roues. Entre les roues, grâce à l'effet de membrane tendue, la pression sur le sol de fondation est supérieure à celle qui serait appliquée sans le géotextile : il en résulte une augmentation de la portance du sol. Sous les roues, grâce à l'effet de membrane tendue, la pression sur le sol de fondation est inférieure à celle qu'il y aurait sans géotextile. Ces deux effets s'ajoutent et le résultat global de l'utilisation du géotextile est un renforcement de la piste autorisant une réduction de l'épaisseur de la couche de gravier. On peut également réaliser une piste à l'aide d'un géotextile non revêtu de gravier (Fig. 10 l) mais ceci est très rare (opérations militaires, exploration).

Armature. Un géotextile remplit la fonction d'armature lorsqu'il contribue par son comportement en traction à la stabilité d'un ouvrage. Pour remplir cette fonction, le géotextile doit avoir non seulement des propriétés en traction (résistance, module) élevées, mais aussi un coefficient de frottement élevé avec le sol en contact.

La fonction d'armature et la fonction de membrane tendue sont les deux fonctions par lesquelles un géotextile peut renforcer un sol. Aussi regroupe-t-on souvent ces deux fonctions sous le nom de renforcement.

Exemples d'ouvrages où un géotextile remplit la fonction d'armature :

• Géotextile sous remblai (Fig. 11 a) : le géotextile peut remplir la fonction d'armature si l'analyse montre que le remblai sans géotextile serait instable. Un géotextile placé à la base d'un remblai peut également remplir les fonctions de séparateur (Fig. 8 a) et de drain (Fig. 5 h).

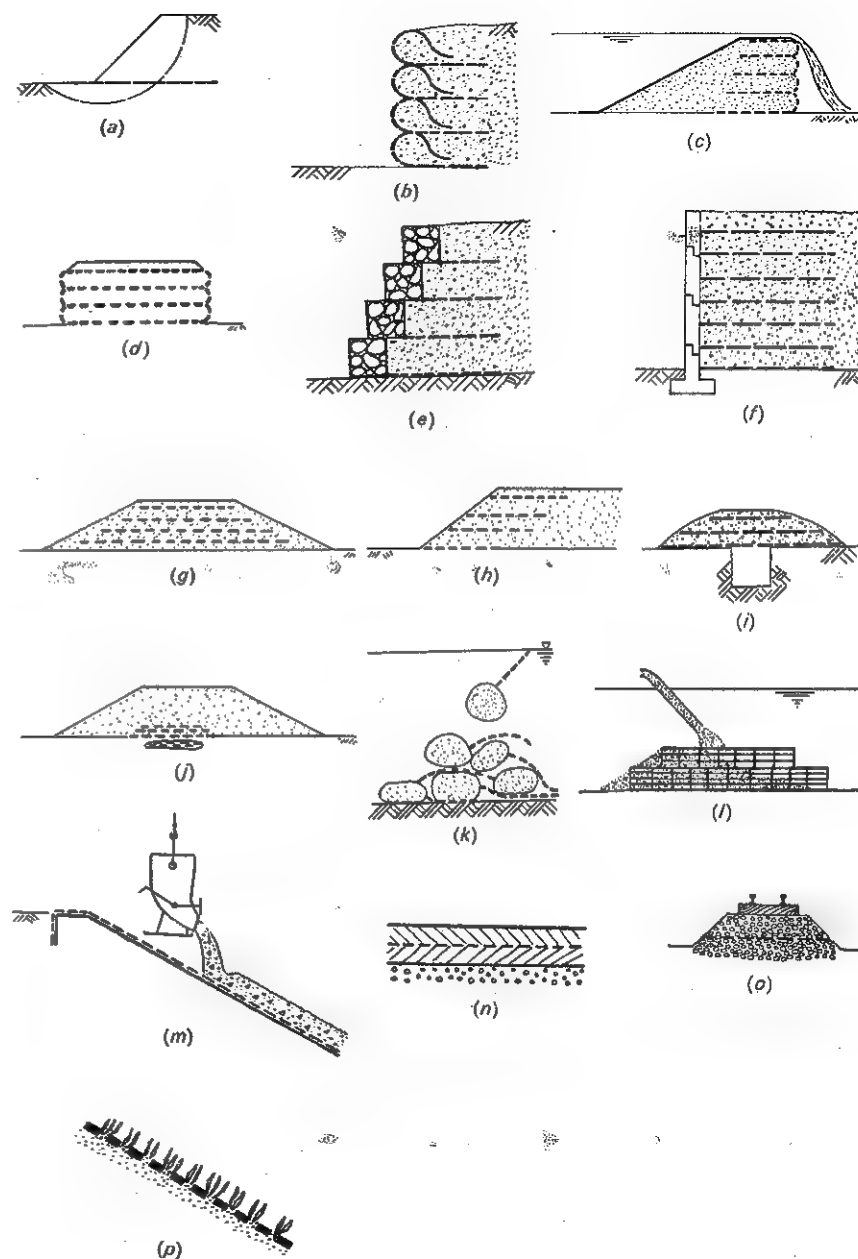


FIG. 11. — Exemples de géotextiles remplissant la fonction d'armature.

• Massifs multicouches à parement géotextile pour réaliser des soutènements (Fig. 11 b), des barrages (Fig. 11 c), des remblais (Fig. 11 d). La partie horizontale du géotextile remplit la fonction d'armature et la partie courbe celle de membrane tendue. La partie exposée du géotextile doit être protégée du rayonnement ultraviolet à l'aide d'une pulvérisation de bitume, mortier, résine ou d'un rideau en géomembrane opaque. La construction de parements verticaux en géotextiles nécessite l'utilisation de coffrages. Le parement vertical peut également être réalisé en gabions (Fig. 11 e) ou plaques de béton (Fig. 11 f). On peut aussi construire un massif en sol armé à parements non revêtus (Fig. 11 g) et l'on peut se contenter d'armer le bord du massif pour faciliter le compactage et/ou augmenter la stabilité superficielle (Fig. 11 h). Dans tous ces massifs multicouches, un géotextile épais peut, si nécessaire, remplir la fonction de drain. On peut enfin, suivant le même principe réaliser des abris (Fig. 11 i) ou ponter des zones de sol faible sous un remblai (Fig. 11 j).

• Constructions subaquatiques. Il est alors difficile de mettre le géotextile en place horizontalement. Divers systèmes d'armature ont été suggérés ou expérimentés : blocs ou sacs munis d'une traîne en géotextile destinée à remplir la fonction d'armature (Fig. 11 k), cellules réalisées à l'aide de grilles plastiques déposées au fond de la mer et remblayées hydrauliquement (Fig. 11 l).

• Un géotextile, placé sur une géomembrane, et convenablement ancré en tête de pente, permet de couler du béton qui glisserait s'il était coulé directement sur la géomembrane (Fig. 11 m). Le géotextile remplit à la fois la fonction d'armature et de drain, évacuant l'eau en excès dans le béton qui, autrement, lubrifierait le contact béton frais-géomembrane. Cette application est très importante dans les canaux.

• On envisage d'utiliser des géotextiles spéciaux pour armer les revêtements routiers (Fig. 11 n), ce qu'il ne faut pas confondre avec les géotextiles utilisés contre la propagation des fissures (voir Fig. 4 a). On envisage également l'utilisation de grilles plastiques pour armer les ballasts de chemins de fer afin de prévenir l'épanchement latéral du ballast sous l'effet des charges répétées (Fig. 11 o).

• Les mats sont couramment utilisés comme armature superficielle temporaire du sol pendant que pousse la végétation (Fig. 11 p).

Sélection et dimensionnement

Faut-il utiliser un tissé ou un non-tissé, en polyester ou polypropylène ? Peut-on réduire le coût du projet si l'on utilise un géotextile ? Questions désormais classiques qu'il faut traiter ensemble : sélection du géotextile et dimensionnement de l'ouvrage sont liés.

On peut distinguer trois types de méthodes de sélection et dimensionnement :

• Méthodes empiriques qui consistent à utiliser une *classification* des situations susceptibles d'être rencontrées (classification établie en tirant parti de l'expérience acquise). Il faut faire des *essais d'identification* sur chacun des

matériaux de l'ouvrage (y compris les géotextiles) pour les situer dans la classification.

• Méthodes analogiques qui consistent à *comparer* la réalité à des essais. On fait un ou plusieurs *essais de simulation* à l'aide d'un modèle reproduisant la réalité à une certaine échelle. La comparaison essai/réalité est d'autant plus simple que l'échelle est voisine de un.

• Méthodes analytiques qui consistent à faire une *analyse* théorique du fonctionnement de l'ouvrage à l'aide de calculs et de résultats connus (formules, abaques). Il faut faire des *essais de comportement* sur chacun des matériaux de l'ouvrage pour obtenir les valeurs de leurs propriétés intervenant dans l'analyse.

L'idéal serait que, pour une application donnée, on puisse utiliser les trois types de méthodes et comparer leurs résultats. En fait, chaque méthode nécessite un travail préalable (classification, construction d'un modèle, analyse théorique) qui n'a pas encore été fait dans beaucoup de cas. Il en résulte que, pour une application donnée, on ne dispose en général aujourd'hui que d'une ou deux méthodes, celles que l'on a eu le temps de mettre au point. Voyons quelques exemples.

Les applications où le géotextile remplit les fonctions d'amortisseur, revêtement, ou barrière se prêtent difficilement à l'analyse théorique du fait du caractère concentré des sollicitations. La méthode analogique est recommandée car, les phénomènes relatifs à ces fonctions étant à une échelle assez petite, les modèles sont faciles à construire. Un exemple typique est le modèle utilisé pour évaluer les géotextiles utilisés pour protéger les géomembranes [1].

Les phénomènes relatifs à la fonction de séparateur sont assez complexes (action simultanée de charges réparties et concentrées, répétition des charges) et seulement quelques tentatives d'analyse théorique et d'essais de simulation ont été faites. Le grand nombre d'applications où les géotextiles jouent le rôle de séparateur a permis au Comité Français des Géotextiles d'établir une classification servant de base à une méthode empirique pour les aires de stationnement [2] et les pistes [3]. Dans ce dernier cas, le géotextile peut également jouer le rôle de membrane tendue, ce qui conduit à une méthode de dimensionnement analytique comme nous le verrons plus loin.

Des méthodes analytiques de dimensionnement des ouvrages et sélection des géotextiles ont pu être établies dans le cas de fonctions où le géotextile est soumis à des sollicitations simples susceptibles d'être traitées par le calcul. C'est le cas des fonctions de drain, filtre, membrane tendue et armature. Le dimensionnement des drains géotextiles relève de l'hydraulique des milieux poreux et les méthodes qui en découlent sont simples [4]. Le dimensionnement des filtres géotextiles est analogue à celui des filtres granulaires [5]. Une étude générale de l'effet de membrane tendue a été publiée [4] et son application au dimensionnement des pistes a fait l'objet d'abaques [6]. Les cas où le géotextile joue le rôle d'armature peuvent généralement se traiter avec les méthodes classiques de la géotechnique. Par exemple, le surcroît de stabilité apporté par un géotextile à un remblai (Fig. 12) peut s'évaluer à l'aide des méthodes clas-

siques de stabilité des remblais, en remplaçant le géotextile par une force dont le moment s'ajoute à celui des contraintes de cisaillement du sol.

Dans tous les cas, on doit aboutir à un dimensionnement de l'ouvrage et à une liste des propriétés requises du géotextile. La liste des propriétés requises du géotextile obtenue à l'aide de méthodes de dimensionnement et de sélection doit être complétée pour y inclure les propriétés permettant au géotextile de résister aux sollicitations lors de la mise en œuvre.

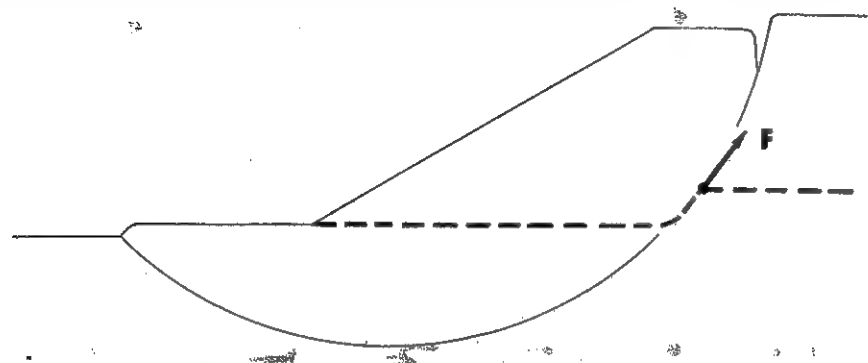


FIG. 12. — Surcroît de stabilité apporté à un remblai par un géotextile.

Mise en œuvre des géotextiles

La mise en œuvre des géotextiles est simple. Elle comprend trois phases : la préparation, l'installation et le recouvrement.

La préparation consiste à : (1) établir la liste des propriétés requises du géotextile, comme indiqué plus haut ; (2) obtenir une liste de producteurs auprès de comités ; (3) obtenir des producteurs des tableaux indiquant les valeurs des différentes propriétés de leurs géotextiles, avec référence des procédures d'essais, ainsi que la dimension des rouleaux ; (4) établir la liste des géotextiles disponibles dont les propriétés sont conformes à celles requises ; (5) établir un plan de pose en orientant les bandes dans le sens des contraintes principales, prévoir les quantités de géotextile nécessaires pour les raccordements (dont le nombre dépend de la dimension des rouleaux) et en déduire les quantités de géotextile à commander ; (6) comparer les délais de livraison et les prix ; (7) commander le géotextile et le faire livrer sur le site ; (8) identifier les rouleaux livrés en vérifiant que l'étiquetage est conforme au produit commandé et, éventuellement, en mesurant la masse surfacique (il suffit d'une balance et d'un mètre) ; (9) s'il y a lieu, prélever des échantillons et faire effectuer par un laboratoire des essais pour contrôler la qualité du géotextile livré ; (10) stocker les rouleaux enveloppés dans un plastique opaque et étanche à la pluie et à la poussière (vérifier si l'emballage de livraison convient), et dans un endroit non inondable (un géotextile imbibé d'eau est difficile à manipuler).

L'installation dépend du type d'application. Certaines installations sont mécanisées (drains verticaux), d'autres peuvent l'être (fabrication, remplissage et empilement de sacs ou gabions). Certaines applications nécessitent une expérience ou une habileté particulières (moulage de béton, installation sous l'eau, mise en place verticale ou quasi verticale comme pour les drains cheminées ou les parements de sol armé), d'autres relèvent des techniques traditionnelles de construction (barrières à blocs ou à silts, petits soutènements pour le reboisement des pentes). Pour toutes ces applications, des instructions particulières de pose sont nécessaires. Mais, dans la majorité des cas, les géotextiles sont utilisés pour couvrir de grandes surfaces quasi horizontales et les opérations suivantes sont à effectuer : (1) préparer le support selon les nécessités du projet, en notant que la plupart des géotextiles grâce à leurs propriétés (souplesse, déformabilité, résistance à la perforation et à la déchirure) s'accommodent de supports irréguliers et ne requièrent que l'enlèvement de quelques souches et gros blocs ; (2) découper, si nécessaire, les rouleaux à l'aide d'une scie ; (3) dérouler les rouleaux ; (4) découper, si nécessaire, les bandes de géotextiles à l'aide de ciseaux ou de couteaux ; (5) raccorder les bandes voisines soit par couture (tissés, nontissés) à l'aide de machines à coudre portatives, soit par agrafage ou laçage (treillis, grilles), soit par recouvrement de 0,3 m (sur sol ferme) à 1 m (sur sol mou) (Noter que le recouvrement ne convient pas si le géotextile doit travailler en traction, c'est-à-dire s'il remplit la fonction d'armature, membrane tendue ou barrière) ; (6) fixer éventuellement le géotextile au sol à l'aide de blocs, sacs, agrafes pour éviter son soulèvement par le vent ; (7) protéger de la lumière, par un rideau opaque (géomembrane) ou par une pulvérisation de mortier, de bitume ou de résine, les parties du géotextile qui doivent demeurer exposées en permanence. Après sa mise en place, le géotextile ne doit être détérioré ni par la lumière ni par des actions mécaniques et, s'il remplit les fonctions de filtre ou drain, il ne doit pas être sali. Il faut donc prendre certaines précautions dans la phase de recouvrement.

Le recouvrement du géotextile par le matériau adjacent prévu dans le projet (terre, béton, béton bitumineux, géomembrane, etc.) doit se faire le plus rapidement possible pour protéger le géotextile de la lumière. Au-delà de trois semaines, certains géotextiles commencent à se dégrader de façon sensible. Les actions mécaniques susceptibles de dégrader le géotextile proviennent soit du déversement incontrôlé de blocs, soit de la circulation d'engins au cours des opérations de recouvrement. Si le support n'est pas trop irrégulier, des engins à pneus peuvent circuler directement sur le géotextile sans causer de dommage. On préfère cependant faire circuler les engins sur la première couche de terre placée sur le géotextile. L'épaisseur de cette couche doit être choisie tenant compte de la grosseur et de l'angularité des cailloux, des contraintes exercées par les engins et de la résistance du géotextile au poinçonnement. Par ailleurs, l'emploi de pelles mécaniques, grues, niveleuses, etc. doit être contrôlé de manière à réduire les risques d'accroc et de déchirure du géotextile. Enfin, si le géotextile remplit les fonctions de drains ou de filtre, il faut veiller à ne pas le salir.

par de la poussière ou de la boue (on se méfiera en particulier des coulées de boue sur les géotextiles utilisés dans les drains situés au bas d'une pente).

Dans les projets importants, les principales opérations de mise en œuvre des géotextiles doivent faire l'objet d'un contrôle de qualité.

Utilisation des géotextiles dans le monde

A l'occasion de la présentation des fonctions, la plupart des applications des géotextiles ont été passées en revue et l'on peut noter que toutes les branches de la géotechnique sont concernées : routes et aéroports, pistes, aires de stationnement et de stockage, voies de chemin de fer, remblais, remblais hydrauliques, remblais subaquatiques, travaux côtiers, protections de berges, gabions, fondations, barrages, bassins, canaux, irrigation et drainage, prévention et contrôle de l'érosion, lutte contre la pollution, etc. Certaines réalisations mettent en jeu des millions de mètres carrés, comme par exemple la protection du lit de l'Escaut aux Pays-Bas, d'autres quelques mètres carrés seulement. La première utilisation de textile synthétique en géotechnique remonte à 1958 : protection côtière réalisée à l'aide d'un textile tissé sous dalles de béton, aux États-Unis. L'essor prodigieux des géotextiles commence avec la première utilisation de nontissés dans des pistes et remblais, en France et en Angleterre, en 1968. Il se poursuit à l'occasion du grand effort de construction routière en Europe occidentale dans les années 1970 où l'on a utilisé des quantités considérables de géotextiles sous les remblais et dans les drains. La variété des applications est le fruit de l'imagination de beaucoup, de l'audace de certains : dès le début des années 1970, premières utilisations de géotextiles dans des barrages en France, puis construction de grands barrages avec géotextiles en Afrique du Sud.

Le développement des géotextiles dans le monde est influencé par la géographie, la géologie et l'économie. Aux États-Unis on répare les voies ferrées, en France et au Japon on en construit de nouvelles. On emploie beaucoup de géotextiles aux États-Unis pour la réhabilitation des chaussées, très peu en Europe. Les protections de berges et côtes comprennent des géotextiles partout dans le monde, en particulier aux Pays-Bas, en Allemagne et aux États-Unis où l'utilisation des dalles de béton coulées dans un coffrage en textile s'est développée beaucoup plus qu'en Europe. On utilise beaucoup de géotextiles dans les grandes pistes forestières du Canada et des États-Unis, mais, partout dans le monde, l'utilisation de géotextiles dans les pistes et remblais est importante. Dans les pays industrialisés, pour la lutte contre la pollution, dans les pays en voie de développement, pour l'irrigation, le succès des géotextiles accompagne celui des géomembranes.

Toutes ces utilisations ont entraîné un développement considérable du marché mondial annuel qui était négligeable à la fin des années 1960, supérieur à cent millions de mètres carrés à la fin des années 1970 et dont on prévoit qu'il sera supérieur à un milliard de mètres carrés avant la fin du siècle.

Pourquoi un tel succès ? Il faut en chercher les raisons au niveau de la construction et de la conception des ouvrages. Dans les premières applications les géotextiles ont été utilisés en grande partie parce qu'ils facilitaient la construction (un géotextile est plus facile à mettre en place qu'une couche de sable) et faisaient gagner du temps (notamment les pistes de chantier avec géotextiles permettaient aux engins de circuler par tous les temps).

Aujourd'hui, on s'intéresse de plus en plus à l'influence bénéfique des géotextiles sur la conception des ouvrages du fait, soit de l'amélioration des performances des ouvrages traditionnels et des économies qui en résultent (par exemple, il faut moins de gravier dans une piste avec géotextile que dans une piste sans géotextile), soit de la possibilité de concevoir des ouvrages ou des dispositifs originaux (il suffit de se reporter aux planches illustrant les fonctions pour en voir de multiples exemples).

Il convient de signaler le rôle capital des producteurs de textiles dans cet étonnant développement industriel. *A priori*, rien ne les destinait à s'intéresser au génie civil et pourtant ils ont eu une large part des initiatives décisives. Nous invitons le lecteur à consulter les brochures, certaines remarquables, distribuées par les producteurs de géotextiles. On y trouve d'excellentes photographies en couleurs illustrant la mise en place des géotextiles dans une grande variété d'ouvrages.

L'auteur tient à remercier Yves Lacroix de ses remarques, ainsi que Pierre Mallard, Eric Melikov et Thierry Sanglerat pour l'exécution des dessins.

BIBLIOGRAPHIE

Types de géotextiles. Demander des échantillons aux producteurs dont on peut se procurer l'adresse auprès des comités dont la liste est donnée ci-dessous.

Propriétés des géotextiles. Se procurer les procédures standards d'essais auprès des comités et consulter les comptes rendus de congrès dont la référence est donnée ci-dessous.

Fonctions et applications des géotextiles. Les diverses applications des géotextiles sont illustrées par de nombreuses photographies dans les brochures que l'on peut se procurer auprès des producteurs de géotextiles. Les applications sont décrites dans les comptes rendus de congrès et dans quelques publications comme, par exemple :

LEFLAIVE, E., *Les textiles en construction routière*. La technique routière, Vol. 22, N° 3 (1977).

GIROUD, J. P. — *Les Géotextiles : nouveaux matériaux de construction, devenus indispensables en moins de dix ans — Application aux travaux ferroviaires*. Rail International, 11 (Bruxelles, novembre 1978), 908-912.

SAUVAGE, R., LANGLADE, J. — *L'utilisation des géotextiles dans les plates-formes ferroviaires de la SNCF*. Matériaux et constructions, Vol. 14, N° 82 (juillet-août 1981), 283-287.

HEERTEN, R. G. — *Geotextiles in Coastal Engineering*. Matériaux et constructions, Vol. 14, N° 82 (juillet-août 1981), 273-281.

GIROUD, J. P. — *Utilisation des géotextiles nontissés dans les travaux hydrauliques*. Excavator, 4 (avril 1979), 1-14.

Sélection et dimensionnement. Les références suivantes ont été citées dans le texte :

- [1] LOUDIÈRE, D. — *Utilisation des textiles synthétiques dans les barrages en terre*. Colloque International Sols et Textiles (Paris, 1977), p. 222.
- [2] Comité Français des Géotextiles. *Recommandations pour l'emploi des géotextiles dans les aires de stockage et de stationnement* (janvier 1981).
- [3] Comité Français des Géotextiles. *Recommandations pour l'emploi des géotextiles dans les voies de circulation provisoire, les voies à faible trafic et les couches de forme* (février 1981).
- [4] GIROUD, J. P. — *Designing with Geotextiles*, Matériaux et constructions, Vol. 14, N° 82 (juillet-août 1981), 257-272.
- [5] GIROUD, J. P. — *Filter criteria for geotextiles*. Comptes rendus du Deuxième Congrès International des Géotextiles (Las Vegas, 1982), 103-108.
- [6] GIROUD, J. P. and NOIRAY, L. — *Geotextile-Reinforced Unpaved Road Design*, Journal of the Geotechnical Division, ASCE, Vol. 107, N° GT9, Proc. Paper 16489 (September 1981), 1233-1254.

Mise en œuvre des géotextiles. Se procurer les « Recommandations pour la mise en œuvre des géotextiles » du Comité Français des Géotextiles.

COMITÉS

La liste qui suit est limitée à quelques comités francophones :

- Comité Français des Géotextiles, 35, rue des Abondances, 92100 Boulogne sur Seine, France.
- Association Suisse des Professionnels de Géotextiles, EMPA, ETH-Hönggerberg, CH-8093, Zurich, Suisse.
- Commission des Membranes Synthétiques de la RILEM, Institut du Génie Civil, 6, quai Banning, Liège, B4000, Belgique.
- Comité Canadien des Géotextiles, Office des normes générales du Canada, Ottawa, Canada, K1A 1G6.

CONGRÈS

- Comptes Rendus du Colloque Sols et Textiles (Paris, 1977), disponibles à l'Ecole Nationale des Ponts et Chaussées, 28, rue des Saints-Pères, 75007 Paris, France.
- Comptes Rendus du Deuxième Congrès International des Géotextiles (Las Vegas, 1982), disponibles à IFAI, 350 Endicott Building, Saint-Paul, Minnesota, 55101, USA.
- Comptes Rendus du Troisième Congrès International des Géotextiles (Vienne, 1987).

INDEX

- Accident, 396 à 410.
 ARNOULD, 413.
 ABSI, E., *tome 1* (277).
 Activité des argiles, *tome 1* (37-38).
 Adhérence, 24, 25, 26.
 Aiguillage, 417.
 Analyse granulométrique, *tome 1* (22-23).
 Ancrages, 68 à 72.
 Amortisseur, 413, 424.
 ANDERSEN, A. A., *tome 1* (233).
 ANDINA, 387, 388, 389 à 391, 414.
 Angle de frottement interne, *tome 1* (77, 186, 204, 205, 210 à 215, 224, 225).
 — résiduel, 273, 274 et *tome 1* (192, 197).
 Anisotropie, *tome 1* (72, 213, 229).
 Argiles gonflantes, *tome 1* (151, 152 à 157).
 Argile normalement consolidée, *tome 1* (121).
 — microfissurée, 274-275.
 Ascension capillaire, *tome 1* (82).
 ATTERBERG, *tome 1* (33 à 35).
 BACOT, 53 et *tome 1* (101).
 Bandelette, 417.
 BAGGET, 101.
 BAGUELIN, 262, 413.
 BALIGH, 413.
 Barrières de dégel, *tome 1* (89).
 BAUZIL, V., *tome 1* (92).
 BEER (DE), 4, 195, 202, 210, 283, 336 et *tome 1* (12).
 BATTAGLIO, 413.
 Battage, 375, 376.
 Bentonite, *tome 1* (32).
 — (boue à la), 109, 111 et *tome 1* (107 à 111, 122).
 BARENTSEN, 384.
 BERNAIX, *tome 1* (92).
 BIAREZ, 158, 159, 171, 172, 179, 287, 293, 336, 360 et *tome 1* (90, 184, 195, 229, 233).
 Bidim, 417 à 430.
 BISHOP, 299, 305, 312, 336 et *tome 1* (77, 92, 202, 233).
 BISHOP A. W. et BLIGHT, G. E., 336 et *tome 1* (92, 233).
 BJERRUM L., 101, 336 et *tome 1* (233, 258).
 BLUM (méthode), 63, 64, 75.
 BOLLE G., *tome 1* (158).
 BOROWICKA H., *tome 1* (233).
 BOTTERO, 194, 210.
 BOURGES F., *tome 1* (158).
 BOUSSINESQ, 196 et *tome 1* (97, 99, 100, 109, 146, 251, 276).
 — (équilibre de), 4, 8, 61, 69 et *tome 1* (251 à 264).
 BOYES, 142.
 BRINCH HANSEN, 3, 69, 74, 83, 84, 95, 159, 161, 170, 171, 172, 210 et *tome 1* (136, 278).
 BUISMAN, 383.
 Bulbe des pressions, 356 et *tome 1* (101, 109).
 CAILLÈRE S., *tome 1* (45).
 CAMBEFORT H., *tome 1* (92).
 CAMBOU B., *tome 1* (45).
 Capacité portante (théorie de la), 153 à 157.
 — (facteurs de), 155 à 157, 159 à 170.
 Capillarité, *tome 1* (82 à 86).
 CAQUOT, 4, 90, 226, 228, 289 à 292 et *tome 1* (179, 181, 233, 271, 276).
 CAQUOT-KERISEL, 8, 9, 14, 155, 159, 226, 227, 228, 232, 321 et *tome 1* (21, 115, 215, 253, 261, 276).
 Carottiers, 204, 205.
 CASAGRANDE, 275 et *tome 1* (26, 27, 35, 37, 53, 146, 187, 191, 216).
 Cantilever (mur de soutènement), 36.
 CEDERGREN H. R., *tome 1* (92).
 Cercle de flanc de talus, 272, 292 et *tome 1* (193, 216).
 — de pied de talus, 272, 273.
 — de rupture profonde, 33, 272, 292 et *tome 1* (286).
 — de MOHR, *tome 1* (168, 169, 236 à 239, 272).
 CHAPEAU C., *tome 1* (158).
 Charge hydraulique, *tome 1* (48, 49).
 CHELLIS (formule de), 220, 262.
 CHEN F., *tome 1* (158).
 CHALUMEAU, 53.
 Cisaillement (boîte de), *tome 1* (189 à 192).
 Coefficient de consolidation, *tome 1* (134, 138, 143 à 145).
 — de frottement sur l'écran, 2, 3, 24, 25 et *tome 1* (252).
 — d'influence, *tome 1* (103 à 108).
 — de perméabilité, *tome 1* (50, 51, 52, 56, 57).
 — de poussée et de butée, 25, 29, 58, 59, 67, 74, 136 à 139 et *tome 1* (241, 250, 253, 259, 265).
 — de poussée au repos, 4, 5, 6 et *tome 1* (226).

- de raideur, 197 et *tome 1* (110 à 115).
- CLOUGH, 142.
- CORDARY, 413.
- COLLIN, 337, 383.
- Coefficient de réduction de Rowe, 79, 80.
 - d'uniformité (HAZEN), *tome 1* (21, 22).
 - de sécurité, 6, 30, 31, 32, 61, 65, 72, 75, 140, 179, 202, 203, 204, 239 à 242, 277 à 285, 287, 319.
- Cohésion, *tome 1* (186, 210, 211, 224, 225).
 - apparente, 386 et *tome 1* (86, 226 à 229).
- Coin de glissement, 1, 2, 10.
 - de Kowaleski, 131 à 136, 142.
 - de Nash et Jones, 123, 127 et 142.
- Colonnes ballastées, 258 et *tome 1* (16, 17, 18).
- Colloïdales (propriétés), *tome 1* (28).
- Compactage, 331, 332, 388 et *tome 1* (12 à 21).
- Compactage par explosif, *tome 1* (12, 13, 14).
- Compressibilité, *tome 1* (95, 118 à 125).
- Congélation des sols, *tome 1* (89 à 92).
- Consolidation, *tome 1* (96, 131 à 148).
 - (pression de), *tome 1* (120).
 - (degré), *tome 1* (132, 136).
- Consolidées (argiles normalement), *tome 1* (121, 123, 124).
- Contrôle compactage, 388.
- Contraintes admissibles, 34, 153, 202 à 207, 239, 240, 383.
 - effectives, 312 et *tome 1* (6, 75 à 81, 183).
 - principales, *tome 1* (166, 189, 236, 237, 242).
- COULOMB (loi de), *tome 1* (163, 184 à 189).
 - (droites de), *tome 1* (167, 186).
 - (condition de), *tome 1* (181, 185, 187, 240, 241, 272).
 - (méthode de), 2, 10 à 14.
 - (coin de), 1 à 10.
- Courant (fonction de), *tome 1* (63).
- Courbe granulométrique, *tome 1* (22).
 - intrinsèque, *tome 1* (179 à 181, 224, 240).
- COURBON, J., *tome 1* (233).
- CRANDAL (formule de), 220, 221.
- Critères de Mohr-Cauchy, *tome 1* (180).
 - de plasticité, *tome 1* (175, 181, 184).
 - de Tresca, *tome 1* (178).
 - de Von Mises, *tome 1* (178).
- CULMANN (construction de), 14, 15, 18, 37.
- Cross hole, 357.
- DELFT (pénétromètre), 382, 385.
- DARCY (loi de), *tome 1* (49, 50, 56, 58, 59, 61).
- DAVIS E. H., *tome 1* (277).
- DECOURT, 377, 413.
- DEMBICKI F., *tome 1* (45, 276).
- Densité déjàugée, *tome 1* (12, 78, 79).
 - humide, *tome 1* (2).
 - relative, *tome 1* (25).
- Densité sèche, *tome 1* (2, 10).
- Déviateur, *tome 1* (165, 166, 185).
- Diagraphie, 353.
- Diamètre efficace, *tome 1* (32).
- Dilatation cubique, *tome 1* (172).
- Dilatations principales, *tome 1* (172, 173).
- Drain, 419 à 425.
- Distorsions, *tome 1* (172).
- Down hole, 357.
- Drainage (dispositif de), 328 et *tome 1* (196, 197).
- Dromochronique (courbe), 301, 302.
- DRUCKER D., *tome 1* (233).
- DUPUIT (formule de), *tome 1* (66).
 - (méridienne de), *tome 1* (66, 67, 69).
- Eau absorbée, *tome 1* (30, 31, 32, 131, 147).
- Ecoulement plastique, *tome 1* (131, 163, 181 à 183).
- Elastoplastiques (corps), *tome 1* (175, 176).
- Encastrement d'une fondation, 144, 164, 169.
 - équivalent, 375.
- Enregistrement paramètres forage, 353.
- Equipotentiels, *tome 1* (62).
- Essai de chargement de pieux en place, 222, 223, 224, 355.
 - de cisaillement rectiligne, *tome 1* (189 à 192).
 - à la plaque, 356 et *tome 1* (111 à 113).
 - de striction, *tome 1* (167, 187, 195).
 - à la table, 204, 357.
 - triaxial, *tome 1* (167, 187, 193 à 200).
- Essais dynamiques, 356, 357.
- Etats correspondants, 25 et *tome 1* (271 à 274).
- Facteur de concentration, *tome 1* (109).
 - résiduel, 274 à 277.
 - temps, *tome 1* (135, 136).
- FELD (règle de), 243.
- FERRAND, 101.
- Fiche, 56, 57, 72.
- Filtres, 419 à 426 et *tome 1* (79, 80).
- FLORES M., *tome 1* (158).
- Fond de fouille (soulèvement) 95 à 100.
- FOX E. N., *tome 1* (158).
- Fouille (blindage), 91 à 95.
 - (soulèvement), 95 à 100.
- FRÖHLICH, 150-283 et *tome 1* (109, 133, 158).
- Frottement, 423.
- Frottement négatif, 228, 242.
 - unitaire moyen, 226, 227, 242.
- Gabion, 429.
- GAMBIN, 262.
- GARGA V. K., *tome 1* (233).
- GASSLER, 52, 53.
- Gel, 147 et *tome 1* (86 à 88).
- Géotextiles, 417 à 439.
- GERMAIN P., *tome 1* (233).
- GEUZE (règle de), 241.
- GIELLY, 210, 262 et *tome 1* (158).
- GIROUD, 210, 417 et *tome 1* (158).
- GIROUD (tables de), 159.

- GIROUSSE L., 210 et *tome 1* (158).
- Glissement (directions de), *tome 1* (241, 242).
 - (facettes de), *tome 1* (241).
 - (lignes de), 16 et *tome 1* (242, 243, 245 à 247, 263).
 - (de terrain), 148, 265 à 272.
- GODSKESEN, 383.
- GONZALEZ-FLORES, *tome 1* (158).
- GORBUNOW, *tome 1* (158).
- GOSSELIN M., *tome 1* (92).
- GOUVENOT, 101.
- Gradient hydraulique, *tome 1* (48, 51).
 - critique, *tome 1* (79, 81).
- Granulométrie, *tome 1* (12 à 22, 44).
- Gravimétrie, 344.
- GREEN G. L., *tome 1* (233).
- GUDEHUS, 52, 53.
- HABIB, 142, 210 et *tome 1* (234).
- Hauteur critique, 232.
- HAZEN, *tome 1* (21, 57).
- HENIN S., *tome 1* (45).
- HENKEL D. J., *tome 1* (233).
- HILL R., *tome 1* (234).
- HILL (principe de), 177, 185, 233.
- Hollandais (formule des), 220.
- HOUY, 101.
- HU, 165, 166, 169, 210.
- HAUD DE LA MARRE P., *tome 1* (92).
- HUTINGTON, 53.
- Hole (cross, down, up), 357.
- HVORSLEV, 5 et *tome 1* (220, 234).
- Hystérésis (boucles de), *tome 1* (121).
- Illite, *tome 1* (31, 32, 33).
- Indice de compaction, *tome 1* (12).
 - de compression, *tome 1* (120, 123, 124).
 - de consistance, *tome 1* (36).
 - de densité, *tome 1* (26).
 - de vides, *tome 1* (2, 3, 4, 5, 26, 214, 215).
 - des vides critiques, *tome 1* (216).
- Isochrones, *tome 1* (133, 141 à 143).
- JANSEN, 337.
- JEZEQUEL, 413-414.
- JOHES A., *tome 1* (158).
- JOHNSON E., *tome 1* (277).
- JOSSÉLIN DE JONG G. (DE), *tome 1* (176).
- JURAN, 53.
- JURIN (loi de), *tome 1* (82).
- Kaolinite, *tome 1* (23, 28, 30).
- KARST, *tome 1* (158).
- KASSIF G., *tome 1* (158).
- KASTENER, 101.
- KERISEL, 163, 216, 230, 238, 308, 316, 337 et *tome 1* (124, 192, 233, 276).
- KEZDI A., *tome 1* (45, 234).
- KISIELOWA N., *tome 1* (45).
- KOETTER-MASSAU (équation de), 182 et *tome 1* (243).
- KOPPEJAN A. W., *tome 1* (158).
- KOROTKIN W. G., *tome 1* (234).
- KORZENY-CARMAN (formule de), *tome 1* (56).
- KOWALESKI, 131 à 139, 142.
- LACASSE, 414.
- LACROIX, 262, 337, 416.
- LARÉAL, 210, 262 et *tome 1* (158).
- LEE, 53.
- L'HERMINIER R., *tome 1* (277).
- Ligne élastique (méthode de la), 63.
- Limites d'Atterberg, *tome 1* (33 à 36, 42, 43).
- LINDQUIST E., *tome 1* (92).
- LONGE, 337.
- Longueur élastique, 199 et *tome 1* (114).
- LUNDGREN H., *tome 1* (276, 45).
- LUNNE, 414.
- MANDEL J., 88, 89, 95 et *tome 1* (76, 92, 185 et 234).
- MARCHAND R., *tome 1* (234).
- MARCHE, 262.
- Mat, 422.
- MAYER A., *tome 1* (92).
- Membrane tendue, 419, 432, 433.
- MÉNARD, 414.
- MEYERHOF, 159, 161, 173, 186, 206, 210, 231, 413.
- Milieu non pesant, *tome 1* (264 à 269).
- MITCHELL K. James, *tome 1* (277).
- MLYNAREK, 414.
- Module de cisaillement, *tome 1* (173, 174).
 - de déformation volumique, *tome 1* (173, 174).
 - œdométrique, *tome 1* (98, 118, 121, 122, 130).
 - d'une palplanche, 57, 62.
 - pressiométrique, 366.
 - de réaction, *tome 1* (110 à 115).
- MOHAN, 262.
- MOHR, *tome 1* (163, 165, 168, 236).
- Monofilament, 417.
- Montmorillonite, 411 et *tome 1* (24, 29, 31).
- MOREAU M., *tome 1* (158).
- MORGENTHAUER M., *tome 1* (45).
- Moule, C. B. R., *tome 1* (9).
 - kh., *tome 1* (83).
 - Proctor, *tome 1* (9).
- MULLER, P., *tome 1* (233).
- Multifibre, 417.
- Multifilament, 417.
- Murs-poids, 7, 30.
 - à redans, 19.
 - voiles en béton armé (cantilever), 35.
- NASH, 142.
- NEWMARK (abaque de), *tome 1* (107).
- NHIEM, 110, 210, 414 et *tome 1* (119).

- Non tissé, 417 à 439.
 NONVEILLER (théorie de), 299, 337.
 NOWAKOSKI H., *tome 1* (45).
 NOWAKOWSKI A., *tome 1* (45).
 NOWAKOWSKI Z., *tome 1* (45).
 Obliquité, *tome 1* (165, 259).
 OEdomètre, *tome 1* (97, 115 à 117).
 Olsow, 262.
 Parois moulées, 107 à 116.
 Parois préfabriquées, 117 à 120.
 PARRY R. H., *tome 1* (234).
 Pathologie, 394 à 413.
 PECK, 92, 93, 94, 400.
 Pénétrömètre, 186, 214, 321, 378 et *tome 1* (124, 125, 130).
 Perméamètre à charge variable, *tome 1* (53, 54).
 — à charge constante, 55.
 PERSOZ, 142.
 Perte de charge, *tome 1* (49).
 PHILIPPONAT G., *tome 1* (158).
 PIKOWSKI, 142-132.
 Piézocône, 393.
 Piézomètres, *tome 1* (49, 70).
 PILOT G., *tome 1* (158).
 Piste, 434.
 Plasticité, *tome 1* (34; 175 à 185).
 Poids volumique, *tome 1* (2, 3).
 POLUBARINOVA-KOCHINA P., *tome 1* (92).
 PONCELET (formule de), 11.
 Porosité, *tome 1* (2, 3, 26, 50, 71).
 POSADOW M. J., *tome 1* (158).
 POULOS H. G., *tome 1* (277).
 POST, 337.
 Pénétrömètre dynamique, 378 à 393.
 — statique dynamique, 388 à 392.
 — électrique, 393.
 — statique, 383 à 386.
 PRAGER W., *tome 1* (233).
 PRANDTL (équilibre de), 162 et *tome 1* (267, 276).
 PRANDTL-CAQUOT (formule de), 85, 86, 163 et *tome 1* (268).
 Pressiomètre, 361 à 375 et *tome 1* (124).
 — autoforeur, 374, 375.
 Pressio-pénétrömètre, 375.
 Pression interstitielle, 312, 321, 325 et *tome 1* (76, 77, 132, 201, 204, 208, 209).
 — de consolidation, *tome 1* (120).
 — de contact, 194.
 PROCTOR, *tome 1* (6).
 Profondeur caractéristique, 208, 340.
 — critique, 125, 130.
 Puits, *tome 1* (65).
 PUECH, 262.
 Rabattement de nappe, 412 et *tome 1* (65).
 RANKINE (équilibre de), 3, 8, 36, 38, 125 et *tome 1* (243 à 250, 260, 264, 276).
 RAVIZE H., *tome 1* (277).
 Rayon d'action, *tome 1* (68, 72).
 Recommandations tirants d'ancrages, 101.
 Reconnaissance électrique, 344 à 347.
 REDSHAW S. C., *tome 1* (93).
 Remaniement, *tome 1* (36, 123).
 Remblais sur sols mous, 331 à 336.
 Renard, 84 à 91 et *tome 1* (328).
 — (calcul du), 86.
 — (condition de), 84.
 — solide, 96.
 Résistance de pointe, 218, 229, 237, 375 et *tome 1* (130).
 — dynamique conventionnelle, 378, 382.
 — à la compression simple (argiles), *tome 1* (39, 40, 204).
 Résistivité des sols, 344.
 REYNOLDS (nombre de), *tome 1* (58, 59).
 Rhéologiques (lois), *tome 1* (229, 230, 232).
 Rhéotest, 357, 360.
 Rideaux ancrés, 56, 57, 63.
 — sans ancrage, 56, 60.
 Rigide plastique (corps), *tome 1* (176).
 Rigidité d'une palplanche, 78, 79, 80.
 ROWE, 56, 60, 73, 77, 101.
 — (méthode de), 75.
 RUCKLI R., *tome 1* (93).
 RUCKLI R., *tome 1* (93).
 DE RUITER, 414.
 RUSHTON K. R., *tome 1* (93).
 SANGLERAT G., 158, 210, 262, 377, 383, 414 et *tome 1* (45, 158).
 SANGLERAT T. R., 104, 142, 377, 414.
 Saturation (degré de), *tome 1* (3, 4).
 — (ligne de), 319, 320.
 SAVBY, 96.
 SCHLOSSER, 53.
 SCHMERTMANN, 210.
 SCHNEEBELL, 127, 142 et *tome 1* (92, 93).
 SCHOELLER H., *tome 1* (93).
 SCHOFIELD A., *tome 1* (234, 277).
 SCHULZE E., *tome 1* (158).
 Scissomètre, 357.
 SCOTT R. F., *tome 1* (277).
 SEARLE, 414.
 SECURITAS, 101.
 Sédimentométrie, *tome 1* (23 à 26).
 SEED H. B., *tome 1* (45).
 Sensitivité, *tome 1* (40).
 Séparateur, 429, 430.
 SIDOROFF F., *tome 1* (234).
 Sismique réfraction, 347 à 353.
 SKEMPTON A. W., *tome 1* (37, 38, 45, 76, 93, 123, 146, 149, 151, 183, 201, 228).
 Soulèvement de fond de fouille, 95 à 100.
 SOKOLOVSKI (méthode de), 16, 158, 159 et *tome 1* (234, 268 à 271, 277).

- Sondage, 340.
 — destructif, 353.
 — (profondeur), 340.
 Stabilité à court terme, 277.
 — à long terme, 272.
 — de l'assise des remblais, 334.
 Standard Penetration Test, (S.P.T.), 204, 375, 380.
 U.S. Steel, 101.
 STOKES (loi de), *tome 1* (24).
 Structure cristalline des argiles, *tome 1* (27 à 30).
 — des sols, *tome 1* (27).
 SUKLJE L., *tome 1* (234).
 Surconsolidées (argiles), *tome 1* (121, 122, 123).
 Surface limite, *tome 1* (176, 178, 180).
 — spécifique, *tome 1* (30).
 SZECHY, 210.
 TARDY D., *tome 1* (233).
 Tassements, 194 et *tome 1* (26, 95).
 Tassements absolus, 151 et *tome 1* (48).
 — admissibles, 151, et *tome 1* (149, 150).
 — (calcul des), *tome 1* (96 à 99, 145 à 148).
 — différentiels, 151, 209, et *tome 1* (148, 149, 150).
 TAYLOR, 289, 293 et *tome 1* (41, 42, 144, 229).
 TCHARNY (démonstration de), *tome 1* (67, 68).
 TCHENG Y., 210.
 Teneur en eau, 347 et *tome 1* (3, 4).
 Tenseur des contraintes, *tome 1* (75, 163 à 169, 230, 236).
 — des déformations, *tome 1* (69 à 173, 230).
 Tenseur de perméabilité, *tome 1* (73).
 — sphérique, *tome 1* (166).
 Terre armée, 44 à 48.
 TERZAGHI, 2, 4, 65, 66, 70, 93, 157, 169, 170, 194, 217, 328, 330, 335, 337, 383, 395 et *tome 1* (39, 57, 75, 80, 83, 114, 130, 133, 137, 140, 214).
 TERZAGHI-PECK, 32, 171, 243, 376, 377 et *tome 1* (5).
 Thixotropie, 120.
 TRAN VO NHIEM, 101, 120, 210, 414 et *tome 1* (119).
 Tirants d'ancrage, 142.
 TOSCOE K. H., *tome 1* (234, 277).
 Triaxial, *tome 1* (193, 200).
 Tricotés, 417 à 439.
 TSCHBOTARIOFF, 56, 59, 73, 93 et *tome 1* (114, 276, 277).
 TUMAY, 414.
 TSYTOVICHN A., *tome 1* (93).
 Up hole, 357.
 U.S. Steel, 210.
 VAGNERON, 53.
 VAN DER VEEN, 262.
 VEDER, 142.
 VESIC, 262.
 Vibro-flotation, 258 et *tome 1* (16, 17, 18).
 VIDAL, 44, 53.
 Vidange rapide d'une retenue, 321.
 Vitesse de décharge, *tome 1* (48, 62).
 — de déformation plastique, *tome 1* (173).
 WAHLS H. E., *tome 1* (158).
 WAYNE, 53.
 WESTERGAARD, 75, 195, 197 et *tome 1* (110).
 WOODWARD R. J., *tome 1* (45).
 WROTH E. P., *tome 1* (277, 234).
 XANTHAKOS, 142.
 ZAVETSKY, 197.

Imprimerie GAUTHIER-VILLARS, France
 7512 - Dépôt légal, Imprimeur, n° 3226

Dépôt légal : février 1988

Dépôt légal 1^{re} édition : 2^e trimestre 1969

Imprimé en France